

COMMITTENTE:



DIREZIONE LAVORI:



APPALTATORE:



PROGETTAZIONE:

PROGETTISTA:

DIRETTORE DELLA PROGETTAZIONE

RAGGRUPPAMENTO TEMPORANEO PROGETTISTI

Prof. Ing.

Ing. PIETRO MAZZOLI



MARCO PETRANGELI

Responsabile integrazione fra le varie prestazioni specialistiche

## PROGETTO ESECUTIVO

### ITINERARIO NAPOLI-BARI

### RADDOPPIO TRATTA CANCELLO-BENEVENTO

### I° LOTTO FUNZIONALE CANCELLO-FRASSO TELESINO E VARIANTE ALLA LINEA ROMA-NAPOLI VIA CASSINO NEL COMUNE DI MADDALONI

### PONTI E VIADOTTI DI LINEA

Tratta Canello-Frasso Telesino - VIADOTTO dal km 1+828 al km 2+201: Viadotto Canello Pile 7, 8, 9 e 12: Relazione di calcolo

APPALTATORE		SCALA:
CONSORZIO CFT IL DIRETTORE TECNICO Geom. C. Bianchi 13/09/2018		-

COMMESSA   LOTTO   FASE   ENTE   TIPO DOC.   OPERA/DISCIPLINA   PROGR.   REV.

I	F	1	N	0	1	E	Z	Z	C	L	V	I	0	2	0	5	0	0	3	B
---	---	---	---	---	---	---	---	---	---	---	---	---	---	---	---	---	---	---	---	---

Rev.	Descrizione	Redatto	Data	Verificato	Data	Approvato	Data	Autorizzato Data
A	Emissione	L. Gasperoni	11/07/2018	M. Petrangeli	11/07/2018	P.Mazzoli	11/07/2018	M. Petrangeli
B	Rev. istruttoria ITF 29/08/2018	L. Gasperoni	13/09/2018	M. Petrangeli	13/09/2018	P.Mazzoli	13/09/2018	
								13/09/2018

File:IF1N.0.1.E.ZZ.CL.VI.02.0.5.003.B.docx

n. Elab.:



  	<b>ITINERARIO NAPOLI – BARI</b> <b>RADDOPPIO TRATTA CANCELLO – BENEVENTO</b> <b>I° LOTTO FUNZIONALE CANCELLO - FRASSO TELESINO E</b> <b>VARIANTE ALLA LINEA ROMA-NAPOLI VIA CASSINO NEL</b> <b>COMUNE DI MADDALONI – PROGETTO ESECUTIVO</b>												
<b>Pile 07-08-09-12: Relazione di calcolo</b>	<table border="1"> <thead> <tr> <th>COMMESSA</th> <th>LOTTO</th> <th>CODIFICA</th> <th>DOCUMENTO</th> <th>REV.</th> <th>FOGLIO</th> </tr> </thead> <tbody> <tr> <td>IF1N</td> <td>01 E ZZ</td> <td>CL</td> <td>VI0205 003</td> <td>B</td> <td>3 di 140</td> </tr> </tbody> </table>	COMMESSA	LOTTO	CODIFICA	DOCUMENTO	REV.	FOGLIO	IF1N	01 E ZZ	CL	VI0205 003	B	3 di 140
COMMESSA	LOTTO	CODIFICA	DOCUMENTO	REV.	FOGLIO								
IF1N	01 E ZZ	CL	VI0205 003	B	3 di 140								

## Indice

<b>1</b>	<b>PREMESSA .....</b>	<b>6</b>
<b>2</b>	<b>NORMATIVA E DOCUMENTI DI RIFERIMENTO.....</b>	<b>7</b>
2.1	NORMATIVE.....	7
2.2	ELABORATI DI RIFERIMENTO.....	8
<b>3</b>	<b>MATERIALI.....</b>	<b>9</b>
3.1	CALCESTRUZZO PER FUSTO PILA E PULVINO.....	9
3.2	CALCESTRUZZO PER PLINTO DI FONDAZIONE.....	10
3.3	CALCESTRUZZO PER PALI DI FONDAZIONE.....	11
3.4	ACCIAIO PER BARRE DI ARMATURA .....	12
<b>4</b>	<b>CARATTERIZZAZIONE GEOTECNICA.....</b>	<b>13</b>
4.1	CARATTERIZZAZIONE GEOTECNICA .....	13
<b>5</b>	<b>DESCRIZIONE DELLA STRUTTURA .....</b>	<b>14</b>
<b>6</b>	<b>ANALISI DEI CARICHI .....</b>	<b>20</b>
6.1	PERMANENTI STRUTTURALI (G1).....	20
6.1.1	PESO PROPRIO IMPALCATI.....	20
6.1.2	PESO PROPRIO PILA .....	22
6.2	PERMANENTI NON STRUTTURALI (G2).....	22
6.2.1	BALLAST (G21).....	22
6.2.2	PERMANENTI NON STRUTTURALI GENERICI (G22).....	24
6.2.3	RIEMPIMENTO PILA E TERRENO DI RICOPRIMENTO .....	25
6.3	CARICHI DA TRAFFICO .....	26
6.3.1	CARICHI VERTICALI DA TRAFFICO (Q1).....	35
6.3.2	AZIONI DI AVVIAMENTO E FRENATURA (Q2).....	49
6.3.3	FORZA CENTRIFUGA (Q3).....	64
6.3.4	SERPEGGIO (Q4).....	79
6.4	CARICHI VARIABILI (Q5).....	86
6.4.1	AZIONI DEL VENTO (Q51).....	86
6.5	AZIONI INDIRETTE (Q6).....	95
6.5.1	RESISTENZE PARASSITE NEI VINCOLI (Q61).....	95
6.6	EFFETTI D'INTERAZIONE (Q7).....	96
6.6.1	VARIAZIONI TERMICHE DELL'IMPALCATO (Q71).....	96
6.6.2	AZIONI DI FRENATURA E AVVIAMENTO .....	97
6.6.3	INFLESSIONE DELL'IMPALCATO DOVUTA AI CARICHI VERTICALI DA TRAFFICO .....	97

  	<b>ITINERARIO NAPOLI – BARI</b> <b>RADDOPPIO TRATTA CANCELLO – BENEVENTO</b> <b>I° LOTTO FUNZIONALE CANCELLO - FRASSO TELESINO E</b> <b>VARIANTE ALLA LINEA ROMA-NAPOLI VIA CASSINO NEL</b> <b>COMUNE DI MADDALONI – PROGETTO ESECUTIVO</b>												
<b>Pile 07-08-09-12: Relazione di calcolo</b>	<table border="1"> <thead> <tr> <th>COMMESSA</th> <th>LOTTO</th> <th>CODIFICA</th> <th>DOCUMENTO</th> <th>REV.</th> <th>FOGLIO</th> </tr> </thead> <tbody> <tr> <td>IF1N</td> <td>01 E ZZ</td> <td>CL</td> <td>VI0205 003</td> <td>B</td> <td>4 di 140</td> </tr> </tbody> </table>	COMMESSA	LOTTO	CODIFICA	DOCUMENTO	REV.	FOGLIO	IF1N	01 E ZZ	CL	VI0205 003	B	4 di 140
COMMESSA	LOTTO	CODIFICA	DOCUMENTO	REV.	FOGLIO								
IF1N	01 E ZZ	CL	VI0205 003	B	4 di 140								

6.7	AZIONI SISMICHE (E) .....	98
6.7.1	SPETTRI DI PROGETTO ALLO SLV .....	99
<b>7</b>	<b>COMBINAZIONI DI CARICO .....</b>	<b>102</b>
<b>8</b>	<b>ANALISI DELLE SOLLECITAZIONI.....</b>	<b>106</b>
8.1	MODELLO DI CALCOLO E.F. ....	106
8.2	MASSE E FORZE SISMICHE.....	106
8.3	CARICHI ELEMENTARI .....	111
8.3.1	RIEPILOGO DEGLI SCARICHI DALL'IMPALCATO .....	111
8.4	SOLLECITAZIONI DI CALCOLO .....	115
8.4.1	SOLLECITAZIONI ALLA BASE DEL FUSTO PILA .....	115
8.4.2	SOLLECITAZIONI ALL'INTRADOSSO DEL PLINTO DI FONDAZIONE.....	118
8.4.1	SOLLECITAZIONI DISTRIBUITE IN TESTA AI PALI DI FONDAZIONE .....	118
<b>9</b>	<b>VERIFICHE STRUTTURALI DEL FUSTO PILA.....</b>	<b>119</b>
9.1	GEOMETRIA DELLA SEZIONE DI VERIFICA E ARMATURA.....	119
9.1.1	ARMATURA LONGITUDINALE .....	119
9.1.2	ARMATURA TRASVERSALE .....	119
9.1.3	VERIFICA DELL'ARMATURA MINIMA.....	120
9.2	VERIFICA SLU A FLESSIONE .....	123
9.3	VERIFICA SLU A TAGLIO .....	125
9.4	VERIFICA SLE TENSIONALE .....	126
9.5	VERIFICA SLE A FESSURAZIONE.....	126
9.6	VERIFICA DEGLI SPOSTAMENTI.....	126
<b>10</b>	<b>VERIFICHE STRUTTURALI DEI PALI DI FONDAZIONE .....</b>	<b>127</b>
10.1	GEOMETRIA DELLA SEZIONE DI VERIFICA E ARMATURA.....	127
10.2	VERIFICA SLU A PRESSOFLESSIONE .....	128
10.3	VERIFICA SLU A TAGLIO .....	130
10.4	VERIFICA SLE TENSIONALE .....	131
10.5	VERIFICA SLE A FESSURAZIONE.....	131
<b>11</b>	<b>VERIFICHE STRUTTURALI DEL PLINTO DI FONDAZIONE .....</b>	<b>132</b>
11.1	VERIFICHE SLU-SLE CON MECCANISMO TIRANTE-PUNTONE .....	132
11.1.1	GEOMETRIA DEL TIRANTE-PUNTONE .....	134
11.1.2	SEZIONE DEL TIRANTE DI ARMATURA E DELLA BIELLA COMPRESSA.....	135
11.1.3	VERIFICHE SLU DELLE TENSIONI NORMALI.....	136
11.1.4	VERIFICHE SLE DELLE TENSIONI NORMALI.....	136
11.2	VERIFICA SLU A PUNZONAMENTO .....	137

  	<b>ITINERARIO NAPOLI – BARI</b> <b>RADDOPPIO TRATTA CANCELLO – BENEVENTO</b> <b>I° LOTTO FUNZIONALE CANCELLO - FRASSO TELESINO E</b> <b>VARIANTE ALLA LINEA ROMA-NAPOLI VIA CASSINO NEL</b> <b>COMUNE DI MADDALONI – PROGETTO ESECUTIVO</b>												
<b>Pile 07-08-09-12: Relazione di calcolo</b>	<table border="1"> <thead> <tr> <th>COMMESSA</th> <th>LOTTO</th> <th>CODIFICA</th> <th>DOCUMENTO</th> <th>REV.</th> <th>FOGLIO</th> </tr> </thead> <tbody> <tr> <td>IF1N</td> <td>01 E ZZ</td> <td>CL</td> <td>VI0205 003</td> <td>B</td> <td>5 di 140</td> </tr> </tbody> </table>	COMMESSA	LOTTO	CODIFICA	DOCUMENTO	REV.	FOGLIO	IF1N	01 E ZZ	CL	VI0205 003	B	5 di 140
COMMESSA	LOTTO	CODIFICA	DOCUMENTO	REV.	FOGLIO								
IF1N	01 E ZZ	CL	VI0205 003	B	5 di 140								

<b>11.3 VERIFICA SLE A FESSURAZIONE.....</b>	<b>139</b>
<b>12 INCIDENZE.....</b>	<b>140</b>

  	<b>ITINERARIO NAPOLI – BARI</b> <b>RADDOPPIO TRATTA CANCELLO – BENEVENTO</b> <b>I° LOTTO FUNZIONALE CANCELLO - FRASSO TELESINO E</b> <b>VARIANTE ALLA LINEA ROMA-NAPOLI VIA CASSINO NEL</b> <b>COMUNE DI MADDALONI – PROGETTO ESECUTIVO</b>												
<b>Pile 07-08-09-12: Relazione di calcolo</b>	<table border="1"> <tr> <td>COMMESSA</td> <td>LOTTO</td> <td>CODIFICA</td> <td>DOCUMENTO</td> <td>REV.</td> <td>FOGLIO</td> </tr> <tr> <td>IF1N</td> <td>01 E ZZ</td> <td>CL</td> <td>VI0205 003</td> <td>B</td> <td>6 di 140</td> </tr> </table>	COMMESSA	LOTTO	CODIFICA	DOCUMENTO	REV.	FOGLIO	IF1N	01 E ZZ	CL	VI0205 003	B	6 di 140
COMMESSA	LOTTO	CODIFICA	DOCUMENTO	REV.	FOGLIO								
IF1N	01 E ZZ	CL	VI0205 003	B	6 di 140								

## 1 PREMESSA

Nell'ambito dell'*Itinerario Napoli-Bari* si inserisce il *Raddoppio della Tratta Canello – Benevento - 1° Lotto Funzionale Canello-Frasso Telesino e Variante alla Linea Roma-Napoli Via Cassino nel Comune di Maddaloni* (compreso il *Collegamento Merci con lo scalo di Marcianise - Collegamento Benevento-Marcianise* ) oggetto della Progettazione Esecutiva in esame.

Oggetto della presente relazione è il dimensionamento degli elementi in elevazione e fondazione costituenti le Pile P07, P08, P09 e P12 del *Viadotto Canello\_VI02*.

Nella presente relazione sono riportati in forma sintetica i risultati della analisi delle sollecitazioni e delle verifiche strutturali del fusto pila, del plinto di fondazione e dei pali di fondazione, con riferimento alla pila avente la maggiore altezza di fusto tra quelle indicate.

Pila	H fusto [m]	H tot [m]
<b>P07</b>	5.0	6.9
<b>P08</b>	5.0	6.9
<b>P09</b>	5.0	6.9
<b>P12</b>	4.4	6.3

Nell'allegato 2 alla presente relazione sono riportati in forma completa i risultati delle analisi delle sollecitazioni e delle verifiche strutturali della pila avente altezza maggiore tra quelle appartenenti al gruppo di pile preso in considerazione.

Nel seguito si procede al calcolo dello stato di sollecitazione ed alle verifiche dei vari elementi costituenti la pila, nei confronti degli Stati Limite Ultimi strutturali di presso-flessione e taglio e degli stati limite di esercizio di fessurazione e tensionale.

Si esegue inoltre la determinazione delle azioni massime sui pali di fondazione e la verifica del plinto di fondazione nei confronti degli stati limite ultimi e di esercizio strutturali.

Sono eseguite infine le verifiche strutturali dei pali di fondazione nei confronti degli stati limite ultimi e di esercizio strutturali.

  	<b>ITINERARIO NAPOLI – BARI</b> <b>RADDOPPIO TRATTA CANCELLO – BENEVENTO</b> <b>I° LOTTO FUNZIONALE CANCELLO - FRASSO TELESINO E</b> <b>VARIANTE ALLA LINEA ROMA-NAPOLI VIA CASSINO NEL</b> <b>COMUNE DI MADDALONI – PROGETTO ESECUTIVO</b>												
<b>Pile 07-08-09-12: Relazione di calcolo</b>	<table border="1"> <thead> <tr> <th>COMMESSA</th> <th>LOTTO</th> <th>CODIFICA</th> <th>DOCUMENTO</th> <th>REV.</th> <th>FOGLIO</th> </tr> </thead> <tbody> <tr> <td>IF1N</td> <td>01 E ZZ</td> <td>CL</td> <td>VI0205 003</td> <td>B</td> <td>7 di 140</td> </tr> </tbody> </table>	COMMESSA	LOTTO	CODIFICA	DOCUMENTO	REV.	FOGLIO	IF1N	01 E ZZ	CL	VI0205 003	B	7 di 140
COMMESSA	LOTTO	CODIFICA	DOCUMENTO	REV.	FOGLIO								
IF1N	01 E ZZ	CL	VI0205 003	B	7 di 140								

## 2 NORMATIVA E DOCUMENTI DI RIFERIMENTO

### 2.1 NORMATIVE

Sono state prese a riferimento le seguenti Normative nazionali ed internazionali vigenti alla data di redazione del presente documento:

- [1] *Ministero delle Infrastrutture, DM 14 gennaio 2008, «Approvazione delle nuove norme tecniche per le costruzioni»*
- [2] *Ministero delle Infrastrutture e Trasporti, circolare 2 febbraio 2009, n. 617 C.S.LL.PP., «Istruzioni per l'applicazione delle Nuove norme tecniche per le costruzioni di cui al decreto ministeriale 14 gennaio 2008»*
- [3] *Istruzione RFI DTC INC PO SP IFS 001 - Specifica per la progettazione e l'esecuzione dei ponti ferroviari e di altre opere minori sotto binario*
- [4] *Istruzione RFI DTC INC CS SP IFS 001 - Specifica per la progettazione geotecnica delle opere civili ferroviarie*
- [5] *Istruzione RFI DTC INC PO SP IFS 002 - Specifica per la progettazione e l'esecuzione di cavalcavia e passerelle pedonali sulla sede ferroviaria*
- [6] *Istruzione RFI DTC INC PO SP IFS 003 - Specifica per la verifica a fatica dei ponti ferroviari*
- [7] *Istruzione RFI DTC INC PO SP IFS 004 - Specifica per la progettazione e l'esecuzione di impalcati ferroviari a travi in ferro a doppio T incorporate nel calcestruzzo*
- [8] *Istruzione RFI DTC INC PO SP IFS 005 - Specifica per il progetto, la produzione, il controllo della produzione e la posa in opera dei dispositivi di vincolo e dei coprigiunti degli impalcati ferroviari e dei cavalcavia*
- [9] *Eurocodice 1 – Azioni sulle strutture, Parte 1-4: Azioni in generale – Azioni del vento (UNI EN 1991-1-4)*
- [10] *Regolamento (UE) N.1299/2014 della Commissione del 18 Novembre 2014 relativo alle specifiche tecniche di interoperabilità per il sottosistema "infrastruttura" del sistema ferroviario dell'Unione europea*

  	<b>ITINERARIO NAPOLI – BARI</b> <b>RADDOPPIO TRATTA CANCELLO – BENEVENTO</b> <b>I° LOTTO FUNZIONALE CANCELLO - FRASSO TELESINO E</b> <b>VARIANTE ALLA LINEA ROMA-NAPOLI VIA CASSINO NEL</b> <b>COMUNE DI MADDALONI – PROGETTO ESECUTIVO</b>												
<b>Pile 07-08-09-12: Relazione di calcolo</b>	<table border="1"> <thead> <tr> <th>COMMESSA</th> <th>LOTTO</th> <th>CODIFICA</th> <th>DOCUMENTO</th> <th>REV.</th> <th>FOGLIO</th> </tr> </thead> <tbody> <tr> <td>IF1N</td> <td>01 E ZZ</td> <td>CL</td> <td>VI0205 003</td> <td>B</td> <td>8 di 140</td> </tr> </tbody> </table>	COMMESSA	LOTTO	CODIFICA	DOCUMENTO	REV.	FOGLIO	IF1N	01 E ZZ	CL	VI0205 003	B	8 di 140
COMMESSA	LOTTO	CODIFICA	DOCUMENTO	REV.	FOGLIO								
IF1N	01 E ZZ	CL	VI0205 003	B	8 di 140								

## 2.2 ELABORATI DI RIFERIMENTO

Vengono presi a riferimento tutti gli elaborati grafici progettuali di pertinenza.



  	<b>ITINERARIO NAPOLI – BARI</b> <b>RADDOPPIO TRATTA CANCELLO – BENEVENTO</b> <b>I° LOTTO FUNZIONALE CANCELLO - FRASSO TELESINO E</b> <b>VARIANTE ALLA LINEA ROMA-NAPOLI VIA CASSINO NEL</b> <b>COMUNE DI MADDALONI – PROGETTO ESECUTIVO</b>												
<b>Pile 07-08-09-12: Relazione di calcolo</b>	<table border="1"> <thead> <tr> <th>COMMESSA</th> <th>LOTTO</th> <th>CODIFICA</th> <th>DOCUMENTO</th> <th>REV.</th> <th>FOGLIO</th> </tr> </thead> <tbody> <tr> <td>IF1N</td> <td>01 E ZZ</td> <td>CL</td> <td>VI0205 003</td> <td>B</td> <td>9 di 140</td> </tr> </tbody> </table>	COMMESSA	LOTTO	CODIFICA	DOCUMENTO	REV.	FOGLIO	IF1N	01 E ZZ	CL	VI0205 003	B	9 di 140
COMMESSA	LOTTO	CODIFICA	DOCUMENTO	REV.	FOGLIO								
IF1N	01 E ZZ	CL	VI0205 003	B	9 di 140								

### 3 MATERIALI

#### 3.1 CALCESTRUZZO PER FUSTO PILA E PULVINO

Classe C32/40

$R_{ck} =$	40.00	MPa	Resistenza caratteristica cubica
$f_{ck} = 0,83 R_{ck} =$	33.20	MPa	Resistenza caratteristica cilindrica
$f_{cm} = f_{ck} + 8 =$	41.20	MPa	Valore medio resistenza cilindrica
$\alpha_{cc} =$	0.85		Coeff. rid. per carichi di lunga durata
$\gamma_M =$	1.50	-	Coefficiente parziale di sicurezza SLU
$f_{cd} = \alpha_{cc} f_{ck} / \gamma_M =$	18.81	MPa	Resistenza di progetto
$f_{ctm} = 0,3 f_{ck}^{(2/3)} =$	3.10	MPa	Resistenza media a trazione semplice
$f_{ctm} = 1,2 f_{ctm} =$	3.72	MPa	Resistenza media a trazione per flessione
$f_{ctk} = 0,7 f_{ctm} =$	2.17	MPa	Valore caratteristico resistenza a trazione (frattile 5%)
$\sigma_c = 0,55 f_{ck} =$	18.26	MPa	Tensione limite in esercizio in comb. Rara (rif. §1.8.3.2.1 [3])
$\sigma_c = 0,40 f_{ck} =$	13.28	MPa	Tensione limite in esercizio in comb. quasi perm. (rif. §1.8.3.2.1 [3])
$E_{cm} = 22000 (f_{cm}/10)^{(0,3)} =$	33643.00	MPa	Modulo elastico di progetto
$\nu =$	0.20		Coefficiente di Poisson
$G_c = E_{cm} / (2(1 + \nu)) =$	14018.00	MPa	Modulo elastico tangenziale di progetto
Condizioni ambientali =	Debolmente aggressive		
Classe di esposizione =	XC4		
$c =$	4.00	cm	Copriferro minimo
$w =$	0.20	mm	Apertura massima fessure in esercizio in comb. Rara (rif. §1.8.3.2.4 [3])

  	<b>ITINERARIO NAPOLI – BARI</b> <b>RADDOPPIO TRATTA CANCELLO – BENEVENTO</b> <b>I° LOTTO FUNZIONALE CANCELLO - FRASSO TELESINO E</b> <b>VARIANTE ALLA LINEA ROMA-NAPOLI VIA CASSINO NEL</b> <b>COMUNE DI MADDALONI – PROGETTO ESECUTIVO</b>												
<b>Pile 07-08-09-12: Relazione di calcolo</b>	<table border="1"> <thead> <tr> <th>COMMESSA</th> <th>LOTTO</th> <th>CODIFICA</th> <th>DOCUMENTO</th> <th>REV.</th> <th>FOGLIO</th> </tr> </thead> <tbody> <tr> <td>IF1N</td> <td>01 E ZZ</td> <td>CL</td> <td>VI0205 003</td> <td>B</td> <td>10 di 140</td> </tr> </tbody> </table>	COMMESSA	LOTTO	CODIFICA	DOCUMENTO	REV.	FOGLIO	IF1N	01 E ZZ	CL	VI0205 003	B	10 di 140
COMMESSA	LOTTO	CODIFICA	DOCUMENTO	REV.	FOGLIO								
IF1N	01 E ZZ	CL	VI0205 003	B	10 di 140								

## 3.2 CALCESTRUZZO PER PLINTO DI FONDAZIONE

Classe C28/35

$R_{ck} =$	<b>35.00</b>	MPa	Resistenza caratteristica cubica
$f_{ck} = 0,83 R_{ck} =$	<b>29.05</b>	MPa	Resistenza caratteristica cilindrica
$f_{cm} = f_{ck} + 8 =$	<b>37.05</b>	MPa	Valore medio resistenza cilindrica
$\alpha_{cc} =$	<b>0.85</b>		Coeff. rid. per carichi di lunga durata
$\gamma_M =$	<b>1.50</b>	-	Coefficiente parziale di sicurezza SLU
$f_{cd} = \alpha_{cc} f_{ck} / \gamma_M =$	<b>16.46</b>	MPa	Resistenza di progetto
$f_{ctm} = 0,3 f_{ck}^{(2/3)} =$	<b>2.83</b>	MPa	Resistenza media a trazione semplice
$f_{ctm} = 1,2 f_{ctm} =$	<b>3.40</b>	MPa	Resistenza media a trazione per flessione
$f_{ctk} = 0,7 f_{ctm} =$	<b>1.98</b>	MPa	Valore caratteristico resistenza a trazione (frattile 5%)
$\sigma_c = 0,55 f_{ck} =$	<b>15.98</b>	MPa	Tensione limite in esercizio in comb. Rara (rif. §1.8.3.2.1 [3])
$\sigma_c = 0,40 f_{ck} =$	<b>11.62</b>	MPa	Tensione limite in esercizio in comb. quasi perm. (rif. §1.8.3.2.1 [3])
$E_{cm} = 22000 (f_{cm}/10)^{(0,3)} =$	<b>32588.00</b>	MPa	Modulo elastico di progetto
$\nu =$	<b>0.20</b>		Coefficiente di Poisson
$G_c = E_{cm} / (2(1 + \nu)) =$	<b>13578.00</b>	MPa	Modulo elastico tangenziale di progetto
Condizioni ambientali =	<b>Ordinarie</b>		
Classe di esposizione =	<b>XC2</b>		
$c =$	<b>4.00</b>	cm	Copriferro minimo
$w =$	<b>0.30</b>	mm	Apertura massima fessure in esercizio in comb. Rara (rif. §1.8.3.2.4 [3])

  	<b>ITINERARIO NAPOLI – BARI</b> <b>RADDOPPIO TRATTA CANCELLO – BENEVENTO</b> <b>I° LOTTO FUNZIONALE CANCELLO - FRASSO TELESINO E</b> <b>VARIANTE ALLA LINEA ROMA-NAPOLI VIA CASSINO NEL</b> <b>COMUNE DI MADDALONI – PROGETTO ESECUTIVO</b>												
<b>Pile 07-08-09-12: Relazione di calcolo</b>	<table border="1"> <thead> <tr> <th>COMMESSA</th> <th>LOTTO</th> <th>CODIFICA</th> <th>DOCUMENTO</th> <th>REV.</th> <th>FOGLIO</th> </tr> </thead> <tbody> <tr> <td>IF1N</td> <td>01 E ZZ</td> <td>CL</td> <td>VI0205 003</td> <td>B</td> <td>11 di 140</td> </tr> </tbody> </table>	COMMESSA	LOTTO	CODIFICA	DOCUMENTO	REV.	FOGLIO	IF1N	01 E ZZ	CL	VI0205 003	B	11 di 140
COMMESSA	LOTTO	CODIFICA	DOCUMENTO	REV.	FOGLIO								
IF1N	01 E ZZ	CL	VI0205 003	B	11 di 140								

### 3.3 CALCESTRUZZO PER PALI DI FONDAZIONE

Classe C25/30

$R_{ck} =$	30.00	MPa	Resistenza caratteristica cubica
$f_{ck} = 0,83 R_{ck} =$	24.90	MPa	Resistenza caratteristica cilindrica
$f_{cm} = f_{ck} + 8 =$	32.90	MPa	Valore medio resistenza cilindrica
$\alpha_{cc} =$	0.85		Coeff. rid. per carichi di lunga durata
$\gamma_M =$	1.50	-	Coefficiente parziale di sicurezza SLU
$f_{cd} = \alpha_{cc} f_{ck} / \gamma_M =$	14.11	MPa	Resistenza di progetto
$f_{ctm} = 0,3 f_{ck}^{(2/3)} =$	2.56	MPa	Resistenza media a trazione semplice
$f_{ctm} = 1,2 f_{ctm} =$	3.07	MPa	Resistenza media a trazione per flessione
$f_{ctk} = 0,7 f_{ctm} =$	1.79	MPa	Valore caratteristico resistenza a trazione (frattile 5%)
$\sigma_c = 0,55 f_{ck} =$	13.70	MPa	Tensione limite in esercizio in comb. Rara (rif. §1.8.3.2.1 [3])
$\sigma_c = 0,40 f_{ck} =$	9.96	MPa	Tensione limite in esercizio in comb. quasi perm. (rif. §1.8.3.2.1 [3])
$E_{cm} = 22000 (f_{cm}/10)^{(0,3)} =$	31447.00	MPa	Modulo elastico di progetto
$\nu =$	0.20		Coefficiente di Poisson
$G_c = E_{cm} / (2(1 + \nu)) =$	13103.00	MPa	Modulo elastico tangenziale di progetto
Condizioni ambientali =	Ordinarie		
Classe di esposizione =	XC2		
$c =$	6.00	cm	Copriferro minimo
$w =$	0.30	mm	Apertura massima fessure in esercizio in comb. Rara (rif. §1.8.3.2.4 [3])

  	<b>ITINERARIO NAPOLI – BARI</b> <b>RADDOPPIO TRATTA CANCELLO – BENEVENTO</b> <b>I° LOTTO FUNZIONALE CANCELLO - FRASSO TELESINO E</b> <b>VARIANTE ALLA LINEA ROMA-NAPOLI VIA CASSINO NEL</b> <b>COMUNE DI MADDALONI – PROGETTO ESECUTIVO</b>												
<b>Pile 07-08-09-12: Relazione di calcolo</b>	<table border="1"> <thead> <tr> <th>COMMESSA</th> <th>LOTTO</th> <th>CODIFICA</th> <th>DOCUMENTO</th> <th>REV.</th> <th>FOGLIO</th> </tr> </thead> <tbody> <tr> <td>IF1N</td> <td>01 E ZZ</td> <td>CL</td> <td>VI0205 003</td> <td>B</td> <td>12 di 140</td> </tr> </tbody> </table>	COMMESSA	LOTTO	CODIFICA	DOCUMENTO	REV.	FOGLIO	IF1N	01 E ZZ	CL	VI0205 003	B	12 di 140
COMMESSA	LOTTO	CODIFICA	DOCUMENTO	REV.	FOGLIO								
IF1N	01 E ZZ	CL	VI0205 003	B	12 di 140								

### 3.4 ACCIAIO PER BARRE DI ARMATURA

B450C

$f_{yk} \geq$	450.00	MPa	Tensione caratteristica di snervamento
$f_{tk} \geq$	540.00	MPa	Tensione caratteristica di rottura
$(f_t / f_y)_{k \geq}$	1.15		
$(f_t / f_y)_{k <}$	1.35		
$\gamma_s =$	1.15	-	Coefficiente parziale di sicurezza SLU
$f_{yd} = f_{yk} / \gamma_s =$	391.30	MPa	Tensione caratteristica di snervamento
$E_s =$	210000.00	MPa	Modulo elastico di progetto
$\epsilon_{yd} =$	0.20	%	Deformazione di progetto a snervamento
$\epsilon_{uk} = (A_{gt})_k$	7.50	%	Deformazione caratteristica ultima
$\sigma_s = 0,75 f_{yk} =$	337.50	MPa	Tensione in esercizio in comb. Rara (rif. §1.8.3.2.1 [3])

  	<b>ITINERARIO NAPOLI – BARI</b> <b>RADDOPPIO TRATTA CANCELLO – BENEVENTO</b> <b>I° LOTTO FUNZIONALE CANCELLO - FRASSO TELESINO E</b> <b>VARIANTE ALLA LINEA ROMA-NAPOLI VIA CASSINO NEL</b> <b>COMUNE DI MADDALONI – PROGETTO ESECUTIVO</b>												
<b>Pile 07-08-09-12: Relazione di calcolo</b>	<table border="1"> <thead> <tr> <th>COMMESSA</th> <th>LOTTO</th> <th>CODIFICA</th> <th>DOCUMENTO</th> <th>REV.</th> <th>FOGLIO</th> </tr> </thead> <tbody> <tr> <td>IF1N</td> <td>01 E ZZ</td> <td>CL</td> <td>VI0205 003</td> <td>B</td> <td>13 di 140</td> </tr> </tbody> </table>	COMMESSA	LOTTO	CODIFICA	DOCUMENTO	REV.	FOGLIO	IF1N	01 E ZZ	CL	VI0205 003	B	13 di 140
COMMESSA	LOTTO	CODIFICA	DOCUMENTO	REV.	FOGLIO								
IF1N	01 E ZZ	CL	VI0205 003	B	13 di 140								

## 4 CARATTERIZZAZIONE GEOTECNICA

### 4.1 CARATTERIZZAZIONE GEOTECNICA

Per la definizione della categoria di suolo delle opere appartenenti alla tratta in oggetto si rimanda all'elaborato progettuale "IF1N.0.1.E.ZZ.RB.GE.00.0.5.001.A - Relazione geotecnica generale di linea delle opere all'aperto".

  	<b>ITINERARIO NAPOLI – BARI</b> <b>RADDOPPIO TRATTA CANCELLO – BENEVENTO</b> <b>I° LOTTO FUNZIONALE CANCELLO - FRASSO TELESINO E</b> <b>VARIANTE ALLA LINEA ROMA-NAPOLI VIA CASSINO NEL</b> <b>COMUNE DI MADDALONI – PROGETTO ESECUTIVO</b>												
<b>Pile 07-08-09-12: Relazione di calcolo</b>	<table border="1"> <tr> <td>COMMESSA</td> <td>LOTTO</td> <td>CODIFICA</td> <td>DOCUMENTO</td> <td>REV.</td> <td>FOGLIO</td> </tr> <tr> <td>IF1N</td> <td>01 E ZZ</td> <td>CL</td> <td>VI0205 003</td> <td>B</td> <td>14 di 140</td> </tr> </table>	COMMESSA	LOTTO	CODIFICA	DOCUMENTO	REV.	FOGLIO	IF1N	01 E ZZ	CL	VI0205 003	B	14 di 140
COMMESSA	LOTTO	CODIFICA	DOCUMENTO	REV.	FOGLIO								
IF1N	01 E ZZ	CL	VI0205 003	B	14 di 140								

## 5 DESCRIZIONE DELLA STRUTTURA

Il *Viadotto Canello\_VI02*, a doppio binario, si estende tra le progressive km 1+828 e km 2+201, per uno sviluppo complessivo di 372,70 m, ed è realizzato con 15 campate isostatiche, di cui:

- ✓ 14 campate di luce in asse sottostrutture pari a 25,00 m, realizzate con impalcati della tipologia a 4 cassoncini in c.a.p.;
- ✓ 1 campata (tra la pila P10 e la pila P11) di luce in asse sottostrutture pari a 22,70 m, realizzata con implacato della tipologia travi in acciaio incorporate nel calcestruzzo.

Il viadotto è costituito da due tipologie di impalcato: a cassoncini in c.a.p. e a travi in acciaio incorporate.

La prima tipologia di impalcato è realizzato con 4 cassoncini accostati in c.a.p. e soletta gettata in opera. La luce è pari a 25 m misurata in asse pile. La lunghezza complessiva delle travi prefabbricate è pari a 24,30 m e la luce tra gli appoggi è pari a 22,80 m. La larghezza dell'impalcato è pari a 13,70 m, necessaria al fine di ospitare il "nuovo tipologico" di barriere antirumore. L'armamento è di tipo tradizionale su ballast.

La seconda tipologia di impalcato è realizzato con travi incorporate in un getto di calcestruzzo e presenta una campata unica di lunghezza 22,70 m in asse pile e luce tra gli appoggi pari a 21,00 m. L'impalcato ha una larghezza costante di 13,70 m ed è costituito da 16 profili HLM 1100 posti ad interasse di 0,577 m. L'altezza massima della sola struttura dell'impalcato è pari a 82 cm in asse impalcato e la distanza tra il piano del ferro e il sotto trave è pari a 2,06 m. L'armamento è di tipo tradizionale su ballast.

Le pile, di altezza fusto variabile tra 3,40 m e 5,90 m, sono realizzate in c.a.o. gettato in opera. Presentano un fusto a sezione rettangolare cava di dimensioni esterne 2,60 m x 8,60 m con raccordi di raggio pari ad 1 m ed un motivo "a lesena" nella parte centrale del fusto su tutti e quattro i lati. Le fondazioni sono realizzate con pali trivellati del diametro  $\Phi$  1200 mm. Il fusto presenta la sezione tipologica 2,60 m x 8,60 m e un'altezza pari a 5,90 m. La fondazione è costituita da un plinto su 9 pali di diametro pari a 1200 mm.

Le fondazioni sono realizzate con plinti rettangolari in c.a. con pali trivellati del diametro  $\Phi$  1200 mm, posti ad un interasse pari a 3 diametri.

Con riferimento alle sottostrutture prese in considerazione nella presente relazione, le tipologie di impalcato, la geometria del fusto e la geometria del plinto e dei pali sono sintetizzate nella seguente tabella:

Pila	Impalcato precedente	Impalcato successivo	Fusto	Dimensioni plinto	Pali
P07	4 c.a.p. (L=25m)	4 c.a.p. (L=25m)	2.6m x 8.6m x 5m	9.6m x 9.6m x 2.5m	9 $\phi$ 1200
P08	4 c.a.p. (L=25m)	4 c.a.p. (L=25m)	2.6m x 8.6m x 5m	9.6m x 9.6m x 2.5m	9 $\phi$ 1200
P09	4 c.a.p. (L=25m)	4 c.a.p. (L=25m)	2.6m x 8.6m x 5m	9.6m x 9.6m x 2.5m	9 $\phi$ 1200
P12	4 c.a.p. (L=25m)	4 c.a.p. (L=25m)	2.6m x 8.6m x 4.4m	9.6m x 9.6m x 2.5m	9 $\phi$ 1200

Pile 07-08-09-12: Relazione di calcolo

COMMESSA	LOTTO	CODIFICA	DOCUMENTO	REV.	FOGLIO
IF1N	01 E ZZ	CL	VI0205 003	B	15 di 140

A seguire si riportano delle immagini che illustrano la geometria della pila (prospetto frontale e sezione orizzontale del fusto) e del plinto di fondazione (vista in pianta).

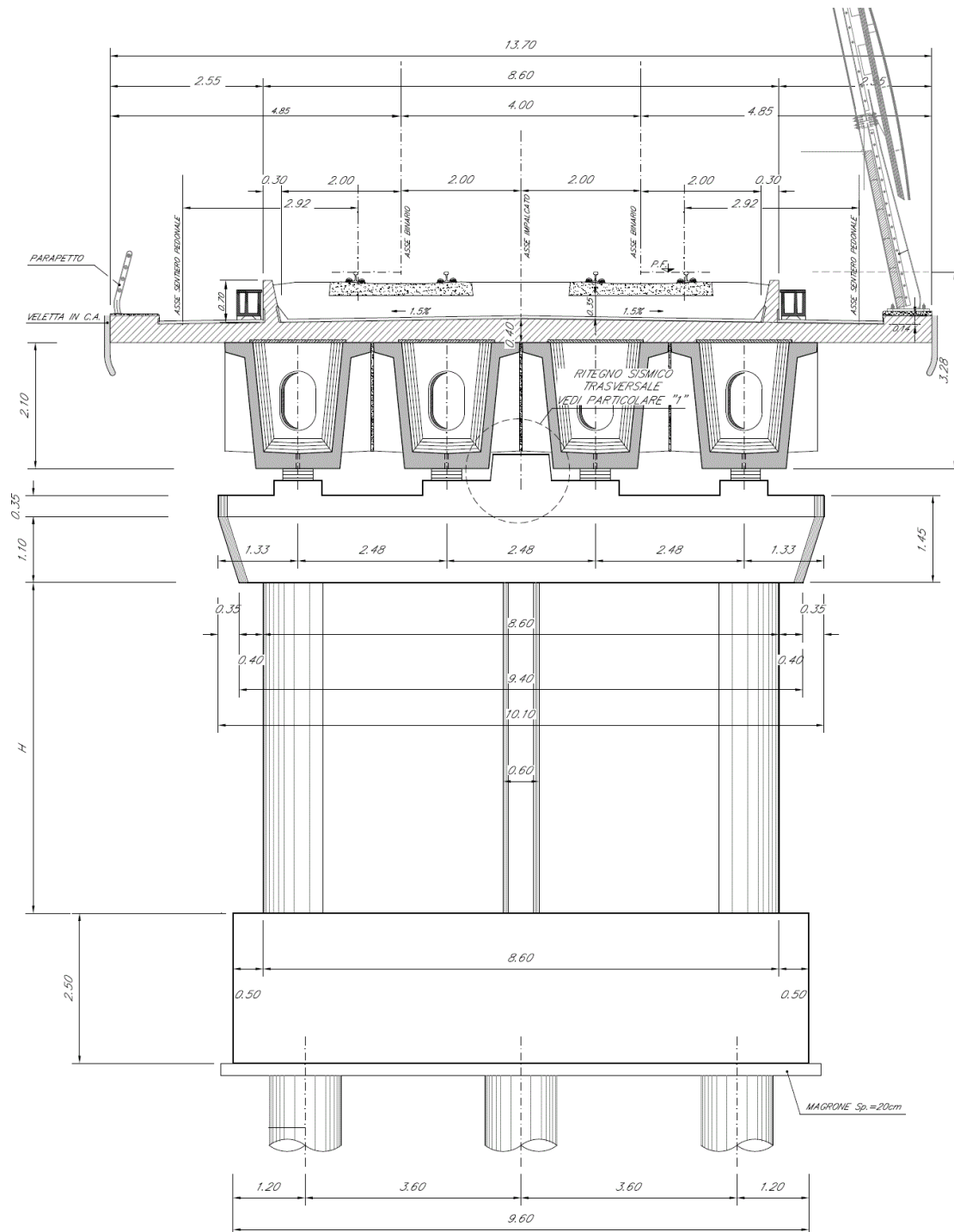


Figura 1 – Pila, prospetto frontale – Impalcato in C.A.P. [m]

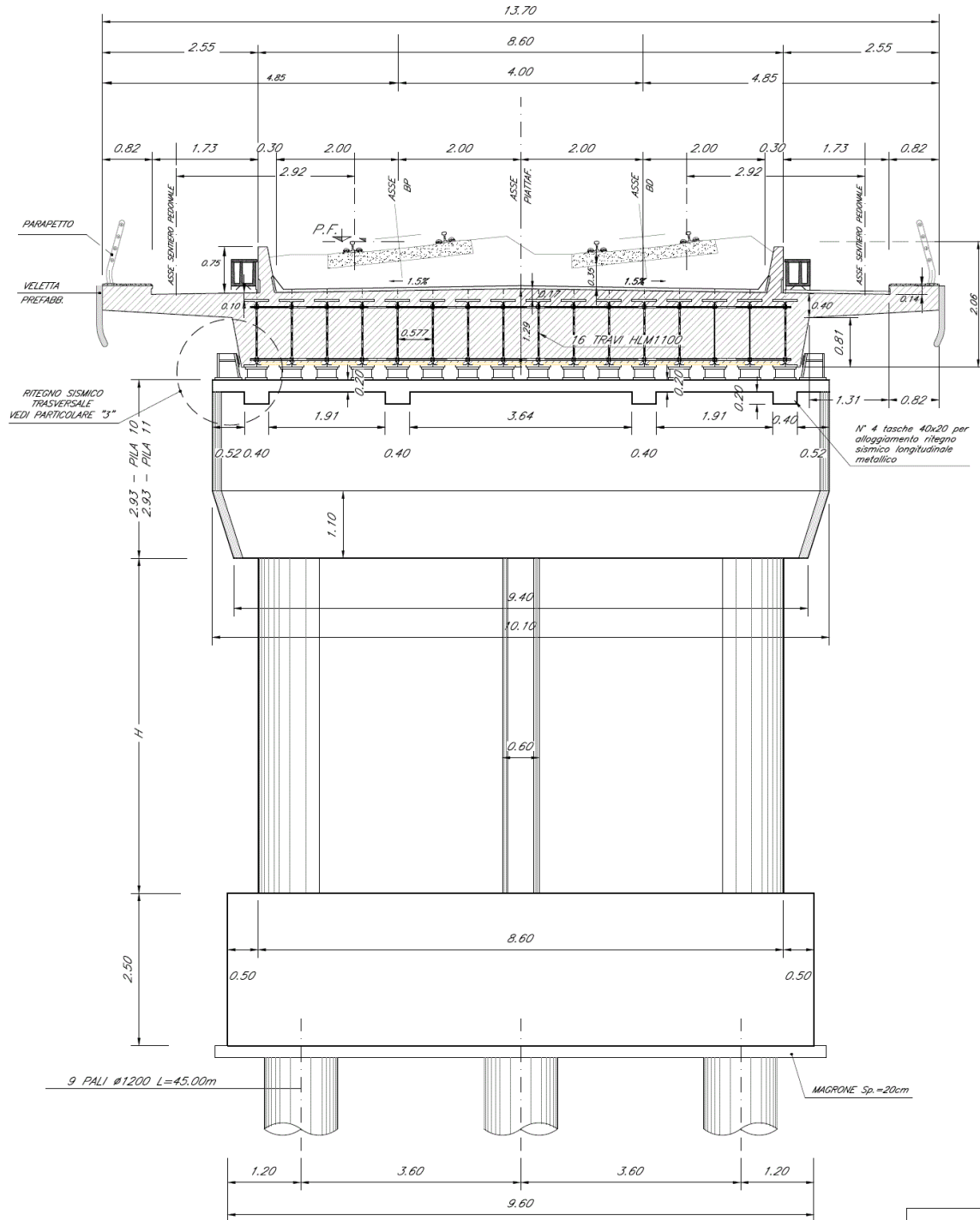


Figura 2 – Pila, prospetto frontale – Impalcato con travi incorporate. [m]





Pile 07-08-09-12: Relazione di calcolo

COMMESSA	LOTTO	CODIFICA	DOCUMENTO	REV.	FOGLIO
IF1N	01 E ZZ	CL	VI0205 003	B	18 di 140

Le seguenti figure illustrano la geometria del pulvino della pila in prospetto longitudinale, differenziata a seconda delle tipologia di impalcato che afferisce alla pila i-esima.

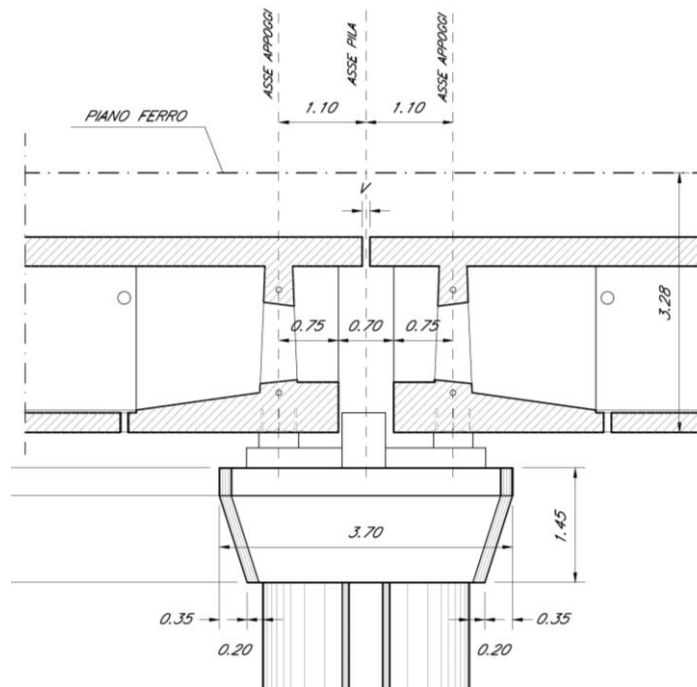


Figura 4 – Pila, prospetto longitudinale – Due impalcati CAP

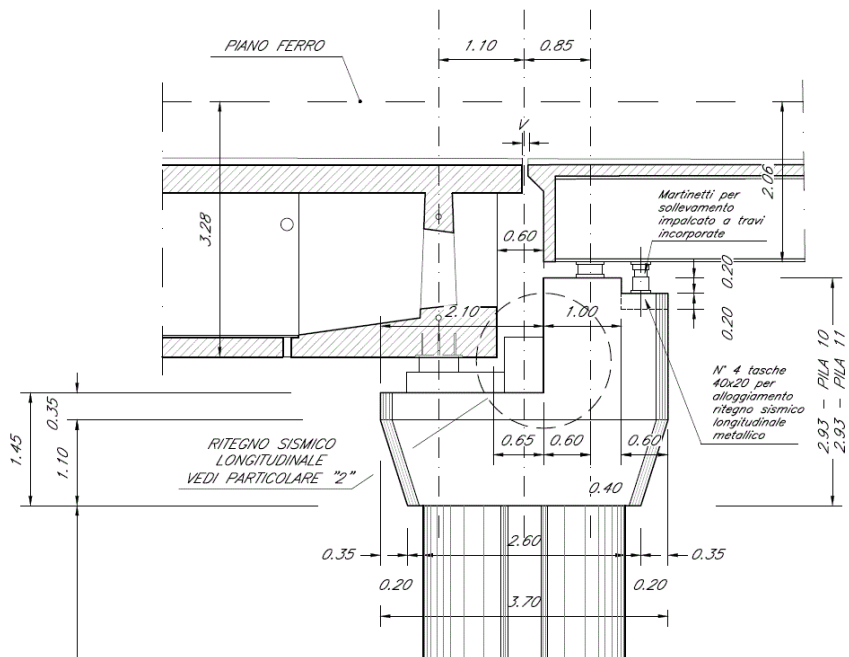


Figura 5 – Pila, prospetto longitudinale – Impalcato in CAP ed impalcato a travi incorporate

	<b>ITINERARIO NAPOLI – BARI</b> <b>RADDOPPIO TRATTA CANCELLO – BENEVENTO</b> <b>I° LOTTO FUNZIONALE CANCELLO - FRASSO TELESINO E</b> <b>VARIANTE ALLA LINEA ROMA-NAPOLI VIA CASSINO NEL</b> <b>COMUNE DI MADDALONI – PROGETTO ESECUTIVO</b>												
<b>Pile 07-08-09-12: Relazione di calcolo</b>	<table border="1"> <thead> <tr> <th>COMMESSA</th> <th>LOTTO</th> <th>CODIFICA</th> <th>DOCUMENTO</th> <th>REV.</th> <th>FOGLIO</th> </tr> </thead> <tbody> <tr> <td>IF1N</td> <td>01 E ZZ</td> <td>CL</td> <td>VI0205 003</td> <td>B</td> <td>19 di 140</td> </tr> </tbody> </table>	COMMESSA	LOTTO	CODIFICA	DOCUMENTO	REV.	FOGLIO	IF1N	01 E ZZ	CL	VI0205 003	B	19 di 140
COMMESSA	LOTTO	CODIFICA	DOCUMENTO	REV.	FOGLIO								
IF1N	01 E ZZ	CL	VI0205 003	B	19 di 140								

Si riportano a seguire due immagini che illustrano lo schema vincolare della campata isostatica i-esima ed il relativo dettaglio della pila i-esima (sono rappresentati due impalcati tipologici).

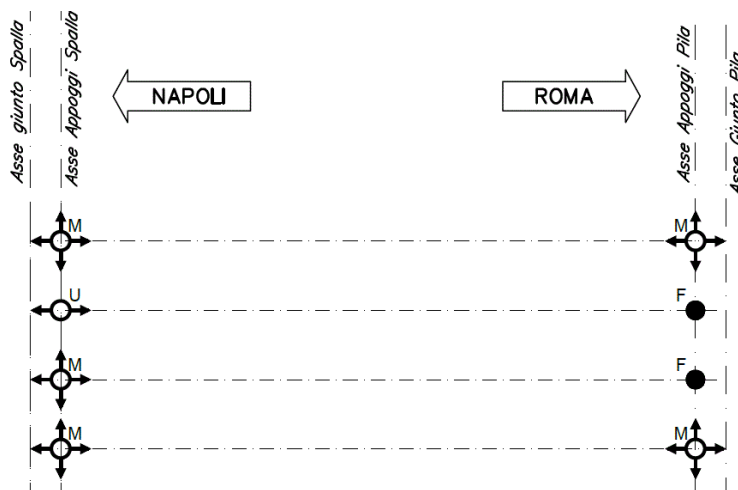
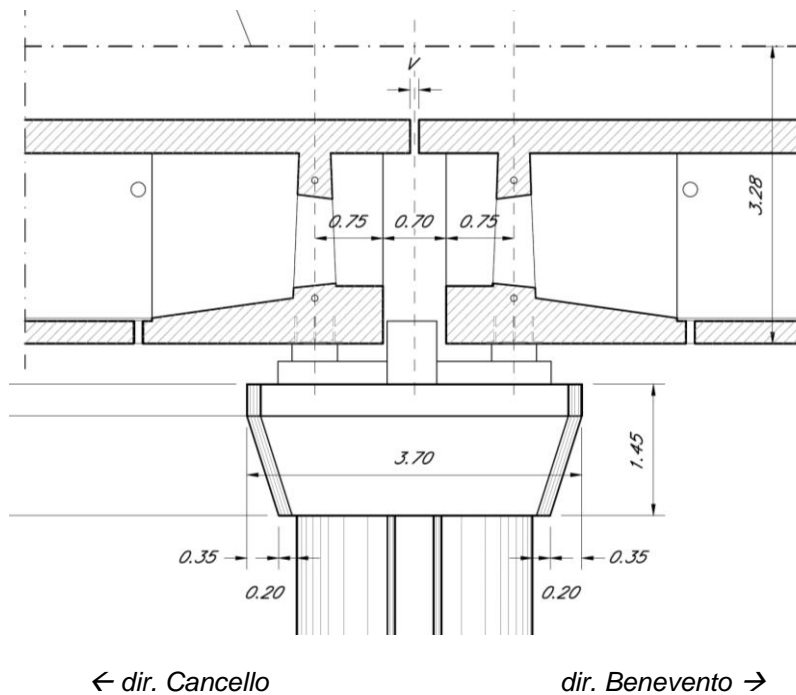


Figura 6 – Viadotto VI06 – Schema vincolare campata isostatica i-esima

Impalcato “precedente” – Fisso longitudinale

Impalcato “successivo” – Mobile longitudinale



← dir. Cancello

dir. Benevento →

Figura 7 – Viadotto VI06 – Schema vincolare pila i-esima

	<b>ITINERARIO NAPOLI – BARI</b> <b>RADDOPPIO TRATTA CANCELLO – BENEVENTO</b> <b>I° LOTTO FUNZIONALE CANCELLO - FRASSO TELESINO E</b> <b>VARIANTE ALLA LINEA ROMA-NAPOLI VIA CASSINO NEL</b> <b>COMUNE DI MADDALONI – PROGETTO ESECUTIVO</b>												
<b>Pile 07-08-09-12: Relazione di calcolo</b>	<table border="1"> <thead> <tr> <th>COMMESSA</th> <th>LOTTO</th> <th>CODIFICA</th> <th>DOCUMENTO</th> <th>REV.</th> <th>FOGLIO</th> </tr> </thead> <tbody> <tr> <td>IF1N</td> <td>01 E ZZ</td> <td>CL</td> <td>VI0205 003</td> <td>B</td> <td>20 di 140</td> </tr> </tbody> </table>	COMMESSA	LOTTO	CODIFICA	DOCUMENTO	REV.	FOGLIO	IF1N	01 E ZZ	CL	VI0205 003	B	20 di 140
COMMESSA	LOTTO	CODIFICA	DOCUMENTO	REV.	FOGLIO								
IF1N	01 E ZZ	CL	VI0205 003	B	20 di 140								

## 6 ANALISI DEI CARICHI

Di seguito si riporta l'analisi dei carichi agenti sulla pila e derivanti dagli impalcati afferenti.

Le azioni e le reazioni riportate sono riferite al seguente sistema di riferimento:

- asse 1 o asse X : asse longitudinale;
- asse 2 o asse Y : asse trasversale;
- asse 3 o asse Z : asse verticale.

### 6.1 PERMANENTI STRUTTURALI (G1)

#### 6.1.1 PESO PROPRIO IMPALCATI

L'impalcato a singola campata isostatica, di luce pari a 25 m in asse ai giunti (22,80 m asse appoggi), è costituito da 4 cassoncini in c.a.p. solidarizzati da trasversi gettati in opera. La soletta è di spessore variabile tra 30 cm e 40 cm ed è anch'essa gettata in opera su predalles prefabbricate.

I carichi afferenti al peso proprio degli impalcati sono calcolati sulla base delle caratteristiche geometriche e del peso unitario di ciascun elemento, come riportato a seguire.

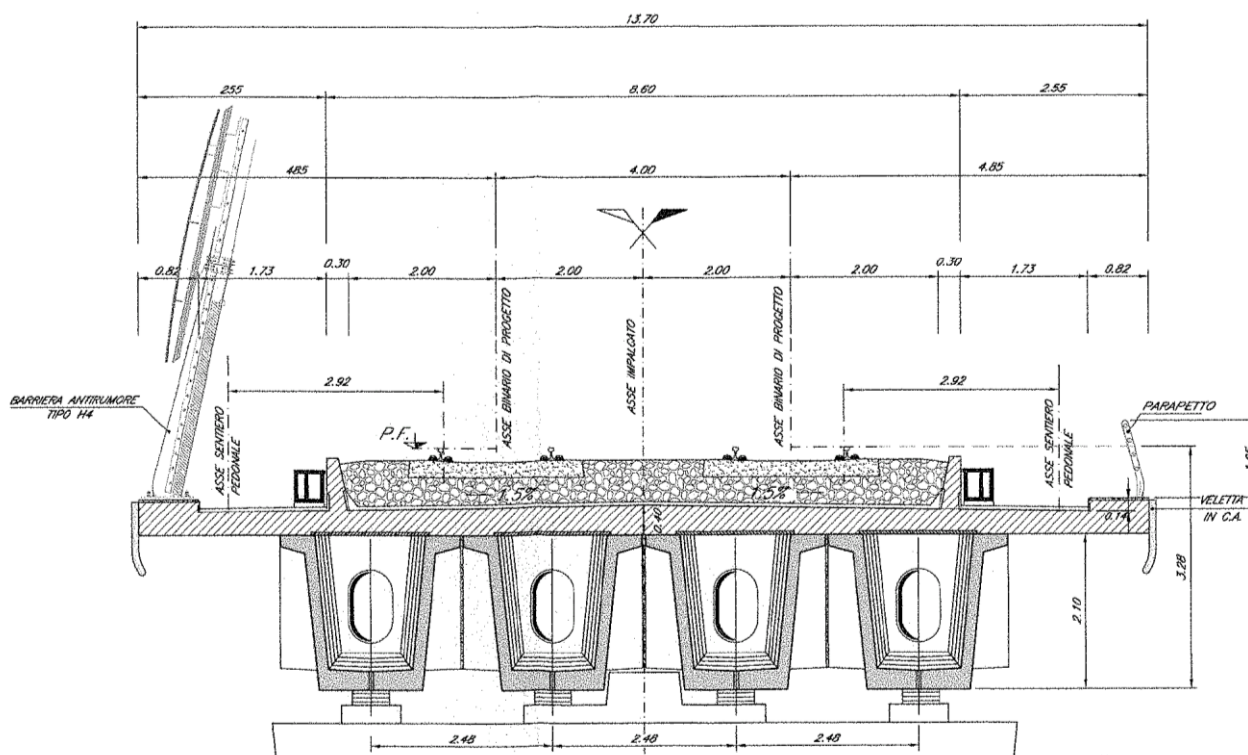


Figura 8 – Impalcato quadri cassone in c.a.p. (L=25m) – Sezione trasversale tipologica [m]

  	<b>ITINERARIO NAPOLI – BARI</b> <b>RADDOPPIO TRATTA CANCELLO – BENEVENTO</b> <b>I° LOTTO FUNZIONALE CANCELLO - FRASSO TELESINO E</b> <b>VARIANTE ALLA LINEA ROMA-NAPOLI VIA CASSINO NEL</b> <b>COMUNE DI MADDALONI – PROGETTO ESECUTIVO</b>												
<b>Pile 07-08-09-12: Relazione di calcolo</b>	<table border="1"> <tr> <td>COMMESSA</td> <td>LOTTO</td> <td>CODIFICA</td> <td>DOCUMENTO</td> <td>REV.</td> <td>FOGLIO</td> </tr> <tr> <td>IF1N</td> <td>01 E ZZ</td> <td>CL</td> <td>VI0205 003</td> <td>B</td> <td>21 di 140</td> </tr> </table>	COMMESSA	LOTTO	CODIFICA	DOCUMENTO	REV.	FOGLIO	IF1N	01 E ZZ	CL	VI0205 003	B	21 di 140
COMMESSA	LOTTO	CODIFICA	DOCUMENTO	REV.	FOGLIO								
IF1N	01 E ZZ	CL	VI0205 003	B	21 di 140								

IMPALCATO-SX

IMPALCATO-DX

Peso proprio travi

A,1 sezione testata =	2,01	m2	2,01	m2
A,1 sezione media transizione =	1,60	m2	1,60	m2
A,1 sezione corrente =	1,13	m2	1,13	m2
L,testata =	1,50	m	1,50	m
L,zona transizione =	3,60	m	3,60	m
L,corrente =	19,20	m	19,20	m
L,tot =	24,30	m	24,30	m
V,1 trave =	30,47	m3	30,47	m3
peso unitario travi =	25,00	kN/m3	25,00	kN/m3
P,1 trave =	761,78	kN	761,78	kN

Peso proprio trasversi

A,1 sez trasverso testata =	2,76	m2	2,76	m2
A,1 sez trasverso corrente =	3,64	m2	3,64	m2
s,trasverso testata =	0,40	m	0,40	m
s,trasverso corrente =	0,25	m	0,25	m
V,1 trave trasversi =	4,03	m3	4,03	m3
peso unitario trasversi =	25,00	kN/m3	25,00	kN/m3
P,1 trave trasv =	100,70	kN	100,70	kN

Peso proprio totale travi e trasversi

P,1 trave+trasv =	862,48	kN	862,48	kN
N,travi =	4,00		4,00	
P,tot travi+trasv =	3449,90	kN	3449,90	kN

Peso proprio soletta

  	<b>ITINERARIO NAPOLI – BARI</b> <b>RADDOPPIO TRATTA CANCELLO – BENEVENTO</b> <b>I° LOTTO FUNZIONALE CANCELLO - FRASSO TELESINO E</b> <b>VARIANTE ALLA LINEA ROMA-NAPOLI VIA CASSINO NEL</b> <b>COMUNE DI MADDALONI – PROGETTO ESECUTIVO</b>												
<b>Pile 07-08-09-12: Relazione di calcolo</b>	<table border="1"> <thead> <tr> <th>COMMESSA</th> <th>LOTTO</th> <th>CODIFICA</th> <th>DOCUMENTO</th> <th>REV.</th> <th>FOGLIO</th> </tr> </thead> <tbody> <tr> <td>IF1N</td> <td>01 E ZZ</td> <td>CL</td> <td>VI0205 003</td> <td>B</td> <td>22 di 140</td> </tr> </tbody> </table>	COMMESSA	LOTTO	CODIFICA	DOCUMENTO	REV.	FOGLIO	IF1N	01 E ZZ	CL	VI0205 003	B	22 di 140
COMMESSA	LOTTO	CODIFICA	DOCUMENTO	REV.	FOGLIO								
IF1N	01 E ZZ	CL	VI0205 003	B	22 di 140								

A soletta =	5,05	m2	5,05	m2
L impalcato =	25,00	m	25,00	m
peso unitario soletta =	25,00	kN/m3	25,00	kN/m3

P soletta =	3156,25	kN	3156,25	kN
-------------	---------	----	---------	----

#### Peso proprio totale impalcato

Peso impalcato =	6606,15	kN	6606,15	kN
------------------	---------	----	---------	----

#### Risultanti reazioni vincolari

F1 =	0		0	
F2 =	0		0	
F3 =	3303	kN	3303	kN
M1 =	0		0	
M2 =	0		0	
M3 =	0		0	

### 6.1.2 PESO PROPRIO PILA

I carichi afferenti al peso proprio degli elementi costituenti la pila (fusto, pulvino e fondazioni) sono calcolati sulla base delle caratteristiche geometriche di ciascun elemento e considerando un peso unitario del calcestruzzo pari a 25,00 kN/m<sup>3</sup>.

## 6.2 PERMANENTI NON STRUTTURALI (G2)

I carichi permanenti non strutturali sono costituiti dal peso della massicciata, dal peso delle barriere antirumore e dal peso delle canalette portacavi. In aggiunta ai permanenti non strutturali portati dagli impalcati si hanno anche quelli costituiti dal riempimento della pila e dal sovraccarico del terreno di ricoprimento del plinto.

La normativa distingue tra ballast e permanenti non strutturali generici nell'assegnazione dei valori del coefficiente di combinazione (rif. §1.8.3.1 [3]), per questo motivo nei paragrafi a seguire i due casi di carico vengono trattati separatamente.

### 6.2.1 BALLAST (G21)

Secondo il §1.3.2 [3], ove non si eseguano valutazioni più dettagliate, la determinazione dei carichi permanenti portati relativi al peso della massicciata, armamento e dell'impermeabilizzazione potrà effettuarsi assumendo convenzionalmente, per linea in rettilineo, un peso di volume pari a 18,00 kN/m<sup>3</sup>, applicato su tutta la larghezza media compresa fra i muretti paraballast, per un'altezza media fra p.f. ed estradosso impalcato pari a 0,80 m. Per i ponti in curva si assume un peso convenzionale di 20 kN/m<sup>3</sup>.

  	<b>ITINERARIO NAPOLI – BARI</b> <b>RADDOPPIO TRATTA CANCELLO – BENEVENTO</b> <b>I° LOTTO FUNZIONALE CANCELLO - FRASSO TELESINO E</b> <b>VARIANTE ALLA LINEA ROMA-NAPOLI VIA CASSINO NEL</b> <b>COMUNE DI MADDALONI – PROGETTO ESECUTIVO</b>												
<b>Pile 07-08-09-12: Relazione di calcolo</b>	<table border="1"> <tr> <td>COMMESSA</td> <td>LOTTO</td> <td>CODIFICA</td> <td>DOCUMENTO</td> <td>REV.</td> <td>FOGLIO</td> </tr> <tr> <td>IF1N</td> <td>01 E ZZ</td> <td>CL</td> <td>VI0205 003</td> <td>B</td> <td>23 di 140</td> </tr> </table>	COMMESSA	LOTTO	CODIFICA	DOCUMENTO	REV.	FOGLIO	IF1N	01 E ZZ	CL	VI0205 003	B	23 di 140
COMMESSA	LOTTO	CODIFICA	DOCUMENTO	REV.	FOGLIO								
IF1N	01 E ZZ	CL	VI0205 003	B	23 di 140								

IMPALCATO - SX

IMPALCATO - DX

Peso ballast

p,ballast rettilifo =	18,00	kN/m3	18,00	kN/m3
p,ballast curva =	20,00	kN/m3	20,00	kN/m3
tracciato in curva (S/N) =	S		S	
p,ballast =	20,00	kN/m3	20,00	kN/m3
s ballast =	0,80	m	0,80	m
L ballast =	8,30	m	8,30	m
L impalcato =	25,00		25,00	
P,tot ballast =	3320,00	kN	3320,00	kN

Muretti paraballast

A,muretti paraballast (2) =	0,287	m2	0,287	m2
peso unitario muretti =	25,00	kN/m3	25,00	kN/m3
P,tot muretti =	179,13	kN	179,13	kN

Peso totale massicciata

Peso totale massicciata =	3499,13	kN	3499,13	kN
---------------------------	---------	----	---------	----

Risultanti reazioni vincolari

F1 =	0		0	
F2 =	0		0	
F3 =	1750	kN	1750	kN
M1 =	0		0	
M2 =	0		0	
M3 =	0		0	

  	<b>ITINERARIO NAPOLI – BARI</b> <b>RADDOPPIO TRATTA CANCELLO – BENEVENTO</b> <b>I° LOTTO FUNZIONALE CANCELLO - FRASSO TELESINO E</b> <b>VARIANTE ALLA LINEA ROMA-NAPOLI VIA CASSINO NEL</b> <b>COMUNE DI MADDALONI – PROGETTO ESECUTIVO</b>												
<b>Pile 07-08-09-12: Relazione di calcolo</b>	<table border="1"> <tr> <td>COMMESSA</td> <td>LOTTO</td> <td>CODIFICA</td> <td>DOCUMENTO</td> <td>REV.</td> <td>FOGLIO</td> </tr> <tr> <td>IF1N</td> <td>01 E ZZ</td> <td>CL</td> <td>VI0205 003</td> <td>B</td> <td>24 di 140</td> </tr> </table>	COMMESSA	LOTTO	CODIFICA	DOCUMENTO	REV.	FOGLIO	IF1N	01 E ZZ	CL	VI0205 003	B	24 di 140
COMMESSA	LOTTO	CODIFICA	DOCUMENTO	REV.	FOGLIO								
IF1N	01 E ZZ	CL	VI0205 003	B	24 di 140								

## 6.2.2 PERMANENTI NON STRUTTURALI GENERICI (G22)

### 6.2.2.1 AFFERENTI ALL'IMPALCATO

Secondo il §1.3.2 [3], nella progettazione di nuovi ponti ferroviari dovranno essere sempre considerati i pesi le azioni e gli ingombri associati all'introduzione delle barriere antirumore, anche nei casi in cui non ne sia originariamente prevista la realizzazione, assumendo un peso pari a 4,00 kN/m<sup>2</sup> ed un'altezza minima di 4,00 m misurata dall'estradosso della soletta. Cautelativamente si considerano presenti barriere H4 ad entrambe le estremità dell'impalcato.

#### IMPALCATO - SX

#### IMPALCATO - DX

##### Peso barriere antirumore

P,barriere =	4,00	kN/m <sup>2</sup>	4,00	kN/m <sup>2</sup>
B.A. lato sx =	H4		H4	
B.A. lato sdx =	H4		H4	
H,barriera sx (min. 4m) =	5,40	m	5,40	m
H,barriera dx (min. 4m) =	5,40	m	5,40	m
L impalcato =	25,00	m	25,00	m
P,tot barriere =	1080,00	kN	1080,00	kN

##### Peso cordoli, muretti paraballast, velette

A,cordoli =	0,36	m <sup>2</sup>	0,36	m <sup>2</sup>
A,veletta =	0,19	m <sup>2</sup>	0,19	m <sup>2</sup>
P,tot arredi =	342,00	kN	342,00	kN

##### Peso canalette portacavi

P,canalette =	5,00	kN/m	5,00	kN/m
P,tot canalette =	125,00	kN	125,00	kN

##### Permanenti non strutturali totali

Permanenti tot =	1547,00	kN	1547,00	kN
------------------	---------	----	---------	----



  	<b>ITINERARIO NAPOLI – BARI</b> <b>RADDOPPIO TRATTA CANCELLO – BENEVENTO</b> <b>I° LOTTO FUNZIONALE CANCELLO - FRASSO TELESINO E</b> <b>VARIANTE ALLA LINEA ROMA-NAPOLI VIA CASSINO NEL</b> <b>COMUNE DI MADDALONI – PROGETTO ESECUTIVO</b>												
<b>Pile 07-08-09-12: Relazione di calcolo</b>	<table border="1"> <thead> <tr> <th>COMMESSA</th> <th>LOTTO</th> <th>CODIFICA</th> <th>DOCUMENTO</th> <th>REV.</th> <th>FOGLIO</th> </tr> </thead> <tbody> <tr> <td>IF1N</td> <td>01 E ZZ</td> <td>CL</td> <td>VI0205 003</td> <td>B</td> <td>25 di 140</td> </tr> </tbody> </table>	COMMESSA	LOTTO	CODIFICA	DOCUMENTO	REV.	FOGLIO	IF1N	01 E ZZ	CL	VI0205 003	B	25 di 140
COMMESSA	LOTTO	CODIFICA	DOCUMENTO	REV.	FOGLIO								
IF1N	01 E ZZ	CL	VI0205 003	B	25 di 140								

### Risultanti reazioni vincolari

F1 =	0		0	
F2 =	0		0	
F3 =	774	kN	774	kN
M1 =	0		0	
M2 =	0		0	
M3 =	0		0	

### **6.2.3 RIEMPIMENTO PILA E TERRENO DI RICOPRIMENTO**

Il riempimento della pila ed il terreno di ricoprimento del plinto costituiscono un carico permanente portato agente sul plinto di fondazione al livello dell'estradosso plinto.

Le forze risultanti così calcolate vengono considerate come forze concentrate agenti in corrispondenza dell'estradosso del plinto.

#### Peso terreno di ricoprimento

Area ingombro pila:

dlong	2.6	m
dtrasv	8.6	m
A	22.36	m <sup>2</sup>

Peso terreno:

dlong	9.6	m
dtrasv	9.6	m
hterr	1.16	m
gterr	20	kN/m <sup>3</sup>
Wterr	<b>1619</b>	kN

#### Peso riempimento pila

Assente.

#### Permanenti non strutturali pila totali

Pari a Wterr.

	<b>ITINERARIO NAPOLI – BARI</b> <b>RADDOPPIO TRATTA CANCELLO – BENEVENTO</b> <b>I° LOTTO FUNZIONALE CANCELLO - FRASSO TELESINO E</b> <b>VARIANTE ALLA LINEA ROMA-NAPOLI VIA CASSINO NEL</b> <b>COMUNE DI MADDALONI – PROGETTO ESECUTIVO</b>												
<b>Pile 07-08-09-12: Relazione di calcolo</b>	<table border="1"> <thead> <tr> <th>COMMESSA</th> <th>LOTTO</th> <th>CODIFICA</th> <th>DOCUMENTO</th> <th>REV.</th> <th>FOGLIO</th> </tr> </thead> <tbody> <tr> <td>IF1N</td> <td>01 E ZZ</td> <td>CL</td> <td>VI0205 003</td> <td>B</td> <td>26 di 140</td> </tr> </tbody> </table>	COMMESSA	LOTTO	CODIFICA	DOCUMENTO	REV.	FOGLIO	IF1N	01 E ZZ	CL	VI0205 003	B	26 di 140
COMMESSA	LOTTO	CODIFICA	DOCUMENTO	REV.	FOGLIO								
IF1N	01 E ZZ	CL	VI0205 003	B	26 di 140								

## 6.3 CARICHI DA TRAFFICO

Le azioni verticali associate ai convogli ferroviari si schematizzano mediante i modelli di carico teorici LM71 e SW/2.

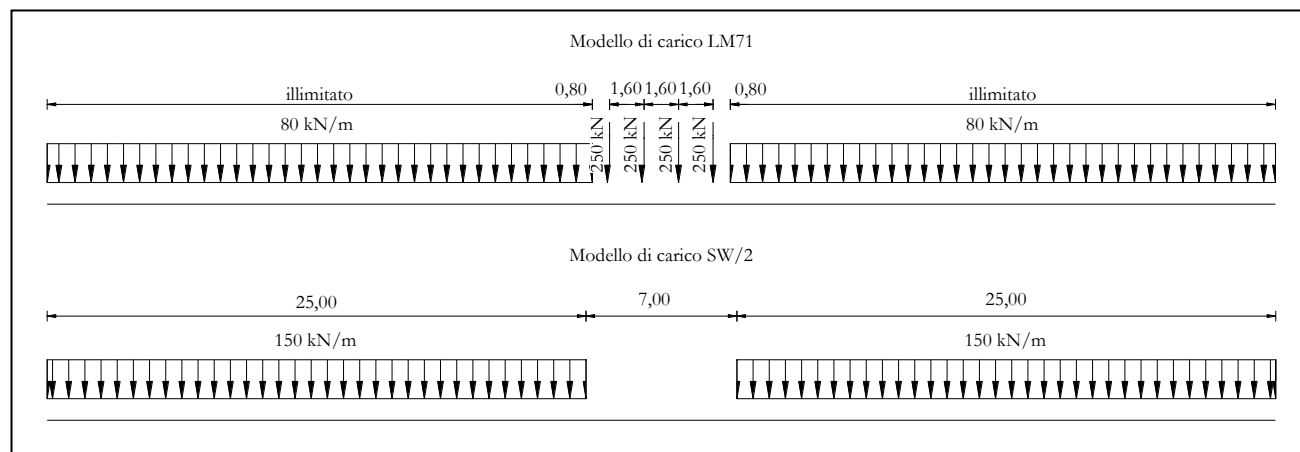


Figura 9 – Modelli di carico teorici LM71 e SW/2

Le differenti disposizioni degli assi e delle stese di carico considerate sono state definite in modo tale da massimizzare gli scarichi sulla pila:

- *Disposizione 1:* disposizione atta a massimizzare lo scarico assiale sulla pila. Prevede entrambi i binari di entrambe le campate caricate con i modelli LM71 e SW/2. Gli assi del LM71 e la stesa di carico di 25 m del SW/2 sono centrati sulla pila.
- *Disposizione 2:* disposizione atta a massimizzare il momento longitudinale (momento che “gira” intorno all’asse trasversale) sulla pila. Prevede entrambi i binari di un solo impalcato caricate con i modelli LM71 e SW/2. Gli assi del modello LM71 e la stesa di carico di 25 m del modello SW/2 sono posizionati a partire dall’estremità sinistra dell’impalcato di destra.
- *Disposizione 3:* disposizione atta a massimizzare il momento trasversale (momento che “gira” intorno all’asse longitudinale) sulla pila. Prevede un solo binario di entrambi gli impalcati caricato il modello SW/2. La stesa di carico di 25 m del modello SW/2 è centrata sulla pila.
- *Disposizione 4:* disposizione atta a massimizzare il momento trasversale (momento che “gira” intorno all’asse longitudinale) sulla pila. Prevede un solo binario di entrambi gli impalcati caricato con il modello LM71. Gli assi del LM71 sono centrati sulla pila.
- *Disposizione 5:* disposizione atta a massimizzare lo scarico assiale sulla pila e contemporaneamente a creare un momento longitudinale (che “gira” intorno all’asse trasversale) sulla pila. Prevede entrambi i binari di entrambe le campate caricate con i modelli LM71 e SW/2. Gli assi del LM71 e la stesa di carico di 25 m del SW/2 sono posizionati a partire dall’estremità sinistra dell’impalcato di destra.
- *Disposizione 6:* disposizione atta a massimizzare lo scarico assiale sulla pila. Prevede entrambi i binari di entrambe le campate caricate con i modelli LM71 e SW/2. Gli assi del LM71 ed il tratto scarico di 7 m del SW/2 sono centrati sulla pila.
- *Disposizione 7:* disposizione atta a minimizzare lo scarico assiale sulla pila e contemporaneamente a massimizzare il momento longitudinale (momento che “gira” intorno all’asse trasversale). Prevede entrambi i binari di un solo impalcato caricate con i modelli LM71 e SW/2. Gli assi del modello LM71 e la stesa di carico di 25 m del modello SW/2 sono posizionati a partire dall’estremità sinistra dell’impalcato di destra.

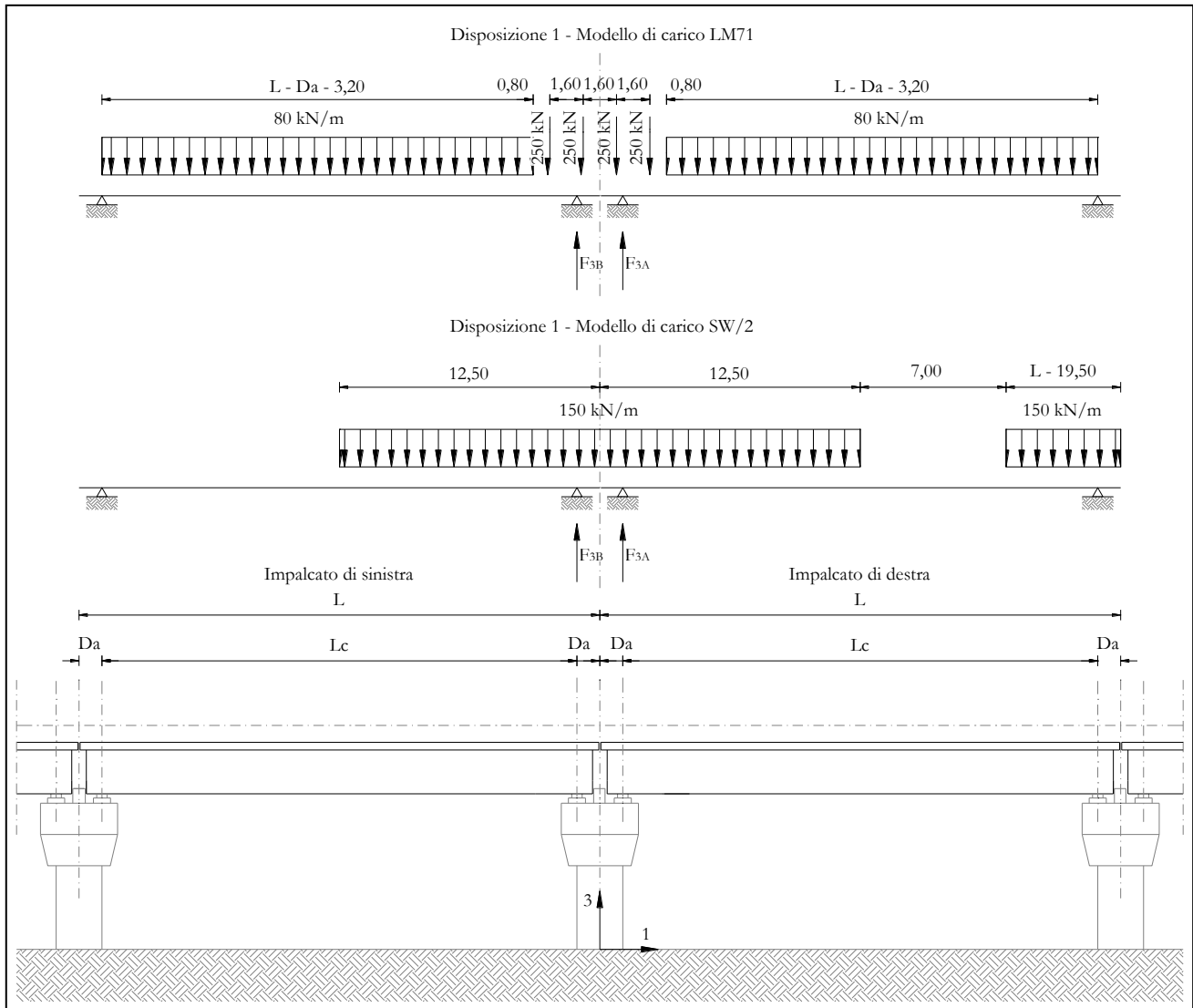


Figura 10 – Disposizione di carico 1

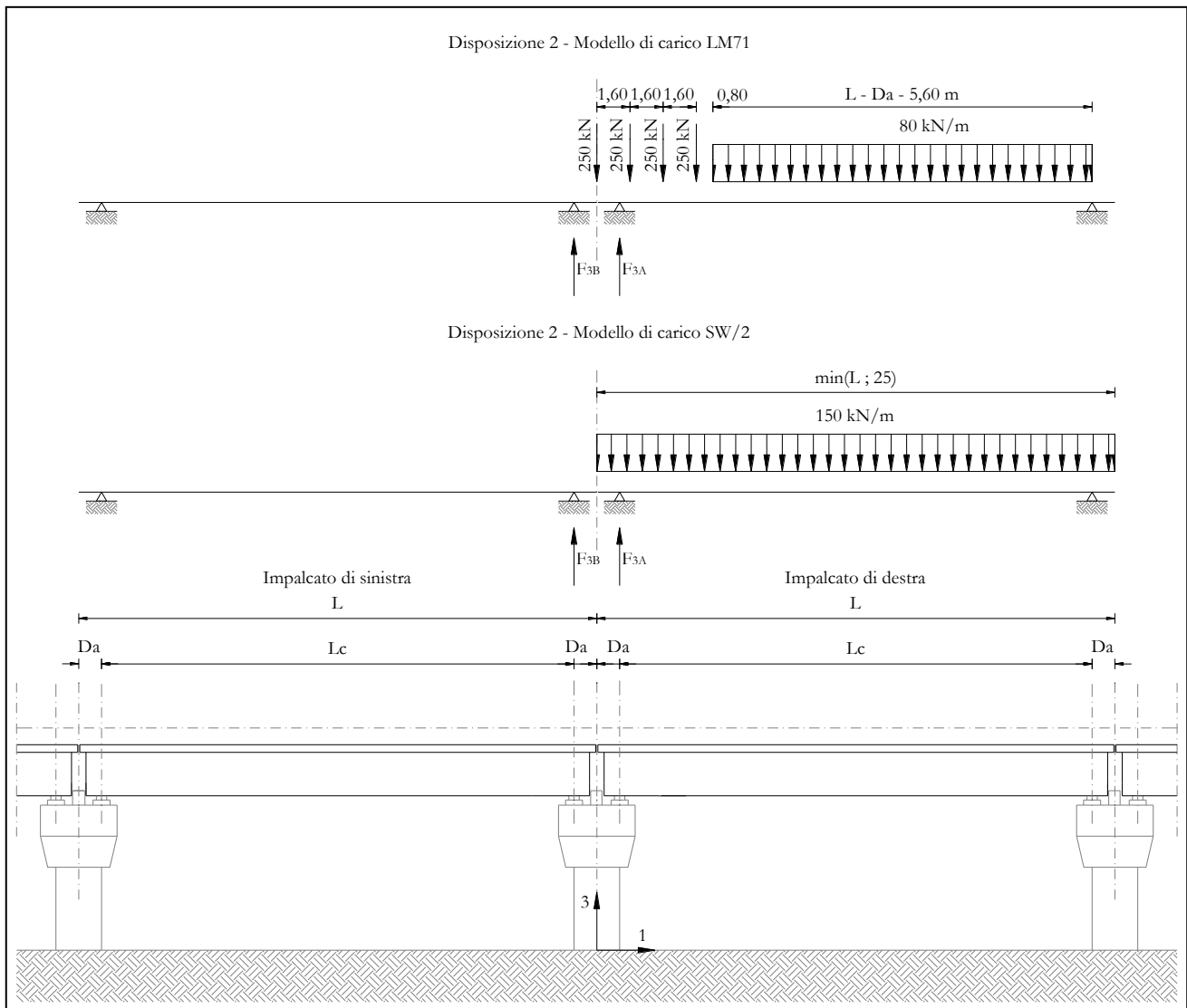


Figura 11 – Disposizione di carico 2

Pile 07-08-09-12: Relazione di calcolo

COMMESSA	LOTTO	CODIFICA	DOCUMENTO	REV.	FOGLIO
IF1N	01 E ZZ	CL	VI0205 003	B	29 di 140

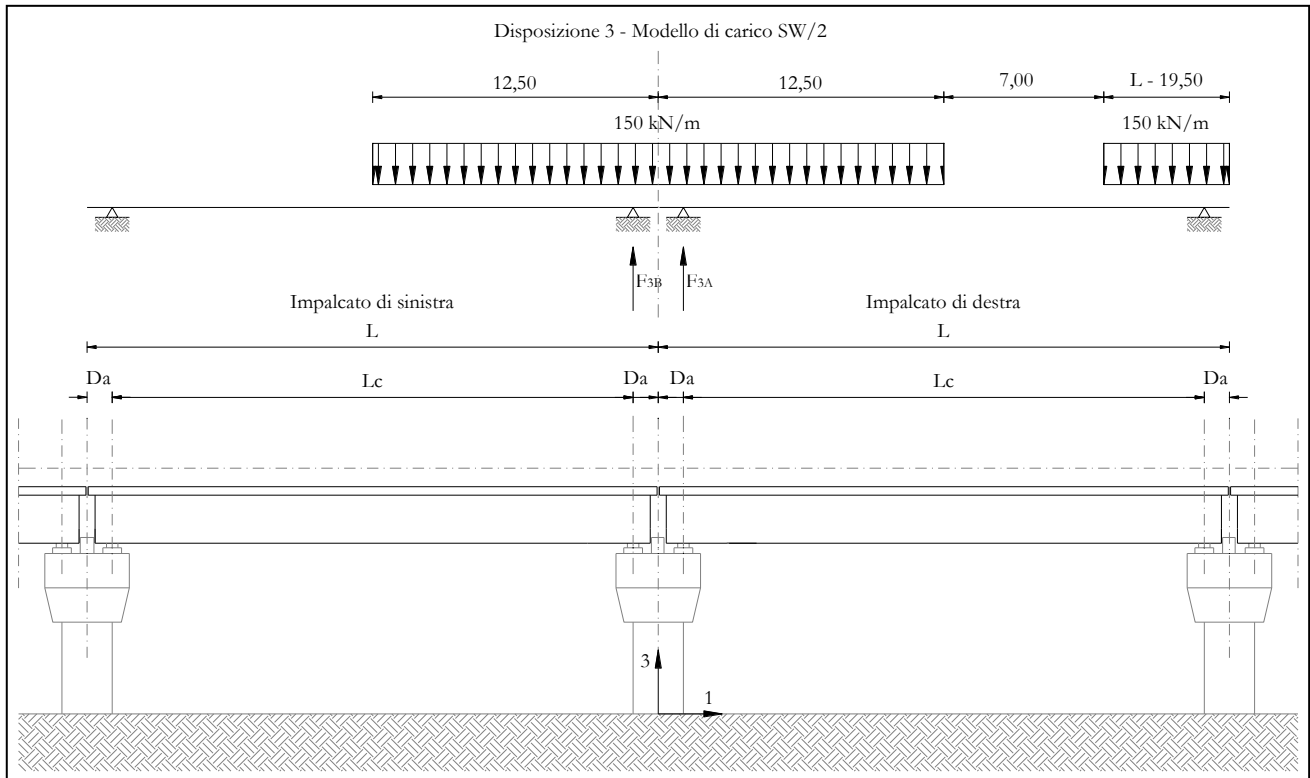


Figura 12 – Disposizione di carico 3

Pile 07-08-09-12: Relazione di calcolo

COMMESSA	LOTTO	CODIFICA	DOCUMENTO	REV.	FOGLIO
IF1N	01 E ZZ	CL	VI0205 003	B	30 di 140

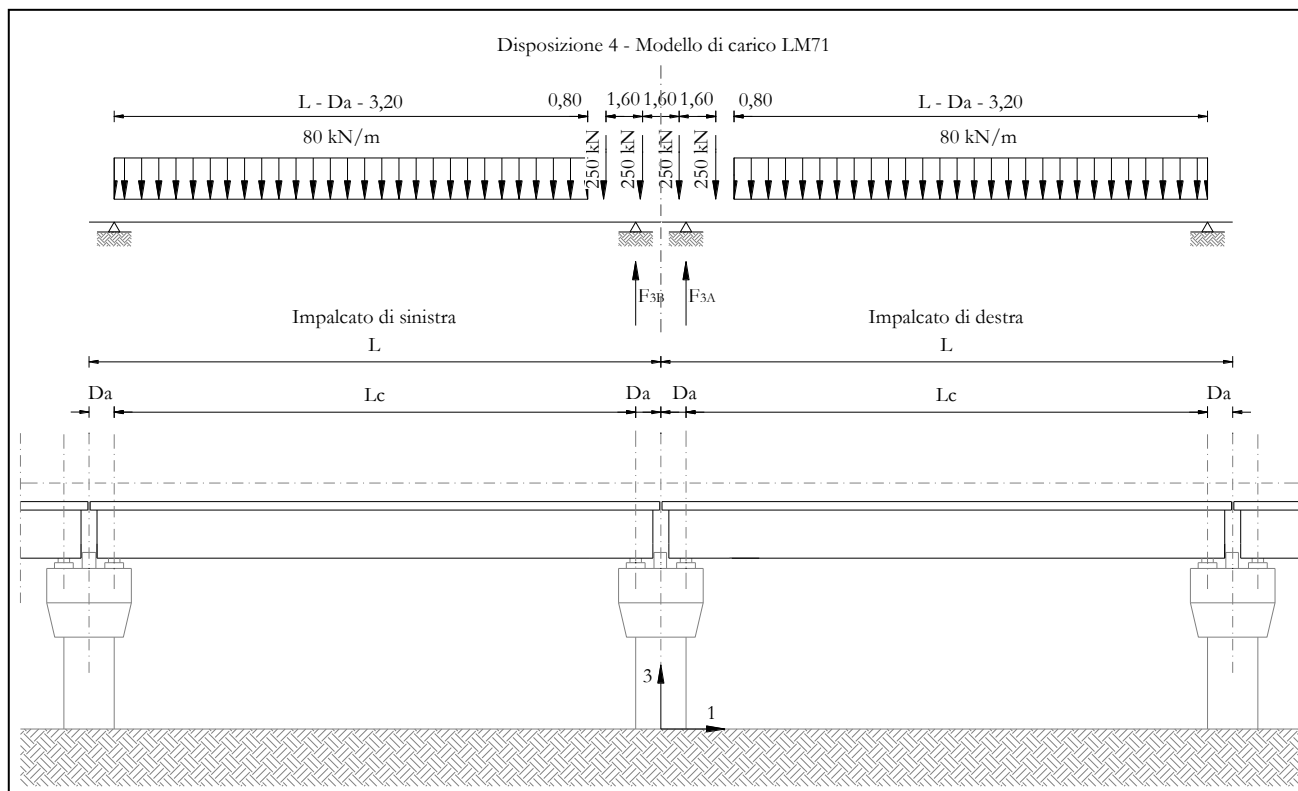


Figura 13 – Disposizione di carico 4

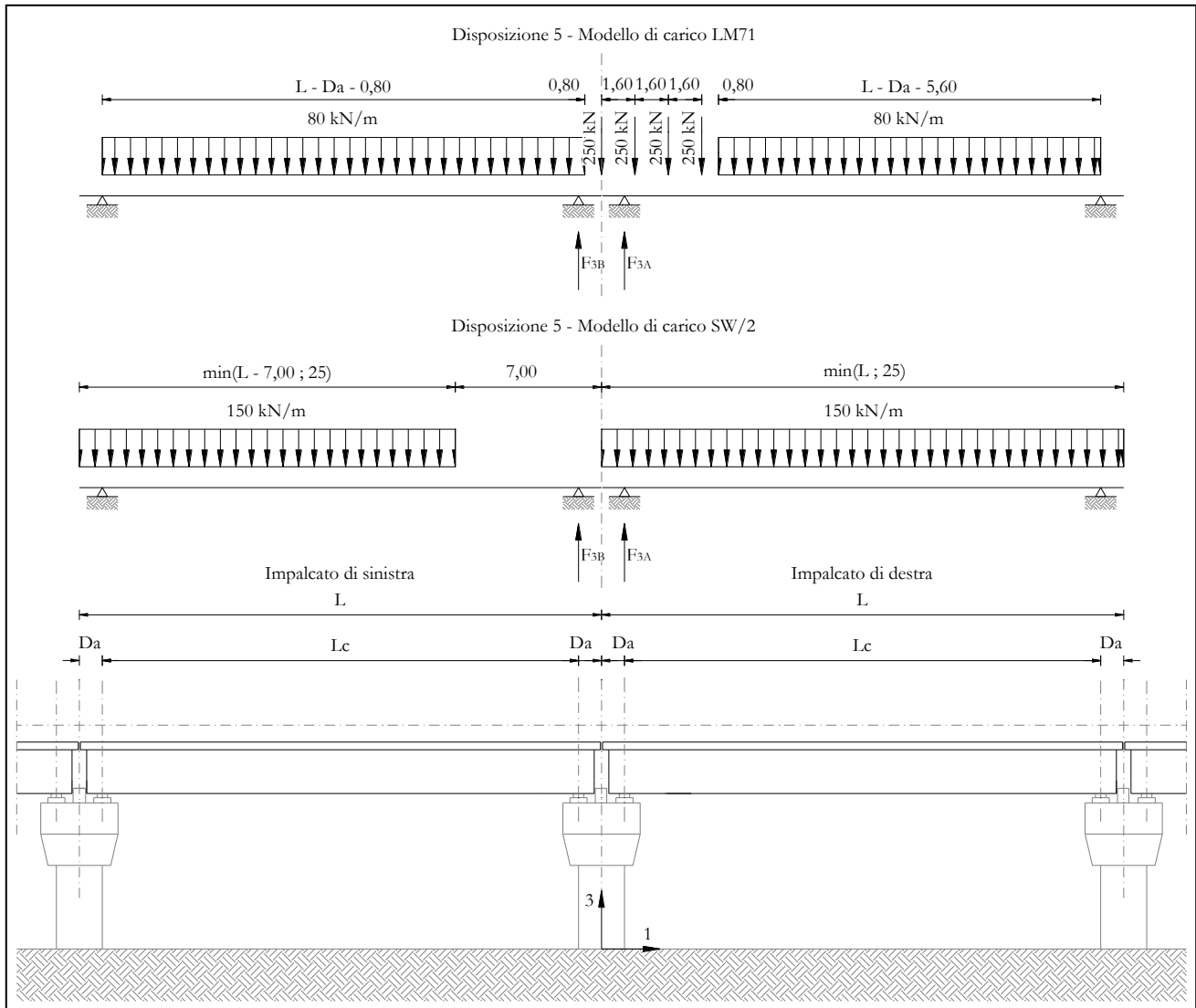


Figura 14 – Disposizione di carico 5

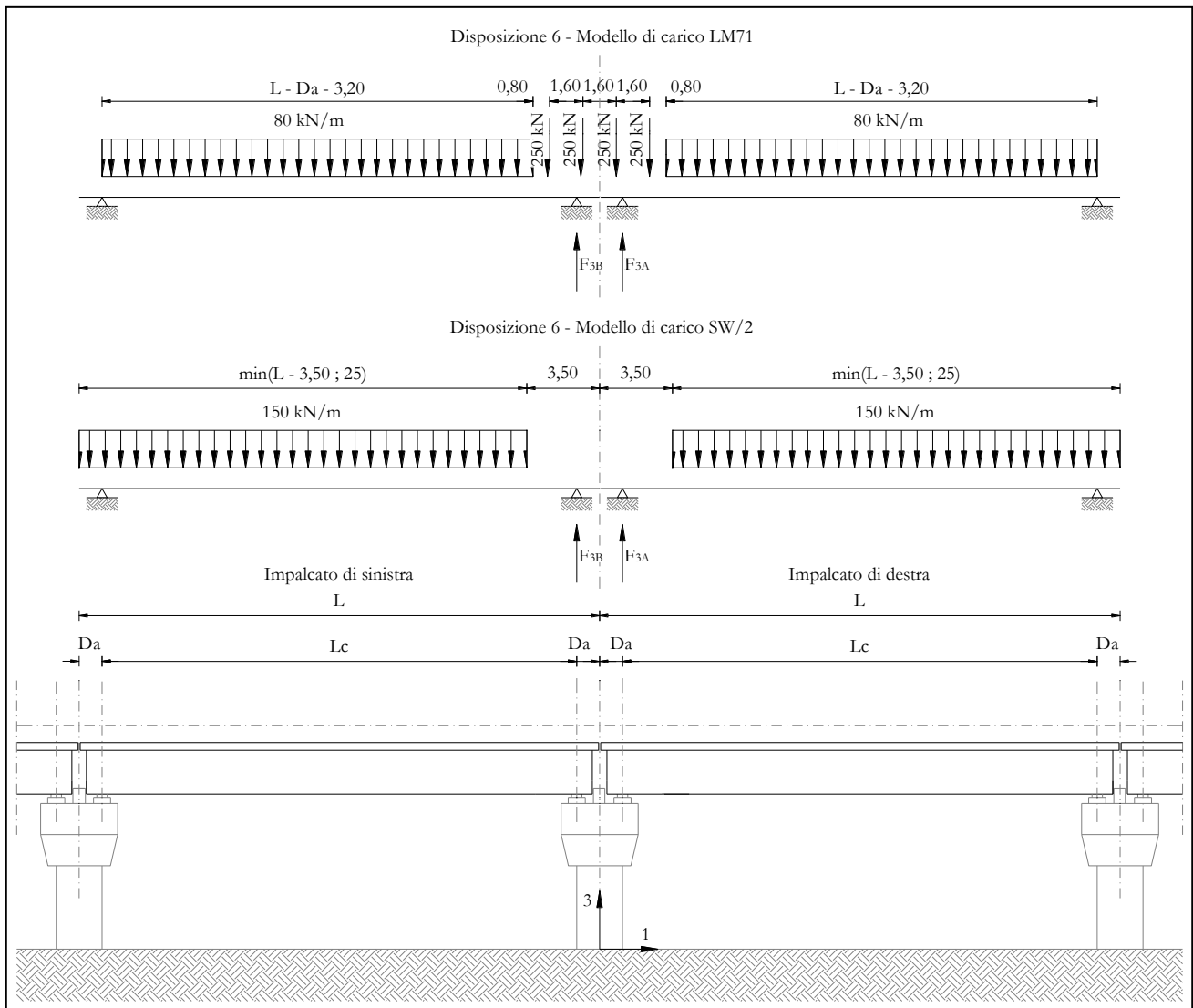


Figura 15 – Disposizione di carico 6



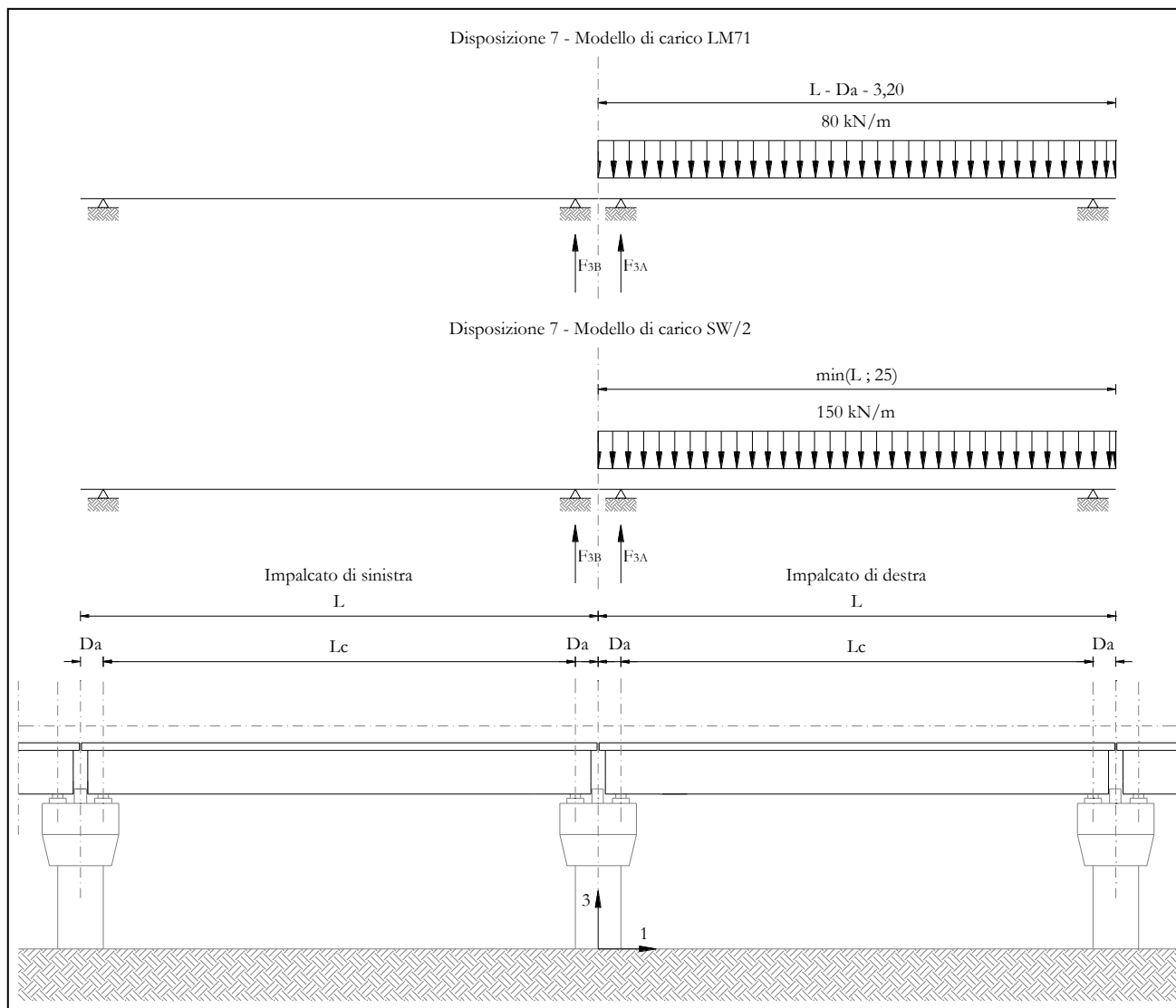


Figura 16 – Disposizione di carico 7

I valori caratteristici dei carichi attribuiti ai modelli di carico devono essere moltiplicati per il coefficiente  $\alpha$  che deve assumersi come da tabella seguente:

Modello di carico	Coefficiente $\alpha$
LM71	1,10
SW/2	1,00

  	<b>ITINERARIO NAPOLI – BARI</b> <b>RADDOPPIO TRATTA CANCELLO – BENEVENTO</b> <b>I° LOTTO FUNZIONALE CANCELLO - FRASSO TELESINO E</b> <b>VARIANTE ALLA LINEA ROMA-NAPOLI VIA CASSINO NEL</b> <b>COMUNE DI MADDALONI – PROGETTO ESECUTIVO</b>												
<b>Pile 07-08-09-12: Relazione di calcolo</b>	<table border="1"> <thead> <tr> <th>COMMESSA</th> <th>LOTTO</th> <th>CODIFICA</th> <th>DOCUMENTO</th> <th>REV.</th> <th>FOGLIO</th> </tr> </thead> <tbody> <tr> <td>IF1N</td> <td>01 E ZZ</td> <td>CL</td> <td>VI0205 003</td> <td>B</td> <td>34 di 140</td> </tr> </tbody> </table>	COMMESSA	LOTTO	CODIFICA	DOCUMENTO	REV.	FOGLIO	IF1N	01 E ZZ	CL	VI0205 003	B	34 di 140
COMMESSA	LOTTO	CODIFICA	DOCUMENTO	REV.	FOGLIO								
IF1N	01 E ZZ	CL	VI0205 003	B	34 di 140								

I valori caratteristici dei carichi attribuiti ai modelli di carico devono essere moltiplicati per coefficienti che tengono conto dell'amplificazione dinamica. I coefficienti di amplificazione dinamica  $\Phi$  si assumono pari a  $\Phi_2$  o  $\Phi_3$  in dipendenza dal livello di manutenzione della linea. In particolare si assumerà:

- per linee con elevato standard manutentivo:  
 $\Phi_2 = 1,44/(\sqrt{L_\Phi - 0,2}) + 0,82$  con limitazione  $1,00 \leq \Phi_2 \leq 1,67$
- per linee con normale standard manutentivo:  
 $\Phi_3 = 2,16/(\sqrt{L_\Phi - 0,2}) + 0,73$  con limitazione  $1,00 \leq \Phi_3 \leq 2,00$

Pile con snellezza  $\lambda \leq 30$ , spalle, fondazioni, muri di sostegno e spinte del terreno possono essere calcolate assumendo coefficienti dinamici unitari.

I pila	9.4	m4	inerzia pila
A pila	10.425	m2	area sez. pila
r_pila	0.95	m	raggio inerzia
H pila	6.9	m	altezza max
$\lambda$ pila	14.5	< 30	snellezza

	<u>IMPALCATO "A"</u>	<u>IMPALCATO "B"</u>
Standard manutentivo =	<i>Normale</i>	<i>Normale</i>

Valori adottati:

$\Phi$ elevazione =	1.00	1.00
$\Phi$ fondazioni =	1.00	1.00

  	<b>ITINERARIO NAPOLI – BARI</b> <b>RADDOPPIO TRATTA CANCELLO – BENEVENTO</b> <b>I° LOTTO FUNZIONALE CANCELLO - FRASSO TELESINO E</b> <b>VARIANTE ALLA LINEA ROMA-NAPOLI VIA CASSINO NEL</b> <b>COMUNE DI MADDALONI – PROGETTO ESECUTIVO</b>					
	<b>Pile 07-08-09-12: Relazione di calcolo</b>	COMMESSA <b>IF1N</b>	LOTTO <b>01 E ZZ</b>	CODIFICA <b>CL</b>	DOCUMENTO <b>VI0205 003</b>	REV. <b>B</b>

### 6.3.1 CARICHI VERTICALI DA TRAFFICO (Q1)

Di seguito si riportano i risultati delle reazioni vincolari per le diverse disposizioni di carico considerate e descritte precedentemente nel §6.3.

#### 6.3.1.1 DISPOSIZIONE DI CARICO 1 (Q11)

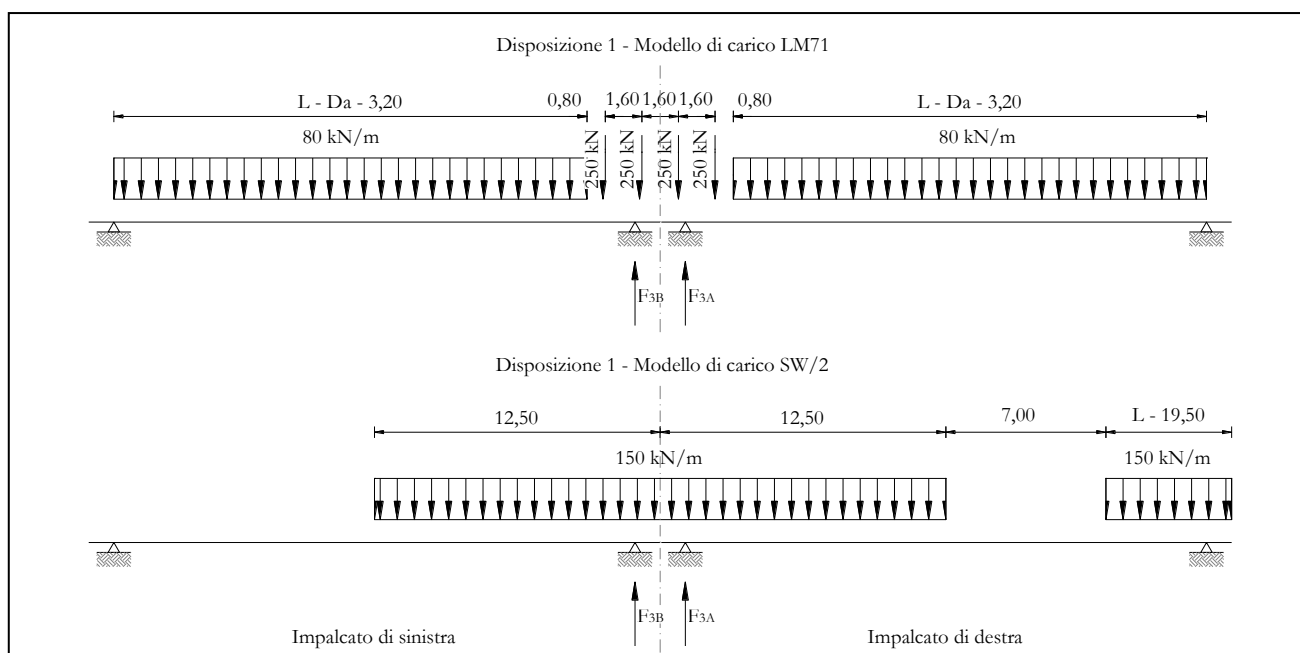


Figura 17 – Disposizione di carico 1

	IMPALCATO-SX		IMPALCATO-DX	
	Reazioni vincolari B		Reazioni vincolari A	

Modello di carico LM71

F3 =	1240,77	kN	1240,77	kN
$\alpha$ =	1,10		1,10	
eccentricità =	-1,92	m	-1,92	m

Modello di carico SW/2

F3 =	1451,48	kN	1511,18	kN
$\alpha$ =	1,00		1,00	
eccentricità =	2,00	m	2,00	m

  	<b>ITINERARIO NAPOLI – BARI</b> <b>RADDOPPIO TRATTA CANCELLO – BENEVENTO</b> <b>I° LOTTO FUNZIONALE CANCELLO - FRASSO TELESINO E</b> <b>VARIANTE ALLA LINEA ROMA-NAPOLI VIA CASSINO NEL</b> <b>COMUNE DI MADDALONI – PROGETTO ESECUTIVO</b>												
<b>Pile 07-08-09-12: Relazione di calcolo</b>	<table border="1"> <thead> <tr> <th>COMMESSA</th> <th>LOTTO</th> <th>CODIFICA</th> <th>DOCUMENTO</th> <th>REV.</th> <th>FOGLIO</th> </tr> </thead> <tbody> <tr> <td>IF1N</td> <td>01 E ZZ</td> <td>CL</td> <td>VI0205 003</td> <td>B</td> <td>36 di 140</td> </tr> </tbody> </table>	COMMESSA	LOTTO	CODIFICA	DOCUMENTO	REV.	FOGLIO	IF1N	01 E ZZ	CL	VI0205 003	B	36 di 140
COMMESSA	LOTTO	CODIFICA	DOCUMENTO	REV.	FOGLIO								
IF1N	01 E ZZ	CL	VI0205 003	B	36 di 140								

Coeff. di amplificazione dinamica

$\varphi =$  1,00 1,00

Reazioni vincolari carichi variabili verticali

F3 = 2816,33 kN 2876,03 kN

Risultanti reazioni vincolari

F1 = 0 0  
F2 = 0 0  
F3 = 2816 kN 2876 kN  
M1 = 282 kNm 402 kNm  
M2 = 0 0  
M3 = 0 0

  	<b>ITINERARIO NAPOLI – BARI</b> <b>RADDOPPIO TRATTA CANCELLO – BENEVENTO</b> <b>I° LOTTO FUNZIONALE CANCELLO - FRASSO TELESINO E</b> <b>VARIANTE ALLA LINEA ROMA-NAPOLI VIA CASSINO NEL</b> <b>COMUNE DI MADDALONI – PROGETTO ESECUTIVO</b>					
	<b>Pile 07-08-09-12: Relazione di calcolo</b>	COMMESSA <b>IF1N</b>	LOTTO <b>01 E ZZ</b>	CODIFICA <b>CL</b>	DOCUMENTO <b>VI0205 003</b>	REV. <b>B</b>

### 6.3.1.2 DISPOSIZIONE DI CARICO 1 (Q12)

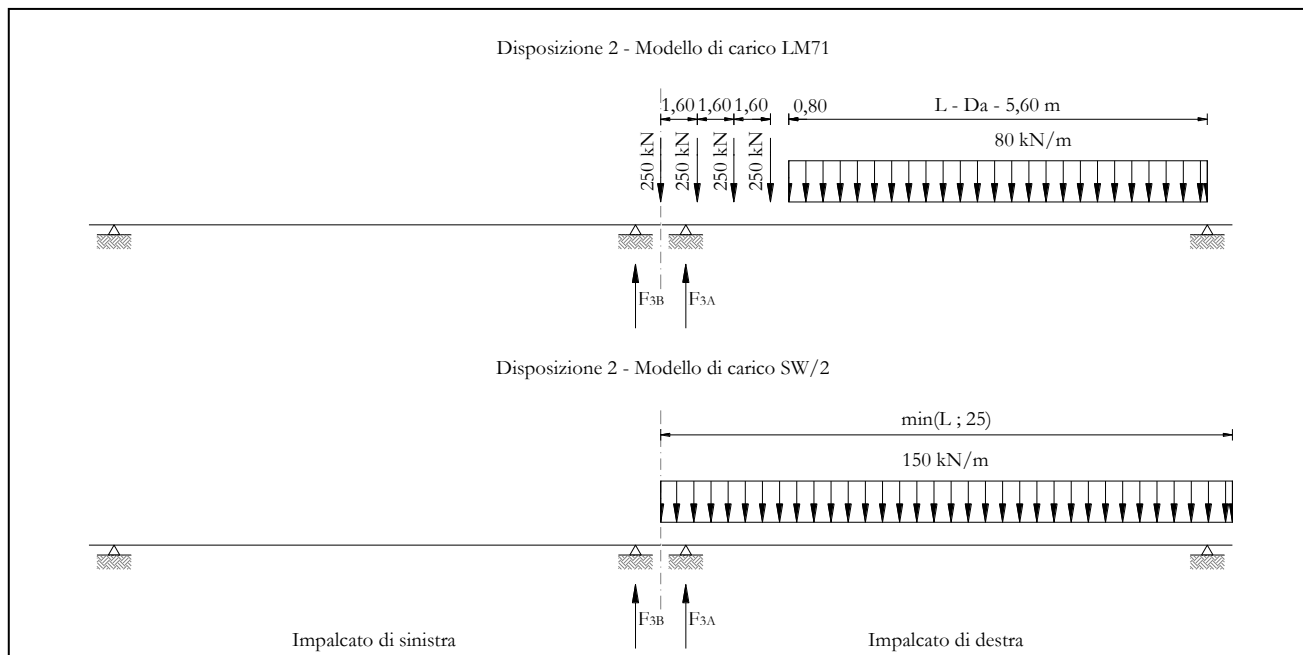


Figura 18 – Disposizione di carico 2

	IMPALCATO-SX		IMPALCATO-DX	
	Reazioni vincolari B		Reazioni vincolari A	

Modello di carico LM71

F3 =	0,00	kN	1530,51	kN
$\alpha$ =	1,10		1,10	
eccentricità =	-1,92	m	-1,92	m

Modello di carico SW/2

F3 =	0,00	kN	1875,00	kN
$\alpha$ =	1,00		1,00	
eccentricità =	2,00	m	2,00	m

Coeff. di amplificazione dinamica

  	<b>ITINERARIO NAPOLI – BARI</b> <b>RADDOPPIO TRATTA CANCELLO – BENEVENTO</b> <b>I° LOTTO FUNZIONALE CANCELLO - FRASSO TELESINO E</b> <b>VARIANTE ALLA LINEA ROMA-NAPOLI VIA CASSINO NEL</b> <b>COMUNE DI MADDALONI – PROGETTO ESECUTIVO</b>												
<b>Pile 07-08-09-12: Relazione di calcolo</b>	<table border="1"> <thead> <tr> <th>COMMESSA</th> <th>LOTTO</th> <th>CODIFICA</th> <th>DOCUMENTO</th> <th>REV.</th> <th>FOGLIO</th> </tr> </thead> <tbody> <tr> <td>IF1N</td> <td>01 E ZZ</td> <td>CL</td> <td>VI0205 003</td> <td>B</td> <td>38 di 140</td> </tr> </tbody> </table>	COMMESSA	LOTTO	CODIFICA	DOCUMENTO	REV.	FOGLIO	IF1N	01 E ZZ	CL	VI0205 003	B	38 di 140
COMMESSA	LOTTO	CODIFICA	DOCUMENTO	REV.	FOGLIO								
IF1N	01 E ZZ	CL	VI0205 003	B	38 di 140								

$\varphi =$  1,00 1,00

Reazioni vincolari carichi variabili verticali

F3 = 0,00 kN 3558,56 kN

Risultanti reazioni vincolari

F1 = 0 0  
F2 = 0 0  
F3 = 0 kN 3559 kN  
M1 = 0 kNm 518 kNm  
M2 = 0 0  
M3 = 0 0

  	<b>ITINERARIO NAPOLI – BARI</b> <b>RADDOPPIO TRATTA CANCELLO – BENEVENTO</b> <b>I° LOTTO FUNZIONALE CANCELLO - FRASSO TELESINO E</b> <b>VARIANTE ALLA LINEA ROMA-NAPOLI VIA CASSINO NEL</b> <b>COMUNE DI MADDALONI – PROGETTO ESECUTIVO</b>					
	<b>Pile 07-08-09-12: Relazione di calcolo</b>	COMMESSA <b>IF1N</b>	LOTTO <b>01 E ZZ</b>	CODIFICA <b>CL</b>	DOCUMENTO <b>VI0205 003</b>	REV. <b>B</b>

### 6.3.1.3 DISPOSIZIONE DI CARICO 1 (Q13)

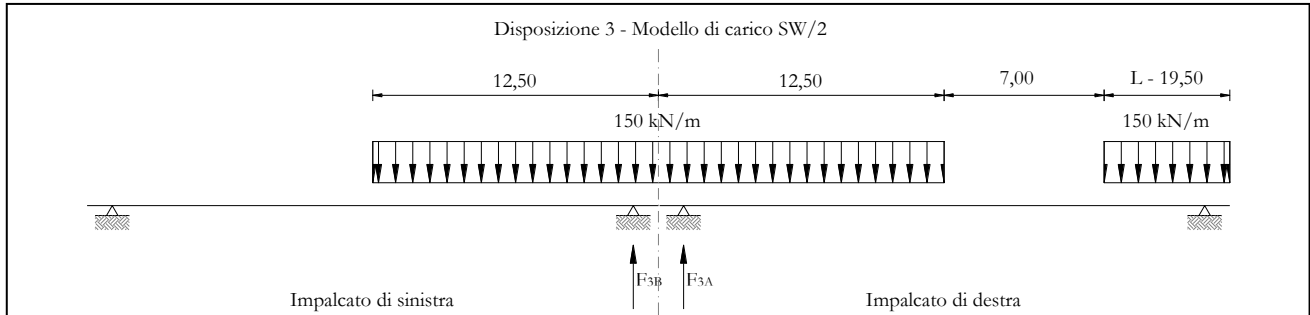


Figura 19 – Disposizione di carico 3

IMPALCATO-SX

Reazioni vincolari B

IMPALCATO-DX

Reazioni vincolari A

Modello di carico LM71

F3 =	0,00	kN	0,00	kN
$\alpha$ =	1,10		1,10	
eccentricità =	-1,92	m	-1,92	m

Modello di carico SW/2

F3 =	1451,48	kN	1511,18	kN
$\alpha$ =	1,00		1,00	
eccentricità =	2,00	m	2,00	m

Coeff. di amplificazione dinamica

$\varphi$ =	1,00		1,00	
-------------	------	--	------	--

Reazioni vincolari carichi variabili verticali

F3 =	1451,48	kN	1511,18	kN
------	---------	----	---------	----

Risultanti reazioni vincolari

F1 =	0		0	
------	---	--	---	--

Ghella



ITINERA

**ITINERARIO NAPOLI – BARI**

**RADDOPPIO TRATTA CANCELLO – BENEVENTO**

**I° LOTTO FUNZIONALE CANCELLO - FRASSO TELESINO E  
VARIANTE ALLA LINEA ROMA-NAPOLI VIA CASSINO NEL  
COMUNE DI MADDALONI – PROGETTO ESECUTIVO**

**Pile 07-08-09-12: Relazione di calcolo**

COMMESSA	LOTTO	CODIFICA	DOCUMENTO	REV.	FOGLIO
IF1N	01 E ZZ	CL	VI0205 003	B	40 di 140

F2 =	0		0	
F3 =	1451	kN	1511	kN
M1 =	2903	kNm	3022	kNm
M2 =	0		0	
M3 =	0		0	



  	<b>ITINERARIO NAPOLI – BARI</b> <b>RADDOPPIO TRATTA CANCELLO – BENEVENTO</b> <b>I° LOTTO FUNZIONALE CANCELLO - FRASSO TELESINO E</b> <b>VARIANTE ALLA LINEA ROMA-NAPOLI VIA CASSINO NEL</b> <b>COMUNE DI MADDALONI – PROGETTO ESECUTIVO</b>					
	<b>Pile 07-08-09-12: Relazione di calcolo</b>	COMMESSA <b>IF1N</b>	LOTTO <b>01 E ZZ</b>	CODIFICA <b>CL</b>	DOCUMENTO <b>VI0205 003</b>	REV. <b>B</b>

### 6.3.1.4 DISPOSIZIONE DI CARICO 1 (Q14)

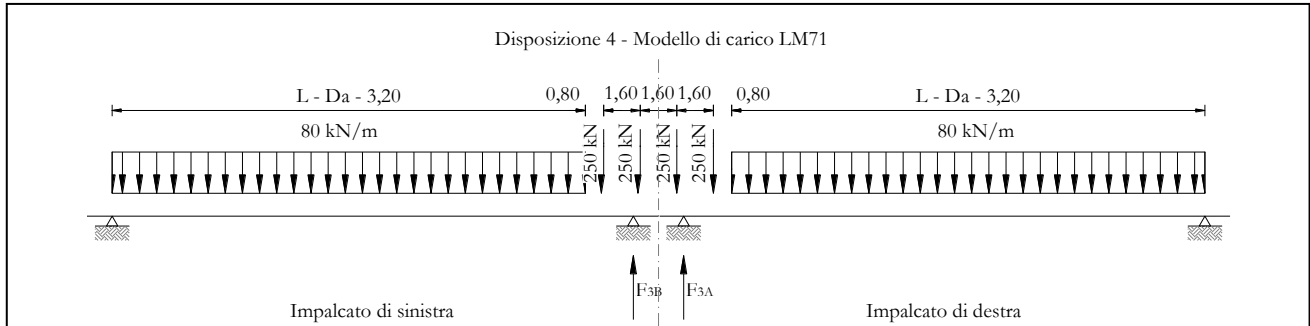


Figura 20 – Disposizione di carico 4

	IMPALCATO-SX		IMPALCATO-DX	
	Reazioni vincolari B		Reazioni vincolari A	
Modello di carico LM71				
F3 =	1240,77	kN	1240,77	kN
$\alpha$ =	1,10		1,10	
eccentricità =	2,08	m	2,08	m
Modello di carico SW/2				
F3 =	0,00	kN	0,00	kN
$\alpha$ =	1,00		1,00	
eccentricità =	-2,00	m	-2,00	m
Coeff. di amplificazione dinamica				
$\varphi$ =	1,00		1,00	
Reazioni vincolari carichi variabili verticali				
F3 =	1364,85	kN	1364,85	kN
Risultanti reazioni vincolari				

Ghella



ITINERA

**ITINERARIO NAPOLI – BARI**  
**RADDOPPIO TRATTA CANCELLO – BENEVENTO**  
**I° LOTTO FUNZIONALE CANCELLO - FRASSO TELESINO E**  
**VARIANTE ALLA LINEA ROMA-NAPOLI VIA CASSINO NEL**  
**COMUNE DI MADDALONI – PROGETTO ESECUTIVO**

**Pile 07-08-09-12: Relazione di calcolo**

COMMESSA	LOTTO	CODIFICA	DOCUMENTO	REV.	FOGLIO
IF1N	01 E ZZ	CL	VI0205 003	B	42 di 140

F1 =	0		0	
F2 =	0		0	
F3 =	1365	kN	1365	kN
M1 =	2839	kNm	2839	kNm
M2 =	0		0	
M3 =	0		0	

  	<b>ITINERARIO NAPOLI – BARI</b> <b>RADDOPPIO TRATTA CANCELLO – BENEVENTO</b> <b>I° LOTTO FUNZIONALE CANCELLO - FRASSO TELESINO E</b> <b>VARIANTE ALLA LINEA ROMA-NAPOLI VIA CASSINO NEL</b> <b>COMUNE DI MADDALONI – PROGETTO ESECUTIVO</b>					
	<b>Pile 07-08-09-12: Relazione di calcolo</b>	COMMESSA <b>IF1N</b>	LOTTO <b>01 E ZZ</b>	CODIFICA <b>CL</b>	DOCUMENTO <b>VI0205 003</b>	REV. <b>B</b>

### 6.3.1.5 DISPOSIZIONE DI CARICO 1 (Q15)

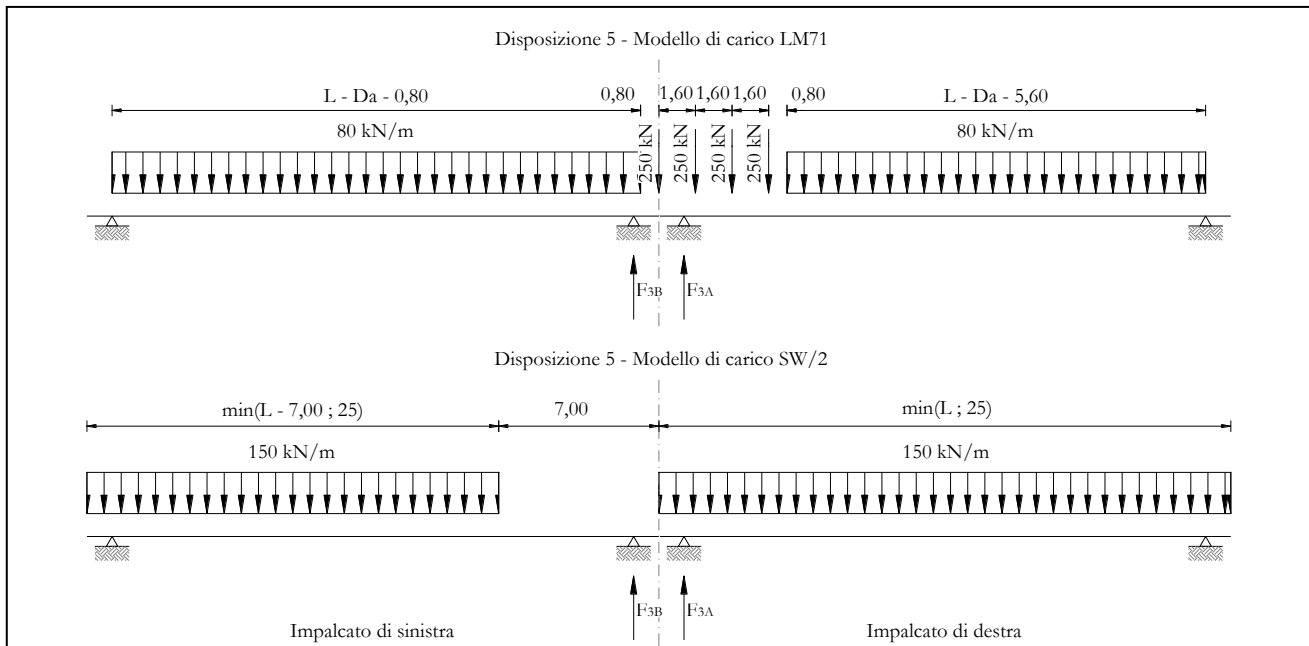


Figura 21 – Disposizione di carico 5

	IMPALCATO-SX		IMPALCATO-DX	
	Reazioni vincolari B		Reazioni vincolari A	

Modello di carico LM71

F3 =	936,16	kN	1530,51	kN
$\alpha$ =	1,10		1,10	
eccentricità =	2,08	m	-1,92	m

Modello di carico SW/2

F3 =	935,53	kN	1875,00	kN
$\alpha$ =	1,00		1,00	
eccentricità =	-2,00	m	2,00	m

Coeff. di amplificazione dinamica

$\phi$ =	1,00		1,00	
----------	------	--	------	--

  	<b>ITINERARIO NAPOLI – BARI</b> <b>RADDOPPIO TRATTA CANCELLO – BENEVENTO</b> <b>I° LOTTO FUNZIONALE CANCELLO - FRASSO TELESINO E</b> <b>VARIANTE ALLA LINEA ROMA-NAPOLI VIA CASSINO NEL</b> <b>COMUNE DI MADDALONI – PROGETTO ESECUTIVO</b>												
<b>Pile 07-08-09-12: Relazione di calcolo</b>	<table border="1"> <thead> <tr> <th>COMMESSA</th> <th>LOTTO</th> <th>CODIFICA</th> <th>DOCUMENTO</th> <th>REV.</th> <th>FOGLIO</th> </tr> </thead> <tbody> <tr> <td>IF1N</td> <td>01 E ZZ</td> <td>CL</td> <td>VI0205 003</td> <td>B</td> <td>44 di 140</td> </tr> </tbody> </table>	COMMESSA	LOTTO	CODIFICA	DOCUMENTO	REV.	FOGLIO	IF1N	01 E ZZ	CL	VI0205 003	B	44 di 140
COMMESSA	LOTTO	CODIFICA	DOCUMENTO	REV.	FOGLIO								
IF1N	01 E ZZ	CL	VI0205 003	B	44 di 140								

Reazioni vincolari carichi variabili verticali

F3 = 1965,30 kN 3558,56 kN

Risultanti reazioni vincolari

F1 = 0 0  
F2 = 0 0  
F3 = 1965 kN 3559 kN  
M1 = 271 kNm 518 kNm  
M2 = 0 0  
M3 = 0 0

  	<b>ITINERARIO NAPOLI – BARI</b> <b>RADDOPPIO TRATTA CANCELLO – BENEVENTO</b> <b>I° LOTTO FUNZIONALE CANCELLO - FRASSO TELESINO E</b> <b>VARIANTE ALLA LINEA ROMA-NAPOLI VIA CASSINO NEL</b> <b>COMUNE DI MADDALONI – PROGETTO ESECUTIVO</b>					
	<b>Pile 07-08-09-12: Relazione di calcolo</b>	COMMESSA <b>IF1N</b>	LOTTO <b>01 E ZZ</b>	CODIFICA <b>CL</b>	DOCUMENTO <b>VI0205 003</b>	REV. <b>B</b>

### 6.3.1.6 DISPOSIZIONE DI CARICO 1 (Q16)

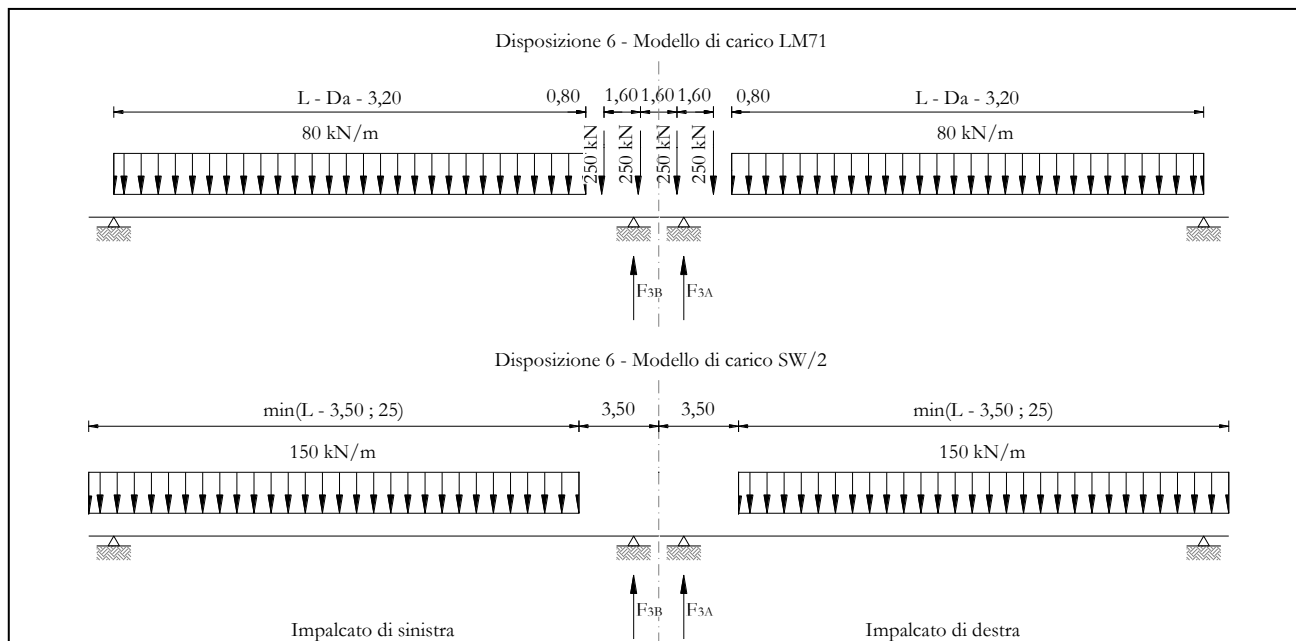


Figura 22 – Disposizione di carico 6

	IMPALCATO-SX		IMPALCATO-DX	
	Reazioni vincolari B		Reazioni vincolari A	

Modello di carico LM71

F3 =	1240,77	kN	1240,77	kN
$\alpha$ =	1,10		1,10	
eccentricità =	-1,92	m	-1,92	m

Modello di carico SW/2

F3 =	1364,97	kN	1364,97	kN
$\alpha$ =	1,00		1,00	
eccentricità =	2,00	m	2,00	m

Coeff. di amplificazione dinamica

$\varphi$ =	1,00		1,00	
-------------	------	--	------	--

  	<b>ITINERARIO NAPOLI – BARI</b> <b>RADDOPPIO TRATTA CANCELLO – BENEVENTO</b> <b>I° LOTTO FUNZIONALE CANCELLO - FRASSO TELESINO E</b> <b>VARIANTE ALLA LINEA ROMA-NAPOLI VIA CASSINO NEL</b> <b>COMUNE DI MADDALONI – PROGETTO ESECUTIVO</b>												
<b>Pile 07-08-09-12: Relazione di calcolo</b>	<table border="1"> <thead> <tr> <th>COMMESSA</th> <th>LOTTO</th> <th>CODIFICA</th> <th>DOCUMENTO</th> <th>REV.</th> <th>FOGLIO</th> </tr> </thead> <tbody> <tr> <td>IF1N</td> <td>01 E ZZ</td> <td>CL</td> <td>VI0205 003</td> <td>B</td> <td>46 di 140</td> </tr> </tbody> </table>	COMMESSA	LOTTO	CODIFICA	DOCUMENTO	REV.	FOGLIO	IF1N	01 E ZZ	CL	VI0205 003	B	46 di 140
COMMESSA	LOTTO	CODIFICA	DOCUMENTO	REV.	FOGLIO								
IF1N	01 E ZZ	CL	VI0205 003	B	46 di 140								

Reazioni vincolari carichi variabili verticali

F3 = 2729,82 kN 2729,82 kN

Risultanti reazioni vincolari

F1 = 0 0  
F2 = 0 0  
F3 = 2730 kN 2730 kN  
M1 = 109 kNm 109 kNm  
M2 = 0 0  
M3 = 0 0

  	<b>ITINERARIO NAPOLI – BARI</b> <b>RADDOPPIO TRATTA CANCELLO – BENEVENTO</b> <b>I° LOTTO FUNZIONALE CANCELLO - FRASSO TELESINO E</b> <b>VARIANTE ALLA LINEA ROMA-NAPOLI VIA CASSINO NEL</b> <b>COMUNE DI MADDALONI – PROGETTO ESECUTIVO</b>					
	<b>Pile 07-08-09-12: Relazione di calcolo</b>	COMMESSA <b>IF1N</b>	LOTTO <b>01 E ZZ</b>	CODIFICA <b>CL</b>	DOCUMENTO <b>VI0205 003</b>	REV. <b>B</b>

### 6.3.1.7 DISPOSIZIONE DI CARICO 1 (Q17)

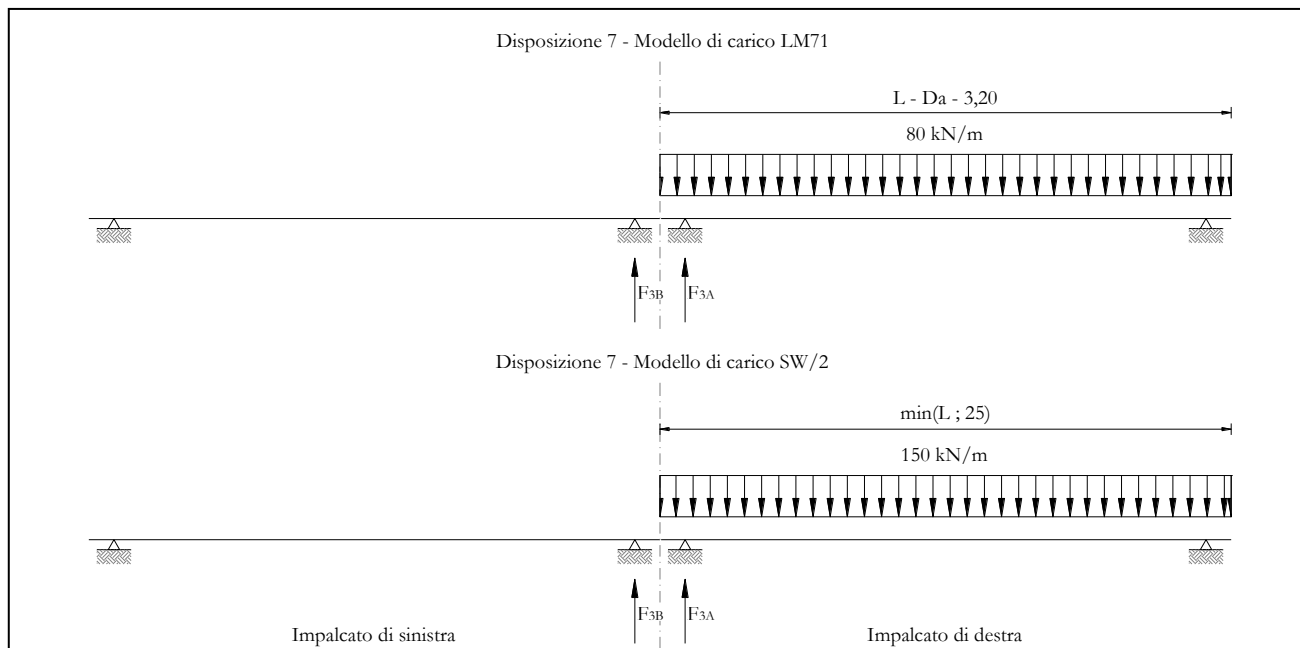


Figura 23 – Disposizione di carico 7

	IMPALCATO-SX		IMPALCATO-DX	
	Reazioni vincolari B		Reazioni vincolari A	

Modello di carico LM71

F3 =	0,00	kN	1002,12	kN
$\alpha$ =	1,10		1,10	
eccentricità =	-1,92	m	-1,92	m

Modello di carico SW/2

F3 =	0,00	kN	1875,00	kN
$\alpha$ =	1,00		1,00	
eccentricità =	2,00	m	2,00	m

Coeff. di amplificazione dinamica

$\varphi$ =	1,00		1,00	
-------------	------	--	------	--

  	<b>ITINERARIO NAPOLI – BARI</b> <b>RADDOPPIO TRATTA CANCELLO – BENEVENTO</b> <b>I° LOTTO FUNZIONALE CANCELLO - FRASSO TELESINO E</b> <b>VARIANTE ALLA LINEA ROMA-NAPOLI VIA CASSINO NEL</b> <b>COMUNE DI MADDALONI – PROGETTO ESECUTIVO</b>												
<b>Pile 07-08-09-12: Relazione di calcolo</b>	<table border="1"> <thead> <tr> <th>COMMESSA</th> <th>LOTTO</th> <th>CODIFICA</th> <th>DOCUMENTO</th> <th>REV.</th> <th>FOGLIO</th> </tr> </thead> <tbody> <tr> <td>IF1N</td> <td>01 E ZZ</td> <td>CL</td> <td>VI0205 003</td> <td>B</td> <td>48 di 140</td> </tr> </tbody> </table>	COMMESSA	LOTTO	CODIFICA	DOCUMENTO	REV.	FOGLIO	IF1N	01 E ZZ	CL	VI0205 003	B	48 di 140
COMMESSA	LOTTO	CODIFICA	DOCUMENTO	REV.	FOGLIO								
IF1N	01 E ZZ	CL	VI0205 003	B	48 di 140								

Reazioni vincolari carichi variabili verticali

F3 = 0,00 kN 2977,34 kN

Risultanti reazioni vincolari

F1 = 0 0  
F2 = 0 0  
F3 = 0 kN 2977 kN  
M1 = 0 kNm 1634 kNm  
M2 = 0 0  
M3 = 0 0



  	<b>ITINERARIO NAPOLI – BARI</b> <b>RADDOPPIO TRATTA CANCELLO – BENEVENTO</b> <b>I° LOTTO FUNZIONALE CANCELLO - FRASSO TELESINO E</b> <b>VARIANTE ALLA LINEA ROMA-NAPOLI VIA CASSINO NEL</b> <b>COMUNE DI MADDALONI – PROGETTO ESECUTIVO</b>												
<b>Pile 07-08-09-12: Relazione di calcolo</b>	<table border="1"> <thead> <tr> <th>COMMESSA</th> <th>LOTTO</th> <th>CODIFICA</th> <th>DOCUMENTO</th> <th>REV.</th> <th>FOGLIO</th> </tr> </thead> <tbody> <tr> <td>IF1N</td> <td>01 E ZZ</td> <td>CL</td> <td>VI0205 003</td> <td>B</td> <td>49 di 140</td> </tr> </tbody> </table>	COMMESSA	LOTTO	CODIFICA	DOCUMENTO	REV.	FOGLIO	IF1N	01 E ZZ	CL	VI0205 003	B	49 di 140
COMMESSA	LOTTO	CODIFICA	DOCUMENTO	REV.	FOGLIO								
IF1N	01 E ZZ	CL	VI0205 003	B	49 di 140								

### 6.3.2 AZIONI DI AVVIAMENTO E FRENATURA (Q2)

La azioni di frenatura e avviamento sono costituite da forze uniformemente distribuite su una lunghezza di binario L determinata per ottenere l'effetto più gravoso sull'elemento strutturale considerato. I valori da considerare sono i seguenti:

- avviamento:  $Q_{la,k} = 33 \text{ kN/m} \cdot L \leq 1000 \text{ kN}$  per i modelli di carico LM71,SW/2
- frenatura:  $Q_{lb,k} = 20 \text{ kN/m} \cdot L \leq 6000 \text{ kN}$  per i modelli di carico LM71  
 $Q_{lb,k} = 35 \text{ kN/m}$  per i modelli di carico SW/2

I valori caratteristici dell'azione di frenatura e di avviamento devono essere moltiplicati per  $\alpha$  e non devono essere moltiplicati per  $\Phi$ .

Nel caso di ponti a doppio binario si devono considerare due treni in transito in versi opposti, uno in fase di avviamento e l'altro in fase di frenatura.

Gli effetti di interazione relativamente alle azioni di frenatura e avviamento si tengono conto applicando ai valori della risultante un coefficiente  $\alpha_h$  che tiene conto del rapporto di rigidezza tra le pile del viadotto. Per la determinazione dei coefficienti si rimanda al §6.6.3 della presente relazione.

Nei sottoparagrafi che seguono si riportano i risultati delle reazioni vincolari per le diverse disposizioni di carico considerate e descritte precedentemente nel §6.3.

  	<b>ITINERARIO NAPOLI – BARI</b> <b>RADDOPPIO TRATTA CANCELLO – BENEVENTO</b> <b>I° LOTTO FUNZIONALE CANCELLO - FRASSO TELESINO E</b> <b>VARIANTE ALLA LINEA ROMA-NAPOLI VIA CASSINO NEL</b> <b>COMUNE DI MADDALONI – PROGETTO ESECUTIVO</b>					
	<b>Pile 07-08-09-12: Relazione di calcolo</b>	COMMESSA <b>IF1N</b>	LOTTO <b>01 E ZZ</b>	CODIFICA <b>CL</b>	DOCUMENTO <b>VI0205 003</b>	REV. <b>B</b>

### 6.3.2.1 DISPOSIZIONE DI CARICO 1 (Q21)

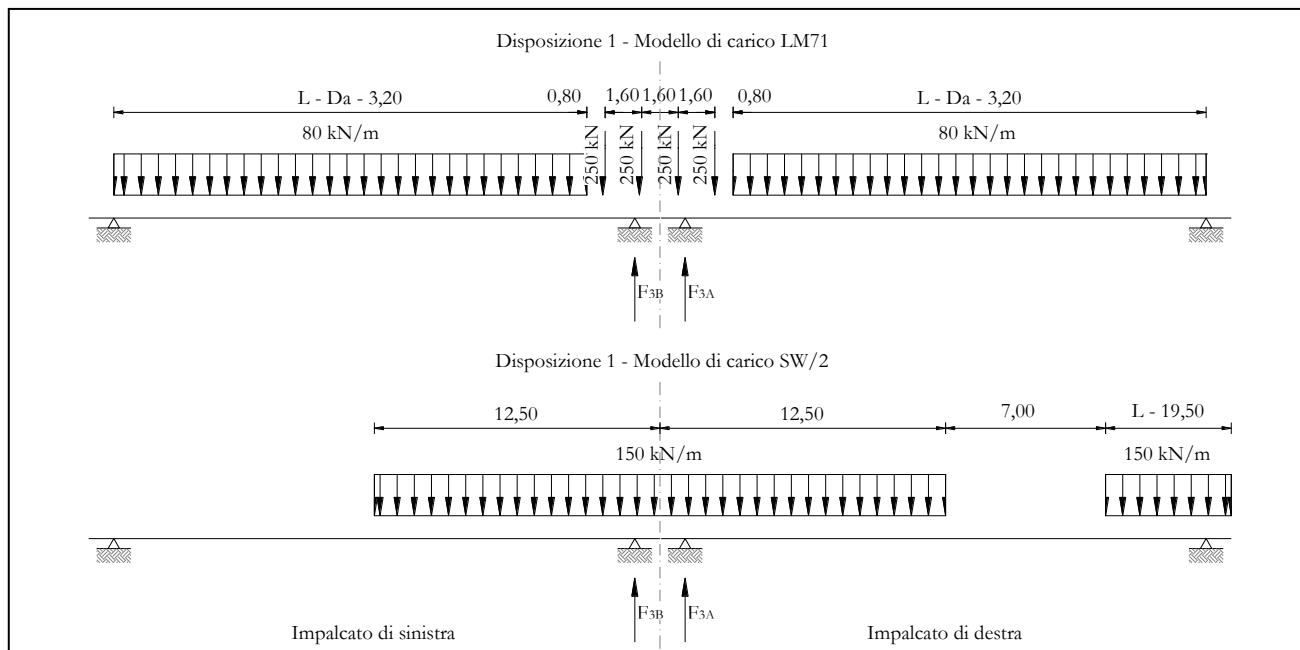


Figura 24 – Disposizione di carico 1

	IMPALCATO-SX		IMPALCATO-DX	
	Reazioni vincolari B		Reazioni vincolari A	
<b>Avviamento LM71</b>				
f avv =	33,00	kN/m	33,00	kN/m
α =	1,10		1,10	
L caricata =	25,00	m	25,00	m
F avv (max 1000 kN) =	825,00	kN	825,00	kN
F1 =	907,50	kN	907,50	kN
<b>Avviamento SW/2</b>				
f avv =	33,00	kN/m	33,00	kN/m
α =	1,00		1,00	
L caricata =	12,50	m	18,00	m
F avv (max 1000 kN) =	412,50	kN	594,00	kN
F1 =	412,50	kN	594,00	kN

  	<b>ITINERARIO NAPOLI – BARI</b> <b>RADDOPPIO TRATTA CANCELLO – BENEVENTO</b> <b>I° LOTTO FUNZIONALE CANCELLO - FRASSO TELESINO E</b> <b>VARIANTE ALLA LINEA ROMA-NAPOLI VIA CASSINO NEL</b> <b>COMUNE DI MADDALONI – PROGETTO ESECUTIVO</b>												
<b>Pile 07-08-09-12: Relazione di calcolo</b>	<table border="1"> <thead> <tr> <th>COMMESSA</th> <th>LOTTO</th> <th>CODIFICA</th> <th>DOCUMENTO</th> <th>REV.</th> <th>FOGLIO</th> </tr> </thead> <tbody> <tr> <td>IF1N</td> <td>01 E ZZ</td> <td>CL</td> <td>VI0205 003</td> <td>B</td> <td>51 di 140</td> </tr> </tbody> </table>	COMMESSA	LOTTO	CODIFICA	DOCUMENTO	REV.	FOGLIO	IF1N	01 E ZZ	CL	VI0205 003	B	51 di 140
COMMESSA	LOTTO	CODIFICA	DOCUMENTO	REV.	FOGLIO								
IF1N	01 E ZZ	CL	VI0205 003	B	51 di 140								

#### Frenatura LM71

f fren =	20,00	kN/m	20,00	kN/m
$\alpha$ =	1,10		1,10	
L caricata =	25,00	m	25,00	m
F fren (max 6000 kN) =	500,00	kN	500,00	kN
F1 =	550,00	kN	550,00	kN

#### Frenatura SW/2

f fren =	35,00	kN/m	35,00	kN/m
$\alpha$ =	1,00		1,00	
L caricata =	12,50	m	18,00	m
F fren =	437,50	kN	630,00	kN
F1 =	437,50	kN	630,00	kN

#### ahp interazione semplificata

ahp frenatura per LM71 =	1,60		1,60	
ahp frenatura per SW/2 =	1,30		1,30	
ahp avviam. per LM71 SW/2 =	1,12		1,12	

#### Forza totale di avviamento e frenatura

F1 =	1585,15	kN	1835,40	kN
h rispetto a intradosso imp. =	3,28	m	3,28	m
tipologia vincolo =	UL		F	

#### Risultanti reazioni vincolari

F1 =	0	kN	-1835	kN
F2 =	0		0	
F3 =	228	kN	-264	kN
M1 =	0		0	
M2 =	0		0	
M3 =	0		0	

## 6.3.2.2 DISPOSIZIONE DI CARICO 2 (Q22)

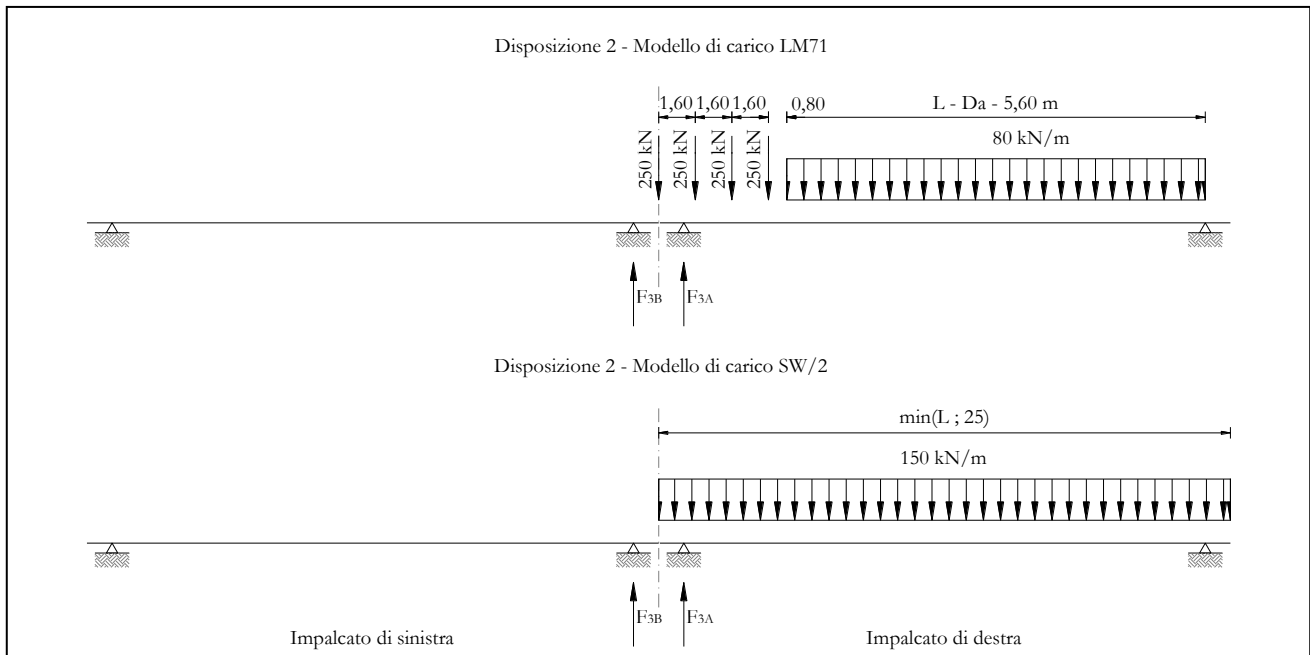


Figura 25 – Disposizione di carico 2

	IMPALCATO-SX		IMPALCATO-DX	
	Reazioni vincolari B		Reazioni vincolari A	

## Avviamento LM71

f avv =	33,00	kN/m	33,00	kN/m
$\alpha$ =	1,10		1,10	
L caricata =	0,00	m	25,00	m
F avv (max 1000 kN) =	0,00	kN	825,00	kN
F1 =	0,00	kN	907,50	kN

## Avviamento SW/2

f avv =	33,00	kN/m	33,00	kN/m
$\alpha$ =	1,00		1,00	
L caricata =	0,00	m	25,00	m
F avv (max 1000 kN) =	0,00	kN	825,00	kN
F1 =	0,00	kN	825,00	kN

  	<b>ITINERARIO NAPOLI – BARI</b> <b>RADDOPPIO TRATTA CANCELLO – BENEVENTO</b> <b>I° LOTTO FUNZIONALE CANCELLO - FRASSO TELESINO E</b> <b>VARIANTE ALLA LINEA ROMA-NAPOLI VIA CASSINO NEL</b> <b>COMUNE DI MADDALONI – PROGETTO ESECUTIVO</b>												
<b>Pile 07-08-09-12: Relazione di calcolo</b>	<table border="1"> <thead> <tr> <th>COMMESSA</th> <th>LOTTO</th> <th>CODIFICA</th> <th>DOCUMENTO</th> <th>REV.</th> <th>FOGLIO</th> </tr> </thead> <tbody> <tr> <td>IF1N</td> <td>01 E ZZ</td> <td>CL</td> <td>VI0205 003</td> <td>B</td> <td>53 di 140</td> </tr> </tbody> </table>	COMMESSA	LOTTO	CODIFICA	DOCUMENTO	REV.	FOGLIO	IF1N	01 E ZZ	CL	VI0205 003	B	53 di 140
COMMESSA	LOTTO	CODIFICA	DOCUMENTO	REV.	FOGLIO								
IF1N	01 E ZZ	CL	VI0205 003	B	53 di 140								

#### Frenatura LM71

f fren =	20,00	kN/m	20,00	kN/m
$\alpha$ =	1,10		1,10	
L caricata =	0,00	m	25,00	m
F fren (max 6000 kN) =	0,00	kN	500,00	kN
F1 =	0,00	kN	550,00	kN

#### Frenatura SW/2

f fren =	35,00	kN/m	35,00	kN/m
$\alpha$ =	1,00		1,00	
L caricata =	0,00	m	25,00	m
F fren =	0,00	kN	875,00	kN
F1 =	0,00	kN	875,00	kN

#### ahp interazione semplificata

ahp frenatura per LM71 =	1,60		1,60	
ahp frenatura per SW/2 =	1,30		1,30	
ahp avviam. per LM71 SW/2 =	1,12		1,12	

#### Forza totale di avviamento e frenatura

F1 =	0,00	kN	2153,90	kN
h rispetto a intradosso imp. =	3,28	m	3,28	m
tipologia vincolo =	UL		F	

#### Risultanti reazioni vincolari

F1 =	0	kN	-2154	kN
F2 =	0		0	
F3 =	0	kN	-310	kN
M1 =	0		0	
M2 =	0		0	
M3 =	0		0	

  	<b>ITINERARIO NAPOLI – BARI</b> <b>RADDOPPIO TRATTA CANCELLO – BENEVENTO</b> <b>I° LOTTO FUNZIONALE CANCELLO - FRASSO TELESINO E</b> <b>VARIANTE ALLA LINEA ROMA-NAPOLI VIA CASSINO NEL</b> <b>COMUNE DI MADDALONI – PROGETTO ESECUTIVO</b>					
	<b>Pile 07-08-09-12: Relazione di calcolo</b>	COMMESSA <b>IF1N</b>	LOTTO <b>01 E ZZ</b>	CODIFICA <b>CL</b>	DOCUMENTO <b>VI0205 003</b>	REV. <b>B</b>

### 6.3.2.3 DISPOSIZIONE DI CARICO 3 (Q23)

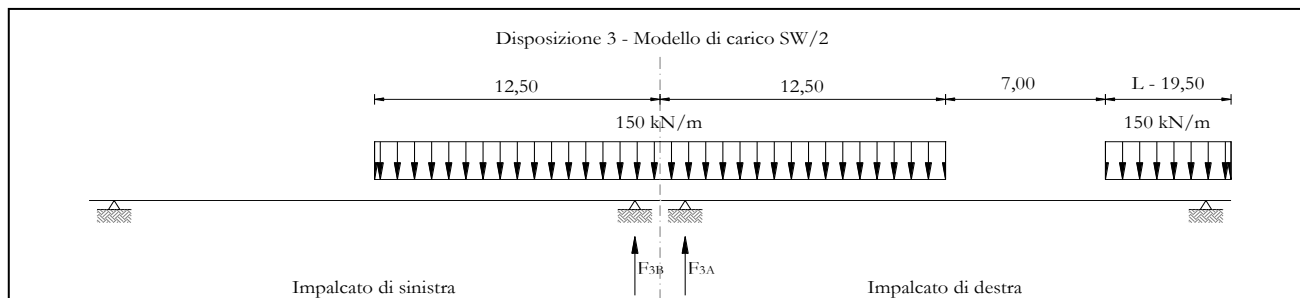


Figura 26 – Disposizione di carico 3

	IMPALCATO-SX		IMPALCATO-DX	
	Reazioni vincolari B		Reazioni vincolari A	
<b>Avviamento LM71</b>				
f avv =	33,00	kN/m	33,00	kN/m
$\alpha$ =	1,10		1,10	
L caricata =	0,00	m	0,00	m
F avv (max 1000 kN) =	0,00	kN	0,00	kN
F1 =	0,00	kN	0,00	kN
<b>Avviamento SW/2</b>				
f avv =	33,00	kN/m	33,00	kN/m
$\alpha$ =	1,00		1,00	
L caricata =	12,50	m	18,00	m
F avv (max 1000 kN) =	412,50	kN	594,00	kN
F1 =	412,50	kN	594,00	kN
<b>Frenatura LM71</b>				
f fren =	20,00	kN/m	20,00	kN/m
$\alpha$ =	1,10		1,10	
L caricata =	0,00	m	0,00	m

  	<b>ITINERARIO NAPOLI – BARI</b> <b>RADDOPPIO TRATTA CANCELLO – BENEVENTO</b> <b>I° LOTTO FUNZIONALE CANCELLO - FRASSO TELESINO E</b> <b>VARIANTE ALLA LINEA ROMA-NAPOLI VIA CASSINO NEL</b> <b>COMUNE DI MADDALONI – PROGETTO ESECUTIVO</b>												
<b>Pile 07-08-09-12: Relazione di calcolo</b>	<table border="1"> <thead> <tr> <th>COMMESSA</th> <th>LOTTO</th> <th>CODIFICA</th> <th>DOCUMENTO</th> <th>REV.</th> <th>FOGLIO</th> </tr> </thead> <tbody> <tr> <td>IF1N</td> <td>01 E ZZ</td> <td>CL</td> <td>VI0205 003</td> <td>B</td> <td>55 di 140</td> </tr> </tbody> </table>	COMMESSA	LOTTO	CODIFICA	DOCUMENTO	REV.	FOGLIO	IF1N	01 E ZZ	CL	VI0205 003	B	55 di 140
COMMESSA	LOTTO	CODIFICA	DOCUMENTO	REV.	FOGLIO								
IF1N	01 E ZZ	CL	VI0205 003	B	55 di 140								

F fren (max 6000 kN) = 0,00 kN 0,00 kN

F1 = 0,00 kN 0,00 kN

Frenatura SW/2

f fren = 35,00 kN/m 35,00 kN/m

$\alpha$  = 1,00 1,00

L caricata = 12,50 m 18,00 m

F fren = 437,50 kN 630,00 kN

F1 = 437,50 kN 630,00 kN

ahp interazione semplificata

ahp frenatura per LM71 = 1,60 1,60

ahp frenatura per SW/2 = 1,30 1,30

ahp avviam. per LM71 SW/2 = 1,12 1,12

Forza totale di avviamento e frenatura

F1 = 568,75 kN 819,00 kN

h rispetto a intradosso imp. = 3,28 m 3,28 m

tipologia vincolo = UL F

Risultanti reazioni vincolari

F1 = 0 kN -819 kN

F2 = 0 0

F3 = 82 kN -118 kN

M1 = 0 0

M2 = 0 0

M3 = 0 0

  	<b>ITINERARIO NAPOLI – BARI</b> <b>RADDOPPIO TRATTA CANCELLO – BENEVENTO</b> <b>I° LOTTO FUNZIONALE CANCELLO - FRASSO TELESINO E</b> <b>VARIANTE ALLA LINEA ROMA-NAPOLI VIA CASSINO NEL</b> <b>COMUNE DI MADDALONI – PROGETTO ESECUTIVO</b>					
	<b>Pile 07-08-09-12: Relazione di calcolo</b>	COMMESSA <b>IF1N</b>	LOTTO <b>01 E ZZ</b>	CODIFICA <b>CL</b>	DOCUMENTO <b>VI0205 003</b>	REV. <b>B</b>

### 6.3.2.4 DISPOSIZIONE DI CARICO 4 (Q24)

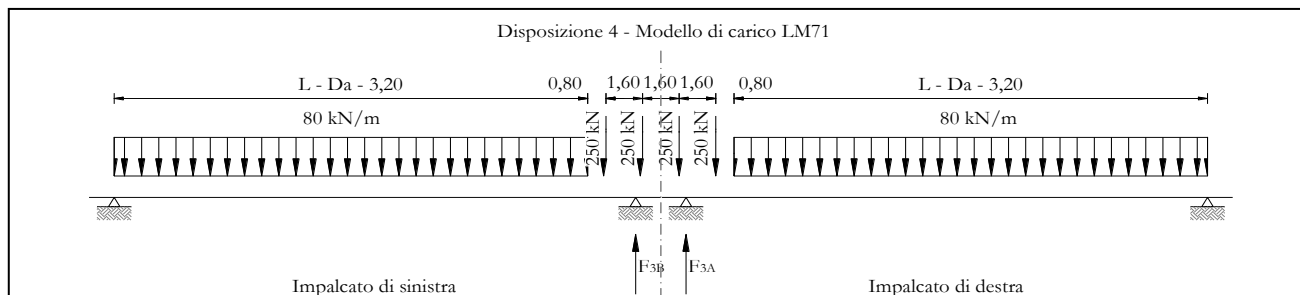


Figura 27 – Disposizione di carico 4

	IMPALCATO-SX		IMPALCATO-DX	
	Reazioni vincolari B		Reazioni vincolari A	

#### Avviamento LM71

f avv =	33,00	kN/m	33,00	kN/m
$\alpha$ =	1,10		1,10	
L caricata =	25,00	m	25,00	m
F avv (max 1000 kN) =	825,00	kN	825,00	kN
F1 =	907,50	kN	907,50	kN

#### Avviamento SW/2

f avv =	33,00	kN/m	33,00	kN/m
$\alpha$ =	1,00		1,00	
L caricata =	0,00	m	0,00	m
F avv (max 1000 kN) =	0,00	kN	0,00	kN
F1 =	0,00	kN	0,00	kN

#### Frenatura LM71

f fren =	20,00	kN/m	20,00	kN/m
$\alpha$ =	1,10		1,10	
L caricata =	25,00	m	25,00	m



  	<b>ITINERARIO NAPOLI – BARI</b> <b>RADDOPPIO TRATTA CANCELLO – BENEVENTO</b> <b>I° LOTTO FUNZIONALE CANCELLO - FRASSO TELESINO E</b> <b>VARIANTE ALLA LINEA ROMA-NAPOLI VIA CASSINO NEL</b> <b>COMUNE DI MADDALONI – PROGETTO ESECUTIVO</b>												
<b>Pile 07-08-09-12: Relazione di calcolo</b>	<table border="1"> <thead> <tr> <th>COMMESSA</th> <th>LOTTO</th> <th>CODIFICA</th> <th>DOCUMENTO</th> <th>REV.</th> <th>FOGLIO</th> </tr> </thead> <tbody> <tr> <td>IF1N</td> <td>01 E ZZ</td> <td>CL</td> <td>VI0205 003</td> <td>B</td> <td>57 di 140</td> </tr> </tbody> </table>	COMMESSA	LOTTO	CODIFICA	DOCUMENTO	REV.	FOGLIO	IF1N	01 E ZZ	CL	VI0205 003	B	57 di 140
COMMESSA	LOTTO	CODIFICA	DOCUMENTO	REV.	FOGLIO								
IF1N	01 E ZZ	CL	VI0205 003	B	57 di 140								

F fren (max 6000 kN) = 500,00 kN 500,00 kN

F1 = 550,00 kN 550,00 kN

Frenatura SW/2

f fren = 35,00 kN/m 35,00 kN/m

$\alpha$  = 1,00 1,00

L caricata = 0,00 m 0,00 m

F fren = 0,00 kN 0,00 kN

F1 = 0,00 kN 0,00 kN

ahp interazione semplificata

ahp frenatura per LM71 = 1,60 1,60

ahp frenatura per SW/2 = 1,30 1,30

ahp avviam. per LM71 SW/2 = 1,12 1,12

Forza totale di avviamento e frenatura

F1 = 1016,40 kN 1016,40 kN

h rispetto a intradosso imp. = 3,28 m 3,28 m

tipologia vincolo = UL F

Risultanti reazioni vincolari

F1 = 0 kN -1016 kN

F2 = 0 0

F3 = 146 kN -146 kN

M1 = 0 0

M2 = 0 0

M3 = 0 0

  	<b>ITINERARIO NAPOLI – BARI</b> <b>RADDOPPIO TRATTA CANCELLO – BENEVENTO</b> <b>I° LOTTO FUNZIONALE CANCELLO - FRASSO TELESINO E</b> <b>VARIANTE ALLA LINEA ROMA-NAPOLI VIA CASSINO NEL</b> <b>COMUNE DI MADDALONI – PROGETTO ESECUTIVO</b>					
	<b>Pile 07-08-09-12: Relazione di calcolo</b>	COMMESSA <b>IF1N</b>	LOTTO <b>01 E ZZ</b>	CODIFICA <b>CL</b>	DOCUMENTO <b>VI0205 003</b>	REV. <b>B</b>

### 6.3.2.5 DISPOSIZIONE DI CARICO 5 (Q25)

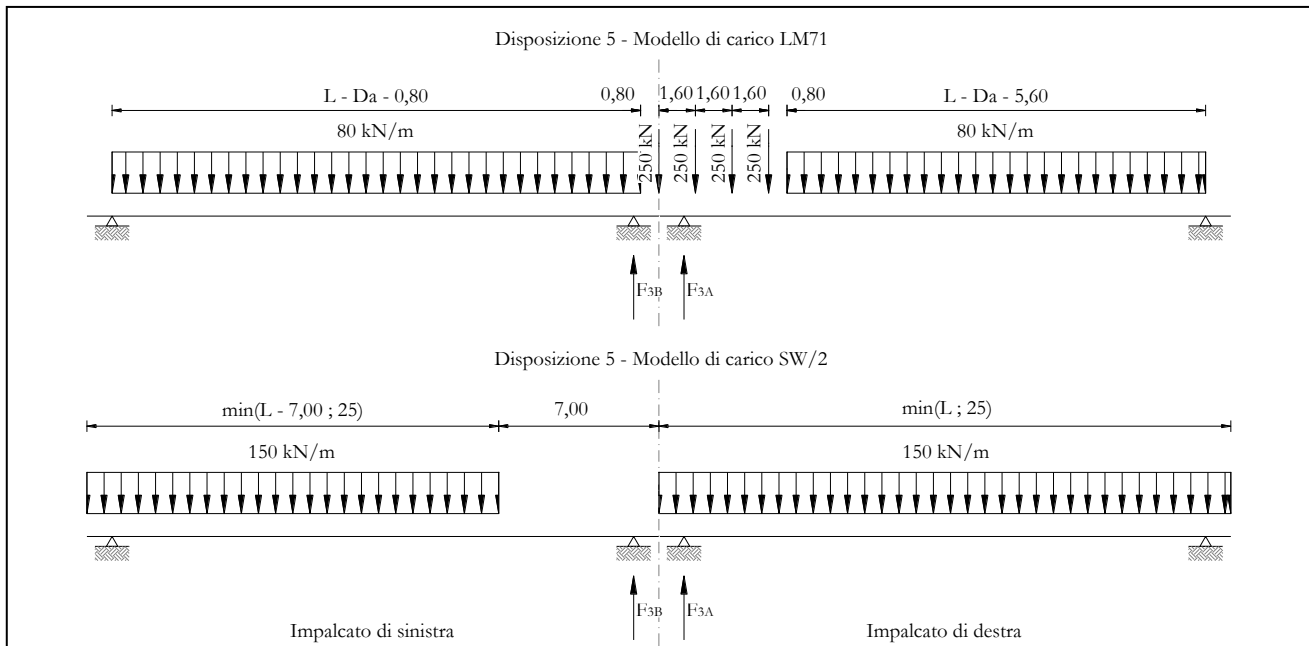


Figura 28 – Disposizione di carico 5

	IMPALCATO-SX		IMPALCATO-DX	
	Reazioni vincolari B		Reazioni vincolari A	
<b>Avviamento LM71</b>				
f avv =	33,00	kN/m	33,00	kN/m
$\alpha$ =	1,10		1,10	
L caricata =	25,00	m	25,00	m
F avv (max 1000 kN) =	825,00	kN	825,00	kN
F1 =	907,50	kN	907,50	kN
<b>Avviamento SW/2</b>				
f avv =	33,00	kN/m	33,00	kN/m
$\alpha$ =	1,00		1,00	
L caricata =	18,00	m	25,00	m
F avv (max 1000 kN) =	594,00	kN	825,00	kN
F1 =	594,00	kN	825,00	kN

  	<b>ITINERARIO NAPOLI – BARI</b> <b>RADDOPPIO TRATTA CANCELLO – BENEVENTO</b> <b>I° LOTTO FUNZIONALE CANCELLO - FRASSO TELESINO E</b> <b>VARIANTE ALLA LINEA ROMA-NAPOLI VIA CASSINO NEL</b> <b>COMUNE DI MADDALONI – PROGETTO ESECUTIVO</b>												
<b>Pile 07-08-09-12: Relazione di calcolo</b>	<table border="1"> <thead> <tr> <th>COMMESSA</th> <th>LOTTO</th> <th>CODIFICA</th> <th>DOCUMENTO</th> <th>REV.</th> <th>FOGLIO</th> </tr> </thead> <tbody> <tr> <td>IF1N</td> <td>01 E ZZ</td> <td>CL</td> <td>VI0205 003</td> <td>B</td> <td>59 di 140</td> </tr> </tbody> </table>	COMMESSA	LOTTO	CODIFICA	DOCUMENTO	REV.	FOGLIO	IF1N	01 E ZZ	CL	VI0205 003	B	59 di 140
COMMESSA	LOTTO	CODIFICA	DOCUMENTO	REV.	FOGLIO								
IF1N	01 E ZZ	CL	VI0205 003	B	59 di 140								

#### Frenatura LM71

f fren =	20,00	kN/m	20,00	kN/m
$\alpha$ =	1,10		1,10	
L caricata =	25,00	m	25,00	m
F fren (max 6000 kN) =	500,00	kN	500,00	kN
F1 =	550,00	kN	550,00	kN

#### Frenatura SW/2

f fren =	35,00	kN/m	35,00	kN/m
$\alpha$ =	1,00		1,00	
L caricata =	18,00	m	25,00	m
F fren =	630,00	kN	875,00	kN
F1 =	630,00	kN	875,00	kN

#### ahp interazione semplificata

ahp frenatura per LM71 =	1,60		1,60	
ahp frenatura per SW/2 =	1,30		1,30	
ahp avviam. per LM71 SW/2 =	1,12		1,12	

#### Forza totale di avviamento e frenatura

F1 =	1835,40	kN	2153,90	kN
h rispetto a intradosso imp. =	3,28	m	3,28	m
tipologia vincolo =	UL		F	

#### Risultanti reazioni vincolari

F1 =	0	kN	-2154	kN
F2 =	0		0	
F3 =	264	kN	-310	kN
M1 =	0		0	
M2 =	0		0	
M3 =	0		0	

## 6.3.2.6 DISPOSIZIONE DI CARICO 6 (Q26)

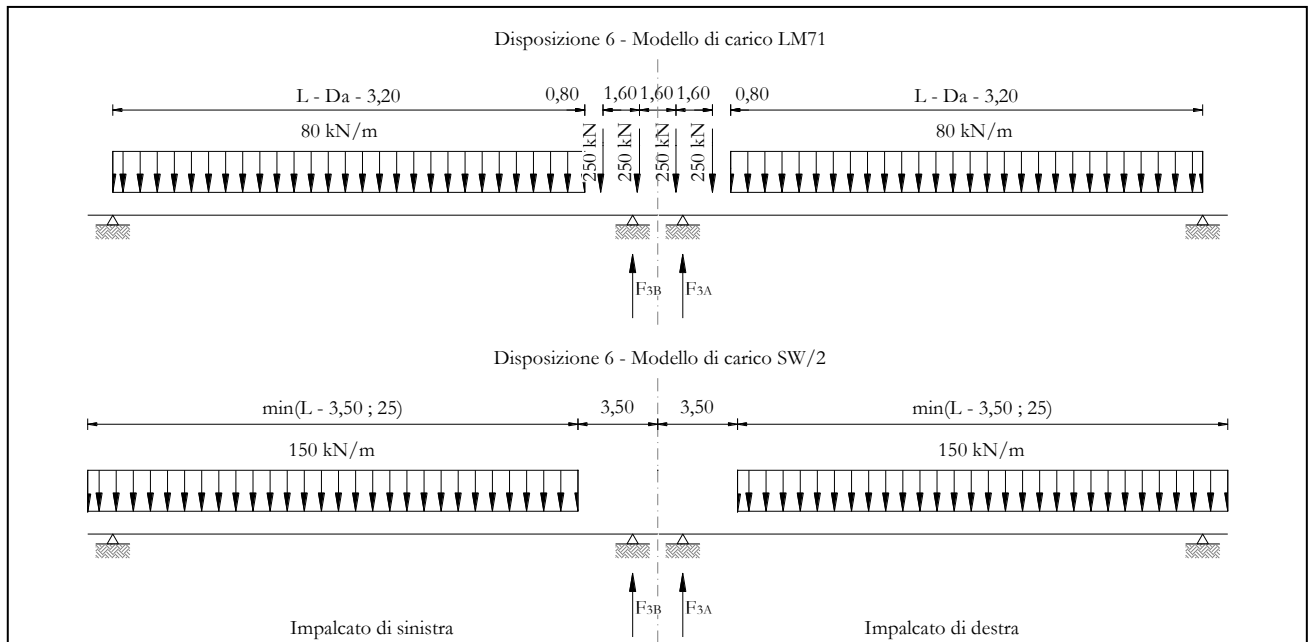


Figura 29 – Disposizione di carico 6

## IMPALCATO-SX

Reazioni vincolari B

## IMPALCATO-DX

Reazioni vincolari A

## Avviamento LM71

$f_{avv} =$	33,00	kN/m	33,00	kN/m
$\alpha =$	1,10		1,10	
L caricata =	25,00	m	25,00	m
$F_{avv} (\max 1000 \text{ kN}) =$	825,00	kN	825,00	kN
F1 =	907,50	kN	907,50	kN

## Avviamento SW/2

$f_{avv} =$	33,00	kN/m	33,00	kN/m
$\alpha =$	1,00		1,00	
L caricata =	21,50	m	21,50	m
$F_{avv} (\max 1000 \text{ kN}) =$	709,50	kN	709,50	kN
F1 =	709,50	kN	709,50	kN

  	<b>ITINERARIO NAPOLI – BARI</b> <b>RADDOPPIO TRATTA CANCELLO – BENEVENTO</b> <b>I° LOTTO FUNZIONALE CANCELLO - FRASSO TELESINO E</b> <b>VARIANTE ALLA LINEA ROMA-NAPOLI VIA CASSINO NEL</b> <b>COMUNE DI MADDALONI – PROGETTO ESECUTIVO</b>												
<b>Pile 07-08-09-12: Relazione di calcolo</b>	<table border="1"> <thead> <tr> <th>COMMESSA</th> <th>LOTTO</th> <th>CODIFICA</th> <th>DOCUMENTO</th> <th>REV.</th> <th>FOGLIO</th> </tr> </thead> <tbody> <tr> <td>IF1N</td> <td>01 E ZZ</td> <td>CL</td> <td>VI0205 003</td> <td>B</td> <td>61 di 140</td> </tr> </tbody> </table>	COMMESSA	LOTTO	CODIFICA	DOCUMENTO	REV.	FOGLIO	IF1N	01 E ZZ	CL	VI0205 003	B	61 di 140
COMMESSA	LOTTO	CODIFICA	DOCUMENTO	REV.	FOGLIO								
IF1N	01 E ZZ	CL	VI0205 003	B	61 di 140								

#### Frenatura LM71

f fren =	20,00	kN/m	20,00	kN/m
$\alpha$ =	1,10		1,10	
L caricata =	25,00	m	25,00	m
F fren (max 6000 kN) =	500,00	kN	500,00	kN
F1 =	550,00	kN	550,00	kN

#### Frenatura SW/2

f fren =	35,00	kN/m	35,00	kN/m
$\alpha$ =	1,00		1,00	
L caricata =	21,50	m	21,50	m
F fren =	752,50	kN	752,50	kN
F1 =	752,50	kN	752,50	kN

#### ahp interazione semplificata

ahp frenatura per LM71 =	1,60		1,60	
ahp frenatura per SW/2 =	1,30		1,30	
ahp avviam. per LM71 SW/2 =	1,12		1,12	

#### Forza totale di avviamento e frenatura

F1 =	1994,65	kN	1994,65	kN
h rispetto a intradosso imp. =	3,28	m	3,28	m
tipologia vincolo =	UL		F	

#### Risultanti reazioni vincolari

F1 =	0	kN	-1995	kN
F2 =	0		0	
F3 =	287	kN	-287	kN
M1 =	0		0	
M2 =	0		0	
M3 =	0		0	

  	<b>ITINERARIO NAPOLI – BARI</b> <b>RADDOPPIO TRATTA CANCELLO – BENEVENTO</b> <b>I° LOTTO FUNZIONALE CANCELLO - FRASSO TELESINO E</b> <b>VARIANTE ALLA LINEA ROMA-NAPOLI VIA CASSINO NEL</b> <b>COMUNE DI MADDALONI – PROGETTO ESECUTIVO</b>					
	<b>Pile 07-08-09-12: Relazione di calcolo</b>	COMMESSA <b>IF1N</b>	LOTTO <b>01 E ZZ</b>	CODIFICA <b>CL</b>	DOCUMENTO <b>VI0205 003</b>	REV. <b>B</b>

### 6.3.2.7 DISPOSIZIONE DI CARICO 7 (Q27)

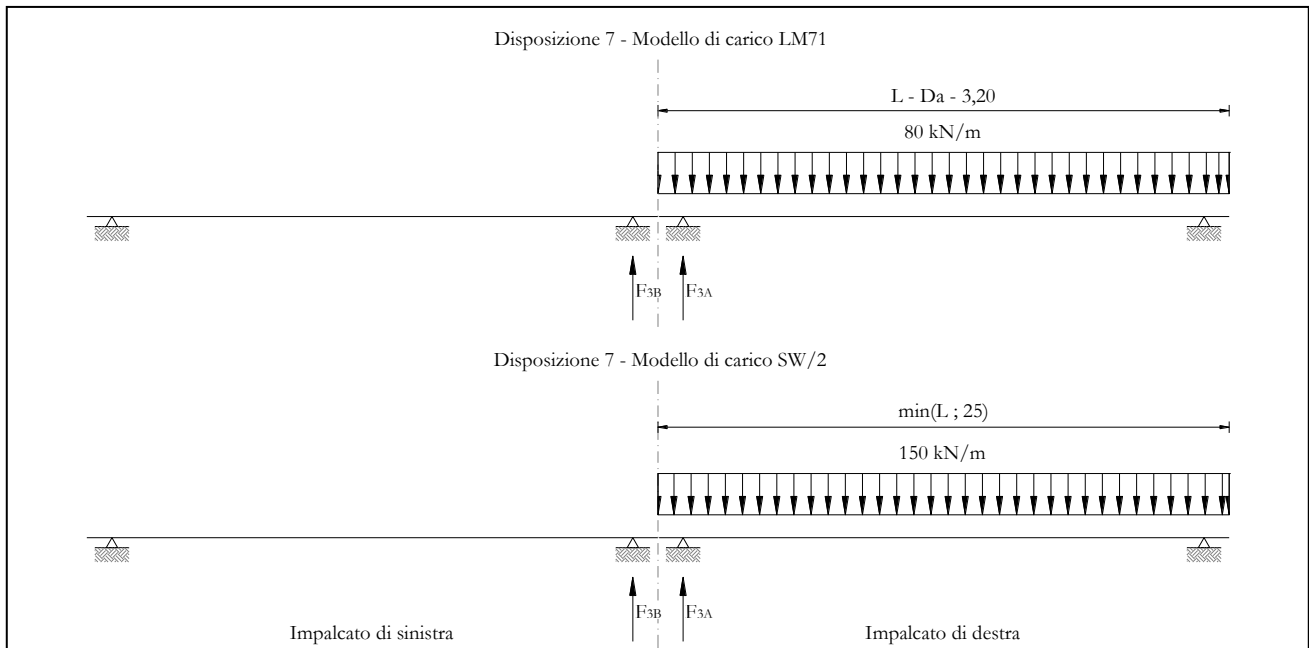


Figura 30 – Disposizione di carico 7

	IMPALCATO-SX		IMPALCATO-DX	
	Reazioni vincolari B		Reazioni vincolari A	
<b>Avviamento LM71</b>				
f avv =	33,00	kN/m	33,00	kN/m
α =	1,10		1,10	
L caricata =	0,00	m	25,00	m
F avv (max 1000 kN) =	0,00	kN	825,00	kN
F1 =	0,00	kN	907,50	kN
<b>Avviamento SW/2</b>				
f avv =	33,00	kN/m	33,00	kN/m
α =	1,00		1,00	
L caricata =	0,00	m	25,00	m
F avv (max 1000 kN) =	0,00	kN	825,00	kN
F1 =	0,00	kN	825,00	kN

  	<b>ITINERARIO NAPOLI – BARI</b> <b>RADDOPPIO TRATTA CANCELLO – BENEVENTO</b> <b>I° LOTTO FUNZIONALE CANCELLO - FRASSO TELESINO E</b> <b>VARIANTE ALLA LINEA ROMA-NAPOLI VIA CASSINO NEL</b> <b>COMUNE DI MADDALONI – PROGETTO ESECUTIVO</b>												
<b>Pile 07-08-09-12: Relazione di calcolo</b>	<table border="1"> <thead> <tr> <th>COMMESSA</th> <th>LOTTO</th> <th>CODIFICA</th> <th>DOCUMENTO</th> <th>REV.</th> <th>FOGLIO</th> </tr> </thead> <tbody> <tr> <td>IF1N</td> <td>01 E ZZ</td> <td>CL</td> <td>VI0205 003</td> <td>B</td> <td>63 di 140</td> </tr> </tbody> </table>	COMMESSA	LOTTO	CODIFICA	DOCUMENTO	REV.	FOGLIO	IF1N	01 E ZZ	CL	VI0205 003	B	63 di 140
COMMESSA	LOTTO	CODIFICA	DOCUMENTO	REV.	FOGLIO								
IF1N	01 E ZZ	CL	VI0205 003	B	63 di 140								

#### Frenatura LM71

f fren =	20,00	kN/m	20,00	kN/m
$\alpha$ =	1,10		1,10	
L caricata =	25,00	m	25,00	m
F fren (max 6000 kN) =	500,00	kN	500,00	kN
F1 =	550,00	kN	550,00	kN

#### Frenatura SW/2

f fren =	35,00	kN/m	35,00	kN/m
$\alpha$ =	1,00		1,00	
L caricata =	0,00	m	25,00	m
F fren =	0,00	kN	875,00	kN
F1 =	0,00	kN	875,00	kN

#### ahp interazione semplificata

ahp frenatura per LM71 =	1,60		1,60	
ahp frenatura per SW/2 =	1,30		1,30	
ahp avviam. per LM71 SW/2 =	1,12		1,12	

#### Forza totale di avviamento e frenatura

F1 =	880,00	kN	2153,90	kN
h rispetto a intradosso imp. =	3,28	m	3,28	m
tipologia vincolo =	UL		F	

#### Risultanti reazioni vincolari

F1 =	0	kN	-2154	kN
F2 =	0		0	
F3 =	127	kN	-310	kN
M1 =	0		0	
M2 =	0		0	
M3 =	0		0	

  	<b>ITINERARIO NAPOLI – BARI</b> <b>RADDOPPIO TRATTA CANCELLO – BENEVENTO</b> <b>I° LOTTO FUNZIONALE CANCELLO - FRASSO TELESINO E</b> <b>VARIANTE ALLA LINEA ROMA-NAPOLI VIA CASSINO NEL</b> <b>COMUNE DI MADDALONI – PROGETTO ESECUTIVO</b>												
<b>Pile 07-08-09-12: Relazione di calcolo</b>	<table border="1"> <thead> <tr> <th>COMMESSA</th> <th>LOTTO</th> <th>CODIFICA</th> <th>DOCUMENTO</th> <th>REV.</th> <th>FOGLIO</th> </tr> </thead> <tbody> <tr> <td>IF1N</td> <td>01 E ZZ</td> <td>CL</td> <td>VI0205 003</td> <td>B</td> <td>64 di 140</td> </tr> </tbody> </table>	COMMESSA	LOTTO	CODIFICA	DOCUMENTO	REV.	FOGLIO	IF1N	01 E ZZ	CL	VI0205 003	B	64 di 140
COMMESSA	LOTTO	CODIFICA	DOCUMENTO	REV.	FOGLIO								
IF1N	01 E ZZ	CL	VI0205 003	B	64 di 140								

### 6.3.3 FORZA CENTRIFUGA (Q3)

L'azione centrifuga è schematizzata come una forza agente in direzione orizzontale perpendicolarmente al binario e verso l'esterno della curva, applicata ad 1,80 m al di sopra del p.f.. Il valore caratteristico della forza centrifuga si determina in accordo con la seguente espressione:

$$Q_{tk} = V^2 \cdot f \cdot (\alpha \cdot Q_{vk}) / (127 \cdot R)$$

dove

V	velocità di progetto espressa in km/h
$Q_{vk}$	valore caratteristico dei carichi verticali
R	raggio di curvatura in m
f	fattore di riduzione (rif. §1.4.3.1 [3])

Per il modello di carico LM71 e per velocità di progetto superiori a 120 km/h, si considerano i seguenti 2 casi:

- modello di carico LM71 e forza centrifuga per  $V = 120$  km/h e  $f = 1$ ;
- modello di carico LM71 e forza centrifuga calcolata per la massima velocità di progetto.

Per i modelli di carico SW si assume una velocità massima di 100 km/h.

La forza centrifuga non deve essere incrementata dei coefficienti dinamici.

Nei sottoparagrafi che seguono si riportano i risultati delle reazioni vincolari per le diverse disposizioni di carico considerate e descritte precedentemente nel §6.3.



  	<b>ITINERARIO NAPOLI – BARI</b> <b>RADDOPPIO TRATTA CANCELLO – BENEVENTO</b> <b>I° LOTTO FUNZIONALE CANCELLO - FRASSO TELESINO E</b> <b>VARIANTE ALLA LINEA ROMA-NAPOLI VIA CASSINO NEL</b> <b>COMUNE DI MADDALONI – PROGETTO ESECUTIVO</b>					
	<b>Pile 07-08-09-12: Relazione di calcolo</b>	COMMESSA <b>IF1N</b>	LOTTO <b>01 E ZZ</b>	CODIFICA <b>CL</b>	DOCUMENTO <b>VI0205 003</b>	REV. <b>B</b>

### 6.3.3.1 DISPOSIZIONE DI CARICO 1 (Q31)

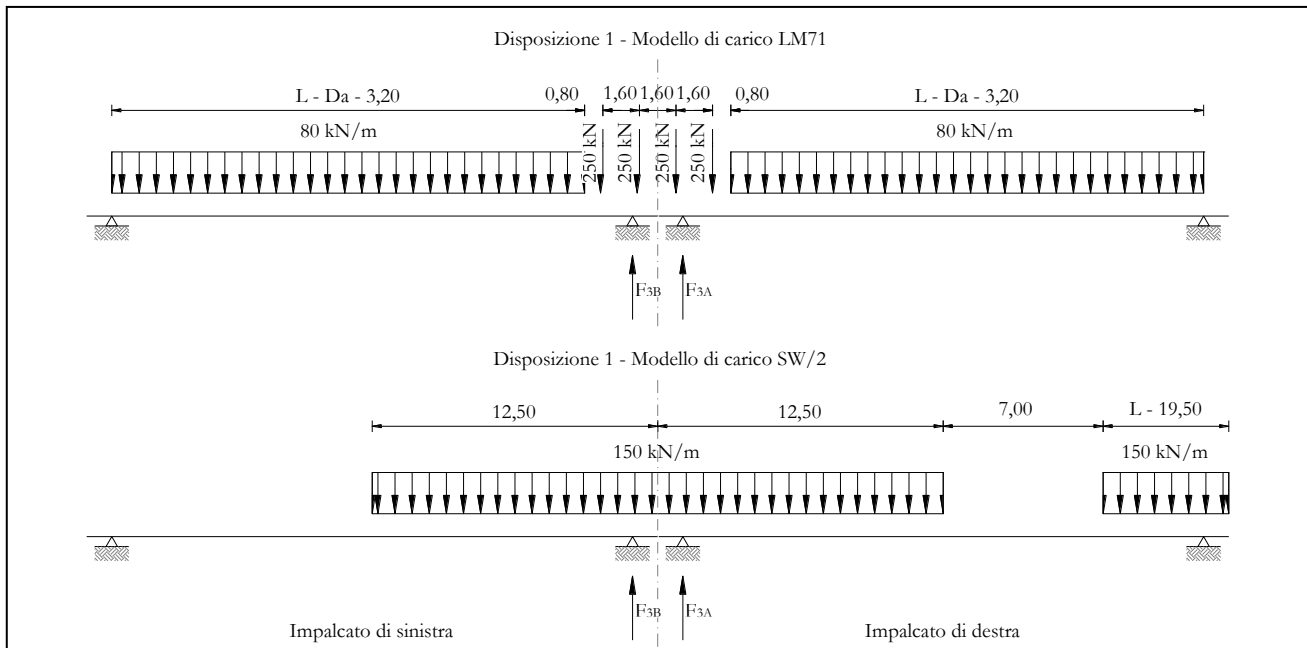


Figura 31 – Disposizione di carico 1

#### IMPALCATO-SX

Reazioni vincolari B

#### IMPALCATO-DX

Reazioni vincolari A

#### Centrifuga LM71

$v = v_{max}$

Raggio minimo =	1500,00	m	1500,00	m
Velocità massima =	180,00	km/h	180,00	km/h
$L_f =$	25,00	m	25,00	m
$f =$	0,75		0,75	
$Q_v =$	1240,77	kN	1240,77	kN
$Q_h =$	158,57	kN	158,57	kN

$v = 120 \text{ km/h}$

Raggio minimo =	1500,00	m	1500,00	m
Velocità (120 km/h) =	120,00	km/h	120,00	km/h
$f(1) =$	1,00		1,00	
$Q_v =$	1364,85	kN	1364,85	kN

  	<b>ITINERARIO NAPOLI – BARI</b> <b>RADDOPPIO TRATTA CANCELLO – BENEVENTO</b> <b>I° LOTTO FUNZIONALE CANCELLO - FRASSO TELESINO E</b> <b>VARIANTE ALLA LINEA ROMA-NAPOLI VIA CASSINO NEL</b> <b>COMUNE DI MADDALONI – PROGETTO ESECUTIVO</b>					
<b>Pile 07-08-09-12: Relazione di calcolo</b>	COMMESSA IF1N	LOTTO 01 E ZZ	CODIFICA CL	DOCUMENTO VI0205 003	REV. B	FOGLIO 66 di 140

Qh = 103,17 kN 103,17 kN

Qh,max = 158,57 kN 158,57 kN

Centrifuga SW/2

v max = 100 km/h

Raggio minimo = 1500,00 m 1500,00 m

Velocità (100 km/h) = 100,00 km/h 100,00 km/h

f (1) = 1,00 1,00

Qv = 1451,48 kN 1511,18 kN

Qh,max = 76,19 kN 79,33 kN

Forza centrifuga sull appoggio

F2 = 234,76 kN 237,89 kN

h rispetto a intradosso imp. = 5,08 m 5,08 m

Risultanti reazioni vincolari

F1 = 0 0

F2 = -235 kN -238 kN

F3 = 0 0

M1 = 1193 kNm 1209 kNm

M2 = 0 0

M3 = 0 0

## 6.3.3.2 DISPOSIZIONE DI CARICO 2 (Q32)

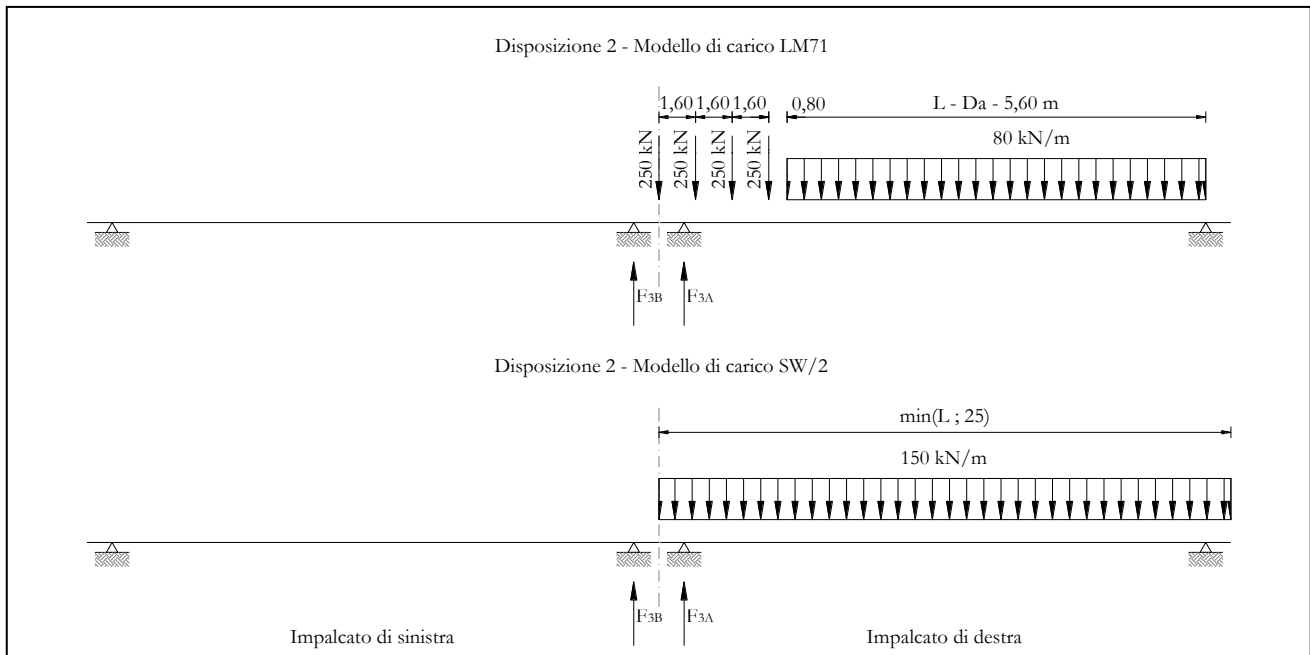


Figura 32 – Disposizione di carico 2

IMPALCATO-SX

Reazioni vincolari B

IMPALCATO-DX

Reazioni vincolari A

Centrifuga LM71v = v<sub>max</sub>

Raggio minimo =	1500,00	m	1500,00	m
Velocità massima =	180,00	km/h	180,00	km/h
L <sub>f</sub> =	25,00	m	25,00	m
f =	0,75		0,75	
Q <sub>v</sub> =	0,00	kN	1530,51	kN
Q <sub>h</sub> =	0,00	kN	195,59	kN

v = 120 km/h

Raggio minimo =	1500,00	m	1500,00	m
Velocità (120 km/h) =	120,00	km/h	120,00	km/h
f (1) =	1,00		1,00	
Q <sub>v</sub> =	0,00	kN	1683,56	kN

  	<b>ITINERARIO NAPOLI – BARI</b> <b>RADDOPPIO TRATTA CANCELLO – BENEVENTO</b> <b>I° LOTTO FUNZIONALE CANCELLO - FRASSO TELESINO E</b> <b>VARIANTE ALLA LINEA ROMA-NAPOLI VIA CASSINO NEL</b> <b>COMUNE DI MADDALONI – PROGETTO ESECUTIVO</b>												
<b>Pile 07-08-09-12: Relazione di calcolo</b>	<table border="1"> <thead> <tr> <th>COMMESSA</th> <th>LOTTO</th> <th>CODIFICA</th> <th>DOCUMENTO</th> <th>REV.</th> <th>FOGLIO</th> </tr> </thead> <tbody> <tr> <td>IF1N</td> <td>01 E ZZ</td> <td>CL</td> <td>VI0205 003</td> <td>B</td> <td>68 di 140</td> </tr> </tbody> </table>	COMMESSA	LOTTO	CODIFICA	DOCUMENTO	REV.	FOGLIO	IF1N	01 E ZZ	CL	VI0205 003	B	68 di 140
COMMESSA	LOTTO	CODIFICA	DOCUMENTO	REV.	FOGLIO								
IF1N	01 E ZZ	CL	VI0205 003	B	68 di 140								

Qh = 0,00 kN 127,26 kN

Qh,max = 0,00 kN 195,59 kN

Centrifuga SW/2

v max = 100 km/h

Raggio minimo = 1500,00 m 1500,00 m

Velocità (100 km/h) = 100,00 km/h 100,00 km/h

f = 1,00 1,00

Qv = 0,00 kN 1875,00 kN

Qh,max = 0,00 kN 98,43 kN

Forza centrifuga sull appoggio

F2 = 0,00 kN 294,02 kN

h rispetto a intradosso imp. = 5,08 m 5,08 m

Risultanti reazioni vincolari

F1 = 0 0

F2 = 0 kN -294 kN

F3 = 0 0

M1 = 0 kNm 1494 kNm

M2 = 0 0

M3 = 0 0

  	<b>ITINERARIO NAPOLI – BARI</b> <b>RADDOPPIO TRATTA CANCELLO – BENEVENTO</b> <b>I° LOTTO FUNZIONALE CANCELLO - FRASSO TELESINO E</b> <b>VARIANTE ALLA LINEA ROMA-NAPOLI VIA CASSINO NEL</b> <b>COMUNE DI MADDALONI – PROGETTO ESECUTIVO</b>					
	<b>Pile 07-08-09-12: Relazione di calcolo</b>	COMMESSA <b>IF1N</b>	LOTTO <b>01 E ZZ</b>	CODIFICA <b>CL</b>	DOCUMENTO <b>VI0205 003</b>	REV. <b>B</b>

### 6.3.3.3 DISPOSIZIONE DI CARICO 3 (Q33)

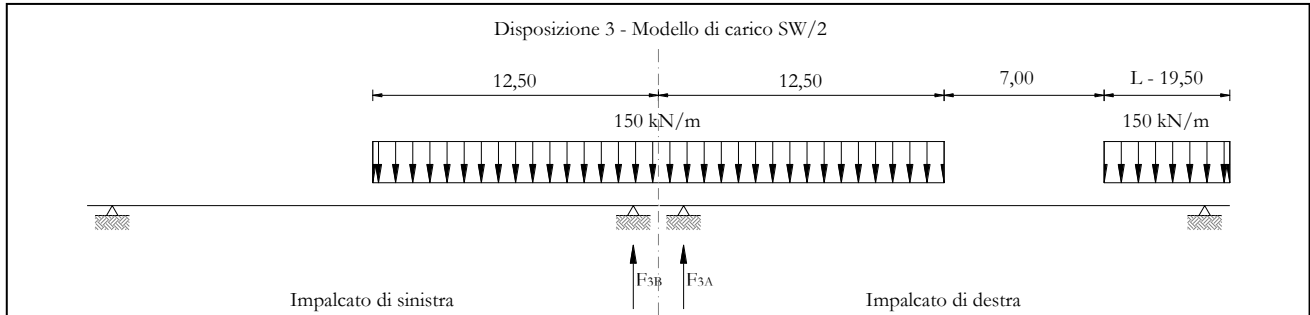


Figura 33 – Disposizione di carico 3

#### IMPALCATO-SX

Reazioni vincolari B

#### IMPALCATO-DX

Reazioni vincolari A

#### Centrifuga LM71

$v = v_{max}$

Raggio minimo =	1500,00	m	1500,00	m
Velocità massima =	180,00	km/h	180,00	km/h
$L_f =$	25,00	m	25,00	m
$f =$	0,75		0,75	
$Q_v =$	0,00	kN	0,00	kN
$Q_h =$	0,00	kN	0,00	kN

$v = 120$  km/h

Raggio minimo =	1500,00	m	1500,00	m
Velocità (120 km/h) =	120,00	km/h	120,00	km/h
$f(1) =$	1,00		1,00	
$Q_v =$	0,00	kN	0,00	kN
$Q_h =$	0,00	kN	0,00	kN

$Q_{h,max} =$	0,00	kN	0,00	kN
---------------	------	----	------	----

#### Centrifuga SW/2

$v_{max} = 100$  km/h

Raggio minimo =	1500,00	m	1500,00	m
-----------------	---------	---	---------	---

  	<b>ITINERARIO NAPOLI – BARI</b> <b>RADDOPPIO TRATTA CANCELLO – BENEVENTO</b> <b>I° LOTTO FUNZIONALE CANCELLO - FRASSO TELESINO E</b> <b>VARIANTE ALLA LINEA ROMA-NAPOLI VIA CASSINO NEL</b> <b>COMUNE DI MADDALONI – PROGETTO ESECUTIVO</b>												
<b>Pile 07-08-09-12: Relazione di calcolo</b>	<table border="1"> <thead> <tr> <th>COMMESSA</th> <th>LOTTO</th> <th>CODIFICA</th> <th>DOCUMENTO</th> <th>REV.</th> <th>FOGLIO</th> </tr> </thead> <tbody> <tr> <td>IF1N</td> <td>01 E ZZ</td> <td>CL</td> <td>VI0205 003</td> <td>B</td> <td>70 di 140</td> </tr> </tbody> </table>	COMMESSA	LOTTO	CODIFICA	DOCUMENTO	REV.	FOGLIO	IF1N	01 E ZZ	CL	VI0205 003	B	70 di 140
COMMESSA	LOTTO	CODIFICA	DOCUMENTO	REV.	FOGLIO								
IF1N	01 E ZZ	CL	VI0205 003	B	70 di 140								

Velocità (100 km/h) = 100,00 km/h 100,00 km/h

f = 1,00 1,00

Qv = 1451,48 kN 1511,18 kN

Qh,max = 76,19 kN 79,33 kN

Forza centrifuga sull'appoggio

F2 = 76,19 kN 79,33 kN

h rispetto a intradosso imp. = 5,08 m 5,08 m

Risultanti reazioni vincolari

F1 = 0 0

F2 = -76 kN -79 kN

F3 = 0 0

M1 = 387 kNm 403 kNm

M2 = 0 0

M3 = 0 0

  	<b>ITINERARIO NAPOLI – BARI</b> <b>RADDOPPIO TRATTA CANCELLO – BENEVENTO</b> <b>I° LOTTO FUNZIONALE CANCELLO - FRASSO TELESINO E</b> <b>VARIANTE ALLA LINEA ROMA-NAPOLI VIA CASSINO NEL</b> <b>COMUNE DI MADDALONI – PROGETTO ESECUTIVO</b>					
	<b>Pile 07-08-09-12: Relazione di calcolo</b>	COMMESSA <b>IF1N</b>	LOTTO <b>01 E ZZ</b>	CODIFICA <b>CL</b>	DOCUMENTO <b>VI0205 003</b>	REV. <b>B</b>

### 6.3.3.4 DISPOSIZIONE DI CARICO 4 (Q34)

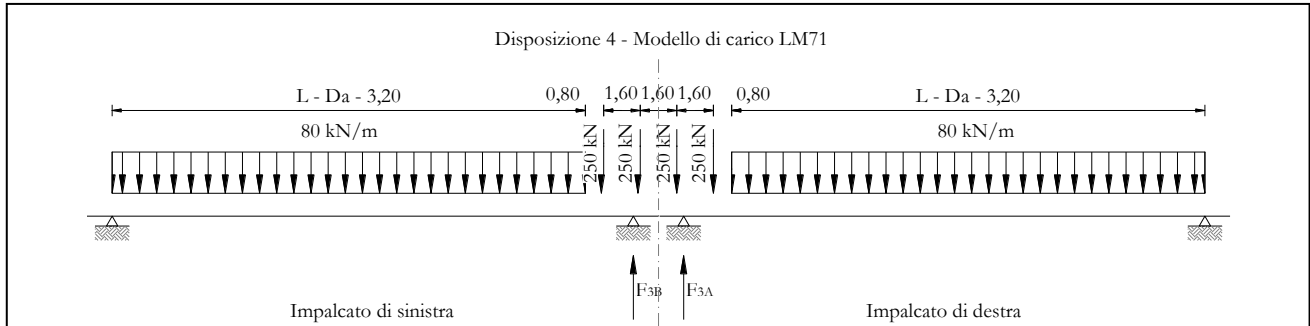


Figura 34 – Disposizione di carico 4

#### IMPALCATO-SX

Reazioni vincolari B

#### IMPALCATO-DX

Reazioni vincolari A

#### Centrifuga LM71

$v = v_{max}$

Raggio minimo =	1500,00	m	1500,00	m
Velocità massima =	180,00	km/h	180,00	km/h
$L_f =$	25,00	m	25,00	m
$f =$	0,75		0,75	
$Q_v =$	1240,77	kN	1240,77	kN
$Q_h =$	158,57	kN	158,57	kN

$v = 120 \text{ km/h}$

Raggio minimo =	1500,00	m	1500,00	m
Velocità (120 km/h) =	120,00	km/h	120,00	km/h
$f(1) =$	1,00		1,00	
$Q_v =$	1364,85	kN	1364,85	kN
$Q_h =$	103,17	kN	103,17	kN

$Q_{h,max} =$	158,57	kN	158,57	kN
---------------	--------	----	--------	----

#### Centrifuga SW/2

$v_{max} = 100 \text{ km/h}$

  	<b>ITINERARIO NAPOLI – BARI</b> <b>RADDOPPIO TRATTA CANCELLO – BENEVENTO</b> <b>I° LOTTO FUNZIONALE CANCELLO - FRASSO TELESINO E</b> <b>VARIANTE ALLA LINEA ROMA-NAPOLI VIA CASSINO NEL</b> <b>COMUNE DI MADDALONI – PROGETTO ESECUTIVO</b>												
<b>Pile 07-08-09-12: Relazione di calcolo</b>	<table border="1"> <thead> <tr> <th>COMMESSA</th> <th>LOTTO</th> <th>CODIFICA</th> <th>DOCUMENTO</th> <th>REV.</th> <th>FOGLIO</th> </tr> </thead> <tbody> <tr> <td>IF1N</td> <td>01 E ZZ</td> <td>CL</td> <td>VI0205 003</td> <td>B</td> <td>72 di 140</td> </tr> </tbody> </table>	COMMESSA	LOTTO	CODIFICA	DOCUMENTO	REV.	FOGLIO	IF1N	01 E ZZ	CL	VI0205 003	B	72 di 140
COMMESSA	LOTTO	CODIFICA	DOCUMENTO	REV.	FOGLIO								
IF1N	01 E ZZ	CL	VI0205 003	B	72 di 140								

Raggio minimo =	1500,00	m	1500,00	m
Velocità (100 km/h) =	100,00	km/h	100,00	km/h
f =	1,00		1,00	
Qv =	0,00	kN	0,00	kN
Qh,max =	0,00	kN	0,00	kN

Forza centrifuga sull appoggio

F2 =	158,57	kN	158,57	kN
h rispetto a intradosso imp. =	5,08	m	5,08	m

Risultanti reazioni vincolari

F1 =	0		0	
F2 =	-159	kN	-159	kN
F3 =	0		0	
M1 =	806	kNm	806	kNm
M2 =	0		0	
M3 =	0		0	



  	<b>ITINERARIO NAPOLI – BARI</b> <b>RADDOPPIO TRATTA CANCELLO – BENEVENTO</b> <b>I° LOTTO FUNZIONALE CANCELLO - FRASSO TELESINO E</b> <b>VARIANTE ALLA LINEA ROMA-NAPOLI VIA CASSINO NEL</b> <b>COMUNE DI MADDALONI – PROGETTO ESECUTIVO</b>					
	<b>Pile 07-08-09-12: Relazione di calcolo</b>	COMMESSA <b>IF1N</b>	LOTTO <b>01 E ZZ</b>	CODIFICA <b>CL</b>	DOCUMENTO <b>VI0205 003</b>	REV. <b>B</b>

### 6.3.3.5 DISPOSIZIONE DI CARICO 5 (Q35)

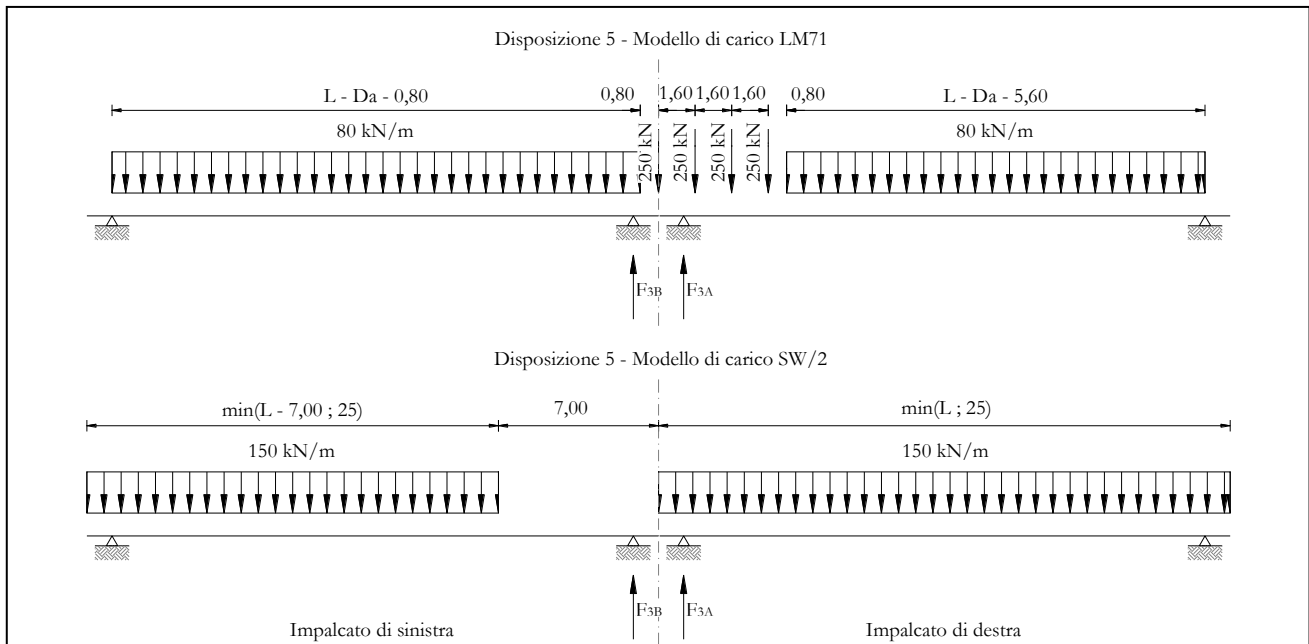


Figura 35 – Disposizione di carico 5

#### IMPALCATO-SX

Reazioni vincolari B

#### IMPALCATO-DX

Reazioni vincolari A

#### Centrifuga LM71

$v = v_{max}$

Raggio minimo =	1500,00	m	1500,00	m
Velocità massima =	180,00	km/h	180,00	km/h
$L_f =$	25,00	m	25,00	m
$f =$	0,75		0,75	
$Q_v =$	936,16	kN	1530,51	kN
$Q_h =$	119,64	kN	195,59	kN

$v = 120 \text{ km/h}$

Raggio minimo =	1500,00	m	1500,00	m
Velocità (120 km/h) =	120,00	km/h	120,00	km/h
$f(1) =$	1,00		1,00	
$Q_v =$	1029,77	kN	1683,56	kN

  	<b>ITINERARIO NAPOLI – BARI</b> <b>RADDOPPIO TRATTA CANCELLO – BENEVENTO</b> <b>I° LOTTO FUNZIONALE CANCELLO - FRASSO TELESINO E</b> <b>VARIANTE ALLA LINEA ROMA-NAPOLI VIA CASSINO NEL</b> <b>COMUNE DI MADDALONI – PROGETTO ESECUTIVO</b>												
<b>Pile 07-08-09-12: Relazione di calcolo</b>	<table border="1"> <thead> <tr> <th>COMMESSA</th> <th>LOTTO</th> <th>CODIFICA</th> <th>DOCUMENTO</th> <th>REV.</th> <th>FOGLIO</th> </tr> </thead> <tbody> <tr> <td>IF1N</td> <td>01 E ZZ</td> <td>CL</td> <td>VI0205 003</td> <td>B</td> <td>74 di 140</td> </tr> </tbody> </table>	COMMESSA	LOTTO	CODIFICA	DOCUMENTO	REV.	FOGLIO	IF1N	01 E ZZ	CL	VI0205 003	B	74 di 140
COMMESSA	LOTTO	CODIFICA	DOCUMENTO	REV.	FOGLIO								
IF1N	01 E ZZ	CL	VI0205 003	B	74 di 140								

Qh = 77,84 kN 127,26 kN

Qh,max = 119,64 kN 195,59 kN

Centrifuga SW/2

v max = 100 km/h

Raggio minimo = 1500,00 m 1500,00 m

Velocità (100 km/h) = 100,00 km/h 100,00 km/h

f = 1,00 1,00

Qv = 935,53 kN 1875,00 kN

Qh,max = 49,11 kN 98,43 kN

Forza centrifuga sull appoggio

F2 = 168,75 kN 294,02 kN

h rispetto a intradosso imp. = 5,08 m 5,08 m

Risultanti reazioni vincolari

F1 = 0 0

F2 = -169 kN -294 kN

F3 = 0 0

M1 = 857 kNm 1494 kNm

M2 = 0 0

M3 = 0 0

  	<b>ITINERARIO NAPOLI – BARI</b> <b>RADDOPPIO TRATTA CANCELLO – BENEVENTO</b> <b>I° LOTTO FUNZIONALE CANCELLO - FRASSO TELESINO E</b> <b>VARIANTE ALLA LINEA ROMA-NAPOLI VIA CASSINO NEL</b> <b>COMUNE DI MADDALONI – PROGETTO ESECUTIVO</b>					
	<b>Pile 07-08-09-12: Relazione di calcolo</b>	COMMESSA <b>IF1N</b>	LOTTO <b>01 E ZZ</b>	CODIFICA <b>CL</b>	DOCUMENTO <b>VI0205 003</b>	REV. <b>B</b>

### 6.3.3.6 DISPOSIZIONE DI CARICO 6 (Q36)

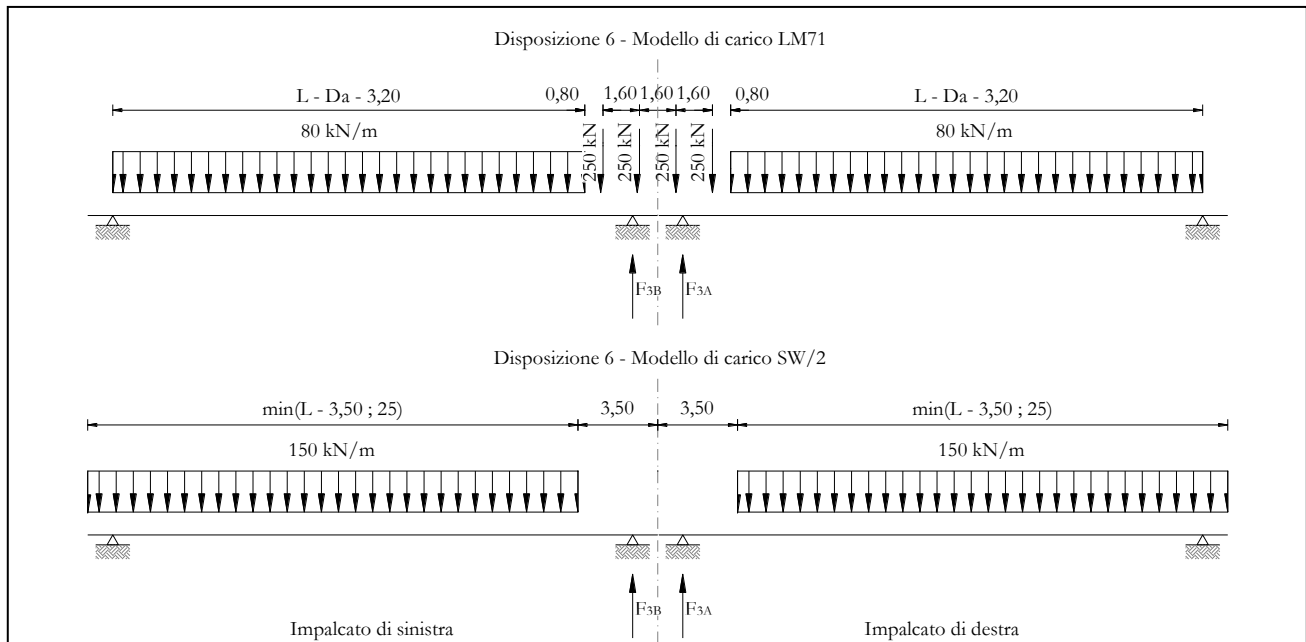


Figura 36 – Disposizione di carico 6

#### IMPALCATO-SX

Reazioni vincolari B

#### IMPALCATO-DX

Reazioni vincolari A

#### Centrifuga LM71

$v = v_{max}$

Raggio minimo =	1500,00	m	1500,00	m
Velocità massima =	180,00	km/h	180,00	km/h
$L_f =$	25,00	m	25,00	m
$f =$	0,75		0,75	
$Q_v =$	1240,77	kN	1240,77	kN
$Q_h =$	158,57	kN	158,57	kN

$v = 120 \text{ km/h}$

Raggio minimo =	1500,00	m	1500,00	m
Velocità (120 km/h) =	120,00	km/h	120,00	km/h
$f(1) =$	1,00		1,00	
$Q_v =$	1364,85	kN	1364,85	kN

  	<b>ITINERARIO NAPOLI – BARI</b> <b>RADDOPPIO TRATTA CANCELLO – BENEVENTO</b> <b>I° LOTTO FUNZIONALE CANCELLO - FRASSO TELESINO E</b> <b>VARIANTE ALLA LINEA ROMA-NAPOLI VIA CASSINO NEL</b> <b>COMUNE DI MADDALONI – PROGETTO ESECUTIVO</b>												
<b>Pile 07-08-09-12: Relazione di calcolo</b>	<table border="1"> <thead> <tr> <th>COMMESSA</th> <th>LOTTO</th> <th>CODIFICA</th> <th>DOCUMENTO</th> <th>REV.</th> <th>FOGLIO</th> </tr> </thead> <tbody> <tr> <td>IF1N</td> <td>01 E ZZ</td> <td>CL</td> <td>VI0205 003</td> <td>B</td> <td>76 di 140</td> </tr> </tbody> </table>	COMMESSA	LOTTO	CODIFICA	DOCUMENTO	REV.	FOGLIO	IF1N	01 E ZZ	CL	VI0205 003	B	76 di 140
COMMESSA	LOTTO	CODIFICA	DOCUMENTO	REV.	FOGLIO								
IF1N	01 E ZZ	CL	VI0205 003	B	76 di 140								

Qh = 103,17 kN 103,17 kN

Qh,max = 158,57 kN 158,57 kN

Centrifuga SW/2

v max = 100 km/h

Raggio minimo = 1500,00 m 1500,00 m

Velocità (100 km/h) = 100,00 km/h 100,00 km/h

f = 1,00 1,00

Qv = 1364,97 kN 1364,97 kN

Qh,max = 71,65 kN 71,65 kN

Forza centrifuga sull appoggio

F2 = 230,22 kN 230,22 kN

h rispetto a intradosso imp. = 5,08 m 5,08 m

Risultanti reazioni vincolari

F1 = 0 0

F2 = -230 kN -230 kN

F3 = 0 0

M1 = 1170 kNm 1170 kNm

M2 = 0 0

M3 = 0 0

  	<b>ITINERARIO NAPOLI – BARI</b> <b>RADDOPPIO TRATTA CANCELLO – BENEVENTO</b> <b>I° LOTTO FUNZIONALE CANCELLO - FRASSO TELESINO E</b> <b>VARIANTE ALLA LINEA ROMA-NAPOLI VIA CASSINO NEL</b> <b>COMUNE DI MADDALONI – PROGETTO ESECUTIVO</b>					
	<b>Pile 07-08-09-12: Relazione di calcolo</b>	COMMESSA <b>IF1N</b>	LOTTO <b>01 E ZZ</b>	CODIFICA <b>CL</b>	DOCUMENTO <b>VI0205 003</b>	REV. <b>B</b>

### 6.3.3.7 DISPOSIZIONE DI CARICO 7 (Q37)

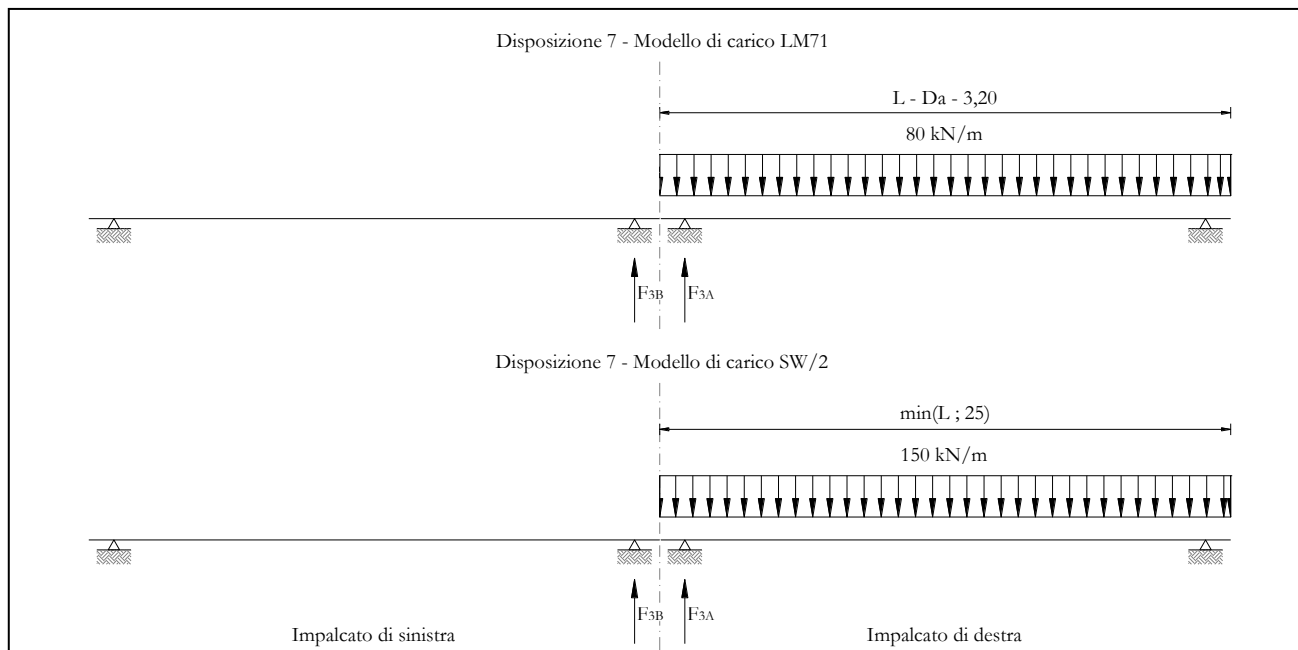


Figura 37 – Disposizione di carico 7

#### IMPALCATO-SX

Reazioni vincolari B

#### IMPALCATO-DX

Reazioni vincolari A

#### Centrifuga LM71

$v = v_{max}$

Raggio minimo =	1500,00	m	1500,00	m
Velocità massima =	180,00	km/h	180,00	km/h
$L_f =$	25,00	m	25,00	m
$f =$	0,75		0,75	
$Q_v =$	0,00	kN	1002,12	kN
$Q_h =$	0,00	kN	128,07	kN

$v = 120$  km/h

Raggio minimo =	1500,00	m	1500,00	m
Velocità (120 km/h) =	120,00	km/h	120,00	km/h
$f(1) =$	1,00		1,00	
$Q_v =$	0,00	kN	1102,34	kN

  	<b>ITINERARIO NAPOLI – BARI</b> <b>RADDOPPIO TRATTA CANCELLO – BENEVENTO</b> <b>I° LOTTO FUNZIONALE CANCELLO - FRASSO TELESINO E</b> <b>VARIANTE ALLA LINEA ROMA-NAPOLI VIA CASSINO NEL</b> <b>COMUNE DI MADDALONI – PROGETTO ESECUTIVO</b>												
<b>Pile 07-08-09-12: Relazione di calcolo</b>	<table border="1"> <thead> <tr> <th>COMMESSA</th> <th>LOTTO</th> <th>CODIFICA</th> <th>DOCUMENTO</th> <th>REV.</th> <th>FOGLIO</th> </tr> </thead> <tbody> <tr> <td>IF1N</td> <td>01 E ZZ</td> <td>CL</td> <td>VI0205 003</td> <td>B</td> <td>78 di 140</td> </tr> </tbody> </table>	COMMESSA	LOTTO	CODIFICA	DOCUMENTO	REV.	FOGLIO	IF1N	01 E ZZ	CL	VI0205 003	B	78 di 140
COMMESSA	LOTTO	CODIFICA	DOCUMENTO	REV.	FOGLIO								
IF1N	01 E ZZ	CL	VI0205 003	B	78 di 140								

Qh = 0,00 kN 83,33 kN

Qh,max = 0,00 kN 128,07 kN

Centrifuga SW/2

v max = 100 km/h

Raggio minimo = 1500,00 m 1500,00 m

Velocità (100 km/h) = 100,00 km/h 100,00 km/h

f = 1,00 1,00

Qv = 0,00 kN 1875,00 kN

Qh,max = 0,00 kN 98,43 kN

Forza centrifuga sull appoggio

F2 = 0,00 kN 226,49 kN

h rispetto a intradosso imp. = 5,08 m 5,08 m

Risultanti reazioni vincolari

F1 = 0 0

F2 = 0 kN -226 kN

F3 = 0 0

M1 = 0 kNm 1151 kNm

M2 = 0 0

M3 = 0 0

  	<b>ITINERARIO NAPOLI – BARI</b> <b>RADDOPPIO TRATTA CANCELLO – BENEVENTO</b> <b>I° LOTTO FUNZIONALE CANCELLO - FRASSO TELESINO E</b> <b>VARIANTE ALLA LINEA ROMA-NAPOLI VIA CASSINO NEL</b> <b>COMUNE DI MADDALONI – PROGETTO ESECUTIVO</b>												
<b>Pile 07-08-09-12: Relazione di calcolo</b>	<table border="1"> <tr> <td>COMMESSA</td> <td>LOTTO</td> <td>CODIFICA</td> <td>DOCUMENTO</td> <td>REV.</td> <td>FOGLIO</td> </tr> <tr> <td>IF1N</td> <td>01 E ZZ</td> <td>CL</td> <td>VI0205 003</td> <td>B</td> <td>79 di 140</td> </tr> </table>	COMMESSA	LOTTO	CODIFICA	DOCUMENTO	REV.	FOGLIO	IF1N	01 E ZZ	CL	VI0205 003	B	79 di 140
COMMESSA	LOTTO	CODIFICA	DOCUMENTO	REV.	FOGLIO								
IF1N	01 E ZZ	CL	VI0205 003	B	79 di 140								

### 6.3.4 SERPEGGIO (Q4)

La forza laterale indotta dal serpeggio si schematizza come una forza concentrata agente orizzontalmente perpendicolarmente all'asse del binario.

Il valore caratteristico di tale forza è assunto pari a 100 kN. Tale valore deve essere moltiplicato per  $\alpha$  ma non per il coefficiente di amplificazione dinamica.

Nei sottoparagrafi che seguono si riportano i risultati delle reazioni vincolari per le diverse disposizioni di carico considerate e descritte precedentemente nel §6.3.

#### 6.3.4.1 DISPOSIZIONE DI CARICO 1 (Q41)

	<u>IMPALCATO-SX</u>		<u>IMPALCATO-DX</u>	
	Reazioni vincolari B		Reazioni vincolari A	

##### Serpeggio LM71

Forza serpeggio =	100,00	kN	100,00	kN
$\alpha$ =	1,10		1,10	

##### Serpeggio SW/2

Forza serpeggio =	100,00	kN	100,00	kN
$\alpha$ =	1,00		1,00	

##### Forza totale serpeggio

F2 =	210,00	kN	210,00	kN
h rispetto a intradosso imp. =	3,28	m	3,28	m

##### Risultanti reazioni vincolari

F1 =	0		0	
F2 =	-105	kN	-105	kN
F3 =	0		0	
M1 =	344	kNm	344	kNm
M2 =	0		0	
M3 =	0		0	

  	<b>ITINERARIO NAPOLI – BARI</b> <b>RADDOPPIO TRATTA CANCELLO – BENEVENTO</b> <b>I° LOTTO FUNZIONALE CANCELLO - FRASSO TELESINO E</b> <b>VARIANTE ALLA LINEA ROMA-NAPOLI VIA CASSINO NEL</b> <b>COMUNE DI MADDALONI – PROGETTO ESECUTIVO</b>												
<b>Pile 07-08-09-12: Relazione di calcolo</b>	<table border="1"> <tr> <td>COMMESSA</td> <td>LOTTO</td> <td>CODIFICA</td> <td>DOCUMENTO</td> <td>REV.</td> <td>FOGLIO</td> </tr> <tr> <td>IF1N</td> <td>01 E ZZ</td> <td>CL</td> <td>VI0205 003</td> <td>B</td> <td>80 di 140</td> </tr> </table>	COMMESSA	LOTTO	CODIFICA	DOCUMENTO	REV.	FOGLIO	IF1N	01 E ZZ	CL	VI0205 003	B	80 di 140
COMMESSA	LOTTO	CODIFICA	DOCUMENTO	REV.	FOGLIO								
IF1N	01 E ZZ	CL	VI0205 003	B	80 di 140								

### 6.3.4.2 *DISPOSIZIONE DI CARICO 2 (Q42)*

	<u>IMPALCATO-SX</u>		<u>IMPALCATO-DX</u>	
	Reazioni vincolari B		Reazioni vincolari A	
<u>Serpeggio LM71</u>				
Forza serpeggio =	100,00	kN	100,00	kN
$\alpha =$	1,10		1,10	
<u>Serpeggio SW/2</u>				
Forza serpeggio =	100,00	kN	100,00	kN
$\alpha =$	1,00		1,00	
<u>Forza totale serpeggio</u>				
F2 =	210,00	kN	210,00	kN
h rispetto a intradosso imp. =	3,28	m	3,28	m
<u>Risultanti reazioni vincolari</u>				
F1 =	0		0	
F2 =	0	kN	-210	kN
F3 =	0		0	
M1 =	0	kNm	689	kNm
M2 =	0		0	
M3 =	0		0	



  	<b>ITINERARIO NAPOLI – BARI</b> <b>RADDOPPIO TRATTA CANCELLO – BENEVENTO</b> <b>I° LOTTO FUNZIONALE CANCELLO - FRASSO TELESINO E</b> <b>VARIANTE ALLA LINEA ROMA-NAPOLI VIA CASSINO NEL</b> <b>COMUNE DI MADDALONI – PROGETTO ESECUTIVO</b>												
<b>Pile 07-08-09-12: Relazione di calcolo</b>	<table border="1"> <tr> <td>COMMESSA</td> <td>LOTTO</td> <td>CODIFICA</td> <td>DOCUMENTO</td> <td>REV.</td> <td>FOGLIO</td> </tr> <tr> <td>IF1N</td> <td>01 E ZZ</td> <td>CL</td> <td>VI0205 003</td> <td>B</td> <td>81 di 140</td> </tr> </table>	COMMESSA	LOTTO	CODIFICA	DOCUMENTO	REV.	FOGLIO	IF1N	01 E ZZ	CL	VI0205 003	B	81 di 140
COMMESSA	LOTTO	CODIFICA	DOCUMENTO	REV.	FOGLIO								
IF1N	01 E ZZ	CL	VI0205 003	B	81 di 140								

### 6.3.4.3 *DISPOSIZIONE DI CARICO 3 (Q43)*

	<u>IMPALCATO-SX</u>		<u>IMPALCATO-DX</u>	
	Reazioni vincolari B		Reazioni vincolari A	
<u>Serpeggio LM71</u>				
Forza serpeggio =	0,00	kN	0,00	kN
$\alpha =$	1,10		1,10	
<u>Serpeggio SW/2</u>				
Forza serpeggio =	100,00	kN	100,00	kN
$\alpha =$	1,00		1,00	
<u>Forza totale serpeggio</u>				
F2 =	100,00	kN	100,00	kN
h rispetto a intradosso imp. =	3,28	m	3,28	m
<u>Risultanti reazioni vincolari</u>				
F1 =	0		0	
F2 =	-50	kN	-50	kN
F3 =	0		0	
M1 =	164	kNm	164	kNm
M2 =	0		0	
M3 =	0		0	

  	<b>ITINERARIO NAPOLI – BARI</b> <b>RADDOPPIO TRATTA CANCELLO – BENEVENTO</b> <b>I° LOTTO FUNZIONALE CANCELLO - FRASSO TELESINO E</b> <b>VARIANTE ALLA LINEA ROMA-NAPOLI VIA CASSINO NEL</b> <b>COMUNE DI MADDALONI – PROGETTO ESECUTIVO</b>												
<b>Pile 07-08-09-12: Relazione di calcolo</b>	<table border="1"> <tr> <td>COMMESSA</td> <td>LOTTO</td> <td>CODIFICA</td> <td>DOCUMENTO</td> <td>REV.</td> <td>FOGLIO</td> </tr> <tr> <td>IF1N</td> <td>01 E ZZ</td> <td>CL</td> <td>VI0205 003</td> <td>B</td> <td>82 di 140</td> </tr> </table>	COMMESSA	LOTTO	CODIFICA	DOCUMENTO	REV.	FOGLIO	IF1N	01 E ZZ	CL	VI0205 003	B	82 di 140
COMMESSA	LOTTO	CODIFICA	DOCUMENTO	REV.	FOGLIO								
IF1N	01 E ZZ	CL	VI0205 003	B	82 di 140								

#### 6.3.4.4 DISPOSIZIONE DI CARICO 4 (Q44)

	<u>IMPALCATO-SX</u>		<u>IMPALCATO-DX</u>	
	Reazioni vincolari B		Reazioni vincolari A	
<u>Serpeggio LM71</u>				
Forza serpeggio =	100,00	kN	100,00	kN
$\alpha =$	1,10		1,10	
<u>Serpeggio SW/2</u>				
Forza serpeggio =	0,00	kN	0,00	kN
$\alpha =$	1,00		1,00	
<u>Forza totale serpeggio</u>				
F2 =	110,00	kN	110,00	kN
h rispetto a intradosso imp. =	3,28	m	3,28	m
<u>Risultanti reazioni vincolari</u>				
F1 =	0		0	
F2 =	-55	kN	-55	kN
F3 =	0		0	
M1 =	180	kNm	180	kNm
M2 =	0		0	
M3 =	0		0	

  	<b>ITINERARIO NAPOLI – BARI</b> <b>RADDOPPIO TRATTA CANCELLO – BENEVENTO</b> <b>I° LOTTO FUNZIONALE CANCELLO - FRASSO TELESINO E</b> <b>VARIANTE ALLA LINEA ROMA-NAPOLI VIA CASSINO NEL</b> <b>COMUNE DI MADDALONI – PROGETTO ESECUTIVO</b>												
<b>Pile 07-08-09-12: Relazione di calcolo</b>	<table border="1"> <tr> <td>COMMESSA</td> <td>LOTTO</td> <td>CODIFICA</td> <td>DOCUMENTO</td> <td>REV.</td> <td>FOGLIO</td> </tr> <tr> <td>IF1N</td> <td>01 E ZZ</td> <td>CL</td> <td>VI0205 003</td> <td>B</td> <td>83 di 140</td> </tr> </table>	COMMESSA	LOTTO	CODIFICA	DOCUMENTO	REV.	FOGLIO	IF1N	01 E ZZ	CL	VI0205 003	B	83 di 140
COMMESSA	LOTTO	CODIFICA	DOCUMENTO	REV.	FOGLIO								
IF1N	01 E ZZ	CL	VI0205 003	B	83 di 140								

### 6.3.4.5 DISPOSIZIONE DI CARICO 5 (Q45)

	<u>IMPALCATO-SX</u>		<u>IMPALCATO-DX</u>	
	Reazioni vincolari B		Reazioni vincolari A	
<u>Serpeggio LM71</u>				
Forza serpeggio =	100,00	kN	100,00	kN
$\alpha =$	1,10		1,10	
<u>Serpeggio SW/2</u>				
Forza serpeggio =	100,00	kN	100,00	kN
$\alpha =$	1,00		1,00	
<u>Forza totale serpeggio</u>				
F2 =	210,00	kN	210,00	kN
h rispetto a intradosso imp. =	3,28	m	3,28	m
<u>Risultanti reazioni vincolari</u>				
F1 =	0		0	
F2 =	-105	kN	-105	kN
F3 =	0		0	
M1 =	344	kNm	344	kNm
M2 =	0		0	
M3 =	0		0	

  	<b>ITINERARIO NAPOLI – BARI</b> <b>RADDOPPIO TRATTA CANCELLO – BENEVENTO</b> <b>I° LOTTO FUNZIONALE CANCELLO - FRASSO TELESINO E</b> <b>VARIANTE ALLA LINEA ROMA-NAPOLI VIA CASSINO NEL</b> <b>COMUNE DI MADDALONI – PROGETTO ESECUTIVO</b>												
<b>Pile 07-08-09-12: Relazione di calcolo</b>	<table border="1"> <tr> <td>COMMESSA</td> <td>LOTTO</td> <td>CODIFICA</td> <td>DOCUMENTO</td> <td>REV.</td> <td>FOGLIO</td> </tr> <tr> <td>IF1N</td> <td>01 E ZZ</td> <td>CL</td> <td>VI0205 003</td> <td>B</td> <td>84 di 140</td> </tr> </table>	COMMESSA	LOTTO	CODIFICA	DOCUMENTO	REV.	FOGLIO	IF1N	01 E ZZ	CL	VI0205 003	B	84 di 140
COMMESSA	LOTTO	CODIFICA	DOCUMENTO	REV.	FOGLIO								
IF1N	01 E ZZ	CL	VI0205 003	B	84 di 140								

### 6.3.4.6 DISPOSIZIONE DI CARICO 6 (Q46)

	<u>IMPALCATO-SX</u>		<u>IMPALCATO-DX</u>	
	Reazioni vincolari B		Reazioni vincolari A	
<u>Serpeggio LM71</u>				
Forza serpeggio =	100,00	kN	100,00	kN
$\alpha =$	1,10		1,10	
<u>Serpeggio SW/2</u>				
Forza serpeggio =	100,00	kN	100,00	kN
$\alpha =$	1,00		1,00	
<u>Forza totale serpeggio</u>				
F2 =	210,00	kN	210,00	kN
h rispetto a intradosso imp. =	3,28	m	3,28	m
<u>Risultanti reazioni vincolari</u>				
F1 =	0		0	
F2 =	-105	kN	-105	kN
F3 =	0		0	
M1 =	344	kNm	344	kNm
M2 =	0		0	
M3 =	0		0	

  	<b>ITINERARIO NAPOLI – BARI</b> <b>RADDOPPIO TRATTA CANCELLO – BENEVENTO</b> <b>I° LOTTO FUNZIONALE CANCELLO - FRASSO TELESINO E</b> <b>VARIANTE ALLA LINEA ROMA-NAPOLI VIA CASSINO NEL</b> <b>COMUNE DI MADDALONI – PROGETTO ESECUTIVO</b>												
<b>Pile 07-08-09-12: Relazione di calcolo</b>	<table border="1"> <tr> <td>COMMESSA</td> <td>LOTTO</td> <td>CODIFICA</td> <td>DOCUMENTO</td> <td>REV.</td> <td>FOGLIO</td> </tr> <tr> <td>IF1N</td> <td>01 E ZZ</td> <td>CL</td> <td>VI0205 003</td> <td>B</td> <td>85 di 140</td> </tr> </table>	COMMESSA	LOTTO	CODIFICA	DOCUMENTO	REV.	FOGLIO	IF1N	01 E ZZ	CL	VI0205 003	B	85 di 140
COMMESSA	LOTTO	CODIFICA	DOCUMENTO	REV.	FOGLIO								
IF1N	01 E ZZ	CL	VI0205 003	B	85 di 140								

### 6.3.4.7 *DISPOSIZIONE DI CARICO 7 (Q47)*

	<u>IMPALCATO-SX</u>		<u>IMPALCATO-DX</u>	
	Reazioni vincolari B		Reazioni vincolari A	
<u>Serpeggio LM71</u>				
Forza serpeggio =	100,00	kN	100,00	kN
$\alpha =$	1,10		1,10	
<u>Serpeggio SW/2</u>				
Forza serpeggio =	100,00	kN	100,00	kN
$\alpha =$	1,00		1,00	
<u>Forza totale serpeggio</u>				
F2 =	210,00	kN	210,00	kN
h rispetto a intradosso imp. =	3,28	m	3,28	m
<u>Risultanti reazioni vincolari</u>				
F1 =	0		0	
F2 =	0	kN	-210	kN
F3 =	0		0	
M1 =	0	kNm	689	kNm
M2 =	0		0	
M3 =	0		0	

  	<b>ITINERARIO NAPOLI – BARI</b> <b>RADDOPPIO TRATTA CANCELLO – BENEVENTO</b> <b>I° LOTTO FUNZIONALE CANCELLO - FRASSO TELESINO E</b> <b>VARIANTE ALLA LINEA ROMA-NAPOLI VIA CASSINO NEL</b> <b>COMUNE DI MADDALONI – PROGETTO ESECUTIVO</b>												
<b>Pile 07-08-09-12: Relazione di calcolo</b>	<table border="1"> <thead> <tr> <th>COMMESSA</th> <th>LOTTO</th> <th>CODIFICA</th> <th>DOCUMENTO</th> <th>REV.</th> <th>FOGLIO</th> </tr> </thead> <tbody> <tr> <td>IF1N</td> <td>01 E ZZ</td> <td>CL</td> <td>VI0205 003</td> <td>B</td> <td>86 di 140</td> </tr> </tbody> </table>	COMMESSA	LOTTO	CODIFICA	DOCUMENTO	REV.	FOGLIO	IF1N	01 E ZZ	CL	VI0205 003	B	86 di 140
COMMESSA	LOTTO	CODIFICA	DOCUMENTO	REV.	FOGLIO								
IF1N	01 E ZZ	CL	VI0205 003	B	86 di 140								

## 6.4 CARICHI VARIABILI (Q5)

### 6.4.1 AZIONI DEL VENTO (Q51)

L'azione del vento viene ricondotta ad un'azione statica equivalente costituita da pressioni e depressioni agenti normalmente alle superfici.

La pressione del vento è data dalla seguente espressione:

$$p = q_b \cdot C_e \cdot C_p \cdot C_d$$

dove

- $q_b$  pressione cinetica di riferimento
- $C_e$  coefficiente di esposizione
- $C_p$  coefficiente di forma
- $C_d$  coefficiente dinamico, posto generalmente pari a 1

Di seguito si riporta il dettaglio del calcolo di tali fattori per l'opera in oggetto.

  	<b>ITINERARIO NAPOLI – BARI</b> <b>RADDOPPIO TRATTA CANCELLO – BENEVENTO</b> <b>I° LOTTO FUNZIONALE CANCELLO - FRASSO TELESINO E</b> <b>VARIANTE ALLA LINEA ROMA-NAPOLI VIA CASSINO NEL</b> <b>COMUNE DI MADDALONI – PROGETTO ESECUTIVO</b>												
<b>Pile 07-08-09-12: Relazione di calcolo</b>	<table border="1"> <thead> <tr> <th>COMMESSA</th> <th>LOTTO</th> <th>CODIFICA</th> <th>DOCUMENTO</th> <th>REV.</th> <th>FOGLIO</th> </tr> </thead> <tbody> <tr> <td>IF1N</td> <td>01 E ZZ</td> <td>CL</td> <td>VI0205 003</td> <td>B</td> <td>87 di 140</td> </tr> </tbody> </table>	COMMESSA	LOTTO	CODIFICA	DOCUMENTO	REV.	FOGLIO	IF1N	01 E ZZ	CL	VI0205 003	B	87 di 140
COMMESSA	LOTTO	CODIFICA	DOCUMENTO	REV.	FOGLIO								
IF1N	01 E ZZ	CL	VI0205 003	B	87 di 140								

#### 6.4.1.1 *PRESSIONE CINETICA DI RIFERIMENTO*

La pressione cinetica di riferimento si determina mediante l'espressione:

$$q_b = \frac{1}{2} \cdot \rho \cdot v_b^2 \text{ (in N/m}^2\text{)}$$

dove  $v_b$       velocità di riferimento  
 $\rho$             densità dell'aria, convenzionalmente posta pari a 1,25 kg/m<sup>3</sup>

Di seguito si determina la pressione di riferimento sulla base dei parametri caratteristici del sito e il tempo di ritorno dell'opera in oggetto:

##### Parametri dipendenti dal sito

Zona =	3	
$v_{b,0}$ =	27,00	m/s
$a_0$ =	500,00	m
$k_a$ =	0,02	1/s

##### Altitudine del sito

$a_s$ =	80,00	m s.l.m.
$v_b$ =	27,00	m/s

##### Tempo di ritorno

TR =	75	anni
$\alpha_R(TR)$ =	1,02	
$v_b(TR)$ =	27.63	m/s

##### Pressione di riferimento

$q_b$ =	477.25	N/m <sup>2</sup>
---------	--------	------------------

  	<b>ITINERARIO NAPOLI – BARI</b> <b>RADDOPPIO TRATTA CANCELLO – BENEVENTO</b> <b>I° LOTTO FUNZIONALE CANCELLO - FRASSO TELESINO E</b> <b>VARIANTE ALLA LINEA ROMA-NAPOLI VIA CASSINO NEL</b> <b>COMUNE DI MADDALONI – PROGETTO ESECUTIVO</b>												
<b>Pile 07-08-09-12: Relazione di calcolo</b>	<table border="1"> <thead> <tr> <th>COMMESSA</th> <th>LOTTO</th> <th>CODIFICA</th> <th>DOCUMENTO</th> <th>REV.</th> <th>FOGLIO</th> </tr> </thead> <tbody> <tr> <td>IF1N</td> <td>01 E ZZ</td> <td>CL</td> <td>VI0205 003</td> <td>B</td> <td>88 di 140</td> </tr> </tbody> </table>	COMMESSA	LOTTO	CODIFICA	DOCUMENTO	REV.	FOGLIO	IF1N	01 E ZZ	CL	VI0205 003	B	88 di 140
COMMESSA	LOTTO	CODIFICA	DOCUMENTO	REV.	FOGLIO								
IF1N	01 E ZZ	CL	VI0205 003	B	88 di 140								

#### 6.4.1.2 COEFFICIENTE DI ESPOSIZIONE

Il coefficiente di esposizione  $c_e$  dipende dall'altezza  $z$  sul suolo del punto considerato, dalla topografia del terreno e dalla categoria di esposizione del sito e si determina mediante l'espressione:

$$c_e(z) = k_r \cdot c_t \cdot \ln(z/z_0) [7 + c_t \cdot \ln(z/z_0)] \quad \text{per } z \geq z_{\min}$$

$$c_e(z) = c_e(z_{\min}) \quad \text{per } z < z_{\min}$$

dove  $k_r, z_0, z_{\min}$  sono parametri che dipendono dalla categoria di esposizione del sito;

$c_t$  è il coefficiente di topografia, posto generalmente pari a 1

Di seguito si determina il coefficiente di esposizione sulla base della classe d'esposizione e l'altezza  $z$  del punto considerato, posta pari alla massima quota del complesso impalcato, barriere antirumore, sagoma del treno. A tal proposito il §1.4.4.2 [3] impone di considerare il treno come una superficie piana continua convenzionalmente alta 4,00 m sul p.f.. Cautelativamente si considerano presenti barriere H4 ad entrambe le estremità dell'impalcato.

#### Categoria di esposizione

Classe di rugosità = D  
Distanza dalla costa = < 30 km

Categoria di esposizione = II  
 $k_r$  = 0,19  
 $z_0$  = 0,05 m  
 $z_{\min}$  = 4,00 m

#### Quota di riferimento $z$

H pila fino a intradosso imp. = 6.9 m  
H imp. fino a p.f. = 3,28 m  
H b.a. su p.f. = 4,67 m  
H min b.a. su p.f. = 3,35 m  
H treno su p.f. = 4,00 m  
  
 $z$  di riferimento = 15.65 m

#### Coefficiente di esposizione

$c_e$  = 2.65



### 6.4.1.3 COEFFICIENTE DI FORMA DELL'IMPALCATO

Il coefficiente di forma dell'impalcato e l'area di riferimento per il calcolo della forza risultante si determinano in base ai criteri enunciati nel §8.3.1 [9].

A tal proposito si riconduce il coefficiente di forma  $c_p$  al coefficiente di forza  $c_{fx,0}$ . Il coefficiente di forza  $c_{fx,0}$  si determina in base al rapporto tra larghezza  $b$  e altezza totale dell'impalcato  $d_{tot}$ .

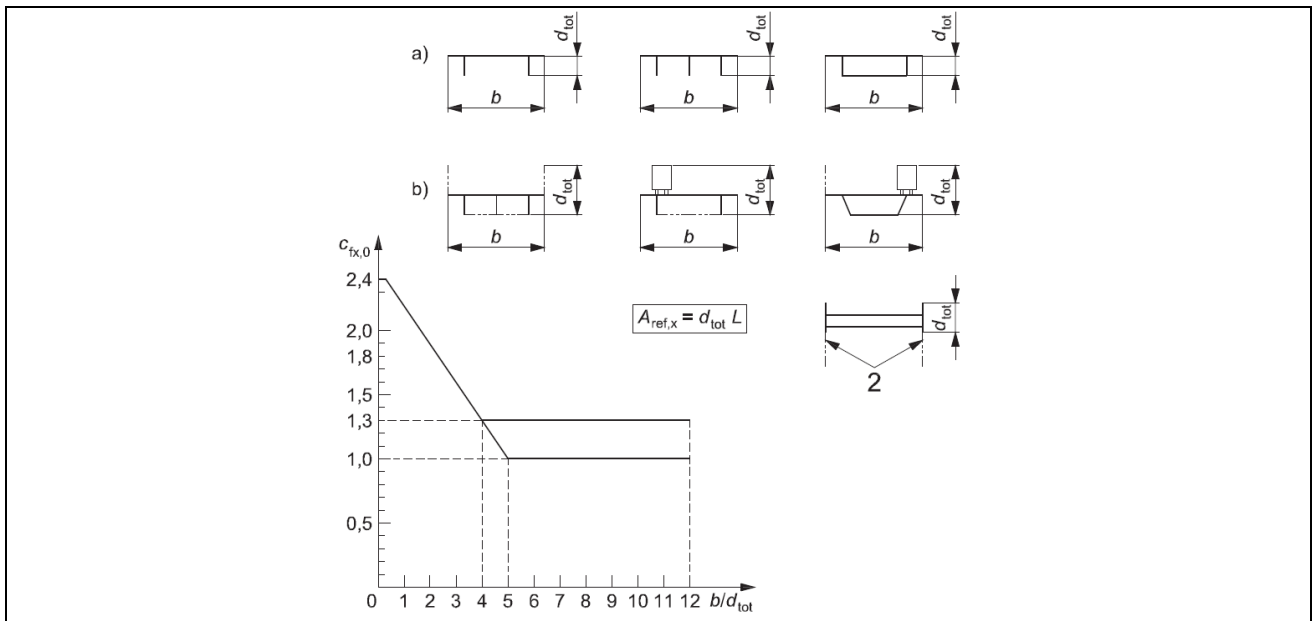


Figura 38 – Correlazione tra il rapporto  $b/d_{tot}$  e coefficiente di forma  $c_{fx,0}$  (figura 8.3 EC1-4)

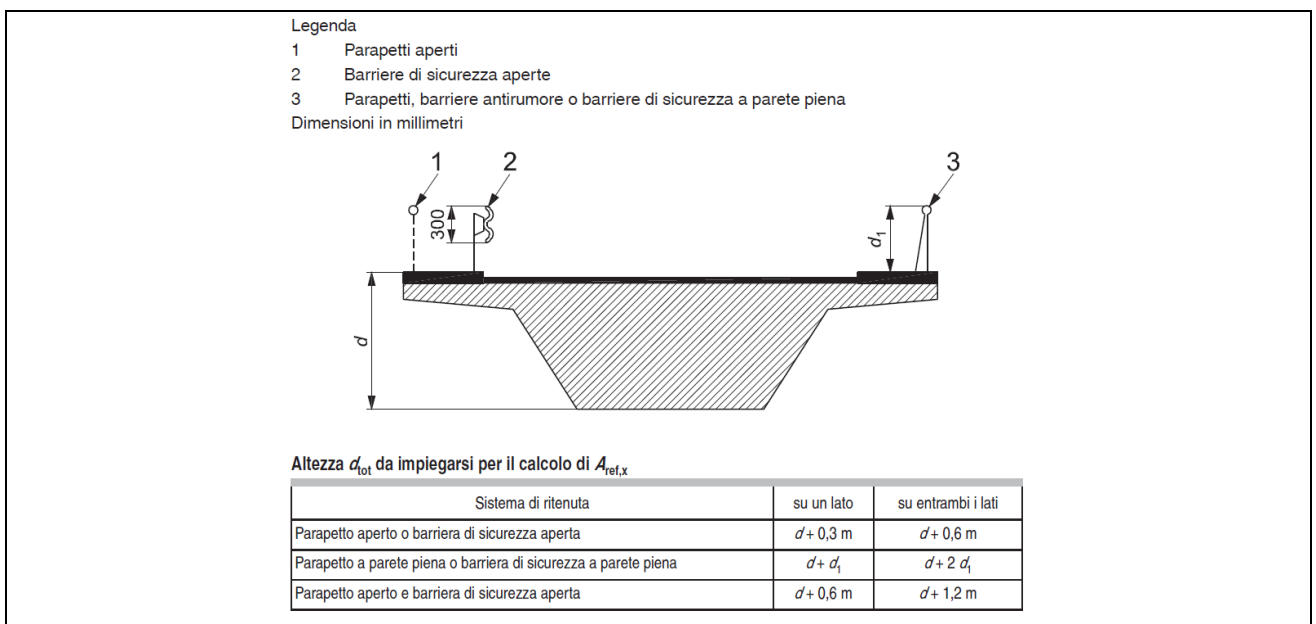


Figura 39 – Criteri per la determinazione dell'area di riferimento (figura 8.5 EC1-4)

  	<b>ITINERARIO NAPOLI – BARI</b> <b>RADDOPPIO TRATTA CANCELLO – BENEVENTO</b> <b>I° LOTTO FUNZIONALE CANCELLO - FRASSO TELESINO E</b> <b>VARIANTE ALLA LINEA ROMA-NAPOLI VIA CASSINO NEL</b> <b>COMUNE DI MADDALONI – PROGETTO ESECUTIVO</b>												
<b>Pile 07-08-09-12: Relazione di calcolo</b>	<table border="1"> <tr> <td>COMMESSA</td> <td>LOTTO</td> <td>CODIFICA</td> <td>DOCUMENTO</td> <td>REV.</td> <td>FOGLIO</td> </tr> <tr> <td>IF1N</td> <td>01 E ZZ</td> <td>CL</td> <td>VI0205 003</td> <td>B</td> <td>90 di 140</td> </tr> </table>	COMMESSA	LOTTO	CODIFICA	DOCUMENTO	REV.	FOGLIO	IF1N	01 E ZZ	CL	VI0205 003	B	90 di 140
COMMESSA	LOTTO	CODIFICA	DOCUMENTO	REV.	FOGLIO								
IF1N	01 E ZZ	CL	VI0205 003	B	90 di 140								

l'area da considerare per il calcolo della risultante di forza si definisce come la somma di tutte le superfici proiettate dall'impalcato nel piano longitudinale, comprese le barriere e la sagoma dei veicoli.

Per il caso in esame si ha:

#### Caratteristiche geometriche dell'impalcato

	<u>IMPALCATO-SX</u>		<u>IMPALCATO-DX</u>	
b =	13,70	m	13,70	m
H b.a. su p.f. =	4,67	m	4,67	m
dtot =	7,95	m	7,95	m
b/dtot =	1,72		1,72	
cp =	1,98		1,98	

#### Coefficiente di forma

cp,max =	1,98
----------	------

#### Area di riferimento

H impalcato da intrad. a p.f. =	3,28	m	3,28	m
H barriera su p.f. sx =	4,67	m	4,67	m
H barriera su p.f. dx =	4,67	m	4,67	m
H b.a. min su p.f. =	3,35	m	3,35	m
H treno su p.f. =	4,00	m	4,00	m
dtot2 =	12,62	m	12,62	m
L impalcato =	25,00	m	25,00	m
Arif =	315,50	m <sup>2</sup>	315,50	m <sup>2</sup>

  	<b>ITINERARIO NAPOLI – BARI</b> <b>RADDOPPIO TRATTA CANCELLO – BENEVENTO</b> <b>I° LOTTO FUNZIONALE CANCELLO - FRASSO TELESINO E</b> <b>VARIANTE ALLA LINEA ROMA-NAPOLI VIA CASSINO NEL</b> <b>COMUNE DI MADDALONI – PROGETTO ESECUTIVO</b>												
<b>Pile 07-08-09-12: Relazione di calcolo</b>	<table border="1"> <tr> <td>COMMESSA</td> <td>LOTTO</td> <td>CODIFICA</td> <td>DOCUMENTO</td> <td>REV.</td> <td>FOGLIO</td> </tr> <tr> <td>IF1N</td> <td>01 E ZZ</td> <td>CL</td> <td>VI0205 003</td> <td>B</td> <td>91 di 140</td> </tr> </table>	COMMESSA	LOTTO	CODIFICA	DOCUMENTO	REV.	FOGLIO	IF1N	01 E ZZ	CL	VI0205 003	B	91 di 140
COMMESSA	LOTTO	CODIFICA	DOCUMENTO	REV.	FOGLIO								
IF1N	01 E ZZ	CL	VI0205 003	B	91 di 140								

#### 6.4.1.4 AZIONE DEL VENTO SULL'IMPALCATO

Di seguito si procede al calcolo dell'azione del vento sull'impalcato in relazione ai parametri determinati nei paragrafi precedenti.

	<u>IMPALCATO-SX</u>		<u>IMPALCATO-DX</u>	
<u>Pressione del vento</u>				
qb =	477.25	N/m <sup>2</sup>	477.25	N/m <sup>2</sup>
ce =	2.65		2.65	
cp =	1,99		1,99	
cd =	1,00		1,00	
qb = qb · ce · cp · cd =	2.43	kN/m <sup>2</sup>	2.43	kN/m <sup>2</sup>
<u>Area di riferimento</u>				
Arif =	315,50	m <sup>2</sup>	315,50	m <sup>2</sup>
H rispetto a intrad. imp. =	5.62	m	5.62	m
<u>Risultante totale forza del vento</u>				
Fvh =	794.52	kN	794.52	kN
Mvt =	4461.22	kNm	4461.22	kNm
<u>Risultanti reazioni vincolari</u>				
F1 =	0		0	
F2 =	-397	kN	-397	kN
F3 =	0		0	
M1 =	2231	kNm	2231	kNm
M2 =	0		0	
M3 =	0		0	

	<b>ITINERARIO NAPOLI – BARI</b> <b>RADDOPPIO TRATTA CANCELLO – BENEVENTO</b> <b>I° LOTTO FUNZIONALE CANCELLO - FRASSO TELESINO E</b> <b>VARIANTE ALLA LINEA ROMA-NAPOLI VIA CASSINO NEL</b> <b>COMUNE DI MADDALONI – PROGETTO ESECUTIVO</b>					
<b>Pile 07-08-09-12: Relazione di calcolo</b>	COMMESSA <b>IF1N</b>	LOTTO <b>01 E ZZ</b>	CODIFICA <b>CL</b>	DOCUMENTO <b>VI0205 003</b>	REV. <b>B</b>	FOGLIO <b>92 di 140</b>

### 6.4.1.5 COEFFICIENTE DI FORMA DELLA PILA

Nel caso di pila con sezione circolare, il coefficiente di forma della pila e l'area di riferimento per il calcolo della risultante si determinano in base alle indicazioni del §7.9.2 [9].

A tal proposito si riconduce il coefficiente di forma  $c_p$  al coefficiente di forza  $c_f$ .

Il coefficiente di esposizione  $c_f$  si determina mediante l'espressione:

$$c_f = c_{f,0} \cdot \psi_\lambda$$

dove  $c_{f,0}$  è il coefficiente di forma in assenza di effetto di estremità;

$\psi_\lambda$  è il fattore di effetto di estremità, posto cautelativamente pari a 1.

Il valore di  $c_{f,0}$  si determina in funzione del numero di Reynolds e della rugosità equivalente mediante l'abaco riportato in Figura 34. Per il caso in questione, a favore di sicurezza, si pone  $c_{f,0}$  pari a 1,2 indipendentemente dai valori del numero di Reynolds e della rugosità equivalente.

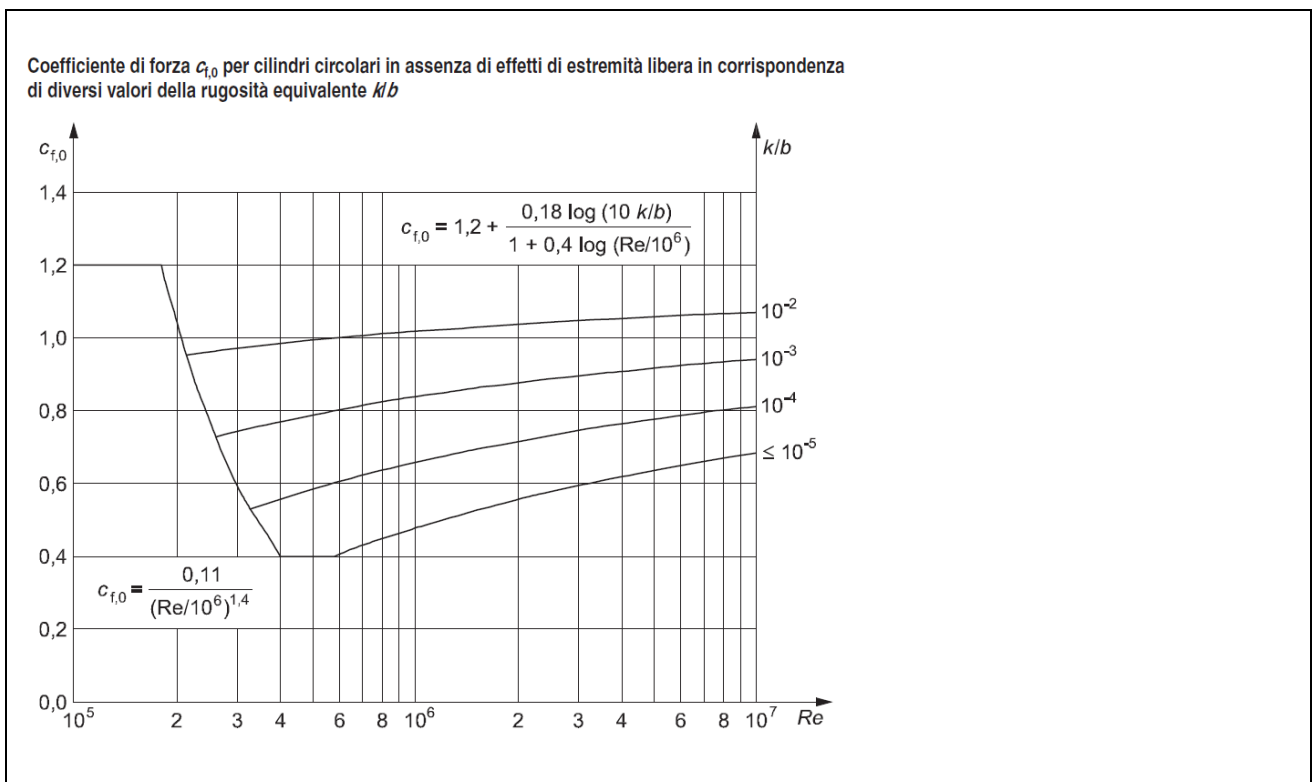


Figura 40 – Correlazione tra numero di Reynolds, la rugosità equivalente e coefficiente di forma  $c_{f,0}$  (figura 7.28 EC1-4)

Nel caso di pila con sezione rettangolare, il coefficiente di forma della pila e l'area di riferimento per il calcolo della risultante si determinano in base alle indicazioni del §7.6 [9]. A tal proposito si riconduce il coefficiente di forma  $c_p$  al coefficiente di forza  $c_f$ .

  	<b>ITINERARIO NAPOLI – BARI</b> <b>RADDOPPIO TRATTA CANCELLO – BENEVENTO</b> <b>I° LOTTO FUNZIONALE CANCELLO - FRASSO TELESINO E</b> <b>VARIANTE ALLA LINEA ROMA-NAPOLI VIA CASSINO NEL</b> <b>COMUNE DI MADDALONI – PROGETTO ESECUTIVO</b>					
	<b>Pile 07-08-09-12: Relazione di calcolo</b>	COMMESSA <b>IF1N</b>	LOTTO <b>01 E ZZ</b>	CODIFICA <b>CL</b>	DOCUMENTO <b>VI0205 003</b>	REV. <b>B</b>

Il coefficiente di esposizione  $c_f$  si determina mediante l'espressione:

$$c_f = c_{f,0} \cdot \psi_r \cdot \psi_\lambda$$

- dove
- $c_{f,0}$  è il coefficiente di forma in assenza di effetto di estremità;
  - $\psi_r$  è il fattore riduttivo per sezioni con spigoli arrotondati;
  - $\psi_\lambda$  è il fattore di effetto di estremità, posto cautelativamente pari a 1.

I valori di  $c_{f,0}$  e  $\psi_r$  si determinano in funzione del rapporto tra le dimensioni in sezione dell'elemento investito, secondo gli abachi riportati nella Figura 35.

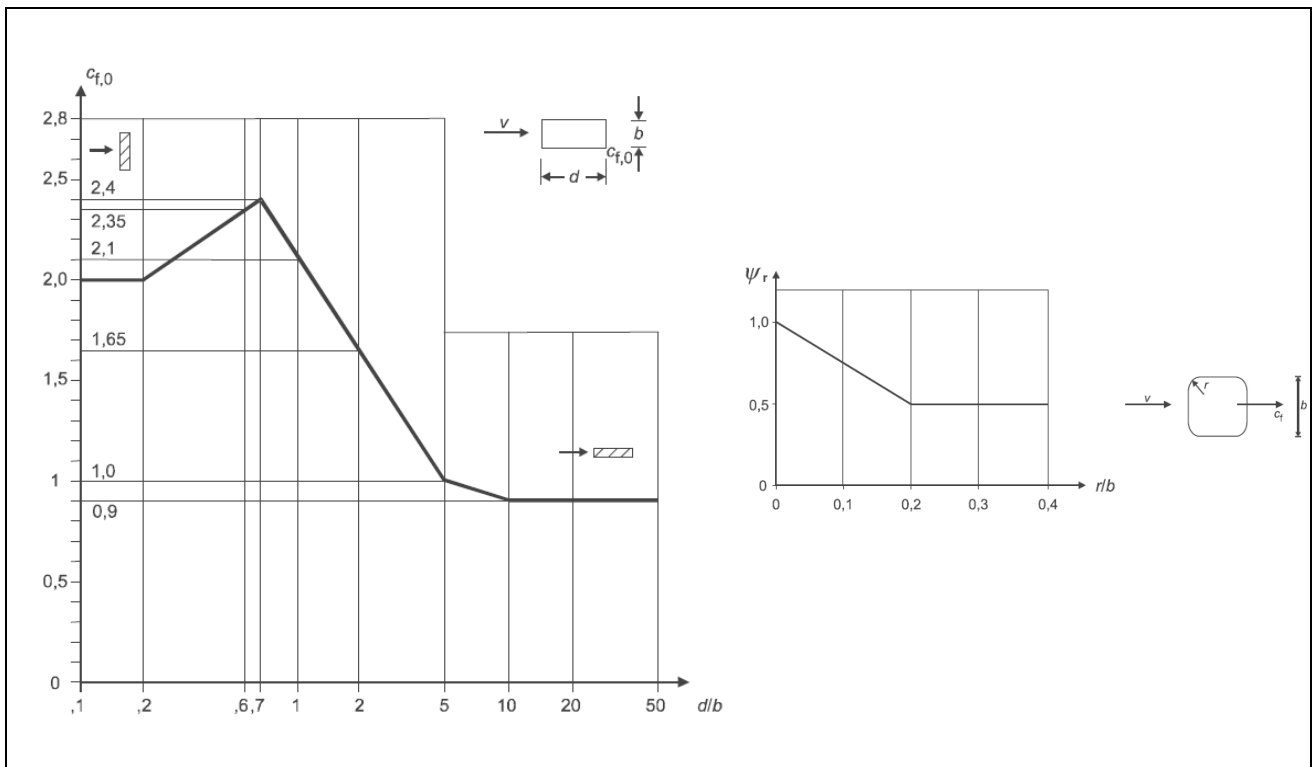


Figura 41 – Correlazione tra dimensioni in sezione dell'elemento e il coefficiente di forma  $c_{f,0}$  (figura 7.23 EC1-4) e correlazione tra il raggio di arrotondamento dello spigolo e il fattore riduttivo  $\psi_r$  (figura 7.24 EC1-4)

  	<b>ITINERARIO NAPOLI – BARI</b> <b>RADDOPPIO TRATTA CANCELLO – BENEVENTO</b> <b>I° LOTTO FUNZIONALE CANCELLO - FRASSO TELESINO E</b> <b>VARIANTE ALLA LINEA ROMA-NAPOLI VIA CASSINO NEL</b> <b>COMUNE DI MADDALONI – PROGETTO ESECUTIVO</b>												
<b>Pile 07-08-09-12: Relazione di calcolo</b>	<table border="1"> <thead> <tr> <th>COMMESSA</th> <th>LOTTO</th> <th>CODIFICA</th> <th>DOCUMENTO</th> <th>REV.</th> <th>FOGLIO</th> </tr> </thead> <tbody> <tr> <td>IF1N</td> <td>01 E ZZ</td> <td>CL</td> <td>VI0205 003</td> <td>B</td> <td>94 di 140</td> </tr> </tbody> </table>	COMMESSA	LOTTO	CODIFICA	DOCUMENTO	REV.	FOGLIO	IF1N	01 E ZZ	CL	VI0205 003	B	94 di 140
COMMESSA	LOTTO	CODIFICA	DOCUMENTO	REV.	FOGLIO								
IF1N	01 E ZZ	CL	VI0205 003	B	94 di 140								

L'area da considerare per il calcolo della risultante di forza si definisce come la superficie proiettata dalla pila nel piano longitudinale. Per il caso in esame si ha:

#### Caratteristiche geometriche della pila

Forma della pila =	Rettangolare cava smussata	
Dimensione proiettata nel piano b =	2.60	m
d =	8.60	m
d/b =	3.31	
cf,0 =	1.29	
r =	1,00	m
r/b =	0.38	
$\psi r$ =	0.50	
$\psi \lambda$ =	1.00	

#### Coefficiente di forma

$c_p = c_f = c_{f,0} \cdot \psi r \cdot \psi \lambda =$	1.00
---	------

#### Azione del vento sulla pila:

##### Pressione del vento

qb =	447.25	N/m <sup>2</sup>
ce =	2.65	
cp =	1.00	
cd =	1.00	
qb = qb · ce · cp · cd =	1.26	kN/m <sup>2</sup>

##### Risultante totale forza del vento

b =	2.60	m
fvh =	3.28	kN/m

L'azione del vento così calcolata viene applicata come una forza uniformemente distribuita sugli elementi che compongono il fusto e il pulvino della pila.

  	<b>ITINERARIO NAPOLI – BARI</b> <b>RADDOPPIO TRATTA CANCELLO – BENEVENTO</b> <b>I° LOTTO FUNZIONALE CANCELLO - FRASSO TELESINO E</b> <b>VARIANTE ALLA LINEA ROMA-NAPOLI VIA CASSINO NEL</b> <b>COMUNE DI MADDALONI – PROGETTO ESECUTIVO</b>												
<b>Pile 07-08-09-12: Relazione di calcolo</b>	<table border="1"> <tr> <td>COMMESSA</td> <td>LOTTO</td> <td>CODIFICA</td> <td>DOCUMENTO</td> <td>REV.</td> <td>FOGLIO</td> </tr> <tr> <td>IF1N</td> <td>01 E ZZ</td> <td>CL</td> <td>VI0205 003</td> <td>B</td> <td>95 di 140</td> </tr> </table>	COMMESSA	LOTTO	CODIFICA	DOCUMENTO	REV.	FOGLIO	IF1N	01 E ZZ	CL	VI0205 003	B	95 di 140
COMMESSA	LOTTO	CODIFICA	DOCUMENTO	REV.	FOGLIO								
IF1N	01 E ZZ	CL	VI0205 003	B	95 di 140								

## 6.5 AZIONI INDIRETTE (Q6)

### 6.5.1 RESISTENZE PARASSITE NEI VINCOLI (Q61)

Per la valutazione delle coazioni generate dallo scorrimento dei vincoli, è stato considerato un coefficiente d'attrito  $f$  pari a 0,06, applicato alle azioni verticali agenti sugli apparecchi d'appoggio.

Con riferimento a quanto riportato nel §1.6.3 [3] la forza agente sulle pile per impalcati a travate isostatiche, facendo riferimento all'apparecchio d'appoggio maggiormente caricato tra i due presenti sulla pila, si considera pari a:

$$F_a = f (0,2 \cdot V_G + V_Q)$$

dove  $V_G$  reazione verticale massima associata ai carichi permanenti

$V_Q$  reazione verticale massima associata ai carichi mobili dinamizzati

#### IMPALCATO-SX

#### IMPALCATO-DX

#### Reazioni verticali massime

$$V_G = F_3 (G_1 + G_2) = \quad 5826,14 \quad \text{kN} \quad \quad 5826,14 \quad \text{kN}$$

$$V_Q = F_3 (Q_{1\max}) = \quad 3558,56 \quad \text{kN} \quad \quad 3558,56 \quad \text{kN}$$

#### Forza d'attrito risultante per il singolo impalcato

$$f = \quad 0,06 \quad \quad 0,06$$

$$F_1 = \quad 283,43 \quad \text{kN} \quad \quad 283,43 \quad \text{kN}$$

#### Risultante azione parassita nei vincoli

$$F_{1\max} = \quad 283,43 \quad \text{kN}$$

#### Risultanti reazioni vincolari

$$F_1 = \quad 0 \quad \text{kN} \quad \quad -283 \quad \text{kN}$$

$$F_2 = \quad 0 \quad \quad 0$$

$$F_3 = \quad 0 \quad \quad 0$$

$$M_1 = \quad 0 \quad \quad 0$$

$$M_2 = \quad 0 \quad \quad 0$$

$$M_3 = \quad 0 \quad \quad 0$$

  	<b>ITINERARIO NAPOLI – BARI</b> <b>RADDOPPIO TRATTA CANCELLO – BENEVENTO</b> <b>I° LOTTO FUNZIONALE CANCELLO - FRASSO TELESINO E</b> <b>VARIANTE ALLA LINEA ROMA-NAPOLI VIA CASSINO NEL</b> <b>COMUNE DI MADDALONI – PROGETTO ESECUTIVO</b>												
<b>Pile 07-08-09-12: Relazione di calcolo</b>	<table border="1"> <tr> <td>COMMESSA</td> <td>LOTTO</td> <td>CODIFICA</td> <td>DOCUMENTO</td> <td>REV.</td> <td>FOGLIO</td> </tr> <tr> <td>IF1N</td> <td>01 E ZZ</td> <td>CL</td> <td>VI0205 003</td> <td>B</td> <td>96 di 140</td> </tr> </table>	COMMESSA	LOTTO	CODIFICA	DOCUMENTO	REV.	FOGLIO	IF1N	01 E ZZ	CL	VI0205 003	B	96 di 140
COMMESSA	LOTTO	CODIFICA	DOCUMENTO	REV.	FOGLIO								
IF1N	01 E ZZ	CL	VI0205 003	B	96 di 140								

## 6.6 EFFETTI D'INTERAZIONE (Q7)

Ove non applicabile il metodo semplificato per la valutazione delle azioni dovute agli effetti di interazione binario-struttura secondo quanto previsto nell'Allegato 3 delle specifiche RFI [3] si rimanda allo specifico elaborato:

IF0F.01.D.09.CL.VI0000.001 – *Viadotti ferroviari – Relazione di interazione treno-binario-struttura.*

### 6.6.1 VARIAZIONI TERMICHE DELL'IMPALCATO (Q71)

La presente azione si considera applicata in corrispondenza del piano ferro.

Di seguito si considera come prima pila la pila accostata alla spalla munita di appoggi fissi, si considera pertanto come ultima pila la pila accostata alla spalla munita di appoggi scorrevoli.

Dal §3.1 dell'Allegato 3 delle Specifiche RFI [3] si desume:

$$F_{ts} = \beta \cdot \alpha_{ts1} \cdot \alpha_{ts2} \cdot \alpha_{ts3} \cdot L \cdot q \cdot n$$

dove	$\alpha_{ts1}$	0,70 nel caso di $\Delta t = 30 \text{ }^{\circ}\text{C}$ (valore massimo)
	$\alpha_{ts2}$	1,00 (rigidezza massima della spalla)
	$\alpha_{ts3}$	0,80 nel caso di viadotto con un numero di campate $\geq 3$
	L	luce della campata
	q	resistenza allo scorrimento longitudinale del binario scarico, posto generalmente pari a 20,00 kN/m
	n	numero di binari
	$\beta$	0,40 nel caso dell'ultima pila
	$\beta$	0,20 nel caso della penultima e della prima pila
	$\beta$	0,00 nel caso delle pile intermedie
		Cautelativamente si pone $\beta$ pari al suo valore massimo, ossia 0,4.

#### IMPALCATO-SX

#### IMPALCATO-DX

#### Reazione per variazioni termiche dell'impalcato

$\Delta T =$	30.00	$^{\circ}\text{C}$	30.00	$^{\circ}\text{C}$
L impalcato =	25.00	kN	25.00	kN
q =	20.00	kN/m	20.00	kN/m
n binari =	2.00		2.00	
$\alpha_{tp1} =$	0.70		0.70	
$\alpha_{tp2} =$	1.00		1.00	
$\alpha_{tp3} =$	1.00		1.00	
$F_{t,spalla} =$	700.00	kN	700.00	kN
$F_{t,pila} =$	280.00	kN	280.00	kN



  	<b>ITINERARIO NAPOLI – BARI</b> <b>RADDOPPIO TRATTA CANCELLO – BENEVENTO</b> <b>I° LOTTO FUNZIONALE CANCELLO - FRASSO TELESINO E</b> <b>VARIANTE ALLA LINEA ROMA-NAPOLI VIA CASSINO NEL</b> <b>COMUNE DI MADDALONI – PROGETTO ESECUTIVO</b>												
<b>Pile 07-08-09-12: Relazione di calcolo</b>	<table border="1"> <thead> <tr> <th>COMMESSA</th> <th>LOTTO</th> <th>CODIFICA</th> <th>DOCUMENTO</th> <th>REV.</th> <th>FOGLIO</th> </tr> </thead> <tbody> <tr> <td>IF1N</td> <td>01 E ZZ</td> <td>CL</td> <td>VI0205 003</td> <td>B</td> <td>97 di 140</td> </tr> </tbody> </table>	COMMESSA	LOTTO	CODIFICA	DOCUMENTO	REV.	FOGLIO	IF1N	01 E ZZ	CL	VI0205 003	B	97 di 140
COMMESSA	LOTTO	CODIFICA	DOCUMENTO	REV.	FOGLIO								
IF1N	01 E ZZ	CL	VI0205 003	B	97 di 140								

Tipo di vincolo = UL F  
Moltiplicatore = 0.00 1.00

#### Forza risultante

F1 = 0.00 kN 280.00 kN

#### Risultanti reazioni vincolari

F1 = 0 kN -280 kN  
F2 = 0  
F3 = 0  
M1 = 0  
M2 = 0  
M3 = 0

### 6.6.2 AZIONI DI FRENATURA E AVVIAMENTO

Gli effetti di interazione relativi alle azioni di frenatura e avviamento si tengono conto applicando ai valori della risultante un coefficiente  $\alpha_n$  che tiene conto del rapporto di rigidità tra le pile del viadotto.

Cautelativamente si prendono in considerazione le condizioni più sfavorevoli, ossia:

- per le azioni di frenatura del modello di carico LM71 :  $\alpha_{hp} = \alpha_{hp3} = 1,60$
- per le azioni di frenatura del modello di carico SW/2 :  $\alpha_{hp} = \alpha_{hp3} = 1,30$
- per le azioni di avviamento di entrambi i modelli di carico :  $\alpha_{hp} = \alpha_{hp3} \cdot \alpha_{hp4} = 1,60 \cdot 0,70 = 1,12$

### 6.6.3 INFLESSIONE DELL'IMPALCATO DOVUTA AI CARICHI VERTICALI DA TRAFFICO

Le azioni longitudinali da inflessione impalcato esercitano delle spinte che si contrappongono alle flessioni generate dall'eccentricità dei carichi verticali. Per questo motivo a vantaggio di sicurezza tali azioni vengono trascurate nei calcoli successivi.

  	<b>ITINERARIO NAPOLI – BARI</b> <b>RADDOPPIO TRATTA CANCELLO – BENEVENTO</b> <b>I° LOTTO FUNZIONALE CANCELLO - FRASSO TELESINO E</b> <b>VARIANTE ALLA LINEA ROMA-NAPOLI VIA CASSINO NEL</b> <b>COMUNE DI MADDALONI – PROGETTO ESECUTIVO</b>												
<b>Pile 07-08-09-12: Relazione di calcolo</b>	<table border="1"> <tr> <td>COMMESSA</td> <td>LOTTO</td> <td>CODIFICA</td> <td>DOCUMENTO</td> <td>REV.</td> <td>FOGLIO</td> </tr> <tr> <td>IF1N</td> <td>01 E ZZ</td> <td>CL</td> <td>VI0205 003</td> <td>B</td> <td>98 di 140</td> </tr> </table>	COMMESSA	LOTTO	CODIFICA	DOCUMENTO	REV.	FOGLIO	IF1N	01 E ZZ	CL	VI0205 003	B	98 di 140
COMMESSA	LOTTO	CODIFICA	DOCUMENTO	REV.	FOGLIO								
IF1N	01 E ZZ	CL	VI0205 003	B	98 di 140								

## 6.7 AZIONI SISMICHE (E)

L'azione sismica di progetto è rappresentata da spettri di risposta definiti in base alla pericolosità sismica di base del sito ove sorge l'opera in oggetto, la vita di riferimento e le caratteristiche del sottosuolo.

Di seguito si riportano i parametri di input utilizzati per la definizione degli spettri di progetto orizzontali e verticali e i grafici degli stessi. Gli spettri di progetto così definiti vengono utilizzati nel modello di calcolo per la definizione di casi di analisi di tipo "dinamica lineare con spettro di risposta".

I valori del fattore di struttura  $q$ , adottati per la definizione delle azioni sismiche e per il dimensionamento degli elementi secondo i criteri della gerarchia delle resistenze, sono stati definiti in base ai criteri di seguito esplicitati.

Il valore del fattore di struttura  $q$  assunto per il dimensionamento delle fondazioni è pari a 1,5, in accordo con quanto indicato nel §1.8.3.3 [3] per le fondazioni su pali.

Per le strutture in elevazione, in accordo con quanto indicato nel §7.9.2.1 [1] per pile verticali inflesse in c.a. e progettazione in CD"B", si assume un fattore di struttura  $q_0$  pari a 1,5 (vedi Tabella 1).

Per elementi duttili in c.a. i valori di  $q_0$  riportati in Tabella 1, valgono se la sollecitazione di compressione normalizzata  $v_k$  non eccede il valore 0,3. Per valori di  $v_k$  compresi tra 0,3 e 0,6 ( $v_k$  non può eccedere 0,6)  $q_0$  si ottiene dalla relazione seguente:

$$q_0(v_k) = q_0 - (v_k/0,3 - 1) \cdot (q_0 - 1)$$

Infine il fattore di struttura  $q$  da adottare nelle analisi si ottiene moltiplicando il  $q_0$  così ottenuto per il coefficiente riduttivo  $K_R$  che dipende dalle caratteristiche di regolarità della struttura.

In generale il requisito di regolarità e quindi il valore di  $K_R$  si determinano a posteriori secondo il procedimento indicato nel §7.9.2.1 [1]. Per il caso in esame si ipotizza un  $K_R$  pari a 1.

$$q_0(v_k) = q_0 = 1,5$$

$$q = q_0(v_k) \cdot K_R = 1,5.$$

Tipi di elementi duttili	$q_0$	
	CD"B"	CD"A"
<b>Pile in cemento armato</b>		
Pile verticali inflesse	1,5	3,5 $\lambda$
Elementi di sostegno inclinati inflessi	1,2	2,1 $\lambda$
<b>Pile in acciaio:</b>		
Pile verticali inflesse	1,5	3,5
Elementi di sostegno inclinati inflessi	1,2	2,0
Pile con controventi concentrici	1,5	2,5
Pile con controventi eccentrici	-	3,5
<b>Spalle rigidamente connesse con l'impalcato</b>		
In generale	1,5	1,5
Strutture che si muovono col terreno <sup>7</sup>	1,0	1,0
<b>Archi</b>	1,2	2,0

<sup>7</sup> Le strutture che si muovono con il terreno non subiscono amplificazione dell'accelerazione del suolo. Esse sono caratterizzate da periodi naturali di vibrazione in direzione orizzontale molto bassi ( $T \leq 0,03$  s). Appartengono a questa categoria le spalle connesse, mediante collegamenti flessibili, all'impalcato.

Tabella 1 – Valori del fattore struttura  $q_0$  per differenti tipologie di pile e spalle - tabella 7.9.1 [1]

  	<b>ITINERARIO NAPOLI – BARI</b> <b>RADDOPPIO TRATTA CANCELLO – BENEVENTO</b> <b>I° LOTTO FUNZIONALE CANCELLO - FRASSO TELESINO E</b> <b>VARIANTE ALLA LINEA ROMA-NAPOLI VIA CASSINO NEL</b> <b>COMUNE DI MADDALONI – PROGETTO ESECUTIVO</b>												
<b>Pile 07-08-09-12: Relazione di calcolo</b>	<table border="1"> <tr> <td>COMMESSA</td> <td>LOTTO</td> <td>CODIFICA</td> <td>DOCUMENTO</td> <td>REV.</td> <td>FOGLIO</td> </tr> <tr> <td>IF1N</td> <td>01 E ZZ</td> <td>CL</td> <td>VI0205 003</td> <td>B</td> <td>99 di 140</td> </tr> </table>	COMMESSA	LOTTO	CODIFICA	DOCUMENTO	REV.	FOGLIO	IF1N	01 E ZZ	CL	VI0205 003	B	99 di 140
COMMESSA	LOTTO	CODIFICA	DOCUMENTO	REV.	FOGLIO								
IF1N	01 E ZZ	CL	VI0205 003	B	99 di 140								

### 6.7.1 SPETTRI DI PROGETTO ALLO SLV

Coordinate geografiche della pila:

PILA	Latitudine	Longitudine
	[°]	[°]
<b>P07</b>	41.02234	14.40070
<b>P08</b>	41.02248	14.40048
<b>P09</b>	41.02262	14.40025
<b>P12</b>	41.02304	14.39957

Strategia di progettazione

Vita nominale $V_N$ =	<b>75</b>	anni
Coefficiente d'uso $c_u$ =	<b>1.5</b>	
Vita di riferimento $V_R$ =	<b>112.5</b>	anni
Categoria di sottosuolo =	<b>B</b>	
Categoria topografica =	<b>T1</b>	

Per la definizione della categoria di suolo si rimanda all'elaborato progettuale "IF1N.0.1.E.ZZ.RB.GE.00.0.5.001.A - Relazione geotecnica generale di linea delle opere all'aperto".

$q_0$ =	1,50
$K_r$ =	1,00

Il valore di  $v_k$  è pari a :

0.05

Fattore di struttura $q$ =	1,50	
Smorzamento $\xi$ =	5,00	%

  	<b>ITINERARIO NAPOLI – BARI</b> <b>RADDOPPIO TRATTA CANCELLO – BENEVENTO</b> <b>I° LOTTO FUNZIONALE CANCELLO - FRASSO TELESINO E</b> <b>VARIANTE ALLA LINEA ROMA-NAPOLI VIA CASSINO NEL</b> <b>COMUNE DI MADDALONI – PROGETTO ESECUTIVO</b>												
<b>Pile 07-08-09-12: Relazione di calcolo</b>	<table border="1"> <thead> <tr> <th>COMMESSA</th> <th>LOTTO</th> <th>CODIFICA</th> <th>DOCUMENTO</th> <th>REV.</th> <th>FOGLIO</th> </tr> </thead> <tbody> <tr> <td>IF1N</td> <td>01 E ZZ</td> <td>CL</td> <td>VI0205 003</td> <td>B</td> <td>100 di 140</td> </tr> </tbody> </table>	COMMESSA	LOTTO	CODIFICA	DOCUMENTO	REV.	FOGLIO	IF1N	01 E ZZ	CL	VI0205 003	B	100 di 140
COMMESSA	LOTTO	CODIFICA	DOCUMENTO	REV.	FOGLIO								
IF1N	01 E ZZ	CL	VI0205 003	B	100 di 140								

### 6.7.1.1 PARAMETRI PER LA DEFINIZIONE DELLO SPETTRO ORIZZONTALE

Tr	1068	anni
ag_o	0.199	g
Fo	2.479	
S	1.200	
TB	0.175	sec
TC	0.524	sec
TD	2.395	sec

### 6.7.1.2 PARAMETRI PER LA DEFINIZIONE DELLO SPETTRO VERTICALE

Tr	1068	anni
ag_v	0.120	g
Fv	2.479	
S	1.000	
TB	0.050	sec
TC	0.150	sec
TD	1.000	sec

  	<b>ITINERARIO NAPOLI – BARI</b> <b>RADDOPPIO TRATTA CANCELLO – BENEVENTO</b> <b>1° LOTTO FUNZIONALE CANCELLO - FRASSO TELESINO E</b> <b>VARIANTE ALLA LINEA ROMA-NAPOLI VIA CASSINO NEL</b> <b>COMUNE DI MADDALONI – PROGETTO ESECUTIVO</b>												
<b>Pile 07-08-09-12: Relazione di calcolo</b>	<table border="1"> <thead> <tr> <th>COMMESSA</th> <th>LOTTO</th> <th>CODIFICA</th> <th>DOCUMENTO</th> <th>REV.</th> <th>FOGLIO</th> </tr> </thead> <tbody> <tr> <td>IF1N</td> <td>01 E ZZ</td> <td>CL</td> <td>VI0205 003</td> <td>B</td> <td>101 di 140</td> </tr> </tbody> </table>	COMMESSA	LOTTO	CODIFICA	DOCUMENTO	REV.	FOGLIO	IF1N	01 E ZZ	CL	VI0205 003	B	101 di 140
COMMESSA	LOTTO	CODIFICA	DOCUMENTO	REV.	FOGLIO								
IF1N	01 E ZZ	CL	VI0205 003	B	101 di 140								

**Spettri di risposta (componenti orizz. e vert.) per lo stato limite: SLV**

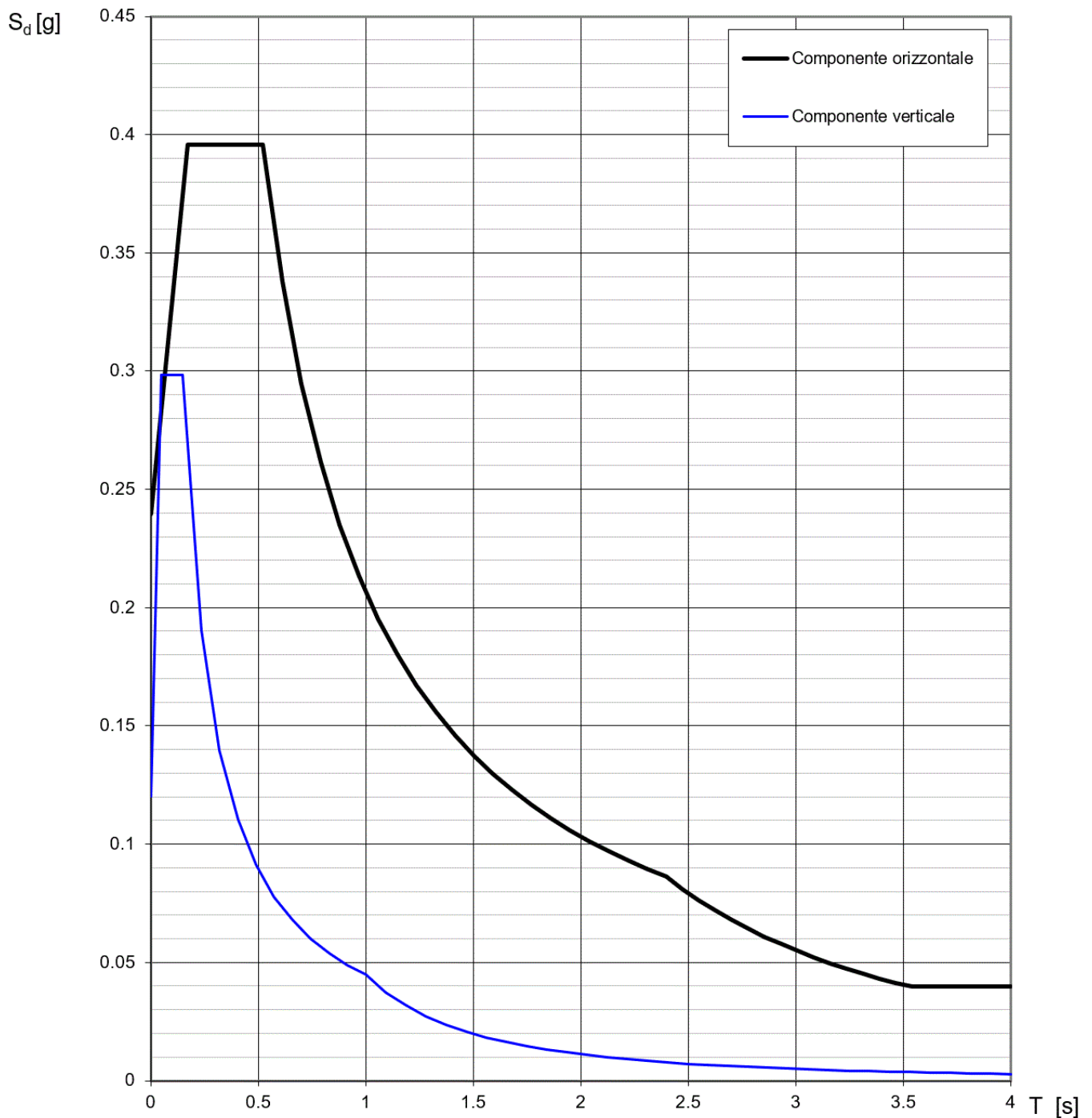


Figura 42 – Spettro elastico di progetto allo SLV – Componente orizzontale e verticale

  	<b>ITINERARIO NAPOLI – BARI</b> <b>RADDOPPIO TRATTA CANCELLO – BENEVENTO</b> <b>I° LOTTO FUNZIONALE CANCELLO - FRASSO TELESINO E</b> <b>VARIANTE ALLA LINEA ROMA-NAPOLI VIA CASSINO NEL</b> <b>COMUNE DI MADDALONI – PROGETTO ESECUTIVO</b>												
<b>Pile 07-08-09-12: Relazione di calcolo</b>	<table border="1"> <tr> <td>COMMESSA</td> <td>LOTTO</td> <td>CODIFICA</td> <td>DOCUMENTO</td> <td>REV.</td> <td>FOGLIO</td> </tr> <tr> <td>IF1N</td> <td>01 E ZZ</td> <td>CL</td> <td>VI0205 003</td> <td>B</td> <td>102 di 140</td> </tr> </table>	COMMESSA	LOTTO	CODIFICA	DOCUMENTO	REV.	FOGLIO	IF1N	01 E ZZ	CL	VI0205 003	B	102 di 140
COMMESSA	LOTTO	CODIFICA	DOCUMENTO	REV.	FOGLIO								
IF1N	01 E ZZ	CL	VI0205 003	B	102 di 140								

## 7 COMBINAZIONI DI CARICO

Di seguito vengono riportate le tabelle che riepilogano le condizioni di carico elementari (C.C.E.) considerate.

	<b>C.C.E.</b>	<b>Descrizione</b>
G - Permanenti	G1	Pesi propri
	G21	Ballast
	G22	Permanenti non strutturali
Q1 - Variabili verticali	Q11	Disposizione 1 (massimizza N)
	Q12	Disposizione 2 (massimizza M2)
	Q13	Disposizione 3 (massimizza M1)
	Q14	Disposizione 4 (massimizza M1)
	Q15	Disposizione 5 (massimizza N+M2)
	Q16	Disposizione 6 (massimizza N)
	Q17	Disposizione 7 (minimizza N)
Q2 - Avviamento e frenatura	Q21	Disposizione 1 (massimizza N)
	Q22	Disposizione 2 (massimizza M2)
	Q23	Disposizione 3 (massimizza M1)
	Q24	Disposizione 4 (massimizza M1)
	Q25	Disposizione 5 (massimizza N+M2)
	Q26	Disposizione 6 (massimizza N)
	Q27	Disposizione 7 (minimizza N)
Q3 - Centrifuga	Q31	Disposizione 1 (massimizza N)
	Q32	Disposizione 2 (massimizza M2)
	Q33	Disposizione 3 (massimizza M1)
	Q34	Disposizione 4 (massimizza M1)
	Q35	Disposizione 5 (massimizza N+M2)
	Q36	Disposizione 6 (massimizza N)
	Q37	Disposizione 7 (minimizza N)
Q4 - Serpeggio	Q41	Disposizione 1 (massimizza N)
	Q42	Disposizione 2 (massimizza M2)
	Q43	Disposizione 3 (massimizza M1)
	Q44	Disposizione 4 (massimizza M1)
	Q45	Disposizione 5 (massimizza N+M2)
	Q46	Disposizione 6 (massimizza N)
	Q47	Disposizione 7 (minimizza N)
Variabili	Q51	Vento
Azioni interne	Q61	Attrito su vincoli
Effetti d'interazione	Q71	Variazioni termiche
E - Azioni sismiche	E1	Sisma x
	E2	Sisma y
	E3	Sisma z

  	<b>ITINERARIO NAPOLI – BARI</b> <b>RADDOPPIO TRATTA CANCELLO – BENEVENTO</b> <b>I° LOTTO FUNZIONALE CANCELLO - FRASSO TELESINO E</b> <b>VARIANTE ALLA LINEA ROMA-NAPOLI VIA CASSINO NEL</b> <b>COMUNE DI MADDALONI – PROGETTO ESECUTIVO</b>					
	<b>Pile 07-08-09-12: Relazione di calcolo</b>	COMMESSA IF1N	LOTTO 01 E ZZ	CODIFICA CL	DOCUMENTO VI0205 003	REV. B

Le combinazioni di calcolo sono state definite sulla base dei criteri enunciati nei §1.8.2.3 [3], §1.8.3.1 [3] e §1.8.3.2 [3] di cui si riportano di seguito alcuni stralci.

TIPO DI CARICO	Azioni verticali		Azioni orizzontali			Commenti
	Carico verticale (1)	Treno scarico	Frenatura e avviamento	Centrifuga	Serpeggio	
Gruppo 1 (2)	1,00	-	0,5 (0,0)	1,0 (0,0)	1,0 (0,0)	massima azione verticale e laterale
Gruppo 2 (2)	-	1,00	0,00	1,0 (0,0)	1,0(0,0)	stabilità laterale
Gruppo 3 (2)	1,0 (0,5)	-	1,00	0,5 (0,0)	0,5 (0,0)	massima azione longitudinale
Gruppo 4	0,8 (0,6; 0,4)	-	0,8 (0,6; 0,4)	0,8 (0,6; 0,4)	0,8 (0,6; 0,4)	fessurazione

Azione dominante  
 (1) Includendo tutti i fattori ad essi relativi ( $\Phi, \alpha$ , ecc...)  
 (2) La simultaneità di due o tre valori caratteristici interi (assunzione di diversi coefficienti pari ad 1), sebbene improbabile, è stata considerata come semplificazione per i gruppi di carico 1, 2, 3 senza che ciò abbia significative conseguenze progettuali.

Tabella 2 – Definizione dei gruppi di carico

		Coefficiente	EQU <sup>(1)</sup>	A1 STR	A2 GEO	Combinazione eccezionale	Combinazione Sismica
Carichi permanenti	favorevoli	$\gamma_{G1}$	0,90	1,00	1,00	1,00	1,00
	sfavorevoli		1,10	1,35	1,00	1,00	1,00
Carichi permanenti non strutturali <sup>(2)</sup>	favorevoli	$\gamma_{G2}$	0,00	0,00	0,00	1,00	1,00
	sfavorevoli		1,50	1,50	1,30	1,00	1,00
Ballast <sup>(3)</sup>	favorevoli	$\gamma_B$	0,90	1,00	1,00	1,00	1,00
	sfavorevoli		1,50	1,50	1,30	1,00	1,00
Carichi variabili da traffico <sup>(4)</sup>	favorevoli	$\gamma_Q$	0,00	0,00	0,00	0,00	0,00
	sfavorevoli		1,45	1,45	1,25	0,20 <sup>(5)</sup>	0,20 <sup>(5)</sup>
Carichi variabili	favorevoli	$\gamma_{Qi}$	0,00	0,00	0,00	0,00	0,00
	sfavorevoli		1,50	1,50	1,30	1,00	0,00
Precompressione	favorevole	$\gamma_P$	0,90	1,00	1,00	1,00	1,00
	sfavorevole		1,00 <sup>(6)</sup>	1,00 <sup>(7)</sup>	1,00	1,00	1,00

(1) Equilibrio che non coinvolga i parametri di deformabilità e resistenza del terreno; altrimenti si applicano i valori di GEO.  
 (2) Nel caso in cui i carichi permanenti non strutturali (ad es. carichi permanenti portati) siano compiutamente definiti si potranno adottare gli stessi coefficienti validi per le azioni permanenti.  
 (3) Quando si prevedano variazioni significative del carico dovuto al ballast, se ne dovrà tener conto esplicitamente nelle verifiche.  
 (4) Le componenti delle azioni da traffico sono introdotte in combinazione considerando uno dei gruppi di carico gr della Tab. 5.2.IV.  
 (5) Aliquota di carico da traffico da considerare.  
 (6) 1,30 per instabilità in strutture con precompressione esterna  
 (7) 1,20 per effetti locali

Tabella 3 – Coefficienti parziali di sicurezza per le combinazioni agli SLU

  	<b>ITINERARIO NAPOLI – BARI</b> <b>RADDOPPIO TRATTA CANCELLO – BENEVENTO</b> <b>I° LOTTO FUNZIONALE CANCELLO - FRASSO TELESINO E</b> <b>VARIANTE ALLA LINEA ROMA-NAPOLI VIA CASSINO NEL</b> <b>COMUNE DI MADDALONI – PROGETTO ESECUTIVO</b>												
<b>Pile 07-08-09-12: Relazione di calcolo</b>	<table border="1"> <tr> <td>COMMESSA</td> <td>LOTTO</td> <td>CODIFICA</td> <td>DOCUMENTO</td> <td>REV.</td> <td>FOGLIO</td> </tr> <tr> <td>IF1N</td> <td>01 E ZZ</td> <td>CL</td> <td>VI0205 003</td> <td>B</td> <td>104 di 140</td> </tr> </table>	COMMESSA	LOTTO	CODIFICA	DOCUMENTO	REV.	FOGLIO	IF1N	01 E ZZ	CL	VI0205 003	B	104 di 140
COMMESSA	LOTTO	CODIFICA	DOCUMENTO	REV.	FOGLIO								
IF1N	01 E ZZ	CL	VI0205 003	B	104 di 140								

Azioni		$\Psi_0$	$\Psi_1$	$\Psi_2$
Azioni singole da traffico	Carico sul rilevato a tergo delle spalle	0,80	0,50	0,0
	Azioni aerodinamiche generate dal transito dei convogli	0,80	0,50	0,0
Gruppi di carico	$\sigma_1$	0,80 <sup>(2)</sup>	0,80 <sup>(1)</sup>	0,0
	$\sigma_2$	0,80 <sup>(2)</sup>	0,80 <sup>(1)</sup>	-
	$\sigma_3$	0,80 <sup>(2)</sup>	0,80 <sup>(1)</sup>	0,0
	$\sigma_4$	1,00	1,00 <sup>(1)</sup>	0,0
Azioni del vento	$F_{Wk}$	0,60	0,50	0,0
Azioni da neve	in fase di esecuzione	0,80	0,0	0,0
	SLU e SLE	0,0	0,0	0,0
Azioni termiche	$T_k$	0,60	0,60	0,50

(1) 0,80 se è carico solo un binario, 0,60 se sono carichi due binari e 0,40 se sono carichi tre o più binari.

(2) Quando come azione di base venga assunta quella del vento, i coefficienti  $\Psi_0$  relativi ai gruppi di carico delle azioni da traffico vanno assunti pari a 0,0.

	Azioni	$\Psi_0$	$\Psi_1$	$\Psi_2$
Azioni singole da traffico	Treno di carico LM 71	0,80 <sup>(3)</sup>	(1)	0,0
	Treno di carico SW /0	0,80 <sup>(3)</sup>	0,80	0,0
	Treno di carico SW/2	0,0 <sup>(3)</sup>	0,80	0,0
	Treno scarico	1,00 <sup>(3)</sup>	-	-
	Centrifuga	(2) (3)	(2)	(2)
	Azione laterale (serpeggio)	1,00 <sup>(3)</sup>	0,80	0,0

(1) 0,80 se è carico solo un binario, 0,60 se sono carichi due binari e 0,40 se sono carichi tre o più binari.

(2) Si usano gli stessi coefficienti  $\Psi$  adottati per i carichi che provocano dette azioni.

(3) Quando come azione di base venga assunta quella del vento, i coefficienti  $\Psi_0$  relativi ai gruppi di carico delle azioni da traffico vanno assunti pari a 0,0.

Tabella 4 – Coefficienti di combinazione  $\psi$  delle azioni

Le combinazioni di carico (C.C.C.) definite e considerate nei calcoli successivi sono riportate nell'allegato 1 alla presente relazione.



  	<b>ITINERARIO NAPOLI – BARI</b> <b>RADDOPPIO TRATTA CANCELLO – BENEVENTO</b> <b>I° LOTTO FUNZIONALE CANCELLO - FRASSO TELESINO E</b> <b>VARIANTE ALLA LINEA ROMA-NAPOLI VIA CASSINO NEL</b> <b>COMUNE DI MADDALONI – PROGETTO ESECUTIVO</b>												
<b>Pile 07-08-09-12: Relazione di calcolo</b>	<table border="1"> <tr> <td>COMMESSA</td> <td>LOTTO</td> <td>CODIFICA</td> <td>DOCUMENTO</td> <td>REV.</td> <td>FOGLIO</td> </tr> <tr> <td>IF1N</td> <td>01 E ZZ</td> <td>CL</td> <td>VI0205 003</td> <td>B</td> <td>105 di 140</td> </tr> </table>	COMMESSA	LOTTO	CODIFICA	DOCUMENTO	REV.	FOGLIO	IF1N	01 E ZZ	CL	VI0205 003	B	105 di 140
COMMESSA	LOTTO	CODIFICA	DOCUMENTO	REV.	FOGLIO								
IF1N	01 E ZZ	CL	VI0205 003	B	105 di 140								

Si riporta un quadro sintetico delle combinazioni prese in considerazione:

<b>Gruppo</b>	<b>Num.</b>
SLU-STR	70 combinazioni
SLU-GEO (appr. A2)	70 combinazioni
SIS-SLV	202 combinazioni
SLE-RAR/FRE	105 combinazioni
SLE-QP	2 combinazioni

  	<b>ITINERARIO NAPOLI – BARI</b> <b>RADDOPPIO TRATTA CANCELLO – BENEVENTO</b> <b>I° LOTTO FUNZIONALE CANCELLO - FRASSO TELESINO E</b> <b>VARIANTE ALLA LINEA ROMA-NAPOLI VIA CASSINO NEL</b> <b>COMUNE DI MADDALONI – PROGETTO ESECUTIVO</b>												
<b>Pile 07-08-09-12: Relazione di calcolo</b>	<table border="1"> <thead> <tr> <th>COMMESSA</th> <th>LOTTO</th> <th>CODIFICA</th> <th>DOCUMENTO</th> <th>REV.</th> <th>FOGLIO</th> </tr> </thead> <tbody> <tr> <td>IF1N</td> <td>01 E ZZ</td> <td>CL</td> <td>VI0205 003</td> <td>B</td> <td>106 di 140</td> </tr> </tbody> </table>	COMMESSA	LOTTO	CODIFICA	DOCUMENTO	REV.	FOGLIO	IF1N	01 E ZZ	CL	VI0205 003	B	106 di 140
COMMESSA	LOTTO	CODIFICA	DOCUMENTO	REV.	FOGLIO								
IF1N	01 E ZZ	CL	VI0205 003	B	106 di 140								

## 8 ANALISI DELLE SOLLECITAZIONI

### 8.1 MODELLO DI CALCOLO E.F.

Il calcolo delle sollecitazioni lungo il fusto viene effettuato mediante una schematizzazione a mensola. Per gli scarichi in fondazione e la ripartizione degli sforzi sui pali si è ipotizzata una platea infinitamente rigida.

### 8.2 MASSE E FORZE SISMICHE

Secondo le indicazioni del §7.9.4.1 delle NTC2008 [1], nel caso di ponte a travate semplicemente appoggiate, i requisiti necessari per applicare l'analisi statica lineare possono ritenersi soddisfatti nel seguente caso:

- per entrambe le direzioni longitudinale e trasversale, purché la massa efficace di ciascuna pila non sia superiore ad 1/5 della massa di impalcato da essa portata (per pile a sezione costante, la massa efficace può essere assunta pari alla massa della metà superiore della pila).

Nel presente caso tale requisito risulta soddisfatto.

Per la determinazione delle sollecitazioni sui diversi elementi costituenti la pila si procede dunque con un'analisi statica lineare con spettro di risposta su oscillatore semplice.

Nel caso in esame si ha che:

- in direzione X la massa sismica è rappresentata dalle masse afferenti all'impalcato vincolato alla pila mediante gli apparecchi d'appoggio fissi e si considera agente alla quota degli apparecchi d'appoggio;
- in direzione Y la massa sismica è rappresentata della metà della massa afferente a ciascun impalcato e si considerano agenti alla quota baricentrica degli impalcati stessi;
- in direzione Z la massa sismica è rappresentata della metà della massa di ciascun impalcato ciascuna delle quali agisce nel centro geometrico degli apparecchi d'appoggio degli impalcati stessi.

  	<b>ITINERARIO NAPOLI – BARI</b> <b>RADDOPPIO TRATTA CANCELLO – BENEVENTO</b> <b>I° LOTTO FUNZIONALE CANCELLO - FRASSO TELESINO E</b> <b>VARIANTE ALLA LINEA ROMA-NAPOLI VIA CASSINO NEL</b> <b>COMUNE DI MADDALONI – PROGETTO ESECUTIVO</b>												
<b>Pile 07-08-09-12: Relazione di calcolo</b>	<table border="1"> <thead> <tr> <th>COMMESSA</th> <th>LOTTO</th> <th>CODIFICA</th> <th>DOCUMENTO</th> <th>REV.</th> <th>FOGLIO</th> </tr> </thead> <tbody> <tr> <td>IF1N</td> <td>01 E ZZ</td> <td>CL</td> <td>VI0205 003</td> <td>B</td> <td>107 di 140</td> </tr> </tbody> </table>	COMMESSA	LOTTO	CODIFICA	DOCUMENTO	REV.	FOGLIO	IF1N	01 E ZZ	CL	VI0205 003	B	107 di 140
COMMESSA	LOTTO	CODIFICA	DOCUMENTO	REV.	FOGLIO								
IF1N	01 E ZZ	CL	VI0205 003	B	107 di 140								

IMPALCATO-SX

IMPALCATO-DX

**Masse sismiche afferenti agli impalcati**

Massa impalcato =	11652	kN	11652	kN
Carico max traffico LM71 =	2807	kN	2807	kN
Carico max traffico SW/2 =	3750	kN	3750	kN
Carico max traffico LM71+SW/2 =	6557	kN	6557	kN
Massa traffico (psi=0.2) =	1311	kN	1311	kN
Massa impalcato (perm+treni) =	12963	kN	12963	kN
tipologia vincolo =	UL		F	
Massa imp. longitudinale =	0	kN	12963	kN
Massa imp. trasversale =	6482	kN	6482	kN
Massa imp. totale longitudinale =	<b>12963</b>	kN		
Massa imp. totale trasversale =	<b>12963</b>	kN		

**Masse sismiche afferenti alla pila**

Massa pulvino =	1226	kN
Massa fusto =	1303	kN
Massa efficace pila (M*) =	1689	kN

Requisito analisi statica lineare

Massa efficace pila (M*) =	1689	kN
1/5 M impalcato (min[trasv;long]) =	2593	kN

M\* < 1/5 Mimp. Il requisito per l'analisi statica lineare è soddisfatto.

**Massa totale**

M tot longitudinale =	<b>14652</b>	kN
M tot trasversale =	<b>14652</b>	kN
M tot verticale =	<b>14652</b>	kN

  	<b>ITINERARIO NAPOLI – BARI</b> <b>RADDOPPIO TRATTA CANCELLO – BENEVENTO</b> <b>I° LOTTO FUNZIONALE CANCELLO - FRASSO TELESINO E</b> <b>VARIANTE ALLA LINEA ROMA-NAPOLI VIA CASSINO NEL</b> <b>COMUNE DI MADDALONI – PROGETTO ESECUTIVO</b>												
<b>Pile 07-08-09-12: Relazione di calcolo</b>	<table border="1"> <thead> <tr> <th>COMMESSA</th> <th>LOTTO</th> <th>CODIFICA</th> <th>DOCUMENTO</th> <th>REV.</th> <th>FOGLIO</th> </tr> </thead> <tbody> <tr> <td>IF1N</td> <td>01 E ZZ</td> <td>CL</td> <td>VI0205 003</td> <td>B</td> <td>108 di 140</td> </tr> </tbody> </table>	COMMESSA	LOTTO	CODIFICA	DOCUMENTO	REV.	FOGLIO	IF1N	01 E ZZ	CL	VI0205 003	B	108 di 140
COMMESSA	LOTTO	CODIFICA	DOCUMENTO	REV.	FOGLIO								
IF1N	01 E ZZ	CL	VI0205 003	B	108 di 140								

### Analisi statica lineare

Ac	10.425	m <sup>2</sup>
H1	5.00	m
H2	1.45	m
H3	0.45	m
Hpila	6.90	m
yg_imp	2.08	m

Ecm	33643	N*/mm <sup>2</sup>
	33643000	kN/m <sup>2</sup>

### **Dir. longitudinale**

llong	9.4	m <sup>4</sup>
Wlong	14652	kN/m
Mlong	1494	ton
Lvlong	6.9	m
Klong	2.9E+06	kN/m
<b>Tlong</b>	<b>0.143</b>	<b>sec</b>
Sdlong	0.366	g

### **Dir. trasversale**

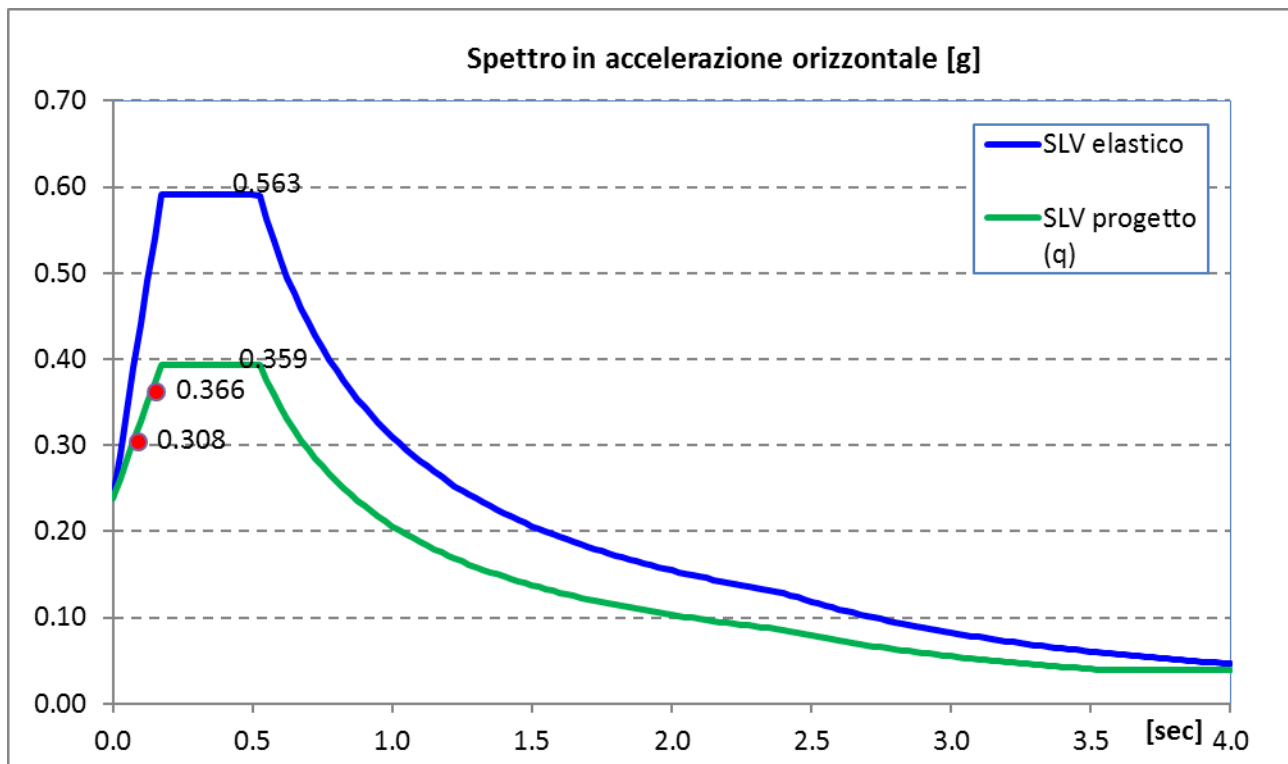
ltrasv	69.8	mm <sup>4</sup>
Wtrasv	14652	ton
Mtrasv	1494	ton
Lvtrasv	9.0	m
Ktrasv	9.7E+06	kN/m
<b>Ttrasv</b>	<b>0.078</b>	<b>sec</b>
Sdtrasv	0.308	g

**Flong**                    **5359** kN

**Ftrasv**                    **4509** kN

  	<b>ITINERARIO NAPOLI – BARI</b> <b>RADDOPPIO TRATTA CANCELLO – BENEVENTO</b> <b>I° LOTTO FUNZIONALE CANCELLO - FRASSO TELESINO E</b> <b>VARIANTE ALLA LINEA ROMA-NAPOLI VIA CASSINO NEL</b> <b>COMUNE DI MADDALONI – PROGETTO ESECUTIVO</b>												
<b>Pile 07-08-09-12: Relazione di calcolo</b>	<table border="1"> <thead> <tr> <th>COMMESSA</th> <th>LOTTO</th> <th>CODIFICA</th> <th>DOCUMENTO</th> <th>REV.</th> <th>FOGLIO</th> </tr> </thead> <tbody> <tr> <td>IF1N</td> <td>01 E ZZ</td> <td>CL</td> <td>VI0205 003</td> <td>B</td> <td>109 di 140</td> </tr> </tbody> </table>	COMMESSA	LOTTO	CODIFICA	DOCUMENTO	REV.	FOGLIO	IF1N	01 E ZZ	CL	VI0205 003	B	109 di 140
COMMESSA	LOTTO	CODIFICA	DOCUMENTO	REV.	FOGLIO								
IF1N	01 E ZZ	CL	VI0205 003	B	109 di 140								

Nel seguente diagramma sono evidenziate le coordinate spettrali SLV corrispondenti ai valori dei periodi  $T_{long}$  [sec] e  $T_{trasv}$  [sec] calcolati in precedenza.



  	<b>ITINERARIO NAPOLI – BARI</b> <b>RADDOPPIO TRATTA CANCELLO – BENEVENTO</b> <b>I° LOTTO FUNZIONALE CANCELLO - FRASSO TELESINO E</b> <b>VARIANTE ALLA LINEA ROMA-NAPOLI VIA CASSINO NEL</b> <b>COMUNE DI MADDALONI – PROGETTO ESECUTIVO</b>												
<b>Pile 07-08-09-12: Relazione di calcolo</b>	<table border="1"> <tr> <td>COMMESSA</td> <td>LOTTO</td> <td>CODIFICA</td> <td>DOCUMENTO</td> <td>REV.</td> <td>FOGLIO</td> </tr> <tr> <td>IF1N</td> <td>01 E ZZ</td> <td>CL</td> <td>VI0205 003</td> <td>B</td> <td>110 di 140</td> </tr> </table>	COMMESSA	LOTTO	CODIFICA	DOCUMENTO	REV.	FOGLIO	IF1N	01 E ZZ	CL	VI0205 003	B	110 di 140
COMMESSA	LOTTO	CODIFICA	DOCUMENTO	REV.	FOGLIO								
IF1N	01 E ZZ	CL	VI0205 003	B	110 di 140								

Il §7.9.3 [1] raccomanda di assumere un'eccentricità accidentale nel posizionamento delle masse sismiche riferite all'impalcato, pari a 0,03 volte la dimensione dell'impalcato stesso misurata perpendicolarmente alla direzione dell'azione sismica.

Per la pila in oggetto si avrebbe:

§7.9.3 [1] - Eccentricità accidentale nel posizionamento delle masse sismiche

	<u>IMP. SX</u>		<u>IMP. DX</u>	
b =	13.7	m	13.7	m
L =	25.0	m	25.0	m
Sisma long (X): $e_y = 0,03 \cdot b =$	<b>0.411</b>	m	<b>0.411</b>	m
Sisma trasv (Y): $e_x = 0,03 \cdot L =$	<b>0.75</b>	m	<b>0.75</b>	m

  	<b>ITINERARIO NAPOLI – BARI</b> <b>RADDOPPIO TRATTA CANCELLO – BENEVENTO</b> <b>I° LOTTO FUNZIONALE CANCELLO - FRASSO TELESINO E</b> <b>VARIANTE ALLA LINEA ROMA-NAPOLI VIA CASSINO NEL</b> <b>COMUNE DI MADDALONI – PROGETTO ESECUTIVO</b>												
<b>Pile 07-08-09-12: Relazione di calcolo</b>	<table style="width: 100%; border-collapse: collapse;"> <tr> <td style="text-align: center;">COMMESSA</td> <td style="text-align: center;">LOTTO</td> <td style="text-align: center;">CODIFICA</td> <td style="text-align: center;">DOCUMENTO</td> <td style="text-align: center;">REV.</td> <td style="text-align: center;">FOGLIO</td> </tr> <tr> <td style="text-align: center;">IF1N</td> <td style="text-align: center;">01 E ZZ</td> <td style="text-align: center;">CL</td> <td style="text-align: center;">VI0205 003</td> <td style="text-align: center;">B</td> <td style="text-align: center;">111 di 140</td> </tr> </table>	COMMESSA	LOTTO	CODIFICA	DOCUMENTO	REV.	FOGLIO	IF1N	01 E ZZ	CL	VI0205 003	B	111 di 140
COMMESSA	LOTTO	CODIFICA	DOCUMENTO	REV.	FOGLIO								
IF1N	01 E ZZ	CL	VI0205 003	B	111 di 140								

## 8.3 CARICHI ELEMENTARI

### 8.3.1 RIEPILOGO DEGLI SCARICHI DALL'IMPALCATO

#### 8.3.1.1 SCARICHI IMPALCATO SX RISPETTO A BARICENTRO APPOGGI:

IMPALCATO 4 CASSONCINI DA 25 m							
SCARICHI IMPALCATO SX RISPETTO A BARICENTRO APPOGGI							
C.C.E.	Descrizione	F1	F2	F3	M1	M2	M3
		kN	kN	kN	kNm	kNm	kNm
<b>G - Permanenti</b>							
G1	Pesi propri	0	0	-3303	0	0	0
G2	Ballast	0	0	-1750	0	0	0
G2	Permanenti non strutturali	0	0	-774	0	0	0
<b>Q1 - Variabili verticali</b>							
Q11	Disposizione 1 (massimizza N)	0	0	-2816	-282	0	0
Q12	Disposizione 2 (massimizza M2)	0	0	0	0	0	0
Q13	Disposizione 3 (massimizza M1)	0	0	-1451	-2903	0	0
Q14	Disposizione 4 (massimizza M1)	0	0	-1365	-2839	0	0
Q15	Disposizione 5 (massimizza N+M2)	0	0	-1965	-271	0	0
Q16	Disposizione 6 (massimizza N)	0	0	-2730	-109	0	0
Q17	Disposizione 7 (minimizza N)	0	0	0	0	0	0
<b>Q2 - Avviamento e frenatura</b>							
Q21	Disposizione 1 (massimizza N)	0	0	0	0	0	0
Q22	Disposizione 2 (massimizza M2)	0	0	0	0	0	0
Q23	Disposizione 3 (massimizza M1)	0	0	0	0	0	0
Q24	Disposizione 4 (massimizza M1)	0	0	0	0	0	0
Q25	Disposizione 5 (massimizza N+M2)	0	0	0	0	0	0
Q26	Disposizione 6 (massimizza N)	0	0	0	0	0	0
Q27	Disposizione 7 (minimizza N)	0	0	0	0	0	0
<b>Q3 - Centrifuga</b>							
Q31	Disposizione 1 (massimizza N)	0	235	0	-1193	0	0
Q32	Disposizione 2 (massimizza M2)	0	0	0	0	0	0
Q33	Disposizione 3 (massimizza M1)	0	76	0	-387	0	0
Q34	Disposizione 4 (massimizza M1)	0	159	0	-806	0	0
Q35	Disposizione 5 (massimizza N+M2)	0	169	0	-857	0	0
Q36	Disposizione 6 (massimizza N)	0	230	0	-1170	0	0
Q37	Disposizione 7 (minimizza N)	0	0	0	0	0	0
<b>Q4 - Serpeggio</b>							
Q41	Disposizione 1 (massimizza N)	0	105	0	-344	0	0
Q42	Disposizione 2 (massimizza M2)	0	0	0	0	0	0

  	<b>ITINERARIO NAPOLI – BARI</b> <b>RADDOPPIO TRATTA CANCELLO – BENEVENTO</b> <b>I° LOTTO FUNZIONALE CANCELLO - FRASSO TELESINO E</b> <b>VARIANTE ALLA LINEA ROMA-NAPOLI VIA CASSINO NEL</b> <b>COMUNE DI MADDALONI – PROGETTO ESECUTIVO</b>												
<b>Pile 07-08-09-12: Relazione di calcolo</b>	<table border="1"> <tr> <td>COMMESSA</td> <td>LOTTO</td> <td>CODIFICA</td> <td>DOCUMENTO</td> <td>REV.</td> <td>FOGLIO</td> </tr> <tr> <td>IF1N</td> <td>01 E ZZ</td> <td>CL</td> <td>VI0205 003</td> <td>B</td> <td>112 di 140</td> </tr> </table>	COMMESSA	LOTTO	CODIFICA	DOCUMENTO	REV.	FOGLIO	IF1N	01 E ZZ	CL	VI0205 003	B	112 di 140
COMMESSA	LOTTO	CODIFICA	DOCUMENTO	REV.	FOGLIO								
IF1N	01 E ZZ	CL	VI0205 003	B	112 di 140								

Q43	Disposizione 3 (massimizza M1)	0	50	0	-164	0	0
Q44	Disposizione 4 (massimizza M1)	0	55	0	-180	0	0
Q45	Disposizione 5 (massimizza N+M2)	0	105	0	-344	0	0
Q46	Disposizione 6 (massimizza N)	0	105	0	-344	0	0
Q47	Disposizione 7 (minimizza N)	0	0	0	0	0	0
Q5 - Variabili							
Q51	Vento	0	419	0	-2351	0	0
Q6 - Azioni indirette							
Q61	Attrito su vincoli	0	0	0	0	0	0
Q7 - Effetti d'interazione							
Q71	Variazioni termiche	0	0	0	0	0	0
E - Azioni sismiche							
E1	Sisma x	0	0	0	0	0	0
E2	Sisma y	0	2255	0	-4690	0	1691
E3	Sisma z	0	0	-1921	-789	1440	0



  	<b>ITINERARIO NAPOLI – BARI</b> <b>RADDOPPIO TRATTA CANCELLO – BENEVENTO</b> <b>I° LOTTO FUNZIONALE CANCELLO - FRASSO TELESINO E</b> <b>VARIANTE ALLA LINEA ROMA-NAPOLI VIA CASSINO NEL</b> <b>COMUNE DI MADDALONI – PROGETTO ESECUTIVO</b>												
<b>Pile 07-08-09-12: Relazione di calcolo</b>	<table border="0" style="width: 100%;"> <tr> <td>COMMESSA</td> <td>LOTTO</td> <td>CODIFICA</td> <td>DOCUMENTO</td> <td>REV.</td> <td>FOGLIO</td> </tr> <tr> <td>IF1N</td> <td>01 E ZZ</td> <td>CL</td> <td>VI0205 003</td> <td>B</td> <td>113 di 140</td> </tr> </table>	COMMESSA	LOTTO	CODIFICA	DOCUMENTO	REV.	FOGLIO	IF1N	01 E ZZ	CL	VI0205 003	B	113 di 140
COMMESSA	LOTTO	CODIFICA	DOCUMENTO	REV.	FOGLIO								
IF1N	01 E ZZ	CL	VI0205 003	B	113 di 140								

### 8.3.1.2 SCARICHI IMPALCATO DX RISPETTO A BARICENTRO APPOGGI:

IMPALCATO 4 CASSONCINI DA 25 m							
SCARICHI IMPALCATO DX RISPETTO A BARICENTRO APPOGGI							
C.C.E.	Descrizione	F1	F2	F3	M1	M2	M3
		kN	kN	kN	kNm	kNm	kNm
<b>G - Permanenti</b>							
G1	Pesi propri	0	0	-3303	0	0	0
G2	Ballast	0	0	-1750	0	0	0
G2	Permanenti non strutturali	0	0	-774	0	0	0
<b>Q1 - Variabili verticali</b>							
Q11	Disposizione 1 (massimizza N)	0	0	-2876	-402	0	0
Q12	Disposizione 2 (massimizza M2)	0	0	-3559	-518	0	0
Q13	Disposizione 3 (massimizza M1)	0	0	-1511	-3022	0	0
Q14	Disposizione 4 (massimizza M1)	0	0	-1365	-2839	0	0
Q15	Disposizione 5 (massimizza N+M2)	0	0	-3559	-518	0	0
Q16	Disposizione 6 (massimizza N)	0	0	-2730	-109	0	0
Q17	Disposizione 7 (minimizza N)	0	0	-2977	-1634	0	0
<b>Q2 - Avviamento e frenatura</b>							
Q21	Disposizione 1 (massimizza N)	1835	0	0	0	0	0
Q22	Disposizione 2 (massimizza M2)	2154	0	0	0	0	0
Q23	Disposizione 3 (massimizza M1)	819	0	0	0	0	0
Q24	Disposizione 4 (massimizza M1)	1016	0	0	0	0	0
Q25	Disposizione 5 (massimizza N+M2)	2154	0	0	0	0	0
Q26	Disposizione 6 (massimizza N)	1995	0	0	0	0	0
Q27	Disposizione 7 (minimizza N)	2154	0	0	0	0	0
<b>Q3 - Centrifuga</b>							
Q31	Disposizione 1 (massimizza N)	0	238	0	-1209	0	0
Q32	Disposizione 2 (massimizza M2)	0	294	0	-1494	0	0
Q33	Disposizione 3 (massimizza M1)	0	79	0	-403	0	0
Q34	Disposizione 4 (massimizza M1)	0	159	0	-806	0	0
Q35	Disposizione 5 (massimizza N+M2)	0	294	0	-1494	0	0
Q36	Disposizione 6 (massimizza N)	0	230	0	-1170	0	0
Q37	Disposizione 7 (minimizza N)	0	226	0	-1151	0	0
<b>Q4 - Serpeggio</b>							
Q41	Disposizione 1 (massimizza N)	0	105	0	-344	0	0
Q42	Disposizione 2 (massimizza M2)	0	210	0	-689	0	0
Q43	Disposizione 3 (massimizza M1)	0	50	0	-164	0	0
Q44	Disposizione 4 (massimizza M1)	0	55	0	-180	0	0
Q45	Disposizione 5 (massimizza N+M2)	0	105	0	-344	0	0
Q46	Disposizione 6 (massimizza N)	0	105	0	-344	0	0

  	<b>ITINERARIO NAPOLI – BARI</b> <b>RADDOPPIO TRATTA CANCELLO – BENEVENTO</b> <b>I° LOTTO FUNZIONALE CANCELLO - FRASSO TELESINO E</b> <b>VARIANTE ALLA LINEA ROMA-NAPOLI VIA CASSINO NEL</b> <b>COMUNE DI MADDALONI – PROGETTO ESECUTIVO</b>												
<b>Pile 07-08-09-12: Relazione di calcolo</b>	<table border="1"> <tr> <td>COMMESSA</td> <td>LOTTO</td> <td>CODIFICA</td> <td>DOCUMENTO</td> <td>REV.</td> <td>FOGLIO</td> </tr> <tr> <td>IF1N</td> <td>01 E ZZ</td> <td>CL</td> <td>VI0205 003</td> <td>B</td> <td>114 di 140</td> </tr> </table>	COMMESSA	LOTTO	CODIFICA	DOCUMENTO	REV.	FOGLIO	IF1N	01 E ZZ	CL	VI0205 003	B	114 di 140
COMMESSA	LOTTO	CODIFICA	DOCUMENTO	REV.	FOGLIO								
IF1N	01 E ZZ	CL	VI0205 003	B	114 di 140								

Q47	Disposizione 7 (minimizza N)	0	210	0	-689	0	0
Q5 - Variabili							
Q51	Vento	0	419	0	-2351	0	0
Q6 - Azioni indirette							
Q61	Attrito su vincoli	283	0	0	0	0	0
Q7 - Effetti d'interazione							
Q71	Variazioni termiche	280	0	0	0	0	0
E - Azioni sismiche							
E1	Sisma x	5359	0	0	0	0	2202
E2	Sisma y	0	2255	0	-4690	0	1691
E3	Sisma z	0	0	-1921	-789	1440	0

  	<b>ITINERARIO NAPOLI – BARI</b> <b>RADDOPPIO TRATTA CANCELLO – BENEVENTO</b> <b>I° LOTTO FUNZIONALE CANCELLO - FRASSO TELESINO E</b> <b>VARIANTE ALLA LINEA ROMA-NAPOLI VIA CASSINO NEL</b> <b>COMUNE DI MADDALONI – PROGETTO ESECUTIVO</b>												
<b>Pile 07-08-09-12: Relazione di calcolo</b>	<table border="1"> <thead> <tr> <th>COMMESSA</th> <th>LOTTO</th> <th>CODIFICA</th> <th>DOCUMENTO</th> <th>REV.</th> <th>FOGLIO</th> </tr> </thead> <tbody> <tr> <td>IF1N</td> <td>01 E ZZ</td> <td>CL</td> <td>VI0205 003</td> <td>B</td> <td>115 di 140</td> </tr> </tbody> </table>	COMMESSA	LOTTO	CODIFICA	DOCUMENTO	REV.	FOGLIO	IF1N	01 E ZZ	CL	VI0205 003	B	115 di 140
COMMESSA	LOTTO	CODIFICA	DOCUMENTO	REV.	FOGLIO								
IF1N	01 E ZZ	CL	VI0205 003	B	115 di 140								

## 8.4 SOLLECITAZIONI DI CALCOLO

### 8.4.1 SOLLECITAZIONI ALLA BASE DEL FUSTO PILA

Le sollecitazioni di calcolo riferite alla sezione di base del fusto della pila avente maggiore altezza tra quelle prese in considerazione nella presente relazione, sono riportate in forma completa nel secondo allegato alla presente relazione.

Le sollecitazioni di calcolo ottenute in condizione sismica per le strutture in elevazione devono essere ulteriormente elaborate per tener conto delle indicazioni del §7.9 [1] e dei principi della gerarchia delle resistenze.

#### 8.4.1.1 SOLLECITAZIONI FLETTENTI IN ZONA CRITICA

Secondo le indicazioni del §7.9.4 [1] nelle zone critiche, gli effetti delle non linearità geometriche possono essere tenute in conto mediante l'espressione semplificata:

$$\Delta M = d_{Ed} \cdot N_{Ed}$$

con  $d_{Ed}$  valutato secondo il §7.3.3.3, ossia pari a  $\mu_d \cdot d_{Ee}$  dove:

$d_{Ee}$  è lo spostamento derivante dall'analisi lineare

$$\mu_d = q \quad \text{per } T_1 \geq T_C$$

$$\mu_d = 1 + (q - 1) \cdot T_C / T_1 \quad \text{per } T_1 < T_C \quad \text{in ogni caso } \mu_d \leq 5 \cdot q - 4$$

Per il caso in esame si ha:

$d_{Ee\_long}$	1.9	mm	$d_{Ee\_trasv}$	0.5	mm
$\mu_{d\_long}$	2.83		$\mu_{d\_trasv}$	3.50	
$d_{Ed\_long}$	<b>5.3</b>	mm	$d_{Ed\_trasv}$	<b>1.6</b>	mm

#### 8.4.1.2 SOLLECITAZIONI FLETTENTI FUORI DALLA ZONA CRITICA

Il §7.9.5.1 [1] definisce il fattore di "sovreresistenza"  $\gamma_{Rd}$  che viene calcolato mediante l'espressione:

$$\gamma_{Rd} = 0.7 + 0.2 q \geq 1$$

nella quale  $q$  è il fattore di struttura utilizzato nei calcoli.

Nel caso in cui la compressione normalizzata  $v_k = N_{Ed} / (A_c \cdot f_{ck})$  (rif. §7.9.2.1 delle NTC2008 [1]), ecceda il valore 0,1 tale fattore deve essere moltiplicato per  $f = 1 + 2 \cdot (v_k - 0,1)^2$ .

  	<b>ITINERARIO NAPOLI – BARI</b> <b>RADDOPPIO TRATTA CANCELLO – BENEVENTO</b> <b>I° LOTTO FUNZIONALE CANCELLO - FRASSO TELESINO E</b> <b>VARIANTE ALLA LINEA ROMA-NAPOLI VIA CASSINO NEL</b> <b>COMUNE DI MADDALONI – PROGETTO ESECUTIVO</b>												
<b>Pile 07-08-09-12: Relazione di calcolo</b>	<table border="1"> <tr> <td>COMMESSA</td> <td>LOTTO</td> <td>CODIFICA</td> <td>DOCUMENTO</td> <td>REV.</td> <td>FOGLIO</td> </tr> <tr> <td>IF1N</td> <td>01 E ZZ</td> <td>CL</td> <td>VI0205 003</td> <td>B</td> <td>116 di 140</td> </tr> </table>	COMMESSA	LOTTO	CODIFICA	DOCUMENTO	REV.	FOGLIO	IF1N	01 E ZZ	CL	VI0205 003	B	116 di 140
COMMESSA	LOTTO	CODIFICA	DOCUMENTO	REV.	FOGLIO								
IF1N	01 E ZZ	CL	VI0205 003	B	116 di 140								

Nel caso in esame il fattore  $\gamma_{Rd}$  assume il valore:

Dir. Longitudinale:

qlong	1.50	
NEd	16804	kN
fck	32	Mpa
vk	0.05	
f	1.005	
$\gamma_{Rd}$	<b>1.00</b>	

Dir. Trasversale:

qtrasv	1.50	
NEd	16804	kN
fck	32	Mpa
vk	0.05	
f	1.005	
$\gamma_{Rd}$	<b>1.00</b>	

Definite “zone di cerniera plastica” o “zone critiche” le zone dove si progetta di localizzare le plasticizzazioni che conferiranno la duttilità richiesta alla struttura soggetta all’evento sismico, nel caso delle pile tali zone si identificano come la zona compresa tra la sezione di incastro alla base e la sezione posta ad una distanza  $L_h$  dall’incastro, dove  $L_h$  assume il massimo tra i seguenti valori (rif §7.9.6.2):

- la profondità della sezione in direzione ortogonale all’asse di rotazione delle cerniere;
- la distanza tra la sezione di momento massimo e la sezione in cui il momento si riduce del 20%.

Nelle sezioni comprese nella zona critica deve risultare:

$$M_{Ed} \leq M_{Rd}$$

Nelle sezioni al di fuori della zona critica tenendo conto del criterio della gerarchia delle resistenze deve risultare:

$$M_{gr} \leq M_{Rd}$$

I valori di  $M_{gr}$  lungo lo sviluppo dell’elemento si ottengono scalando il diagramma delle sollecitazioni flettenti ponendo nella sezione critica un momento agente pari a  $\gamma_{Rd} \cdot M_{Rd}$ .

Nel caso in esame si ha una lunghezza della zona critica pari alla profondità della sezione in direzione longitudinale:

$$L_h \text{ zona critica} = 2.60 \text{ m}$$

#### 8.4.1.3 SOLLECITAZIONI DI TAGLIO

Le sollecitazioni di taglio si ottengono con il criterio della gerarchia delle resistenze, il quale conduce ad adottare come sollecitazione di calcolo:

$$V_{gr} = V_{Ed} \cdot \gamma_{Rd} \cdot M_{Rd}/M_{Ed} \leq q \cdot V_{Ed}$$

  	<b>ITINERARIO NAPOLI – BARI</b> <b>RADDOPPIO TRATTA CANCELLO – BENEVENTO</b> <b>I° LOTTO FUNZIONALE CANCELLO - FRASSO TELESINO E</b> <b>VARIANTE ALLA LINEA ROMA-NAPOLI VIA CASSINO NEL</b> <b>COMUNE DI MADDALONI – PROGETTO ESECUTIVO</b>												
<b>Pile 07-08-09-12: Relazione di calcolo</b>	<table border="1"> <thead> <tr> <th>COMMESSA</th> <th>LOTTO</th> <th>CODIFICA</th> <th>DOCUMENTO</th> <th>REV.</th> <th>FOGLIO</th> </tr> </thead> <tbody> <tr> <td>IF1N</td> <td>01 E ZZ</td> <td>CL</td> <td>VI0205 003</td> <td>B</td> <td>117 di 140</td> </tr> </tbody> </table>	COMMESSA	LOTTO	CODIFICA	DOCUMENTO	REV.	FOGLIO	IF1N	01 E ZZ	CL	VI0205 003	B	117 di 140
COMMESSA	LOTTO	CODIFICA	DOCUMENTO	REV.	FOGLIO								
IF1N	01 E ZZ	CL	VI0205 003	B	117 di 140								

I valori di resistenza a taglio degli elementi in c.a. devono inoltre essere divisi per un coefficiente di sicurezza aggiuntivo nei confronti della rottura fragile  $\gamma_{Bd}$  valutato mediante la seguente espressione:

$$1 \leq \gamma_{Bd} = 1.25 + 1 - q \cdot V_{Ed}/V_{gr} \leq 1.25$$

La valutazione delle sollecitazioni di taglio da GR viene condotto nei paragrafi successivi relativi alle verifiche a taglio, a fronte dei valori resistenti ottenuti dalle successive verifiche a pressoflessione.

  	<b>ITINERARIO NAPOLI – BARI</b> <b>RADDOPPIO TRATTA CANCELLO – BENEVENTO</b> <b>I° LOTTO FUNZIONALE CANCELLO - FRASSO TELESINO E</b> <b>VARIANTE ALLA LINEA ROMA-NAPOLI VIA CASSINO NEL</b> <b>COMUNE DI MADDALONI – PROGETTO ESECUTIVO</b>												
<b>Pile 07-08-09-12: Relazione di calcolo</b>	<table border="1"> <thead> <tr> <th>COMMESSA</th> <th>LOTTO</th> <th>CODIFICA</th> <th>DOCUMENTO</th> <th>REV.</th> <th>FOGLIO</th> </tr> </thead> <tbody> <tr> <td>IF1N</td> <td>01 E ZZ</td> <td>CL</td> <td>VI0205 003</td> <td>B</td> <td>118 di 140</td> </tr> </tbody> </table>	COMMESSA	LOTTO	CODIFICA	DOCUMENTO	REV.	FOGLIO	IF1N	01 E ZZ	CL	VI0205 003	B	118 di 140
COMMESSA	LOTTO	CODIFICA	DOCUMENTO	REV.	FOGLIO								
IF1N	01 E ZZ	CL	VI0205 003	B	118 di 140								

## 8.4.2 SOLLECITAZIONI ALL'INTRADOSSO DEL PLINTO DI FONDAZIONE

Le sollecitazioni di calcolo relative alle combinazioni sismiche devono essere elaborate per tener conto delle indicazioni del §7.2.5[1]. Per gli elementi di fondazione il criterio della gerarchia delle resistenze si applica incrementando le azioni derivanti dagli elementi soprastanti di un fattore  $\gamma_{Rd}$  pari a 1.1.

*(In accordo con quanto prescritto nel §7.2.5 [1], per le strutture progettate in CD" B", il dimensionamento delle strutture di fondazione deve essere eseguito per valori di taglio e momento flettente pari ai valori resistenti degli elementi soprastanti. Tali valori hanno come limite superiore le sollecitazioni derivanti dalle analisi amplificate con un  $\gamma_{Rd}$  pari a 1,1 in CD" B" e comunque non maggiori di quelle derivanti da un'analisi elastica della struttura eseguita con q pari a 1. A tal proposito per semplificazione e favore di sicurezza si assumono come valori di calcolo le sollecitazioni derivanti dall'analisi incrementate del coefficiente  $\gamma_{Rd}$  pari a 1,1).*

Rispetto alle sollecitazioni calcolate alla sezione di base del fusto pila, le sollecitazioni riportate all'intradosso del plinto di fondazione sono incrementate dei seguenti contributi:

- $P_{pl}$  peso proprio del plinto di fondazione [kN]
- $P_{terr}$  peso proprio del terreno di ricoprimento presente all'estradosso del plinto [kN]
- $I_{pl,hor}$  forza di inerzia associata alla massa del plinto sul piano orizzontale ( $I_{pl,hor} = P_{pl} * PGA$ ) [kN]
- $I_{pl,vert}$  forza di inerzia associata alla massa del plinto in direzione verticale ( $I_{pl,vert} = P_{pl} * a_{gv}$ ) [kN]

Nel secondo allegato alla presente relazione si riportano (in forma di tabelle) le sollecitazioni di calcolo riferite all'intradosso del plinto di fondazione. In particolare, tali valori sono riferiti alla fondazione della pila avente altezza maggiore all'interno del gruppo di sottostrutture preso in considerazione nella presente relazione.

## 8.4.1 SOLLECITAZIONI DISTRIBUITE IN TESTA AI PALI DI FONDAZIONE

Le caratteristiche di sollecitazione sul singolo palo sono state determinate a partire dalle sollecitazioni riportate all'intradosso del plinto di fondazione, secondo le seguenti relazioni (*distribuzione rigida delle sollecitazioni*):

$$N_{max} = F_3 / n_{pali} + ass(M_1) / W_{1palificata} + ass(M_2) / W_{2palificata}$$

$$N_{min} = F_3 / n_{pali} - ass(M_1) / W_{1palificata} - ass(M_2) / W_{2palificata}$$

$$H = \sqrt{((F_1 / n_{pali})^2 + (F_2 / n_{pali})^2)}$$

I valori del taglio sul palo così ottenuti, compresi quelli relativi alle combinazioni non sismiche, vengono inoltre ulteriormente incrementati di un fattore pari a 1,1 per tenere conto dell'effetto gruppo.

Nel secondo allegato alla presente relazione si riportano (in forma di tabelle) le sollecitazioni di calcolo distribuite in testa ai pali di fondazione. In particolare, tali valori sono riferiti alla fondazione della pila avente altezza maggiore all'interno del gruppo di sottostrutture preso in considerazione nella presente relazione.

	<b>ITINERARIO NAPOLI – BARI</b> <b>RADDOPPIO TRATTA CANCELLO – BENEVENTO</b> <b>I° LOTTO FUNZIONALE CANCELLO - FRASSO TELESINO E</b> <b>VARIANTE ALLA LINEA ROMA-NAPOLI VIA CASSINO NEL</b> <b>COMUNE DI MADDALONI – PROGETTO ESECUTIVO</b>												
<b>Pile 07-08-09-12: Relazione di calcolo</b>	<table border="1"> <thead> <tr> <th>COMMESSA</th> <th>LOTTO</th> <th>CODIFICA</th> <th>DOCUMENTO</th> <th>REV.</th> <th>FOGLIO</th> </tr> </thead> <tbody> <tr> <td>IF1N</td> <td>01 E ZZ</td> <td>CL</td> <td>VI0205 003</td> <td>B</td> <td>119 di 140</td> </tr> </tbody> </table>	COMMESSA	LOTTO	CODIFICA	DOCUMENTO	REV.	FOGLIO	IF1N	01 E ZZ	CL	VI0205 003	B	119 di 140
COMMESSA	LOTTO	CODIFICA	DOCUMENTO	REV.	FOGLIO								
IF1N	01 E ZZ	CL	VI0205 003	B	119 di 140								

## 9 VERIFICHE STRUTTURALI DEL FUSTO PILA

### 9.1 GEOMETRIA DELLA SEZIONE DI VERIFICA E ARMATURA

Si riporta a seguire una figura che illustra la geometria della sezione di verifica, nella quale è rappresentata un'armatura tipologica.

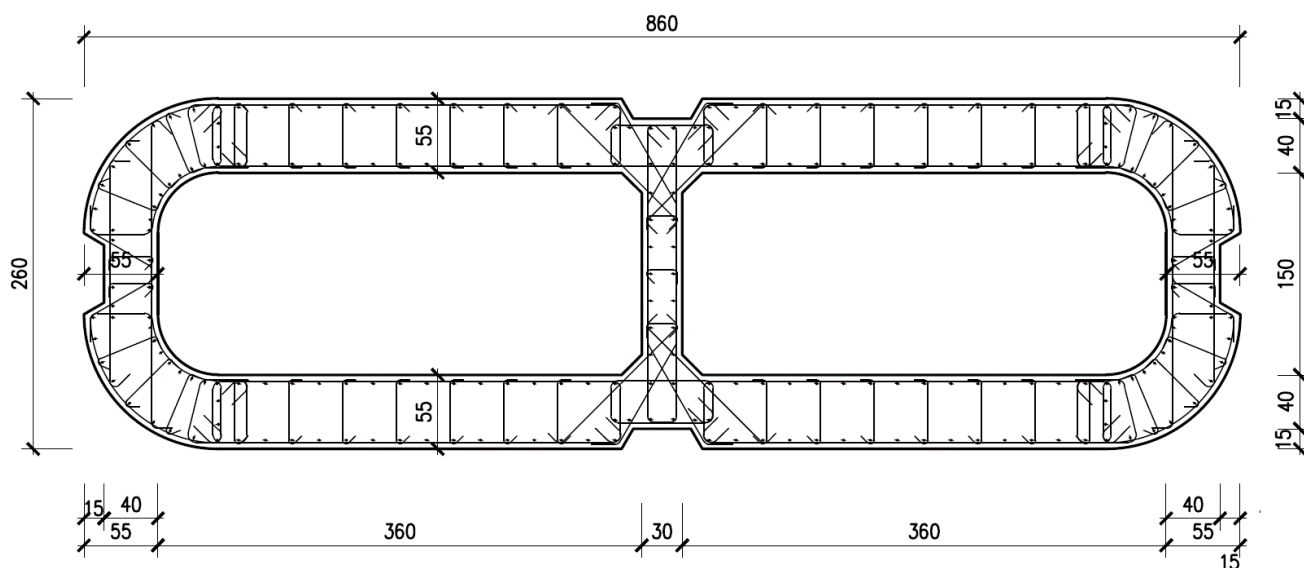


Figura 43 – Geometria della sezione trasversale della pila [cm]

#### 9.1.1 ARMATURA LONGITUDINALE

A seguire è indicata l'armatura flessionale prevista nella sezione di base del fusto pila, in termini di numero di barre presenti nello strato esterno (1° str.) e nello strato interno (2° str.) e loro diametro  $f_i$  [mm].

n barre (1° str.)	124	
$f_i$ barre (1° str.)	20	mm
n barre (2° str.)	122	
$f_i$ barre (2° str.)	20	mm

#### 9.1.2 ARMATURA TRASVERSALE

A seguire è indicata l'armatura a taglio prevista nella sezione di base del fusto pila, all'interno della zona critica.

  	<b>ITINERARIO NAPOLI – BARI</b> <b>RADDOPPIO TRATTA CANCELLO – BENEVENTO</b> <b>I° LOTTO FUNZIONALE CANCELLO - FRASSO TELESINO E</b> <b>VARIANTE ALLA LINEA ROMA-NAPOLI VIA CASSINO NEL</b> <b>COMUNE DI MADDALONI – PROGETTO ESECUTIVO</b>												
<b>Pile 07-08-09-12: Relazione di calcolo</b>	<table border="1"> <tr> <td>COMMESSA</td> <td>LOTTO</td> <td>CODIFICA</td> <td>DOCUMENTO</td> <td>REV.</td> <td>FOGLIO</td> </tr> <tr> <td>IF1N</td> <td>01 E ZZ</td> <td>CL</td> <td>VI0205 003</td> <td>B</td> <td>120 di 140</td> </tr> </table>	COMMESSA	LOTTO	CODIFICA	DOCUMENTO	REV.	FOGLIO	IF1N	01 E ZZ	CL	VI0205 003	B	120 di 140
COMMESSA	LOTTO	CODIFICA	DOCUMENTO	REV.	FOGLIO								
IF1N	01 E ZZ	CL	VI0205 003	B	120 di 140								

### Direzione longitudinale

Staffe:		Spille:		Spille:	
$\varnothing w$	16 mm	$\varnothing w$	8 mm	$\varnothing w$	16 mm
A1b	200.96 mm <sup>2</sup>	A1b	50.24 mm <sup>2</sup>	A1b	200.96 mm <sup>2</sup>
passo	100 mm	passo	100 mm	passo	100 mm
bracci	6	bracci	16	bracci	6

### Direzione trasversale

Staffe:		Spille:		Spille:	
$\varnothing w$	16 mm	$\varnothing w$	8 mm	$\varnothing w$	16 mm
A1b	200.96 mm <sup>2</sup>	A1b	50.24 mm <sup>2</sup>	A1b	200.96 mm <sup>2</sup>
passo	100 mm	passo	100 mm	passo	100 mm
bracci	4	bracci	6	bracci	2

## 9.1.3 VERIFICA DELL'ARMATURA MINIMA

Le armature del fusto pila devono soddisfare le quantità minime indicate dalla normativa e che vengono riepilogate di seguito.

### Armatura minima longitudinale:

- $\rho_{\min} = 0,60 \%$  (rif. §2.2.6 [3])

### Armatura minima trasversale nelle zone critiche:

Secondo le indicazioni del §7.9.6.2 [1], nelle sezioni piene, le armature di confinamento per la duttilità nelle zone critiche non devono rispettare i limiti di normativa nei seguenti casi:

- se la sollecitazione ridotta risulta  $v_k \leq 0,08$ ;
- nel caso di sezioni a pareti sottili purché risulti  $v_k \leq 0,2$ , se è possibile raggiungere una duttilità in curvatura non inferiore a  $\mu_c = 12$  senza che la deformazione nel conglomerato superi il valore 0,0035;
- se il fattore di struttura non supera il valore 1,5.

In caso contrario è necessario disporre le seguenti quantità minime di armatura a confinamento:

- $\omega_{wd,r} = 0,33 \cdot A_c/A_{cc} v_k - 0,07 \geq 0,12$  per sezioni rettangolari
- $\omega_{wd,c} = 1,4 \cdot \omega_{wd,r}$  per sezioni circolari

La percentuale meccanica è definita dalle espressioni:

- $\omega_{wd,r} = A_{sw}/(s \cdot b) \cdot f_{yd}/f_{cd}$  per sezioni rettangolari
- $\omega_{wd,c} = 4 A_{sp}/(D_{sp} \cdot s) \cdot f_{yd}/f_{cd}$  per sezioni circolari



  	<b>ITINERARIO NAPOLI – BARI</b> <b>RADDOPPIO TRATTA CANCELLO – BENEVENTO</b> <b>I° LOTTO FUNZIONALE CANCELLO - FRASSO TELESINO E</b> <b>VARIANTE ALLA LINEA ROMA-NAPOLI VIA CASSINO NEL</b> <b>COMUNE DI MADDALONI – PROGETTO ESECUTIVO</b>												
<b>Pile 07-08-09-12: Relazione di calcolo</b>	<table border="1"> <thead> <tr> <th>COMMESSA</th> <th>LOTTO</th> <th>CODIFICA</th> <th>DOCUMENTO</th> <th>REV.</th> <th>FOGLIO</th> </tr> </thead> <tbody> <tr> <td>IF1N</td> <td>01 E ZZ</td> <td>CL</td> <td>VI0205 003</td> <td>B</td> <td>121 di 140</td> </tr> </tbody> </table>	COMMESSA	LOTTO	CODIFICA	DOCUMENTO	REV.	FOGLIO	IF1N	01 E ZZ	CL	VI0205 003	B	121 di 140
COMMESSA	LOTTO	CODIFICA	DOCUMENTO	REV.	FOGLIO								
IF1N	01 E ZZ	CL	VI0205 003	B	121 di 140								

Secondo le indicazioni del §2.2.6 [3] invece deve verificarsi:

- $A_{sw}/(s \cdot b) \cdot f_{yd}/f_{cd} \geq \zeta$  per sezioni rettangolari
- $\rho_w \cdot f_{yd}/f_{cd} \geq 1,40 \cdot \zeta$  per sezioni circolari

con:

$\rho_w = V_{sc}/V_{cc}$  rapporto tra il volume complessivo delle armature di confinamento  $V_{sc}$  e volume di calcestruzzo confinato  $V_{cc}$ ;

$\zeta = 0,07$  per  $a_g \geq 0,35 g$ ;

$\zeta = 0,05$  per  $a_g \geq 0,25 g$ ;

$\zeta = 0,04$  per  $a_g \geq 0,15 g$ ;

$\zeta = 0,03$  per  $a_g < 0,15 g$ .

  	<b>ITINERARIO NAPOLI – BARI</b> <b>RADDOPPIO TRATTA CANCELLO – BENEVENTO</b> <b>I° LOTTO FUNZIONALE CANCELLO - FRASSO TELESINO E</b> <b>VARIANTE ALLA LINEA ROMA-NAPOLI VIA CASSINO NEL</b> <b>COMUNE DI MADDALONI – PROGETTO ESECUTIVO</b>												
<b>Pile 07-08-09-12: Relazione di calcolo</b>	<table border="1"> <thead> <tr> <th>COMMESSA</th> <th>LOTTO</th> <th>CODIFICA</th> <th>DOCUMENTO</th> <th>REV.</th> <th>FOGLIO</th> </tr> </thead> <tbody> <tr> <td>IF1N</td> <td>01 E ZZ</td> <td>CL</td> <td>VI0205 003</td> <td>B</td> <td>122 di 140</td> </tr> </tbody> </table>	COMMESSA	LOTTO	CODIFICA	DOCUMENTO	REV.	FOGLIO	IF1N	01 E ZZ	CL	VI0205 003	B	122 di 140
COMMESSA	LOTTO	CODIFICA	DOCUMENTO	REV.	FOGLIO								
IF1N	01 E ZZ	CL	VI0205 003	B	122 di 140								

Verifica armatura minima longitudinale secondo §2.2.6 [3]

$\rho_{min} =$	0.60%	
$A_c =$	10425000	mm <sup>2</sup>
$A_{s,min} =$	62550	mm <sup>2</sup>
n barre (1° str.)	124	
f <sub>i</sub> barre (1° str.)	20	mm
n barre (2° str.)	122	
f <sub>i</sub> barre (2° str.)	20	mm
$A_s$	77244	mm <sup>2</sup>
$\rho$	<b>0.74%</b>	<i>requisito soddisfatto</i>

Verifica armatura minima trasversale secondo §2.2.6 [3]

$a_g =$	0.199	g
$\zeta =$	0.04	
$\omega_{wd,r min} =$	0.04	

Armatura in dir. longitudinale

$A_{sw/s staffe} =$	0.0121	m <sup>2</sup> /m
$A_{sw/s spille} =$	0.0201	m <sup>2</sup> /m
$b =$	8.60	m
$f_{yd} =$	391	MPa
$f_{cd} =$	18.13	MPa
$\omega_{wd,r} =$	<b>0.081</b>	<i>requisito soddisfatto</i>

Armatura in dir. trasversale

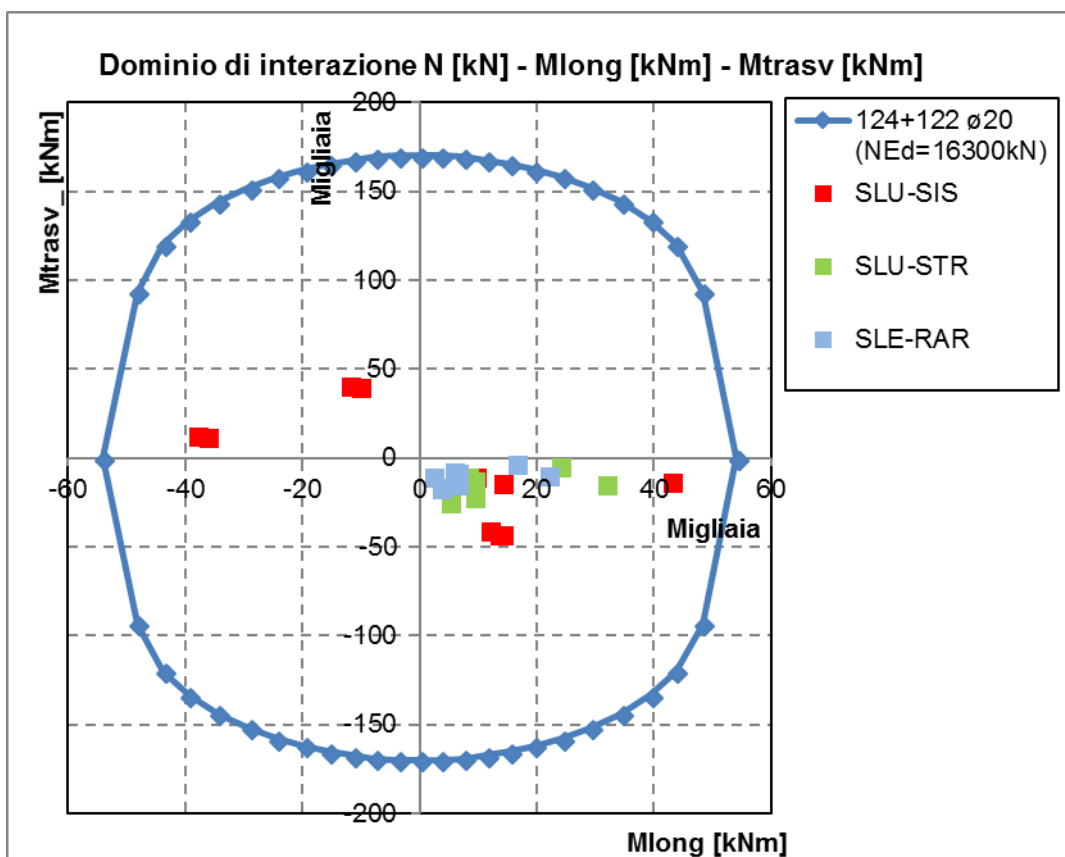
$A_{sw/s staffe} =$	0.0080	m <sup>2</sup> /m
$A_{sw/s spille} =$	0.0070	m <sup>2</sup> /m
$b =$	2.60	m
$f_{yd} =$	391	MPa
$f_{cd} =$	18.13	MPa
$\omega_{wd,r} =$	<b>0.125</b>	<i>requisito soddisfatto</i>

L'armatura longitudinale di calcolo e l'armatura trasversale di calcolo rispettano le quantità minime indicate dalla normativa.

## 9.2 VERIFICA SLU A FLESSIONE

Sono riportate a seguire le verifiche SLU della sezione di base della pila, espresse in forma sintetica mediante il diagramma di interazione  $M_{long}$  -  $M_{trasv}$ , valutato per una forza assiale corrispondente alla condizione di verifica più severa.

Le verifiche riportate a seguire sono riferite alla pila avente maggiore altezza tra quelle comprese nel gruppo di sottostrutture considerato nella presente relazione.



La verifica SLU di tipo flessionale nelle sezioni critiche si effettua verificando che:

$$FS = (M_{Rd,long}^2 + M_{Rd,trasv}^2)^{0.5} / (M_{Ed,long}^2 + M_{Ed,trasv}^2)^{0.5} \geq 1$$

  	<b>ITINERARIO NAPOLI – BARI</b> <b>RADDOPPIO TRATTA CANCELLO – BENEVENTO</b> <b>I° LOTTO FUNZIONALE CANCELLO - FRASSO TELESINO E</b> <b>VARIANTE ALLA LINEA ROMA-NAPOLI VIA CASSINO NEL</b> <b>COMUNE DI MADDALONI – PROGETTO ESECUTIVO</b>												
<b>Pile 07-08-09-12: Relazione di calcolo</b>	<table border="1"> <thead> <tr> <th>COMMESSA</th> <th>LOTTO</th> <th>CODIFICA</th> <th>DOCUMENTO</th> <th>REV.</th> <th>FOGLIO</th> </tr> </thead> <tbody> <tr> <td>IF1N</td> <td>01 E ZZ</td> <td>CL</td> <td>VI0205 003</td> <td>B</td> <td>124 di 140</td> </tr> </tbody> </table>	COMMESSA	LOTTO	CODIFICA	DOCUMENTO	REV.	FOGLIO	IF1N	01 E ZZ	CL	VI0205 003	B	124 di 140
COMMESSA	LOTTO	CODIFICA	DOCUMENTO	REV.	FOGLIO								
IF1N	01 E ZZ	CL	VI0205 003	B	124 di 140								

Il valore minimo del fattore di sicurezza FS è pari a

**FS**      **1.20**

La verifica è soddisfatta, in quanto  $FS > 1$ .

Nel secondo allegato alla presente relazione sono riportate le verifiche in forma completa relative alla pila con altezza maggiore tra quelle appartenenti al gruppo di sottostrutture considerato nella presente relazione.

  	<b>ITINERARIO NAPOLI – BARI</b> <b>RADDOPPIO TRATTA CANCELLO – BENEVENTO</b> <b>I° LOTTO FUNZIONALE CANCELLO - FRASSO TELESINO E</b> <b>VARIANTE ALLA LINEA ROMA-NAPOLI VIA CASSINO NEL</b> <b>COMUNE DI MADDALONI – PROGETTO ESECUTIVO</b>												
<b>Pile 07-08-09-12: Relazione di calcolo</b>	<table border="1"> <thead> <tr> <th>COMMESSA</th> <th>LOTTO</th> <th>CODIFICA</th> <th>DOCUMENTO</th> <th>REV.</th> <th>FOGLIO</th> </tr> </thead> <tbody> <tr> <td>IF1N</td> <td>01 E ZZ</td> <td>CL</td> <td>VI0205 003</td> <td>B</td> <td>125 di 140</td> </tr> </tbody> </table>	COMMESSA	LOTTO	CODIFICA	DOCUMENTO	REV.	FOGLIO	IF1N	01 E ZZ	CL	VI0205 003	B	125 di 140
COMMESSA	LOTTO	CODIFICA	DOCUMENTO	REV.	FOGLIO								
IF1N	01 E ZZ	CL	VI0205 003	B	125 di 140								

### 9.3 VERIFICA SLU A TAGLIO

Nel caso di sezioni rettangolari la verifica viene effettuata distintamente per le due direzioni longitudinale e trasversale.

Nel caso si sezione circolare si esegue la verifica per un valore del taglio pari a:

$$V = \sqrt{(F1^2 + F2^2)}$$

Per quanto riguarda le combinazioni sismiche, con riferimento ai criteri della GR e a quanto precedentemente dichiarato nel §8.3.2, si procede al calcolo del taglio agente di calcolo sulla base dei risultati delle verifiche flessionali.

$$V_{gr} = V_{Ed} \cdot \gamma_{Rd} \cdot M_{Rd}/M_{Ed} \leq q \cdot V_{Ed}$$

Il valore resistente a taglio della sezione si determina secondo le indicazioni del §4.1.2.1.3.2 [1]:

$$V_{Rd} = \min(V_{Rcd}; V_{Rsd})$$

$$V_{Rcd} = 0,9 \cdot d \cdot b_w \cdot \alpha_c \cdot f_{cd}' \cdot (\text{ctg } \alpha + \text{ctg } \theta) / (1 + \text{ctg}^2 \theta)$$

$$V_{Rsd} = 0,9 \cdot d \cdot A_{sw}/s \cdot f_{yd} \cdot (\text{ctg } \alpha + \text{ctg } \theta) \cdot \sin \alpha \quad \text{in cui}$$

d altezza utile della sezione

b<sub>w</sub> larghezza minima della sezione

A<sub>sw</sub> area dell'armatura trasversale

s interasse tra due armature trasversali consecutive

θ inclinazione delle bielle di calcestruzzo

α angolo di inclinazione dell'armatura trasversale rispetto all'asse dell'elemento

f<sub>cd</sub>' resistenza a compressione ridotta (pari a 0,5 f<sub>cd</sub>)

α<sub>c</sub> coefficiente maggiorativo che tiene conto della compressione

Nel caso di sezione circolare, le dimensioni della sezione rettangolare equivalente da utilizzare per il calcolo della resistenza a taglio della sezione si determinano secondo le indicazioni del §7.9.5.2.2 [1]:

$$d = r + 2 \cdot r_s / \pi$$

$$b = 0,9 \cdot 2 \cdot r$$

I valori di resistenza a taglio degli elementi in c.a. devono inoltre essere divisi per un coefficiente di sicurezza aggiuntivo nei confronti della rottura fragile γ<sub>Bd</sub> valutato mediante la seguente espressione:

$$1 \leq \gamma_{Bd} = 1,25 + 1 - q \cdot V_{Ed} / V_{gr} \leq 1,25$$

Si riporta a seguire in forma sintetica la verifica più severa della sezione di base del fusto della pila avente maggiore altezza tra quelle comprese nel gruppo di sottostrutture considerato nella presente relazione.

Il minimo valore del fattore di sicurezza FS = V<sub>Rd</sub> / V<sub>Ed</sub> è pari a

**FS 1.40**

La verifica è soddisfatta in quanto FS > 1.

Nel secondo allegato alla presente relazione sono riportate le verifiche in forma completa relative alla pila con altezza maggiore tra quelle appartenenti al gruppo considerato nella presente relazione.

  	<b>ITINERARIO NAPOLI – BARI</b> <b>RADDOPPIO TRATTA CANCELLO – BENEVENTO</b> <b>I° LOTTO FUNZIONALE CANCELLO - FRASSO TELESINO E</b> <b>VARIANTE ALLA LINEA ROMA-NAPOLI VIA CASSINO NEL</b> <b>COMUNE DI MADDALONI – PROGETTO ESECUTIVO</b>												
<b>Pile 07-08-09-12: Relazione di calcolo</b>	<table border="1"> <thead> <tr> <th>COMMESSA</th> <th>LOTTO</th> <th>CODIFICA</th> <th>DOCUMENTO</th> <th>REV.</th> <th>FOGLIO</th> </tr> </thead> <tbody> <tr> <td>IF1N</td> <td>01 E ZZ</td> <td>CL</td> <td>VI0205 003</td> <td>B</td> <td>126 di 140</td> </tr> </tbody> </table>	COMMESSA	LOTTO	CODIFICA	DOCUMENTO	REV.	FOGLIO	IF1N	01 E ZZ	CL	VI0205 003	B	126 di 140
COMMESSA	LOTTO	CODIFICA	DOCUMENTO	REV.	FOGLIO								
IF1N	01 E ZZ	CL	VI0205 003	B	126 di 140								

## 9.4 VERIFICA SLE TENSIONALE

La verifica SLE di tipo tensionale si effettua verificando che le massime tensioni agenti nella sezione risultino inferiori ai seguenti valori limite:

per le combinazioni SLE-RAR:

- tensione limite nel calcestruzzo:  $\sigma_c = 0.55 f_{ck} = 18.3 \text{ MPa}$
- tensione limite nelle barre:  $\sigma_s = 0.75 f_{yk} = 337.5 \text{ MPa}$

per le combinazioni SLE-QPE:

- tensione limite nel calcestruzzo:  $\sigma_c = 0.40 f_{ck} = 13.3 \text{ MPa}$

Si riporta a seguire in forma sintetica la verifica più severa (in combinazione SLE-RAR) della sezione di base del fusto della pila avente maggiore altezza tra quelle comprese nel gruppo considerato nella presente relazione.

$$\sigma_c = -5.2 \text{ MPa}$$

$$\sigma_s = 101 \text{ MPa}$$

La verifica è soddisfatta.

Nel secondo allegato alla presente relazione sono riportate le verifiche in forma completa.

## 9.5 VERIFICA SLE A FESSURAZIONE

La verifica SLE a fessurazione si effettua verificando che il massimo valore di apertura delle fessure risulti inferiore ai seguenti valori limite:

per le combinazioni SLE-RAR:

- apertura fessure limite:  $w_{lim} = w_1 = 0,20 \text{ mm}$

Si riporta a seguire in forma sintetica la verifica più severa (in combinazione SLE-RAR) della sezione di base del fusto della pila avente maggiore altezza tra quelle comprese nel gruppo di sottostrutture considerato nella presente relazione.

L'ampiezza massima delle fessure calcolata è pari a

$$w_k = 0.161 \text{ mm}$$

Nel secondo allegato alla presente relazione sono riportate le verifiche in forma completa.

## 9.6 VERIFICA DEGLI SPOSTAMENTI

Nel secondo allegato alla presente relazione sono riportate le verifiche in forma completa relative alla pila avente maggiore altezza tra quelle comprese nel gruppo di sottostrutture considerato nella presente relazione.

  	<b>ITINERARIO NAPOLI – BARI</b> <b>RADDOPPIO TRATTA CANCELLO – BENEVENTO</b> <b>I° LOTTO FUNZIONALE CANCELLO - FRASSO TELESINO E</b> <b>VARIANTE ALLA LINEA ROMA-NAPOLI VIA CASSINO NEL</b> <b>COMUNE DI MADDALONI – PROGETTO ESECUTIVO</b>												
<b>Pile 07-08-09-12: Relazione di calcolo</b>	<table border="1"> <thead> <tr> <th>COMMESSA</th> <th>LOTTO</th> <th>CODIFICA</th> <th>DOCUMENTO</th> <th>REV.</th> <th>FOGLIO</th> </tr> </thead> <tbody> <tr> <td>IF1N</td> <td>01 E ZZ</td> <td>CL</td> <td>VI0205 003</td> <td>B</td> <td>127 di 140</td> </tr> </tbody> </table>	COMMESSA	LOTTO	CODIFICA	DOCUMENTO	REV.	FOGLIO	IF1N	01 E ZZ	CL	VI0205 003	B	127 di 140
COMMESSA	LOTTO	CODIFICA	DOCUMENTO	REV.	FOGLIO								
IF1N	01 E ZZ	CL	VI0205 003	B	127 di 140								

## 10 VERIFICHE STRUTTURALI DEI PALI DI FONDAZIONE

### 10.1 GEOMETRIA DELLA SEZIONE DI VERIFICA E ARMATURA

Nelle tabelle seguenti sono descritte le caratteristiche geometriche della sezione di verifica dei pali di fondazione, nonché le caratteristiche di resistenza dei materiali.

<u>GEOMETRIA DELLA SEZIONE</u>		
Diametro del palo =	1200	mm
Copriferro netto c =	60	mm
Classe di resistenza calcestruzzo =	C25/30	Mpa
Classe di resistenza delle barre =	B450C	MPa

Nella seguente tabella sono descritte le caratteristiche geometriche dell'armatura flessionale e a taglio dei pali, con riferimento ad un tratto di lunghezza pari a  $10 \varnothing$  dalla sezione di testa. Sono inoltre verificati i requisiti minimi in termini di armatura flessionale a taglio.

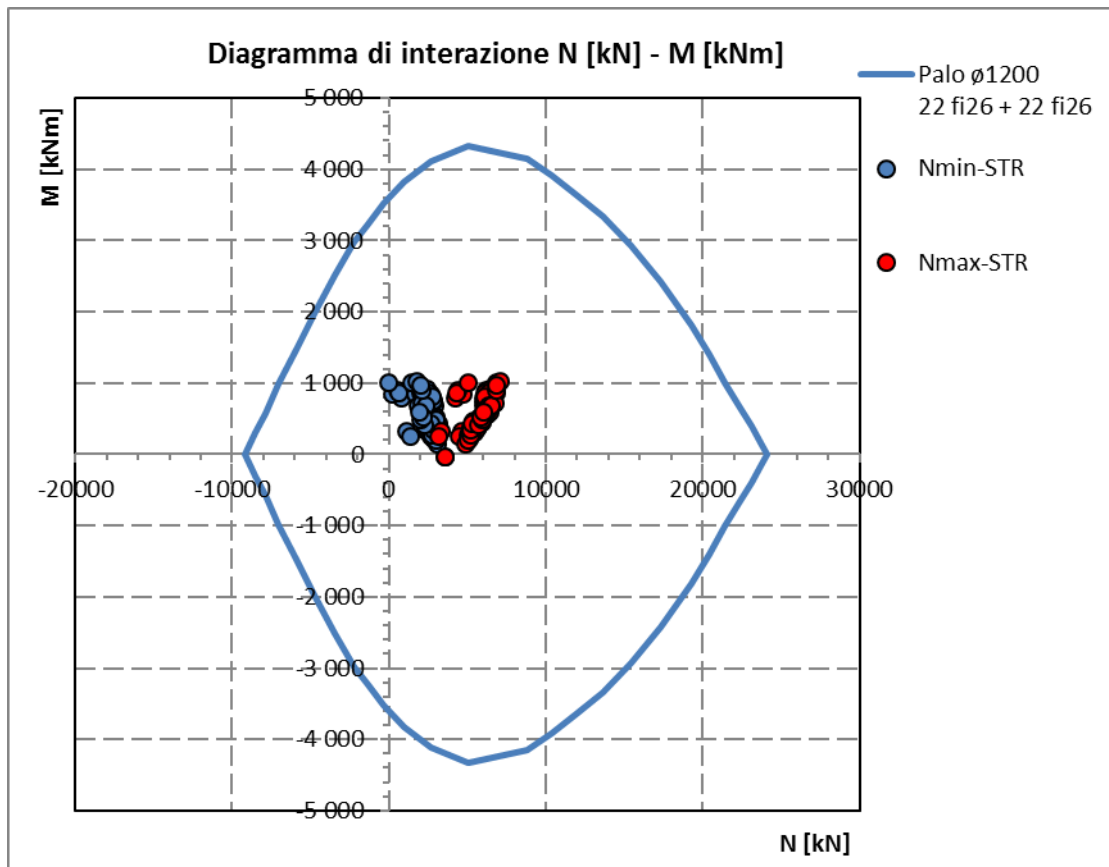
<u>ARMATURA PER I PRIMI <math>10 \varnothing</math></u>		
<i>1° strato di armatura longitudinale</i>		
Numero barre long.	22	-
Diametro barre long.	26	mm
Copriferro baricentrico arm. long. c' =	87	mm
<i>2° strato di armatura longitudinale</i>		
Numero barre long.	22	-
Diametro barre long.	26	mm
Copriferro baricentrico arm. long. c' =	138	mm
<i>Armatura trasversale</i>		
Diametro barre trasv.	14	mm
Passo arm. trasv.	200	mm
Diametro corona esterna =	1066	mm
<u>VERIFICA ARMATURA MINIMA LONG.</u>		
$\rho_{min}$ =	1.00%	
$A_c$ =	1130973	mm <sup>2</sup>
$A_{S,min}$ =	11310	mm <sup>2</sup>
Armatura long. tot $A_{s,tot}$ =	23361	mm <sup>2</sup>
$\rho_l$ =	<b>2.07%</b>	

## 10.2 VERIFICA SLU A PRESSOFLESSIONE

Sono riportate a seguire le verifiche SLU della sezione di sommità del palo maggiormente sollecitato, espresse in forma sintetica mediante il diagramma di interazione N [kN] – M [kNm].

Le verifiche riportate a seguire sono riferite alla pila avente maggiore altezza tra quelle comprese nel gruppo di sottostrutture considerato nella presente relazione.

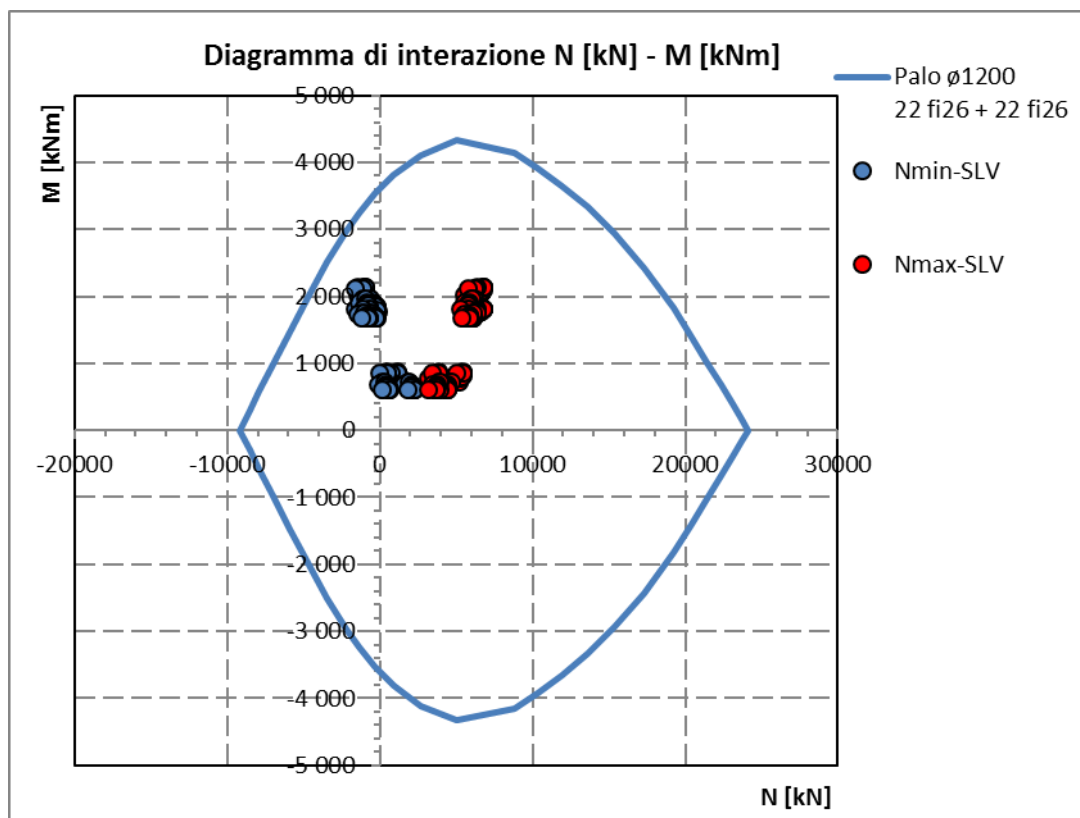
*Diagramma d'interazione con le coordinate delle sollecitazioni indotte dalle combinazioni SLU-STR*





  	<b>ITINERARIO NAPOLI – BARI</b> <b>RADDOPPIO TRATTA CANCELLO – BENEVENTO</b> <b>I° LOTTO FUNZIONALE CANCELLO - FRASSO TELESINO E</b> <b>VARIANTE ALLA LINEA ROMA-NAPOLI VIA CASSINO NEL</b> <b>COMUNE DI MADDALONI – PROGETTO ESECUTIVO</b>												
<b>Pile 07-08-09-12: Relazione di calcolo</b>	<table border="1"> <thead> <tr> <th>COMMESSA</th> <th>LOTTO</th> <th>CODIFICA</th> <th>DOCUMENTO</th> <th>REV.</th> <th>FOGLIO</th> </tr> </thead> <tbody> <tr> <td>IF1N</td> <td>01 E ZZ</td> <td>CL</td> <td>VI0205 003</td> <td>B</td> <td>129 di 140</td> </tr> </tbody> </table>	COMMESSA	LOTTO	CODIFICA	DOCUMENTO	REV.	FOGLIO	IF1N	01 E ZZ	CL	VI0205 003	B	129 di 140
COMMESSA	LOTTO	CODIFICA	DOCUMENTO	REV.	FOGLIO								
IF1N	01 E ZZ	CL	VI0205 003	B	129 di 140								

Diagramma d'interazione con le coordinate delle sollecitazioni indotte dalle combinazioni SLU-SLV



La verifica è soddisfatta in quanto le coppie N-M delle sollecitazioni agenti nella sezione di verifica sono interne al dominio di resistenza per ogni condizione di carico indagata.

Nel secondo allegato alla presente relazione sono riportate le verifiche in forma completa relative alla pila con altezza maggiore tra quelle appartenenti al gruppo di sottostrutture considerato nella presente relazione.

  	<b>ITINERARIO NAPOLI – BARI</b> <b>RADDOPPIO TRATTA CANCELLO – BENEVENTO</b> <b>I° LOTTO FUNZIONALE CANCELLO - FRASSO TELESINO E</b> <b>VARIANTE ALLA LINEA ROMA-NAPOLI VIA CASSINO NEL</b> <b>COMUNE DI MADDALONI – PROGETTO ESECUTIVO</b>												
<b>Pile 07-08-09-12: Relazione di calcolo</b>	<table border="1"> <thead> <tr> <th>COMMESSA</th> <th>LOTTO</th> <th>CODIFICA</th> <th>DOCUMENTO</th> <th>REV.</th> <th>FOGLIO</th> </tr> </thead> <tbody> <tr> <td>IF1N</td> <td>01 E ZZ</td> <td>CL</td> <td>VI0205 003</td> <td>B</td> <td>130 di 140</td> </tr> </tbody> </table>	COMMESSA	LOTTO	CODIFICA	DOCUMENTO	REV.	FOGLIO	IF1N	01 E ZZ	CL	VI0205 003	B	130 di 140
COMMESSA	LOTTO	CODIFICA	DOCUMENTO	REV.	FOGLIO								
IF1N	01 E ZZ	CL	VI0205 003	B	130 di 140								

## 10.3 VERIFICA SLU A TAGLIO

Nel caso di sezione circolare si esegue la verifica per un valore del taglio pari a:

$$V = \sqrt{(F1^2 + F2^2)}$$

Per quanto riguarda le combinazioni sismiche, con riferimento ai criteri della GR e a quanto precedentemente dichiarato nel §8.3.2, si procede al calcolo del taglio agente di calcolo sulla base dei risultati delle verifiche flessionali.

$$V_{gr} = V_{Ed} \cdot \gamma_{Rd} \cdot M_{Rd}/M_{Ed} \leq q \cdot V_{Ed}$$

Il valore resistente a taglio della sezione si determina secondo le indicazioni del §4.1.2.1.3.2 [1]:

$$V_{Rd} = \min(V_{Rcd}; V_{Rsd})$$

$$V_{Rcd} = 0,9 \cdot d \cdot b_w \cdot \alpha_c \cdot f_{cd}' \cdot (\text{ctg } \alpha + \text{ctg } \theta) / (1 + \text{ctg}^2 \theta)$$

$$V_{Rsd} = 0,9 \cdot d \cdot A_{sw}/s \cdot f_{yd} \cdot (\text{ctg } \alpha + \text{ctg } \theta) \cdot \sin \alpha$$

in cui

- d altezza utile della sezione
- $b_w$  larghezza minima della sezione
- $A_{sw}$  area dell'armatura trasversale
- s interasse tra due armature trasversali consecutive
- $\theta$  inclinazione delle bielle di calcestruzzo
- $\alpha$  angolo di inclinazione dell'armatura trasversale rispetto all'asse dell'elemento
- $f_{cd}'$  resistenza a compressione ridotta (pari a  $0,5 f_{cd}$ )
- $\alpha_c$  coefficiente maggiorativo che tiene conto della compressione

Nel caso di sezione circolare, le dimensioni della sezione rettangolare equivalente da utilizzare per il calcolo della resistenza a taglio della sezione si determinano secondo le indicazioni del §7.9.5.2.2 [1]:

$$d = r + 2 \cdot r_s / \pi$$

$$b = 0,9 \cdot 2 \cdot r$$

Si riporta a seguire in forma sintetica la verifica più severa (in combinazione SLV-SIS) relativa alla pila avente maggiore altezza tra quelle comprese nel gruppo considerato nella presente relazione.

Il minimo valore del fattore di sicurezza  $FS = V_{Rd} / V_{Ed}$  è pari a

**FS**      **1.26**

La verifica è soddisfatta, in quanto  $FS > 1$ .

Negli allegati alla presente relazione sono riportate le verifiche in forma completa relative alla pila con altezza maggiore tra quelle appartenenti al gruppo considerato.

  	<b>ITINERARIO NAPOLI – BARI</b> <b>RADDOPPIO TRATTA CANCELLO – BENEVENTO</b> <b>I° LOTTO FUNZIONALE CANCELLO - FRASSO TELESINO E</b> <b>VARIANTE ALLA LINEA ROMA-NAPOLI VIA CASSINO NEL</b> <b>COMUNE DI MADDALONI – PROGETTO ESECUTIVO</b>												
<b>Pile 07-08-09-12: Relazione di calcolo</b>	<table border="1"> <thead> <tr> <th>COMMESSA</th> <th>LOTTO</th> <th>CODIFICA</th> <th>DOCUMENTO</th> <th>REV.</th> <th>FOGLIO</th> </tr> </thead> <tbody> <tr> <td>IF1N</td> <td>01 E ZZ</td> <td>CL</td> <td>VI0205 003</td> <td>B</td> <td>131 di 140</td> </tr> </tbody> </table>	COMMESSA	LOTTO	CODIFICA	DOCUMENTO	REV.	FOGLIO	IF1N	01 E ZZ	CL	VI0205 003	B	131 di 140
COMMESSA	LOTTO	CODIFICA	DOCUMENTO	REV.	FOGLIO								
IF1N	01 E ZZ	CL	VI0205 003	B	131 di 140								

## 10.4 VERIFICA SLE TENSIONALE

La verifica SLE di tipo tensionale si effettua verificando che le massime tensioni agenti nella sezione risultino inferiori ai seguenti valori limite:

per le combinazioni SLE-RAR:

- tensione limite nel calcestruzzo:  $\sigma_c = 0.55 f_{ck} = 13.7 \text{ MPa}$
- tensione limite nelle barre:  $\sigma_s = 0.75 f_{yk} = 337.5 \text{ MPa}$

per le combinazioni SLE-QP:

- tensione limite nel calcestruzzo:  $\sigma_c = 0.40 f_{ck} = 10.0 \text{ MPa}$

Si riporta a seguire in forma sintetica la verifica più severa (in combinazione SLE-RAR) relativa alla pila avente maggiore altezza tra quelle comprese nel gruppo considerato nella presente relazione.

$\sigma_c$       **-4.6**      MPa  
 $\sigma_s$       **88**      MPa

La verifica è soddisfatta.

Negli allegati alla presente relazione sono riportate le verifiche in forma completa.

## 10.5 VERIFICA SLE A FESSURAZIONE

La verifica SLE a fessurazione si effettua verificando che il massimo valore di apertura delle fessure risulti inferiore ai seguenti valori limite:

per le combinazioni SLE-RAR:

- apertura fessure limite:  $w_{lim} = w_1 = 0.30 \text{ mm}$

Si riporta a seguire in forma sintetica la verifica più severa (in combinazione SLE-RAR) relativa alla pila avente maggiore altezza tra quelle comprese nel gruppo considerato nella presente relazione.

L'ampiezza massima delle fessure calcolata è pari a

$w_k$       **0.132**      mm

Negli allegati alla presente relazione sono riportate le verifiche in forma completa.

	<b>ITINERARIO NAPOLI – BARI</b> <b>RADDOPPIO TRATTA CANCELLO – BENEVENTO</b> <b>I° LOTTO FUNZIONALE CANCELLO - FRASSO TELESINO E</b> <b>VARIANTE ALLA LINEA ROMA-NAPOLI VIA CASSINO NEL</b> <b>COMUNE DI MADDALONI – PROGETTO ESECUTIVO</b>												
<b>Pile 07-08-09-12: Relazione di calcolo</b>	<table border="1"> <thead> <tr> <th>COMMESSA</th> <th>LOTTO</th> <th>CODIFICA</th> <th>DOCUMENTO</th> <th>REV.</th> <th>FOGLIO</th> </tr> </thead> <tbody> <tr> <td>IF1N</td> <td>01 E ZZ</td> <td>CL</td> <td>VI0205 003</td> <td>B</td> <td>132 di 140</td> </tr> </tbody> </table>	COMMESSA	LOTTO	CODIFICA	DOCUMENTO	REV.	FOGLIO	IF1N	01 E ZZ	CL	VI0205 003	B	132 di 140
COMMESSA	LOTTO	CODIFICA	DOCUMENTO	REV.	FOGLIO								
IF1N	01 E ZZ	CL	VI0205 003	B	132 di 140								

## 11 VERIFICHE STRUTTURALI DEL PLINTO DI FONDAZIONE

### 11.1 VERIFICHE SLU-SLE CON MECCANISMO TIRANTE-PUNTO

La verifica strutturale del plinto viene condotta a seguire impiegando un modello tirante-puntone, come quello rappresentato nella figura seguente, tratta da §C4.1.2.1.5 [2].

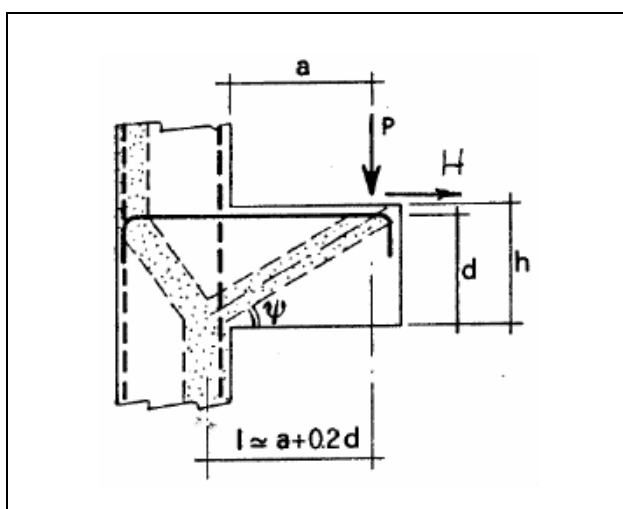


Figura 44 – Meccanismo tirante puntone della mensola tozza

Si distinguono due meccanismi di tipo tirante-puntone principali nel plinto di fondazione, illustrati nelle figure seguenti e descritti a seguire:

- un primo meccanismo è innescato dalle azioni trasmesse al plinto dai pali centrali e coinvolge un tirante-puntone parallelo alla direzione longitudinale (evidenziato in verde). Tale meccanismo coinvolge la sola armatura longitudinale inferiore del plinto.
- un secondo meccanismo coinvolge i pali di spigolo ed innesca un tirante-puntone con direzione diagonale (evidenziato in rosso), individuata da un angolo  $\alpha$  misurato rispetto alla direzione trasversale. Tale meccanismo coinvolge sia l'armatura longitudinale inferiore del plinto che l'armatura trasversale, pertanto, ai fini delle verifiche del tirante di armatura e della biella di calcestruzzo, si considera composto dalla somma vettoriale di due meccanismi ortogonali disaccoppiati.

	<b>ITINERARIO NAPOLI – BARI</b> <b>RADDOPPIO TRATTA CANCELLO – BENEVENTO</b> <b>1° LOTTO FUNZIONALE CANCELLO - FRASSO TELESINO E</b> <b>VARIANTE ALLA LINEA ROMA-NAPOLI VIA CASSINO NEL</b> <b>COMUNE DI MADDALONI – PROGETTO ESECUTIVO</b>					
<b>Pile 07-08-09-12: Relazione di calcolo</b>	COMMESSA IF1N	LOTTO 01 E ZZ	CODIFICA CL	DOCUMENTO VI0205 003	REV. B	FOGLIO 133 di 140

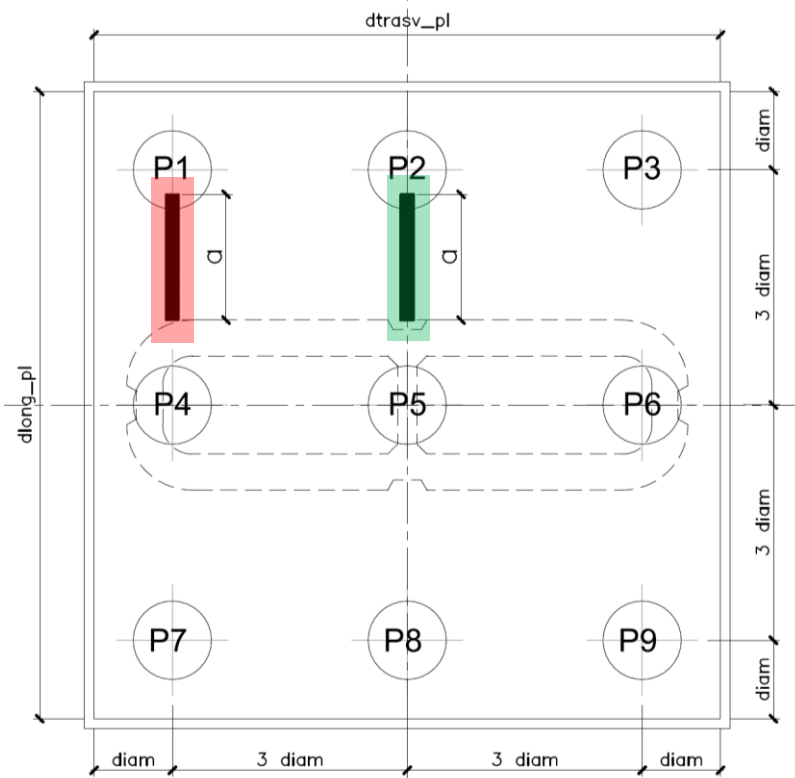


Figura 45 – Vista in pianta - Tirante-puntone centrale (verde) e di spigolo (rosso)

A seguire si riporta una immagine che illustra, in una vista in sezione, la geometria di un generico meccanismo tirante puntone che si innesta nel plinto per azione dei carichi concentrati trasmessi dai pali di fondazione

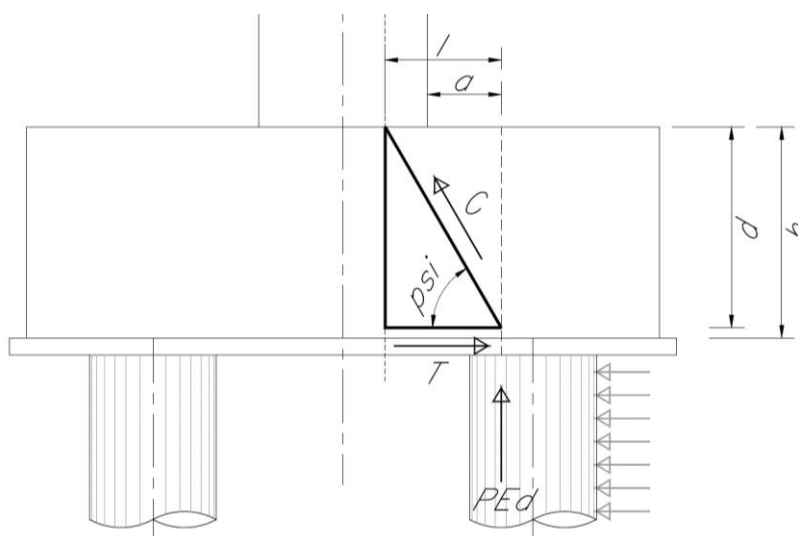


Figura 46 –Tirante puntone - Biella compressa di calcestruzzo C e tirante di armatura T

  	<b>ITINERARIO NAPOLI – BARI</b> <b>RADDOPPIO TRATTA CANCELLO – BENEVENTO</b> <b>I° LOTTO FUNZIONALE CANCELLO - FRASSO TELESINO E</b> <b>VARIANTE ALLA LINEA ROMA-NAPOLI VIA CASSINO NEL</b> <b>COMUNE DI MADDALONI – PROGETTO ESECUTIVO</b>												
<b>Pile 07-08-09-12: Relazione di calcolo</b>	<table border="1"> <thead> <tr> <th>COMMESSA</th> <th>LOTTO</th> <th>CODIFICA</th> <th>DOCUMENTO</th> <th>REV.</th> <th>FOGLIO</th> </tr> </thead> <tbody> <tr> <td>IF1N</td> <td>01 E ZZ</td> <td>CL</td> <td>VI0205 003</td> <td>B</td> <td>134 di 140</td> </tr> </tbody> </table>	COMMESSA	LOTTO	CODIFICA	DOCUMENTO	REV.	FOGLIO	IF1N	01 E ZZ	CL	VI0205 003	B	134 di 140
COMMESSA	LOTTO	CODIFICA	DOCUMENTO	REV.	FOGLIO								
IF1N	01 E ZZ	CL	VI0205 003	B	134 di 140								

La forza di taglio di calcolo  $H_{Ed}$  agente alla testa del palo si trascura in via conservativa, in quanto il suo effetto ridurrebbe la trazione nel tirante inferiore d'armatura, essendo tale azione di taglio indotta dalla reazione del terreno.

Ai fini delle successive verifiche, le azioni concentrate  $P_{Ed}$  [kN] trasmesse dai pali al plinto sono assunte pari alle forze assiali agenti in testa al palo  $N_{max}$  [kN], ridotte della quota parte spettante ad ogni palo del peso del plinto  $P_{pl}$  [kN] e del peso del rinterro  $P_{terr}$  [kN] presente all'estradosso del plinto:

$$P_{Ed} = N_{max} - (P_{pl} + P_{terr}) / n_{pali}$$

La larghezza della sezione resistente del tirante di armatura e della biella compressa ( $B_{eff}$  = larghezza efficace) viene assunta pari a:

- per i pali centrali all'interasse pali  $i$  ( $B_{eff} = i = 3 \text{ diam}$ );
- per i pali di bordo a metà interasse pali  $i$  più la distanza dal bordo  $d_b$  ( $B_{eff} = i / 2 + d_b = 2.5 \text{ diam}$ ).

L'altezza della sezione della biella compressa viene assunta pari a

$$h_c = 0.4 c d \sin \psi \text{ (si assume } c = 1)$$

in conformità a quanto riportato in §C4.1.2.1.5 [2].

### 11.1.1 GEOMETRIA DEL TIRANTE-PUNTONE

#### 11.1.1.1 TIRANTE – PUNTONE DI SPIGOLO

a	2.00 m
h	2.50 m
d = h-cferro	2.393 m
l	2.48 m

tan psi	0.87
psi	<b>41.0</b> °

#### 11.1.1.2 TIRANTE – PUNTONE CENTRALE

a	2.00 m
h	2.50 m
d = h-cferro	2.39 m
l	2.48 m

tan psi	0.87
psi	<b>41.0</b> °

  	<b>ITINERARIO NAPOLI – BARI</b> <b>RADDOPPIO TRATTA CANCELLO – BENEVENTO</b> <b>I° LOTTO FUNZIONALE CANCELLO - FRASSO TELESINO E</b> <b>VARIANTE ALLA LINEA ROMA-NAPOLI VIA CASSINO NEL</b> <b>COMUNE DI MADDALONI – PROGETTO ESECUTIVO</b>						
	<b>Pile 07-08-09-12: Relazione di calcolo</b>		COMMESSA IF1N	LOTTO 01 E ZZ	CODIFICA CL	DOCUMENTO VI0205 003	REV. B

### 11.1.2 SEZIONE DEL TIRANTE DI ARMATURA E DELLA BIELLA COMPRESSA

Con riferimento alla figura seguente, l'armatura prevista nel plinto di fondazione è descritta a seguire:

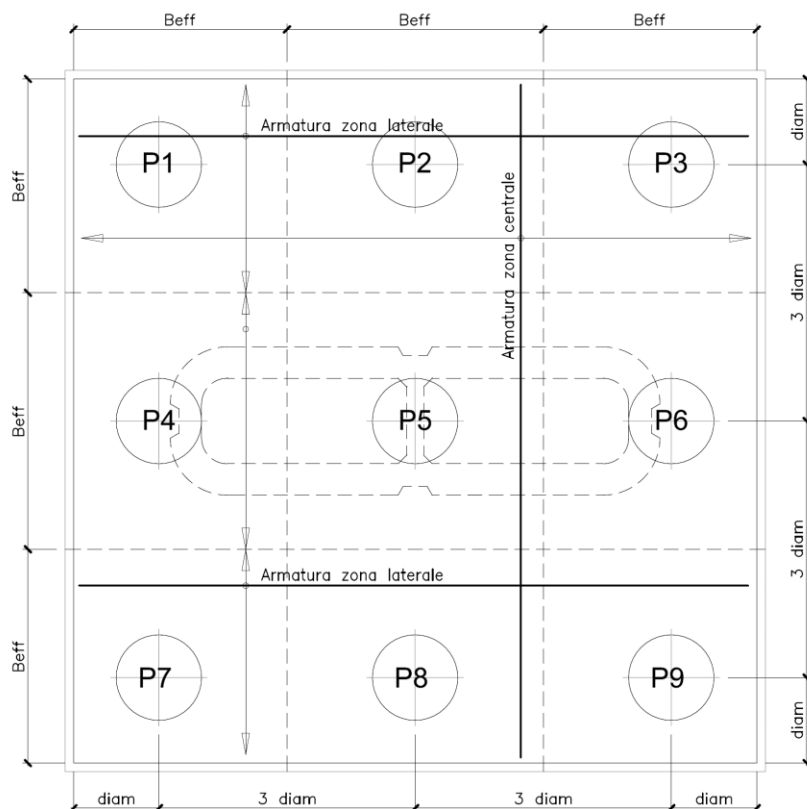


Figura 47 – Plinto di fondazione – Armatura longitudinale inferiore e superiore

Il tirante d'armatura impiegato nelle verifiche è descritto nella tabella seguente.

	Armatura inferiore di verifica			Armatura superiore di verifica			
	Zona laterale		Zona centrale	Zona laterale		Zona centrale	
	dir. Long.	dir. Trasv.	dir. Long.	dir. Long.	dir. Trasv.	dir. Long.	
Beff	3	3	3.6	3	3	3.6	[m]
øbarre	3.00	2.20	3.00	2.20	2.20	2.20	[cm]
ibarre	0.15	0.20	0.15	0.20	0.20	0.20	[m]
nstrati	2.00	2.00	1.50	2.00	1.00	1.00	
nbarre	40	30	36	30	15	18	
A1b	7.07	3.80	7.07	3.80	3.80	3.80	[cm <sup>2</sup> ]
Atot	283	114	254	114	57	68	[cm <sup>2</sup> ]

  	<b>ITINERARIO NAPOLI – BARI</b> <b>RADDOPPIO TRATTA CANCELLO – BENEVENTO</b> <b>I° LOTTO FUNZIONALE CANCELLO - FRASSO TELESINO E</b> <b>VARIANTE ALLA LINEA ROMA-NAPOLI VIA CASSINO NEL</b> <b>COMUNE DI MADDALONI – PROGETTO ESECUTIVO</b>												
<b>Pile 07-08-09-12: Relazione di calcolo</b>	<table border="1" style="width: 100%; border-collapse: collapse;"> <tr> <td style="text-align: center;">COMMESSA</td> <td style="text-align: center;">LOTTO</td> <td style="text-align: center;">CODIFICA</td> <td style="text-align: center;">DOCUMENTO</td> <td style="text-align: center;">REV.</td> <td style="text-align: center;">FOGLIO</td> </tr> <tr> <td style="text-align: center;">IF1N</td> <td style="text-align: center;">01 E ZZ</td> <td style="text-align: center;">CL</td> <td style="text-align: center;">VI0205 003</td> <td style="text-align: center;">B</td> <td style="text-align: center;">136 di 140</td> </tr> </table>	COMMESSA	LOTTO	CODIFICA	DOCUMENTO	REV.	FOGLIO	IF1N	01 E ZZ	CL	VI0205 003	B	136 di 140
COMMESSA	LOTTO	CODIFICA	DOCUMENTO	REV.	FOGLIO								
IF1N	01 E ZZ	CL	VI0205 003	B	136 di 140								

La sezione della biella compressa di calcestruzzo impiegata nelle verifiche è descritta nella tabella seguente.

	Biella inferiore di verifica		Biella superiore di verifica		
	Zona laterale	Zona centrale	Zona laterale	Zona centrale	
	dir. Long.	dir. Long.	dir. Long.	dir. Long.	
Bc	3.00	3.60	3.00	3.60	[m]
hc	0.63	0.63	0.63	0.63	[m]
Ac	1.88	2.26	1.88	2.26	[m <sup>2</sup> ]

### 11.1.3 VERIFICHE SLU DELLE TENSIONI NORMALI

La verifica SLE di tipo tensionale si effettua verificando che le massime tensioni agenti nella sezione risultino inferiori ai seguenti valori limite:

per le combinazioni SLU e SLV:

- tensione limite nel calcestruzzo:  $\sigma_c = f_{cd}' = 0.5 f_{cd} = 8.2 \text{ MPa}$
- tensione limite nelle barre:  $\sigma_s = f_{yd} = 391 \text{ MPa}$

Si riportano a seguire in forma sintetica le verifiche più severe dei meccanismi tirante-puntone che si innescano nel plinto della pila avente maggiore altezza tra quelle comprese nel gruppo di sottostrutture considerato nella presente relazione.

	Nmax	PEd	T	$\sigma_{s\_long}$	$\sigma_{s\_trasv}$	< f <sub>yd</sub>	C	$\sigma_c$	< f <sub>cd</sub> '
<b>SIS-SLV</b>	6609	5789	6663	236	0	VERO	8827	4.7	VERO
	kN	kN	kN	Mpa	Mpa		kN	Mpa	

Negli allegati alla presente relazione sono riportate le verifiche in forma completa relative al plinto della pila con altezza maggiore tra quelle appartenenti al gruppo considerato.

### 11.1.4 VERIFICHE SLE DELLE TENSIONI NORMALI

La verifica SLE di tipo tensionale si effettua verificando che le massime tensioni agenti nella sezione risultino inferiori ai seguenti valori limite:

per le combinazioni SLE-RAR:

- tensione limite nel calcestruzzo:  $\sigma_c = 0.55 f_{ck} = 16.0 \text{ MPa}$
- tensione limite nelle barre:  $\sigma_s = 0.75 f_{yk} = 337.5 \text{ MPa}$

per le combinazioni SLE-QPE:

- tensione limite nel calcestruzzo:  $\sigma_c = 0.40 f_{ck} = 11.6 \text{ MPa}$



  	<b>ITINERARIO NAPOLI – BARI</b> <b>RADDOPPIO TRATTA CANCELLO – BENEVENTO</b> <b>I° LOTTO FUNZIONALE CANCELLO - FRASSO TELESINO E</b> <b>VARIANTE ALLA LINEA ROMA-NAPOLI VIA CASSINO NEL</b> <b>COMUNE DI MADDALONI – PROGETTO ESECUTIVO</b>												
<b>Pile 07-08-09-12: Relazione di calcolo</b>	<table border="1"> <tr> <td>COMMESSA</td> <td>LOTTO</td> <td>CODIFICA</td> <td>DOCUMENTO</td> <td>REV.</td> <td>FOGLIO</td> </tr> <tr> <td>IF1N</td> <td>01 E ZZ</td> <td>CL</td> <td>VI0205 003</td> <td>B</td> <td>137 di 140</td> </tr> </table>	COMMESSA	LOTTO	CODIFICA	DOCUMENTO	REV.	FOGLIO	IF1N	01 E ZZ	CL	VI0205 003	B	137 di 140
COMMESSA	LOTTO	CODIFICA	DOCUMENTO	REV.	FOGLIO								
IF1N	01 E ZZ	CL	VI0205 003	B	137 di 140								

Si riportano a seguire in forma sintetica le verifiche più severe dei meccanismi tirante-puntone che si innescano nel plinto della pila avente maggiore altezza tra quelle comprese nel gruppo di sottostrutture considerato nella presente relazione.

	Nmax	PEd	T	$\sigma_{s\_long}$	$\sigma_{s\_trasv}$	< 0.75 fyk	C	$\sigma_c$	< 0.40 fck'
<b>SLE-RAR</b>	4832	4012	4617	163	0	VERO	6117	3.2	VERO
	kN	kN	kN	Mpa	Mpa		kN	Mpa	

Negli allegati alla presente relazione sono riportate le verifiche in forma completa relative al plinto della pila con altezza maggiore tra quelle appartenenti al gruppo considerato.

## 11.2 VERIFICA SLU A PUNZONAMENTO

Il valore resistente a taglio-punzonamento della sezione si determina secondo le indicazioni del §4.1.2.1.3.1 e 4 [1]:

$$V_{Rd,c} = V_{Rd,c} / u \quad \text{in cui}$$

$$V_{Rd,c} = (0.18 k (100 \rho_l f_{ck})^{1/3} / \gamma_c + 0.15 \sigma_{cp}) b_w d \geq (v_{min} + 0.15 \sigma_{cp}) b_w d$$

u = perimetro efficace per la verifica a taglio-punzonamento

d = altezza utile della sezione

b<sub>w</sub> = larghezza minima della sezione

$$k = 1 + (200/d)^{1/2} \leq 2$$

$$v_{min} = 0.035 k^{3/2} f_{ck}^{1/2}$$

$$\rho_l = A_{sl} / (b_w d)$$

$$\sigma_{cp} = N_{Ed} / A_c$$

Conservativamente, la verifica è stata riferita al palo di bordo maggiormente sollecitato e lo sviluppo del perimetro efficace u è stato definito considerando una distanza dall'impronta caricata (coincidente con la sezione di testa del palo) pari a d = a 0.9 H<sub>pl</sub> (H<sub>pl</sub> = altezza plinto, a < 2), come illustrato nella seguente figura.

	<b>ITINERARIO NAPOLI – BARI</b> <b>RADDOPPIO TRATTA CANCELLO – BENEVENTO</b> <b>I° LOTTO FUNZIONALE CANCELLO - FRASSO TELESINO E</b> <b>VARIANTE ALLA LINEA ROMA-NAPOLI VIA CASSINO NEL</b> <b>COMUNE DI MADDALONI – PROGETTO ESECUTIVO</b>												
<b>Pile 07-08-09-12: Relazione di calcolo</b>	<table border="1"> <tr> <td>COMMESSA</td> <td>LOTTO</td> <td>CODIFICA</td> <td>DOCUMENTO</td> <td>REV.</td> <td>FOGLIO</td> </tr> <tr> <td>IF1N</td> <td>01 E ZZ</td> <td>CL</td> <td>VI0205 003</td> <td>B</td> <td>138 di 140</td> </tr> </table>	COMMESSA	LOTTO	CODIFICA	DOCUMENTO	REV.	FOGLIO	IF1N	01 E ZZ	CL	VI0205 003	B	138 di 140
COMMESSA	LOTTO	CODIFICA	DOCUMENTO	REV.	FOGLIO								
IF1N	01 E ZZ	CL	VI0205 003	B	138 di 140								

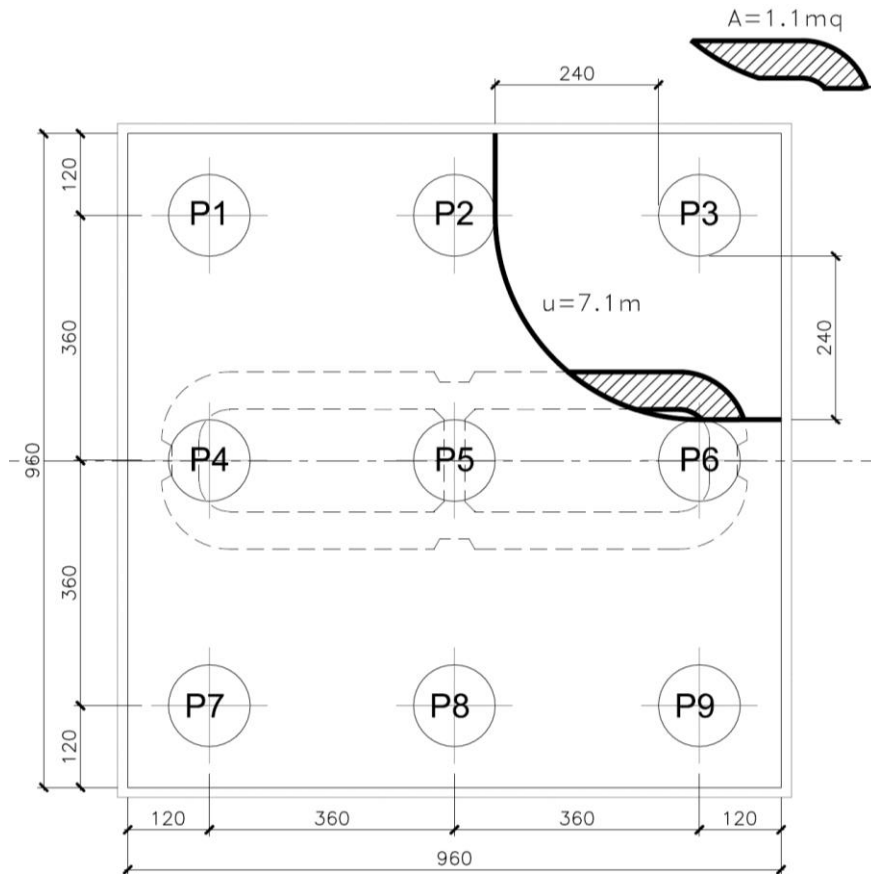


Figura 48 – Perimetro efficace per la verifica a taglio-punzonamento

A seguire si riportano il valore della forza concentrata  $V_{Ed}$  [kN] agente alla testa del palo maggiormente sollecitato nella condizione di verifica più severa, il valore del coefficiente  $a$  che individua la geometria del perimetro efficace e lo sviluppo  $u$  [m] di quest'ultimo.

La forza concentrata  $V_{Ed} = 5680$  kN è stata depurata della quota parte di forza assiale agente nella sezione di base del fusto della pila, pari a  $N_{Ed}^* = N_{Ed} \cdot A / A_c = 15500 \text{ kN} \cdot 1.1 \text{ m}^2 / 10.45 \text{ m}^2 = 1635$  kN

Si riporta a seguire in forma sintetica la verifica più severa (in combinazione SLV-SIS) a taglio-punzonamento della pila avente maggiore altezza tra quelle comprese nel gruppo di sottostrutture considerato nella presente relazione.

$V_{Ed} - N_{Ed}^*$	4446	kN
$a$	1.1	
$u$	7.1	m
$v_{Ed}$	0.262	MPa
$v_{Rd,c}$	<b>0.319</b>	MPa

Negli allegati alla presente relazione sono riportate le verifiche in forma completa.

  	<b>ITINERARIO NAPOLI – BARI</b> <b>RADDOPPIO TRATTA CANCELLO – BENEVENTO</b> <b>I° LOTTO FUNZIONALE CANCELLO - FRASSO TELESINO E</b> <b>VARIANTE ALLA LINEA ROMA-NAPOLI VIA CASSINO NEL</b> <b>COMUNE DI MADDALONI – PROGETTO ESECUTIVO</b>												
<b>Pile 07-08-09-12: Relazione di calcolo</b>	<table border="1"> <thead> <tr> <th>COMMESSA</th> <th>LOTTO</th> <th>CODIFICA</th> <th>DOCUMENTO</th> <th>REV.</th> <th>FOGLIO</th> </tr> </thead> <tbody> <tr> <td>IF1N</td> <td>01 E ZZ</td> <td>CL</td> <td>VI0205 003</td> <td>B</td> <td>139 di 140</td> </tr> </tbody> </table>	COMMESSA	LOTTO	CODIFICA	DOCUMENTO	REV.	FOGLIO	IF1N	01 E ZZ	CL	VI0205 003	B	139 di 140
COMMESSA	LOTTO	CODIFICA	DOCUMENTO	REV.	FOGLIO								
IF1N	01 E ZZ	CL	VI0205 003	B	139 di 140								

## 11.3 VERIFICA SLE A FESSURAZIONE

La verifica SLE a fessurazione si effettua verificando che il massimo valore di apertura delle fessure risulti inferiore ai seguenti valori limite:

per le combinazioni SLE-RAR:

- apertura fessure limite:  $w_{lim} = w_1 = 0.30 \text{ mm}$

Si riporta a seguire in forma sintetica la verifica più severa (in combinazione SLE-RAR) della pila avente maggiore altezza tra quelle comprese nel gruppo di sottostrutture considerato nella presente relazione.

L'ampiezza massima delle fessure calcolata è pari a

wk      **0.289**      mm

Negli allegati alla presente relazione sono riportate le verifiche in forma completa.

  	<b>ITINERARIO NAPOLI – BARI</b> <b>RADDOPPIO TRATTA CANCELLO – BENEVENTO</b> <b>I° LOTTO FUNZIONALE CANCELLO - FRASSO TELESINO E</b> <b>VARIANTE ALLA LINEA ROMA-NAPOLI VIA CASSINO NEL</b> <b>COMUNE DI MADDALONI – PROGETTO ESECUTIVO</b>												
<b>Pile 07-08-09-12: Relazione di calcolo</b>	<table border="1"> <thead> <tr> <th>COMMESSA</th> <th>LOTTO</th> <th>CODIFICA</th> <th>DOCUMENTO</th> <th>REV.</th> <th>FOGLIO</th> </tr> </thead> <tbody> <tr> <td>IF1N</td> <td>01 E ZZ</td> <td>CL</td> <td>VI0205 003</td> <td>B</td> <td>140 di 140</td> </tr> </tbody> </table>	COMMESSA	LOTTO	CODIFICA	DOCUMENTO	REV.	FOGLIO	IF1N	01 E ZZ	CL	VI0205 003	B	140 di 140
COMMESSA	LOTTO	CODIFICA	DOCUMENTO	REV.	FOGLIO								
IF1N	01 E ZZ	CL	VI0205 003	B	140 di 140								

## 12 INCIDENZE

Incidenza pulvino:	120 kg/m <sup>3</sup>
Incidenza fusto:	220 kg/m <sup>3</sup>
Incidenza platea:	80 kg/m <sup>3</sup>
Incidenza pali:	130 kg/m <sup>3</sup>

# ALLEGATO 1

---













NOME COMB.	G - Permanenti			Q1 - Variabili verticali							Q2 - Avviamento e frenatura							Q3 - Centrifuga							Q4 - Serpeggio							Q5 - Variabili Q6 - Azioni interne Q7 - Effetti d'interazione			E - Azioni sismiche			Descrizione		
	G1	G2	G22	Q11	Q12	Q13	Q14	Q15	Q16	Q17	Q21	Q22	Q23	Q24	Q25	Q26	Q27	Q31	Q32	Q33	Q34	Q35	Q36	Q37	Q41	Q42	Q43	Q44	Q45	Q46	Q47	Q51	Q61	Q71	E1	E2	E3			
SLU-SIS-044	1	1	1	0,2	0	0	0	0	0	0	0,2	0	0	0	0	0	0,1	0	0	0	0	0	0	0,1	0	0	0	0	0	0	0	0,2	0,2	0,3	1	0,3	E2	gruppo 3		
SLU-SIS-045	1	1	1	0	0,2	0	0	0	0	0	0	0,2	0	0	0	0	0	0,1	0	0	0	0	0	0	0	0,1	0	0	0	0	0	0	0	0,2	0,2	0,3	1	0,3	E2	gruppo 3
SLU-SIS-046	1	1	1	0	0	0,2	0	0	0	0	0	0	0,2	0	0	0	0	0	0,1	0	0	0	0	0	0	0	0,1	0	0	0	0	0	0	0,2	0,2	0,3	1	0,3	E2	gruppo 3
SLU-SIS-047	1	1	1	0	0	0	0,2	0	0	0	0	0	0	0,2	0	0	0	0	0	0,1	0	0	0	0	0	0	0	0,1	0	0	0	0	0,2	0,2	0,3	1	0,3	E2	gruppo 3	
SLU-SIS-048	1	1	1	0	0	0	0	0,2	0	0	0	0	0	0,2	0	0	0	0	0	0	0	0,1	0	0	0	0	0	0	0	0,1	0	0	0,2	0,2	0,3	1	0,3	E2	gruppo 3	
SLU-SIS-049	1	1	1	0	0	0	0	0	0	0,2	0	0	0	0	0,2	0	0	0	0	0	0	0	0,1	0	0	0	0	0	0	0	0,1	0	0,2	0,2	0,3	1	0,3	E2	gruppo 3	
SLU-SIS-050	1	1	0	0	0	0	0	0	0	0	0,1	0	0	0	0	0	0,2	0	0	0	0	0	0	0	0	0,1	0	0	0	0	0	0,1	0	0,2	0,2	0,3	1	0,3	E2	gruppo 3-2
SLU-SIS-051	1	1	1	0	0	0	0	0	0	0	0	0	0	0	0	0	0	0	0	0	0	0	0	0	0	0	0	0	0	0	0	0	0	0	0	0,3	1	-0,3	E2	solo perm
SLU-SIS-052	1	1	1	0	0	0	0	0	0	0	0	0	0	0	0	0	0	0	0	0	0	0	0	0	0	0	0	0	0	0	0	0	0	0,2	0,5	0,3	1	-0,3	E2	termica
SLU-SIS-053	1	1	0	0	0	0	0	0	0	0	0	0	0	0	0	0	0	0	0	0	0	0	0	0	0	0	0	0	0	0	0	0	0,2	0,5	0,3	1	-0,3	E2	termica	
SLU-SIS-054	1	1	1	0,2	0	0	0	0	0	0	0	0	0	0	0	0	0	0	0	0	0	0	0	0	0	0	0	0	0	0	0	0	0	0	0,3	1	-0,3	E2	solo vert	
SLU-SIS-055	1	1	1	0,2	0	0	0	0	0	0	0	0	0	0	0	0	0,2	0	0	0	0	0	0	0	0	0,2	0	0	0	0	0	0	0,2	0,2	0,3	1	-0,3	E2	gruppo 1	
SLU-SIS-056	1	1	1	0	0,2	0	0	0	0	0	0	0	0	0	0	0	0	0,2	0	0	0	0	0	0	0	0	0,2	0	0	0	0	0	0,2	0,2	0,3	1	-0,3	E2	gruppo 1	
SLU-SIS-057	1	1	1	0	0	0,2	0	0	0	0	0	0	0	0	0	0	0	0	0	0,2	0	0	0	0	0	0	0	0,2	0	0	0	0	0,2	0,2	0,3	1	-0,3	E2	gruppo 1	
SLU-SIS-058	1	1	1	0	0	0	0,2	0	0	0	0	0	0	0	0	0	0	0	0	0	0,2	0	0	0	0	0	0	0	0,2	0	0	0	0,2	0,2	0,3	1	-0,3	E2	gruppo 1	
SLU-SIS-059	1	1	1	0	0	0	0	0,2	0	0	0	0	0	0,1	0	0	0	0	0	0	0	0,2	0	0	0	0	0	0,2	0	0	0	0,2	0,2	0,3	1	-0,3	E2	gruppo 1		
SLU-SIS-060	1	1	1	0	0	0	0	0	0,2	0	0	0	0	0	0,1	0	0	0	0	0	0	0	0	0,2	0	0	0	0	0,2	0	0	0,2	0,2	0,3	1	-0,3	E2	gruppo 1		
SLU-SIS-061	1	1	1	0,2	0	0	0	0	0	0	0	0	0	0	0	0	0,1	0	0	0	0	0	0	0	0	0,1	0	0	0	0	0	0	0,2	0,2	0,3	1	-0,3	E2	gruppo 3	
SLU-SIS-062	1	1	1	0	0,2	0	0	0	0	0	0	0	0	0	0	0	0	0,1	0	0	0	0	0	0	0	0	0,1	0	0	0	0	0	0,2	0,2	0,3	1	-0,3	E2	gruppo 3	
SLU-SIS-063	1	1	1	0	0	0,2	0	0	0	0	0	0	0	0	0	0	0	0	0,1	0	0	0	0	0	0	0	0,1	0	0	0	0	0	0,2	0,2	0,3	1	-0,3	E2	gruppo 3	
SLU-SIS-064	1	1	1	0	0	0	0,2	0	0	0	0	0	0	0	0	0	0	0	0	0	0,1	0	0	0	0	0	0	0,1	0	0	0	0	0,2	0,2	0,3	1	-0,3	E2	gruppo 3	
SLU-SIS-065	1	1	1	0	0	0	0	0,2	0	0	0	0	0	0,2	0	0	0	0	0	0	0	0	0,1	0	0	0	0	0,1	0	0	0	0,2	0,2	0,3	1	-0,3	E2	gruppo 3		
SLU-SIS-066	1	1	1	0	0	0	0	0	0	0,2	0	0	0	0	0,2	0	0	0	0	0	0	0	0,1	0	0	0	0	0,1	0	0	0,2	0,2	0,3	1	-0,3	E2	gruppo 3			
SLU-SIS-067	1	1	0	0	0	0	0	0	0	0	0,1	0	0	0	0	0,2	0	0	0	0	0	0	0	0,1	0	0	0	0	0	0,1	0	0,2	0,2	0,3	1	-0,3	E2	gruppo 3-2		
SLU-SIS-068	1	1	1	0	0	0	0	0	0	0	0	0	0	0	0	0	0	0	0	0	0	0	0	0	0	0	0	0	0	0	0	0	0	0,3	0,3	1	E3	solo perm		
SLU-SIS-069	1	1	1	0	0	0	0	0	0	0	0	0	0	0	0	0	0	0	0	0	0	0	0	0	0	0	0	0	0	0	0	0,2	0,5	0,3	0,3	1	E3	termica		
SLU-SIS-070	1	1	0	0	0	0	0	0	0	0	0	0	0	0	0	0	0	0	0	0	0	0	0	0	0	0	0	0	0	0	0,2	0,5	0,3	0,3	1	E3	termica			
SLU-SIS-071	1	1	1	0,2	0	0	0	0	0	0	0	0	0	0	0	0	0	0	0	0	0	0	0	0	0	0	0	0	0	0	0	0	0	0,3	0,3	1	E3	solo vert		
SLU-SIS-072	1	1	1	0,2	0	0	0	0	0	0	0	0	0	0	0	0	0,2	0	0	0	0	0	0	0	0	0,2	0	0	0	0	0	0,2	0,2	0,3	0,3	1	E3	gruppo 1		
SLU-SIS-073	1	1	1	0	0,2	0	0	0	0	0	0	0	0	0	0	0	0	0,2	0	0	0	0	0	0	0	0	0,2	0	0	0	0	0,2	0,2	0,3	0,3	1	E3	gruppo 1		
SLU-SIS-074	1	1	1	0	0	0,2	0	0	0	0	0	0	0	0	0	0	0	0	0,2	0	0	0	0	0	0	0	0,2	0	0	0	0	0,2	0,2	0,3	0,3	1	E3	gruppo 1		
SLU-SIS-075	1	1	1	0	0	0	0,2	0	0	0	0	0	0	0	0	0	0	0	0	0,2	0	0	0	0	0	0	0,2	0	0	0	0	0,2	0,2	0,3	0,3	1	E3	gruppo 1		
SLU-SIS-076	1	1	1	0	0	0	0	0,2	0	0	0	0	0	0,1	0	0	0	0	0	0	0	0,2	0	0	0	0	0,2	0	0	0	0,2	0,2	0,3	0,3	1	E3	gruppo 1			
SLU-SIS-077	1	1	1	0	0	0	0	0	0	0,2	0	0	0	0	0,1	0	0	0	0	0	0	0	0,2	0	0	0	0	0,2	0	0	0,2	0,2	0,3	0,3	1	E3	gruppo 1			
SLU-SIS-078	1	1	1	0,2	0	0	0	0	0	0	0	0	0	0	0	0	0,1	0	0	0	0	0	0	0	0	0,1	0	0	0	0	0	0,2	0,2	0,3	0,3	1	E3	gruppo 3		
SLU-SIS-079	1	1	1	0	0,2	0	0	0	0	0	0	0	0	0	0	0	0	0,1	0	0	0	0	0	0	0	0	0,1	0	0	0	0	0,2	0,2	0,3	0,3	1	E3	gruppo 3		
SLU-SIS-080	1	1	1	0	0	0,2	0	0	0	0	0	0	0	0	0	0	0	0	0,1	0	0	0	0	0	0	0	0,1	0	0	0	0	0,2	0,2	0,3	0,3	1	E3	gruppo 3		

NOME COMB.	G - Permanenti			Q1 - Variabili verticali							Q2 - Avviamento e frenatura							Q3 - Centrifuga							Q4 - Serpeggio							Q5 - Variabili Q6 - Azioni interne Q7 - Effetti d'interazione			E - Azioni sismiche			Descrizione		
	G1	G2	G22	Q11	Q12	Q13	Q14	Q15	Q16	Q17	Q21	Q22	Q23	Q24	Q25	Q26	Q27	Q31	Q32	Q33	Q34	Q35	Q36	Q37	Q41	Q42	Q43	Q44	Q45	Q46	Q47	Q51	Q61	Q71	E1	E2	E3			
SLU-SIS-081	1	1	1	0	0	0	0,2	0	0	0	0	0	0	0,2	0	0	0	0	0	0,1	0	0	0	0	0	0	0,1	0	0	0	0	0,2	0,2	0,2	0,3	0,3	1	E3	gruppo 3	
SLU-SIS-082	1	1	1	0	0	0	0	0,2	0	0	0	0	0	0,2	0	0	0	0	0	0	0,1	0	0	0	0	0	0	0,1	0	0	0	0	0,2	0,2	0,2	0,3	0,3	1	E3	gruppo 3
SLU-SIS-083	1	1	1	0	0	0	0	0	0,2	0	0	0	0	0,2	0	0	0	0	0	0	0	0,1	0	0	0	0	0	0,1	0	0	0	0	0,2	0,2	0,2	0,3	0,3	1	E3	gruppo 3
SLU-SIS-084	1	1	0	0	0	0	0	0	0	0,1	0	0	0	0	0	0,2	0	0	0	0	0	0	0,1	0	0	0	0	0	0,1	0	0,2	0,2	0,2	0,2	0,3	0,3	1	E3	gruppo 3-2	
SLU-SIS-085	1	1	1	0	0	0	0	0	0	0	0	0	0	0	0	0	0	0	0	0	0	0	0	0	0	0	0	0	0	0	0	0	0	0	0,3	0,3	-1	E3	solo perm	
SLU-SIS-086	1	1	1	0	0	0	0	0	0	0	0	0	0	0	0	0	0	0	0	0	0	0	0	0	0	0	0	0	0	0,2	0,5	0,3	0,3	-1	E3	termica				
SLU-SIS-087	1	1	0	0	0	0	0	0	0	0	0	0	0	0	0	0	0	0	0	0	0	0	0	0	0	0	0	0	0,2	0,5	0,3	0,3	-1	E3	termica					
SLU-SIS-088	1	1	1	0,2	0	0	0	0	0	0	0	0	0	0	0	0	0	0	0	0	0	0	0	0	0	0	0	0	0	0	0	0	0	0,3	0,3	-1	E3	solo vert		
SLU-SIS-089	1	1	1	0,2	0	0	0	0	0	0	0	0	0	0	0	0	0,2	0	0	0	0	0	0	0	0	0,2	0	0	0	0	0	0,2	0,2	0,3	0,3	-1	E3	gruppo 1		
SLU-SIS-090	1	1	1	0	0,2	0	0	0	0	0	0	0	0	0	0	0	0	0,2	0	0	0	0	0	0	0	0,2	0	0	0	0	0	0,2	0,2	0,3	0,3	-1	E3	gruppo 1		
SLU-SIS-091	1	1	1	0	0	0,2	0	0	0	0	0	0	0	0	0	0	0	0	0,2	0	0	0	0	0	0	0	0,2	0	0	0	0	0,2	0,2	0,3	0,3	-1	E3	gruppo 1		
SLU-SIS-092	1	1	1	0	0	0	0,2	0	0	0	0	0	0	0	0	0	0	0	0	0,2	0	0	0	0	0	0	0,2	0	0	0	0,2	0,2	0,3	0,3	-1	E3	gruppo 1			
SLU-SIS-093	1	1	1	0	0	0	0	0,2	0	0	0	0	0	0,1	0	0	0	0	0	0	0	0,2	0	0	0	0	0,2	0	0	0,2	0,2	0,3	0,3	-1	E3	gruppo 1				
SLU-SIS-094	1	1	1	0	0	0	0	0	0,2	0	0	0	0	0	0,1	0	0	0	0	0	0	0	0,2	0	0	0	0	0,2	0	0,2	0,2	0,3	0,3	-1	E3	gruppo 1				
SLU-SIS-095	1	1	1	0,2	0	0	0	0	0	0	0	0	0	0	0	0	0,1	0	0	0	0	0	0	0	0,1	0	0	0	0	0	0,2	0,2	0,3	0,3	-1	E3	gruppo 3			
SLU-SIS-096	1	1	1	0	0,2	0	0	0	0	0	0	0	0	0	0	0	0	0,1	0	0	0	0	0	0	0	0,1	0	0	0	0	0,2	0,2	0,3	0,3	-1	E3	gruppo 3			
SLU-SIS-097	1	1	1	0	0	0,2	0	0	0	0	0	0	0	0	0	0	0	0	0,1	0	0	0	0	0	0	0	0,1	0	0	0	0,2	0,2	0,3	0,3	-1	E3	gruppo 3			
SLU-SIS-098	1	1	1	0	0	0	0,2	0	0	0	0	0	0	0	0	0	0	0	0	0,1	0	0	0	0	0	0	0,1	0	0	0	0,2	0,2	0,3	0,3	-1	E3	gruppo 3			
SLU-SIS-099	1	1	1	0	0	0	0	0,2	0	0	0	0	0	0,2	0	0	0	0	0	0	0,1	0	0	0	0	0	0,1	0	0	0,2	0,2	0,3	0,3	-1	E3	gruppo 3				
SLU-SIS-100	1	1	1	0	0	0	0	0	0,2	0	0	0	0	0,2	0	0	0	0	0	0	0	0,1	0	0	0	0	0,1	0	0,2	0,2	0,3	0,3	-1	E3	gruppo 3					
SLU-SIS-101	1	1	0	0	0	0	0	0	0	0,1	0	0	0	0	0	0,2	0	0	0	0	0	0	0,1	0	0	0	0	0,1	0	0,2	0,2	0,3	0,3	-1	E3	gruppo 3-2				
SLU-SIS-102	1	1	1	0	0	0	0	0	0	0	0	0	0	0	0	0	0	0	0	0	0	0	0	0	0	0	0	0	0	0	0	-1	-0,3	0,3	E1	solo perm				
SLU-SIS-103	1	1	1	0	0	0	0	0	0	0	0	0	0	0	0	0	0	0	0	0	0	0	0	0	0	0	0	0,2	0,5	-1	-0,3	0,3	E1	termica						
SLU-SIS-104	1	1	0	0	0	0	0	0	0	0	0	0	0	0	0	0	0	0	0	0	0	0	0	0	0	0	0	0,2	0,5	-1	-0,3	0,3	E1	termica						
SLU-SIS-105	1	1	1	0,2	0	0	0	0	0	0	0	0	0	0	0	0	0,2	0	0	0	0	0	0	0	0,2	0	0	0	0	0,2	0,5	-1	-0,3	0,3	E1	gruppo 1				
SLU-SIS-106	1	1	1	0	0,2	0	0	0	0	0	0	0	0	0	0	0	0	0,2	0	0	0	0	0	0	0	0,2	0	0	0	0,2	0,5	-1	-0,3	0,3	E1	gruppo 1				
SLU-SIS-107	1	1	1	0	0	0,2	0	0	0	0	0	0	0	0	0	0	0	0	0,2	0	0	0	0	0	0	0,2	0	0	0,2	0,5	-1	-0,3	0,3	E1	gruppo 1					
SLU-SIS-108	1	1	1	0	0	0	0,2	0	0	0	0	0	0	0	0	0	0	0	0	0,2	0	0	0	0	0	0,2	0	0	0,2	0,5	-1	-0,3	0,3	E1	gruppo 1					
SLU-SIS-109	1	1	1	0	0	0	0	0,2	0	0	0	0	0	0,1	0	0	0	0	0	0	0	0,2	0	0	0	0	0,2	0	0,2	0,5	-1	-0,3	0,3	E1	gruppo 1					
SLU-SIS-110	1	1	1	0	0	0	0	0	0,2	0	0	0	0	0,1	0	0	0	0	0	0	0	0,2	0	0	0	0	0,2	0	0,2	0,5	-1	-0,3	0,3	E1	gruppo 1					
SLU-SIS-111	1	1	1	0,2	0	0	0	0	0	0	0	0	0	0	0	0	0,1	0	0	0	0	0	0	0	0,1	0	0	0	0	0,2	0,5	-1	-0,3	0,3	E1	gruppo 3				
SLU-SIS-112	1	1	1	0	0,2	0	0	0	0	0	0	0	0	0	0	0	0	0,1	0	0	0	0	0	0	0	0,1	0	0	0	0,2	0,5	-1	-0,3	0,3	E1	gruppo 3				
SLU-SIS-113	1	1	1	0	0	0,2	0	0	0	0	0	0	0	0	0	0	0	0	0,1	0	0	0	0	0	0	0,1	0	0	0	0,2	0,5	-1	-0,3	0,3	E1	gruppo 3				
SLU-SIS-114	1	1	1	0	0	0	0,2	0	0	0	0	0	0	0	0	0	0	0	0	0,1	0	0	0	0	0	0,1	0	0	0	0,2	0,5	-1	-0,3	0,3	E1	gruppo 3				
SLU-SIS-115	1	1	1	0	0	0	0	0,2	0	0	0	0	0	0,2	0	0	0	0	0	0	0,1	0	0	0	0	0,1	0	0	0,2	0,5	-1	-0,3	0,3	E1	gruppo 3					
SLU-SIS-116	1	1	1	0	0	0	0	0	0,2	0	0	0	0	0,2	0	0	0	0	0	0	0	0,1	0	0	0	0	0,1	0	0,2	0,5	-1	-0,3	0,3	E1	gruppo 3					
SLU-SIS-117	1	1	0	0	0	0	0	0	0	0,1	0	0	0	0	0	0,2	0	0	0	0	0	0	0,1	0	0	0	0	0,1	0	0,2	0,5	-1	-0,3	0,3	E1	gruppo 3-2				

NOME COMB.	G - Permanenti			Q1 - Variabili verticali							Q2 - Avviamento e frenatura							Q3 - Centrifuga							Q4 - Serpeggio							Q5 - Variabili Q6 - Azioni interne Q7 - Effetti d'interazione			E - Azioni sismiche			Descrizione			
	G1	G2	G22	Q11	Q12	Q13	Q14	Q15	Q16	Q17	Q21	Q22	Q23	Q24	Q25	Q26	Q27	Q31	Q32	Q33	Q34	Q35	Q36	Q37	Q41	Q42	Q43	Q44	Q45	Q46	Q47	Q51	Q61	Q71	E1	E2	E3				
SLU-SIS-118	1	1	1	0	0	0	0	0	0	0	0	0	0	0	0	0	0	0	0	0	0	0	0	0	0	0	0	0	0	0	0	0	0	0	0	-1	-0,3	-0,3	E1	solo perm	
SLU-SIS-119	1	1	1	0	0	0	0	0	0	0	0	0	0	0	0	0	0	0	0	0	0	0	0	0	0	0	0	0	0	0	0	0	0	0	0,2	0,5	-1	-0,3	-0,3	E1	termica
SLU-SIS-120	1	1	0	0	0	0	0	0	0	0	0	0	0	0	0	0	0	0	0	0	0	0	0	0	0	0	0	0	0	0	0	0	0	0,2	0,5	-1	-0,3	-0,3	E1	termica	
SLU-SIS-121	1	1	1	0,2	0	0	0	0	0	0	0	0	0	0	0	0	0	0	0	0	0	0	0	0	0	0	0	0	0	0	0	0	0	0	0	-1	-0,3	-0,3	E1	solo vert	
SLU-SIS-122	1	1	1	0,2	0	0	0	0	0	0	0	0,1	0	0	0	0	0	0,2	0	0	0	0	0	0	0	0,2	0	0	0	0	0	0	0	0,2	0,2	-1	-0,3	-0,3	E1	gruppo 1	
SLU-SIS-123	1	1	1	0	0,2	0	0	0	0	0	0	0	0,1	0	0	0	0	0	0,2	0	0	0	0	0	0	0	0,2	0	0	0	0	0	0	0,2	0,2	-1	-0,3	-0,3	E1	gruppo 1	
SLU-SIS-124	1	1	1	0	0	0,2	0	0	0	0	0	0	0	0,1	0	0	0	0	0	0,2	0	0	0	0	0	0	0	0,2	0	0	0	0	0	0,2	0,2	-1	-0,3	-0,3	E1	gruppo 1	
SLU-SIS-125	1	1	1	0	0	0	0,2	0	0	0	0	0	0	0	0,1	0	0	0	0	0	0,2	0	0	0	0	0	0	0,2	0	0	0	0	0	0,2	0,2	-1	-0,3	-0,3	E1	gruppo 1	
SLU-SIS-126	1	1	1	0	0	0	0	0,2	0	0	0	0	0	0	0,1	0	0	0	0	0	0,2	0	0	0	0	0	0,2	0	0	0	0	0	0,2	0,2	-1	-0,3	-0,3	E1	gruppo 1		
SLU-SIS-127	1	1	1	0	0	0	0	0	0	0,2	0	0	0	0	0	0,1	0	0	0	0	0	0	0	0,2	0	0	0	0	0,2	0	0	0	0,2	0,2	-1	-0,3	-0,3	E1	gruppo 1		
SLU-SIS-128	1	1	1	0,2	0	0	0	0	0	0	0	0,2	0	0	0	0	0	0,1	0	0	0	0	0	0	0	0,1	0	0	0	0	0	0	0,2	0,2	-1	-0,3	-0,3	E1	gruppo 3		
SLU-SIS-129	1	1	1	0	0,2	0	0	0	0	0	0	0	0,2	0	0	0	0	0	0,1	0	0	0	0	0	0	0	0,1	0	0	0	0	0	0,2	0,2	-1	-0,3	-0,3	E1	gruppo 3		
SLU-SIS-130	1	1	1	0	0	0,2	0	0	0	0	0	0	0	0	0	0	0	0	0,1	0	0	0	0	0	0	0	0,1	0	0	0	0	0	0,2	0,2	-1	-0,3	-0,3	E1	gruppo 3		
SLU-SIS-131	1	1	1	0	0	0	0,2	0	0	0	0	0	0	0	0	0	0	0	0	0,1	0	0	0	0	0	0	0,1	0	0	0	0	0	0,2	0,2	-1	-0,3	-0,3	E1	gruppo 3		
SLU-SIS-132	1	1	1	0	0	0	0	0,2	0	0	0	0	0	0	0,2	0	0	0	0	0	0	0,1	0	0	0	0	0,1	0	0	0	0	0	0,2	0,2	-1	-0,3	-0,3	E1	gruppo 3		
SLU-SIS-133	1	1	1	0	0	0	0	0	0	0,2	0	0	0	0	0	0,2	0	0	0	0	0	0	0	0,1	0	0	0	0	0,1	0	0	0,2	0,2	-1	-0,3	-0,3	E1	gruppo 3			
SLU-SIS-134	1	1	0	0	0	0	0	0	0	0	0,1	0	0	0	0	0	0,2	0	0	0	0	0	0	0	0,1	0	0	0	0	0	0,1	0	0,2	0,2	-1	-0,3	-0,3	E1	gruppo 3-2		
SLU-SIS-135	1	1	1	0	0	0	0	0	0	0	0	0	0	0	0	0	0	0	0	0	0	0	0	0	0	0	0	0	0	0	0	0	0	0	0	-0,3	-1	0,3	E2	solo perm	
SLU-SIS-136	1	1	1	0	0	0	0	0	0	0	0	0	0	0	0	0	0	0	0	0	0	0	0	0	0	0	0	0	0	0	0	0	0,2	0,5	-0,3	-1	0,3	E2	termica		
SLU-SIS-137	1	1	0	0	0	0	0	0	0	0	0	0	0	0	0	0	0	0	0	0	0	0	0	0	0	0	0	0	0	0	0	0,2	0,5	-0,3	-1	0,3	E2	termica			
SLU-SIS-138	1	1	1	0,2	0	0	0	0	0	0	0	0	0	0	0	0	0	0	0	0	0	0	0	0	0	0	0	0	0	0	0	0	0	0	0	-0,3	-1	0,3	E2	solo vert	
SLU-SIS-139	1	1	1	0,2	0	0	0	0	0	0	0	0,1	0	0	0	0	0	0,2	0	0	0	0	0	0	0	0,2	0	0	0	0	0	0	0,2	0,2	-0,3	-1	0,3	E2	gruppo 1		
SLU-SIS-140	1	1	1	0	0,2	0	0	0	0	0	0	0	0,1	0	0	0	0	0	0,2	0	0	0	0	0	0	0	0,2	0	0	0	0	0	0,2	0,2	-0,3	-1	0,3	E2	gruppo 1		
SLU-SIS-141	1	1	1	0	0	0,2	0	0	0	0	0	0	0	0	0	0	0	0	0	0,2	0	0	0	0	0	0	0,2	0	0	0	0	0	0,2	0,2	-0,3	-1	0,3	E2	gruppo 1		
SLU-SIS-142	1	1	1	0	0	0	0,2	0	0	0	0	0	0	0	0	0	0	0	0	0,2	0	0	0	0	0	0	0	0,2	0	0	0	0	0,2	0,2	-0,3	-1	0,3	E2	gruppo 1		
SLU-SIS-143	1	1	1	0	0	0	0	0,2	0	0	0	0	0,1	0	0	0	0	0	0	0	0,2	0	0	0	0	0	0,2	0	0	0	0	0,2	0,2	-0,3	-1	0,3	E2	gruppo 1			
SLU-SIS-144	1	1	1	0	0	0	0	0	0	0,2	0	0	0	0	0,1	0	0	0	0	0	0	0	0,2	0	0	0	0	0,2	0	0	0,2	0,2	-0,3	-1	0,3	E2	gruppo 1				
SLU-SIS-145	1	1	1	0,2	0	0	0	0	0	0	0	0,2	0	0	0	0	0,1	0	0	0	0	0	0	0	0,1	0	0	0	0	0	0	0,2	0,2	-0,3	-1	0,3	G1+G2	gruppo 3			
SLU-SIS-146	1	1	1	0	0,2	0	0	0	0	0	0	0	0	0	0	0	0	0,1	0	0	0	0	0	0	0	0	0,1	0	0	0	0	0,2	0,2	-0,3	-1	0,3	G1+G2	gruppo 3			
SLU-SIS-147	1	1	1	0	0	0,2	0	0	0	0	0	0	0	0	0	0	0	0	0,1	0	0	0	0	0	0	0	0,1	0	0	0	0	0,2	0,2	-0,3	-1	0,3	G1+G2	gruppo 3			
SLU-SIS-148	1	1	1	0	0	0	0,2	0	0	0	0	0	0	0	0	0	0	0	0	0,1	0	0	0	0	0	0	0,1	0	0	0	0	0,2	0,2	-0,3	-1	0,3	G1+G2	gruppo 3			
SLU-SIS-149	1	1	1	0	0	0	0	0,2	0	0	0	0	0	0	0,2	0	0	0	0	0	0	0	0,1	0	0	0	0	0,1	0	0	0	0,2	0,2	-0,3	-1	0,3	G1+G2	gruppo 3			
SLU-SIS-150	1	1	1	0	0	0	0	0	0	0,2	0	0	0	0	0,2	0	0	0	0	0	0	0	0,1	0	0	0	0	0,1	0	0	0,2	0,2	-0,3	-1	0,3	G1+G2	gruppo 3				
SLU-SIS-151	1	1	0	0	0	0	0	0	0	0	0,1	0	0	0	0	0	0,2	0	0	0	0	0	0	0,1	0	0	0	0	0	0,1	0	0,2	0,2	-0,3	-1	0,3	E2	gruppo 3-2			
SLU-SIS-152	1	1	1	0	0	0	0	0	0	0	0	0	0	0	0	0	0	0	0	0	0	0	0	0	0	0	0	0	0	0	0	0	0	0	-0,3	-1	-0,3	E2	solo perm		
SLU-SIS-153	1	1	1	0	0	0	0	0	0	0	0	0	0	0	0	0	0	0	0	0	0	0	0	0	0	0	0	0	0	0	0,2	0,5	-0,3	-1	-0,3	E2	termica				
SLU-SIS-154	1	1	0	0	0	0	0	0	0	0	0	0	0	0	0	0	0	0	0	0	0	0	0	0	0	0	0	0	0	0	0,2	0,5	-0,3	-1	-0,3	E2	termica				

NOME COMB.	G - Permanenti			Q1 - Variabili verticali							Q2 - Avviamento e frenatura							Q3 - Centrifuga							Q4 - Serpeggio							Q5 - Variabili Q6 - Azioni interne Q7 - Effetti d'interazione			E - Azioni sismiche			Descrizione		
	G1	G2	G22	Q11	Q12	Q13	Q14	Q15	Q16	Q17	Q21	Q22	Q23	Q24	Q25	Q26	Q27	Q31	Q32	Q33	Q34	Q35	Q36	Q37	Q41	Q42	Q43	Q44	Q45	Q46	Q47	Q51	Q61	Q71	E1	E2	E3			
SLU-SIS-155	1	1	1	0,2	0	0	0	0	0	0	0	0	0	0	0	0	0	0	0	0	0	0	0	0	0	0	0	0	0	0	0	0	0	0	0	-0,3	-1	-0,3	E2	solo vert
SLU-SIS-156	1	1	1	0,2	0	0	0	0	0	0	0	0,1	0	0	0	0	0	0,2	0	0	0	0	0	0	0	0,2	0	0	0	0	0	0	0	0,2	0,2	-0,3	-1	-0,3	E2	gruppo 1
SLU-SIS-157	1	1	1	0	0,2	0	0	0	0	0	0	0	0,1	0	0	0	0	0,2	0	0	0	0	0	0	0	0,2	0	0	0	0	0	0	0,2	0,2	-0,3	-1	-0,3	E2	gruppo 1	
SLU-SIS-158	1	1	1	0	0	0,2	0	0	0	0	0	0	0	0,1	0	0	0	0	0,2	0	0	0	0	0	0	0	0,2	0	0	0	0	0,2	0,2	-0,3	-1	-0,3	E2	gruppo 1		
SLU-SIS-159	1	1	1	0	0	0	0,2	0	0	0	0	0	0	0	0,1	0	0	0	0	0,2	0	0	0	0	0	0	0	0,2	0	0	0	0,2	0,2	-0,3	-1	-0,3	E2	gruppo 1		
SLU-SIS-160	1	1	1	0	0	0	0	0,2	0	0	0	0	0	0	0,1	0	0	0	0	0	0	0	0,2	0	0	0	0	0	0,2	0	0	0,2	0,2	-0,3	-1	-0,3	E2	gruppo 1		
SLU-SIS-161	1	1	1	0	0	0	0	0	0,2	0	0	0	0	0	0,1	0	0	0	0	0	0	0	0	0,2	0	0	0	0	0,2	0	0	0,2	0,2	-0,3	-1	-0,3	E2	gruppo 1		
SLU-SIS-162	1	1	1	0,2	0	0	0	0	0	0	0	0,2	0	0	0	0	0,1	0	0	0	0	0	0	0	0	0	0,1	0	0	0	0	0,2	0,2	-0,3	-1	-0,3	E2	gruppo 3		
SLU-SIS-163	1	1	1	0	0,2	0	0	0	0	0	0	0	0,2	0	0	0	0	0,1	0	0	0	0	0	0	0	0	0,1	0	0	0	0	0,2	0,2	-0,3	-1	-0,3	E2	gruppo 3		
SLU-SIS-164	1	1	1	0	0	0,2	0	0	0	0	0	0	0	0	0	0	0	0,1	0	0	0	0	0	0	0	0	0,1	0	0	0	0	0,2	0,2	-0,3	-1	-0,3	E2	gruppo 3		
SLU-SIS-165	1	1	1	0	0	0	0,2	0	0	0	0	0	0	0	0,2	0	0	0	0	0	0	0,1	0	0	0	0	0	0,1	0	0	0	0,2	0,2	-0,3	-1	-0,3	E2	gruppo 3		
SLU-SIS-166	1	1	1	0	0	0	0	0,2	0	0	0	0	0	0	0,2	0	0	0	0	0	0	0	0,1	0	0	0	0	0,1	0	0	0	0,2	0,2	-0,3	-1	-0,3	E2	gruppo 3		
SLU-SIS-167	1	1	1	0	0	0	0	0	0,2	0	0	0	0	0	0,2	0	0	0	0	0	0	0	0,1	0	0	0	0	0,1	0	0	0,2	0,2	-0,3	-1	-0,3	E2	gruppo 3			
SLU-SIS-168	1	1	0	0	0	0	0	0	0	0	0,1	0	0	0	0	0	0,2	0	0	0	0	0	0	0	0,1	0	0	0	0	0,1	0	0,2	0,2	-0,3	-1	-0,3	E2	gruppo 3-2		
SLU-SIS-169	1	1	1	0	0	0	0	0	0	0	0	0	0	0	0	0	0	0	0	0	0	0	0	0	0	0	0	0	0	0	0	0	0	0	-0,3	-0,3	1	E3	solo perm	
SLU-SIS-170	1	1	1	0	0	0	0	0	0	0	0	0	0	0	0	0	0	0	0	0	0	0	0	0	0	0	0	0	0	0	0,2	0,5	-0,3	-0,3	1	E3	termica			
SLU-SIS-171	1	1	0	0	0	0	0	0	0	0	0	0	0	0	0	0	0	0	0	0	0	0	0	0	0	0	0	0	0	0,2	0,5	-0,3	-0,3	1	E3	termica				
SLU-SIS-172	1	1	1	0,2	0	0	0	0	0	0	0	0	0	0	0	0	0	0	0	0	0	0	0	0	0	0	0	0	0	0	0	0	0	-0,3	-0,3	1	E3	solo vert		
SLU-SIS-173	1	1	1	0,2	0	0	0	0	0	0	0	0,1	0	0	0	0	0	0,2	0	0	0	0	0	0	0	0,2	0	0	0	0	0	0,2	0,2	-0,3	-0,3	1	E3	gruppo 1		
SLU-SIS-174	1	1	1	0	0,2	0	0	0	0	0	0	0	0,1	0	0	0	0	0,2	0	0	0	0	0	0	0	0,2	0	0	0	0	0,2	0,2	-0,3	-0,3	1	E3	gruppo 1			
SLU-SIS-175	1	1	1	0	0	0,2	0	0	0	0	0	0	0	0	0	0	0	0	0,2	0	0	0	0	0	0	0	0,2	0	0	0	0,2	0,2	-0,3	-0,3	1	E3	gruppo 1			
SLU-SIS-176	1	1	1	0	0	0	0,2	0	0	0	0	0	0	0	0	0	0	0	0	0,2	0	0	0	0	0	0	0,2	0	0	0	0,2	0,2	-0,3	-0,3	1	E3	gruppo 1			
SLU-SIS-177	1	1	1	0	0	0	0	0,2	0	0	0	0	0	0,1	0	0	0	0	0	0	0	0	0,2	0	0	0	0,2	0	0	0	0,2	0,2	-0,3	-0,3	1	E3	gruppo 1			
SLU-SIS-178	1	1	1	0	0	0	0	0	0,2	0	0	0	0	0	0,1	0	0	0	0	0	0	0	0,2	0	0	0	0,2	0	0	0,2	0,2	-0,3	-0,3	1	E3	gruppo 1				
SLU-SIS-179	1	1	1	0,2	0	0	0	0	0	0	0	0,2	0	0	0	0	0	0,1	0	0	0	0	0	0	0	0,1	0	0	0	0	0,2	0,2	-0,3	-0,3	1	E3	gruppo 3			
SLU-SIS-180	1	1	1	0	0,2	0	0	0	0	0	0	0	0,2	0	0	0	0	0,1	0	0	0	0	0	0	0	0,1	0	0	0	0	0,2	0,2	-0,3	-0,3	1	E3	gruppo 3			
SLU-SIS-181	1	1	1	0	0	0,2	0	0	0	0	0	0	0	0	0	0	0	0	0,1	0	0	0	0	0	0	0	0,1	0	0	0	0,2	0,2	-0,3	-0,3	1	E3	gruppo 3			
SLU-SIS-182	1	1	1	0	0	0	0,2	0	0	0	0	0	0	0	0	0	0	0	0	0,1	0	0	0	0	0	0	0,1	0	0	0	0,2	0,2	-0,3	-0,3	1	E3	gruppo 3			
SLU-SIS-183	1	1	1	0	0	0	0	0,2	0	0	0	0	0	0,2	0	0	0	0	0	0	0	0,1	0	0	0	0	0,1	0	0	0	0,2	0,2	-0,3	-0,3	1	E3	gruppo 3			
SLU-SIS-184	1	1	1	0	0	0	0	0	0,2	0	0	0	0	0	0,2	0	0	0	0	0	0	0	0,1	0	0	0	0	0,1	0	0	0,2	0,2	-0,3	-0,3	1	E3	gruppo 3			
SLU-SIS-185	1	1	0	0	0	0	0	0	0	0	0,1	0	0	0	0	0	0,2	0	0	0	0	0	0	0,1	0	0	0	0	0,1	0	0,2	0,2	-0,3	-0,3	1	E3	gruppo 3-2			
SLU-SIS-186	1	1	1	0	0	0	0	0	0	0	0	0	0	0	0	0	0	0	0	0	0	0	0	0	0	0	0	0	0	0	0	0	0	-0,3	-0,3	-1	E3	solo perm		
SLU-SIS-187	1	1	1	0	0	0	0	0	0	0	0	0	0	0	0	0	0	0	0	0	0	0	0	0	0	0	0	0	0	0,2	0,5	-0,3	-0,3	-1	E3	termica				
SLU-SIS-188	1	1	0	0	0	0	0	0	0	0	0	0	0	0	0	0	0	0	0	0	0	0	0	0	0	0	0	0	0	0,2	0,5	-0,3	-0,3	-1	E3	termica				
SLU-SIS-189	1	1	1	0,2	0	0	0	0	0	0	0	0	0	0	0	0	0	0	0	0	0	0	0	0	0	0	0	0	0	0	0	0	-0,3	-0,3	-1	E3	solo vert			
SLU-SIS-190	1	1	1	0,2	0	0	0	0	0	0	0	0,1	0	0	0	0	0	0,2	0	0	0	0	0	0	0	0,2	0	0	0	0	0,2	0,2	-0,3	-0,3	-1	E3	gruppo 1			
SLU-SIS-191	1	1	1	0	0,2	0	0	0	0	0	0	0	0,1	0	0	0	0	0,2	0	0	0	0	0	0	0	0,2	0	0	0	0	0,2	0,2	-0,3	-0,3	-1	E3	gruppo 1			

NOME COMB.	G - Permanenti			Q1 - Variabili verticali							Q2 - Avviamento e frenatura							Q3 - Centrifuga							Q4 - Serpeggio							Q5 - Variabili Q6 - Azioni interne Q7 - Effetti d'interazione			E - Azioni sismiche			Descrizione							
	G1	G2	G22	Q11	Q12	Q13	Q14	Q15	Q16	Q17	Q21	Q22	Q23	Q24	Q25	Q26	Q27	Q31	Q32	Q33	Q34	Q35	Q36	Q37	Q41	Q42	Q43	Q44	Q45	Q46	Q47	Q51	Q61	Q71	E1	E2	E3								
SLU-SIS-192	1	1	1	0	0	0,2	0	0	0	0	0	0	0	0,1	0	0	0	0	0	0,2	0	0	0	0	0	0	0	0,2	0	0	0	0	0	0,2	0,2	0,2	-0,3	-0,3	-1	E3	gruppo 1				
SLU-SIS-193	1	1	1	0	0	0	0,2	0	0	0	0	0	0	0	0	0	0	0	0	0,2	0	0	0	0	0	0	0	0	0,2	0	0	0	0	0	0,2	0,2	0,2	-0,3	-0,3	-1	E3	gruppo 1			
SLU-SIS-194	1	1	1	0	0	0	0	0,2	0	0	0	0	0	0,1	0	0	0	0	0	0	0,2	0	0	0	0	0	0	0	0,2	0	0	0	0	0,2	0,2	0,2	-0,3	-0,3	-1	E3	gruppo 1				
SLU-SIS-195	1	1	1	0	0	0	0	0	0,2	0	0	0	0	0	0,1	0	0	0	0	0	0	0,2	0	0	0	0	0	0	0,2	0	0	0	0	0,2	0,2	0,2	-0,3	-0,3	-1	E3	gruppo 1				
SLU-SIS-196	1	1	1	0,2	0	0	0	0	0	0	0	0	0	0	0	0	0	0,1	0	0	0	0	0	0	0	0	0,1	0	0	0	0	0	0	0,2	0,2	0,2	-0,3	-0,3	-1	E3	gruppo 3				
SLU-SIS-197	1	1	1	0	0,2	0	0	0	0	0	0	0	0	0	0	0	0	0	0,1	0	0	0	0	0	0	0	0	0,1	0	0	0	0	0	0,2	0,2	0,2	-0,3	-0,3	-1	E3	gruppo 3				
SLU-SIS-198	1	1	1	0	0	0,2	0	0	0	0	0	0	0	0	0	0	0	0	0	0,1	0	0	0	0	0	0	0	0	0,1	0	0	0	0	0,2	0,2	0,2	-0,3	-0,3	-1	E3	gruppo 3				
SLU-SIS-199	1	1	1	0	0	0	0,2	0	0	0	0	0	0	0	0	0	0	0	0	0	0,1	0	0	0	0	0	0	0	0,1	0	0	0	0	0,2	0,2	0,2	-0,3	-0,3	-1	E3	gruppo 3				
SLU-SIS-200	1	1	1	0	0	0	0	0,2	0	0	0	0	0	0,2	0	0	0	0	0	0	0	0,1	0	0	0	0	0	0	0,1	0	0	0	0	0,2	0,2	0,2	-0,3	-0,3	-1	E3	gruppo 3				
SLU-SIS-201	1	1	1	0	0	0	0	0	0	0,2	0	0	0	0	0,2	0	0	0	0	0	0	0	0,1	0	0	0	0	0	0,1	0	0	0	0	0,2	0,2	0,2	-0,3	-0,3	-1	E3	gruppo 3				
SLU-SIS-202	1	1	0	0	0	0	0	0	0	0	0	0	0	0	0	0,2	0	0	0	0	0	0	0	0,1	0	0	0	0	0	0	0	0	0,1	0,2	0,2	0,2	-0,3	-0,3	-1	E3	gruppo 3-2				
SLE-RAR-001	1	1	1	0	0	0	0	0	0	0	0	0	0	0	0	0	0	0	0	0	0	0	0	0	0	0	0	0	0	0	0	0	0	0	0	0	0	0	0	G1+G2	solo perm				
SLE-RAR-002	1	1	1	0	0	0	0	0	0	0	0	0	0	0	0	0	0	0	0	0	0	0	0	0	0	0	0	0	0	0	0	0	0	0	0	0	0	0	0	Q51	vento				
SLE-RAR-003	1	1	1	0	0	0	0	0	0	0	0	0	0	0	0	0	0	0	0	0	0	0	0	0	0	0	0	0	0	0	0	0	0	0	0	0	0	0	0	0	Q61	termica			
SLE-RAR-004	1	1	0	0	0	0	0	0	0	0	0	0	0	0	0	0	0	0	0	0	0	0	0	0	0	0	0	0	0	0	0	0	0	0	0	0	0	0	0	0	Q51	vento			
SLE-RAR-005	1	1	0	0	0	0	0	0	0	0	0	0	0	0	0	0	0	0	0	0	0	0	0	0	0	0	0	0	0	0	0	0	0	0	0	0	0	0	0	0	Q61	termica			
SLE-RAR-006	1	1	1	1	0	0	0	0	0	0	0	0	0	0	0	0	0	1	0	0	0	0	0	0	0	0	0	1	0	0	0	0	0	0	0	0	0	0	0	0	0	Q11	gruppo 1		
SLE-RAR-007	1	1	1	0	1	0	0	0	0	0	0	0	0	0	0,5	0	0	0	1	0	0	0	0	0	0	0	0	0	1	0	0	0	0	0	0	0	0	0	0	0	0	Q12	gruppo 1		
SLE-RAR-008	1	1	1	0	0	1	0	0	0	0	0	0	0	0	0	0	0	0	0	1	0	0	0	0	0	0	0	0	0	1	0	0	0	0	0	0	0	0	0	0	0	Q13	gruppo 1		
SLE-RAR-009	1	1	1	0	0	0	1	0	0	0	0	0	0	0	0	0	0	0	0	0	1	0	0	0	0	0	0	0	0	1	0	0	0	0	0	0	0	0	0	0	0	Q14	gruppo 1		
SLE-RAR-010	1	1	1	0	0	0	0	0	1	0	0	0	0	0	0,5	0	0	0	0	0	0	0	0	0	0	0	0	0	0	0	0	0	0	0	0	0	0	0	0	0	0	Q15	gruppo 1		
SLE-RAR-011	1	1	1	0	0	0	0	0	0	1	0	0	0	0	0,5	0	0	0	0	0	0	0	0	0	0	0	0	0	0	0	0	0	0	0	0	0	0	0	0	0	0	Q16	gruppo 1		
SLE-RAR-012	1	1	1	1	0	0	0	0	0	0	0	0	0	0	0	0	0	0,5	0	0	0	0	0	0	0	0	0,5	0	0	0	0	0	0	0	0	0	0	0	0	0	0	0	Q11	gruppo 3	
SLE-RAR-013	1	1	1	0	1	0	0	0	0	0	0	0	0	0	0	0	0	0	0,5	0	0	0	0	0	0	0	0	0,5	0	0	0	0	0	0	0	0	0	0	0	0	0	0	Q12	gruppo 3	
SLE-RAR-014	1	1	1	0	0	1	0	0	0	0	0	0	0	0	0	0	0	0	0	0,5	0	0	0	0	0	0	0	0	0,5	0	0	0	0	0	0	0	0	0	0	0	0	0	Q13	gruppo 3	
SLE-RAR-015	1	1	1	0	0	0	1	0	0	0	0	0	0	0	0	0	0	0	0	0	0,5	0	0	0	0	0	0	0,5	0	0	0	0	0	0	0	0	0	0	0	0	0	0	Q14	gruppo 3	
SLE-RAR-016	1	1	1	0	0	0	0	0	1	0	0	0	0	0	0	0	0	0	0	0	0	0	0	0	0	0	0	0,5	0	0	0	0	0	0	0	0	0	0	0	0	0	0	0	Q15	gruppo 3
SLE-RAR-017	1	1	1	0	0	0	0	0	0	1	0	0	0	0	0	0	0	0	0	0	0	0	0	0	0	0	0	0	0	0	0	0	0	0	0	0	0	0	0	0	0	0	Q16	gruppo 3	
SLE-RAR-018	1	1	0	0	0	0	0	0	0	0	0	0	0	0	0	0	1	0	0	0	0	0	0	0	0	0	0	0	0	0	0	0	0	0	0	0,5	0	0	0	0	0	0	Q27	gruppo 3-2	
SLE-RAR-019	1	1	1	1	0	0	0	0	0	0	0	0	0	0	0	0	0	1	0	0	0	0	0	0	0	0	0	0	0	0	0	0	0	0	0	0	0	0	0	0	0	0	Q11	gruppo 1	
SLE-RAR-020	1	1	1	0	1	0	0	0	0	0	0	0	0	0	0	0	0	0	0	1	0	0	0	0	0	0	0	0	0	1	0	0	0	0	0	0	0	0	0	0	0	0	Q12	gruppo 1	
SLE-RAR-021	1	1	1	0	0	1	0	0	0	0	0	0	0	0	0	0	0	0	0	1	0	0	0	0	0	0	0	0	0	1	0	0	0	0	0	0	0	0	0	0	0	0	Q13	gruppo 1	
SLE-RAR-022	1	1	1	0	0	0	1	0	0	0	0	0	0	0	0	0	0	0	0	0	1	0	0	0	0	0	0	0	0	1	0	0	0	0	0	0	0	0	0	0	0	0	Q14	gruppo 1	
SLE-RAR-023	1	1	1	0	0	0	0	0	1	0	0	0	0	0,5	0	0	0	0	0	0	0	0	0	0	0	0	0	0	0	0	0	0	0	0	0	0	0	0	0	0	0	0	Q15	gruppo 1	
SLE-RAR-024	1	1	1	0	0	0	0	0	0	1	0	0	0	0	0,5	0	0	0	0	0	0	0	0	0	0	0	0	0	0	0	0	0	0	0	0	0	0	0	0	0	0	0	Q16	gruppo 1	
SLE-RAR-025	1	1	1	1	0	0	0	0	0	0	0	0	0	0	0	0	0	0,5	0	0	0	0	0	0	0	0	0,5	0	0	0	0	0	0	0	0	0	0	0	0	0	0	0	0	Q11	gruppo 3

NOME COMB.	G - Permanenti			Q1 - Variabili verticali							Q2 - Avviamento e frenatura							Q3 - Centrifuga							Q4 - Serpeggio							Q5 - Variabili Q6 - Azioni interne Q7 - Effetti d'interazione			E - Azioni sismiche			Descrizione							
	G1	G2	G22	Q11	Q12	Q13	Q14	Q15	Q16	Q17	Q21	Q22	Q23	Q24	Q25	Q26	Q27	Q31	Q32	Q33	Q34	Q35	Q36	Q37	Q41	Q42	Q43	Q44	Q45	Q46	Q47	Q51	Q61	Q71	E1	E2	E3								
SLE-RAR-026	1	1	1	0	1	0	0	0	0	0	0	1	0	0	0	0	0	0,5	0	0	0	0	0	0	0	0,5	0	0	0	0	0	0	0,6	0	0	0	0	0	0	Q12	gruppo 3				
SLE-RAR-027	1	1	1	0	0	1	0	0	0	0	0	0	0	1	0	0	0	0	0	0,5	0	0	0	0	0	0	0	0,5	0	0	0	0	0	0	0,6	0	0	0	0	0	0	Q13	gruppo 3		
SLE-RAR-028	1	1	1	0	0	0	1	0	0	0	0	0	0	1	0	0	0	0	0	0	0,5	0	0	0	0	0	0	0	0,5	0	0	0	0	0	0	0,6	0	0	0	0	0	0	Q14	gruppo 3	
SLE-RAR-029	1	1	1	0	0	0	0	0	1	0	0	0	0	1	0	0	0	0	0	0	0	0,5	0	0	0	0	0	0	0	0,5	0	0	0	0,6	0	0	0	0	0	0	0	0	Q15	gruppo 3	
SLE-RAR-030	1	1	1	0	0	0	0	0	0	1	0	0	0	0	1	0	0	0	0	0	0	0	0,5	0	0	0	0	0	0	0	0,5	0	0	0	0,6	0	0	0	0	0	0	Q16	gruppo 3		
SLE-RAR-031	1	1	0	0	0	0	0	0	0	0	0,5	0	0	0	0	0	1	0	0	0	0	0	0	0	0,5	0	0	0	0	0	0	0,5	0,6	0	0	0	0	0	0	0	0	Q27	gruppo 3-2		
SLE-RAR-032	1	1	1	1	0	0	0	0	0	0	0	0,5	0	0	0	0	0	1	0	0	0	0	0	0	0	0	0	0	0	0	0	0	0	0	1	0	0	0	0	0	0	Q11	gruppo 1		
SLE-RAR-033	1	1	1	0	1	0	0	0	0	0	0	0	0,5	0	0	0	0	0	1	0	0	0	0	0	0	0	0	0	0	0	0	0	0	0	1	0	0	0	0	0	0	Q12	gruppo 1		
SLE-RAR-034	1	1	1	0	0	1	0	0	0	0	0	0	0,5	0	0	0	0	0	0	1	0	0	0	0	0	0	0	0	0	0	0	0	0	0	1	0	0	0	0	0	0	Q13	gruppo 1		
SLE-RAR-035	1	1	1	0	0	0	1	0	0	0	0	0	0	0,5	0	0	0	0	0	0	1	0	0	0	0	0	0	0	0	0	0	0	0	0	1	0	0	0	0	0	0	Q14	gruppo 1		
SLE-RAR-036	1	1	1	0	0	0	0	0	1	0	0	0	0	0	0,5	0	0	0	0	0	0	0	1	0	0	0	0	0	0	0	0	0	0	1	0	0	0	0	0	0	0	Q15	gruppo 1		
SLE-RAR-037	1	1	1	0	0	0	0	0	0	1	0	0	0	0	0	0,5	0	0	0	0	0	0	0	1	0	0	0	0	0	0	0	0	0	0	1	0	0	0	0	0	0	Q16	gruppo 1		
SLE-RAR-038	1	1	1	1	0	0	0	0	0	0	0	1	0	0	0	0	0	0,5	0	0	0	0	0	0	0	0	0	0	0	0	0	0	0	0	0	0	0	0	0	0	0	Q11	gruppo 3		
SLE-RAR-039	1	1	1	0	1	0	0	0	0	0	0	0	0	0	0	0	0	0	0,5	0	0	0	0	0	0	0	0	0	0,5	0	0	0	0	0	0	0	0	0	0	0	0	Q12	gruppo 3		
SLE-RAR-040	1	1	1	0	0	1	0	0	0	0	0	0	0	1	0	0	0	0	0	0,5	0	0	0	0	0	0	0	0	0,5	0	0	0	0	0	0	0	0	0	0	0	0	Q13	gruppo 3		
SLE-RAR-041	1	1	1	0	0	0	1	0	0	0	0	0	0	0	1	0	0	0	0	0,5	0	0	0	0	0	0	0	0	0	0	0,5	0	0	0	0	0	0	0	0	0	0	0	Q14	gruppo 3	
SLE-RAR-042	1	1	1	0	0	0	0	0	1	0	0	0	0	0	1	0	0	0	0	0	0	0	0,5	0	0	0	0	0	0	0	0,5	0	0	0	0	0	0	0	0	0	0	0	Q15	gruppo 3	
SLE-RAR-043	1	1	1	0	0	0	0	0	0	1	0	0	0	0	1	0	0	0	0	0	0	0	0,5	0	0	0	0	0	0	0,5	0	0	0	0	0	0	0	0	0	0	0	0	Q16	gruppo 3	
SLE-RAR-044	1	1	0	0	0	0	0	0	0	0	0,5	0	0	0	0	0	1	0	0	0	0	0	0	0,5	0	0	0	0	0	0	0,5	0	0	0	0	0	0,6	0	0	0	0	0	0	Q27	gruppo 3-2
SLE-RAR-045	1	1	1	1	0	0	0	0	0	0	0	0,5	0	0	0	0	0	1	0	0	0	0	0	0	0	0	0	0	0	0	0	0	0	0	0	0	0	0,6	0	0	0	Q11	gruppo 1		
SLE-RAR-046	1	1	1	0	1	0	0	0	0	0	0	0	0,5	0	0	0	0	0	1	0	0	0	0	0	0	0	0	0	0	0	0	0	0	0	0	0	0,6	0	0	0	0	0	0	Q12	gruppo 1
SLE-RAR-047	1	1	1	0	0	1	0	0	0	0	0	0	0	0,5	0	0	0	0	0	1	0	0	0	0	0	0	0	0	0	0	0	0	0	0	0	0,6	0	0	0	0	0	0	Q13	gruppo 1	
SLE-RAR-048	1	1	1	0	0	0	1	0	0	0	0	0	0	0,5	0	0	0	0	0	0	1	0	0	0	0	0	0	0	0	0	0	0	0	0	0,6	0	0	0	0	0	0	Q14	gruppo 1		
SLE-RAR-049	1	1	1	0	0	0	0	0	1	0	0	0	0	0,5	0	0	0	0	0	0	0	0	1	0	0	0	0	0	0	0	0	0	0	0	0,6	0	0	0	0	0	0	Q15	gruppo 1		
SLE-RAR-050	1	1	1	0	0	0	0	0	0	1	0	0	0	0	0,5	0	0	0	0	0	0	0	0	1	0	0	0	0	0	0	0	0	0	0	0,6	0	0	0	0	0	0	Q16	gruppo 1		
SLE-RAR-051	1	1	1	1	0	0	0	0	0	0	0	1	0	0	0	0	0	0,5	0	0	0	0	0	0	0	0	0,5	0	0	0	0	0	0	0	0	0,6	0	0	0	0	0	0	Q11	gruppo 3	
SLE-RAR-052	1	1	1	0	1	0	0	0	0	0	0	0	0	0	0	0	0	0	0,5	0	0	0	0	0	0	0	0	0,5	0	0	0	0	0	0	0	0,6	0	0	0	0	0	0	Q12	gruppo 3	
SLE-RAR-053	1	1	1	0	0	1	0	0	0	0	0	0	0	0	0	0	0	0	0,5	0	0	0	0	0	0	0	0	0	0,5	0	0	0	0	0	0	0,6	0	0	0	0	0	0	Q13	gruppo 3	
SLE-RAR-054	1	1	1	0	0	0	1	0	0	0	0	0	0	0	0	0	0	0	0	0,5	0	0	0	0	0	0	0	0	0,5	0	0	0	0	0	0,6	0	0	0	0	0	0	Q14	gruppo 3		
SLE-RAR-055	1	1	1	0	0	0	0	0	1	0	0	0	0	0	1	0	0	0	0	0	0	0	0,5	0	0	0	0	0	0,5	0	0	0	0	0	0,6	0	0	0	0	0	0	Q15	gruppo 3		
SLE-RAR-056	1	1	1	0	0	0	0	0	0	1	0	0	0	0	1	0	0	0	0	0	0	0	0	0,5	0	0	0	0	0	0,5	0	0	0	0	0,6	0	0	0	0	0	0	Q16	gruppo 3		
SLE-RAR-057	1	1	0	0	0	0	0	0	0	0	0,5	0	0	0	0	0	1	0	0	0	0	0	0	0,5	0	0	0	0	0	0	0	0	0,5	0	0	0,6	0	0	0	0	0	0	Q27	gruppo 3-2	
SLE-RAR-058	1	1	1	1	0	0	0	0	0	0	0	0,5	0	0	0	0	0	1	0	0	0	0	0	0	0	0	0	0	0	0	0	0	0	0,6	1	0,6	0	0	0	0	Q11	gruppo 1			
SLE-RAR-059	1	1	1	0	1	0	0	0	0	0	0	0	0,5	0	0	0	0	0	1	0	0	0	0	0	0	0	0	0	0	0	0	0	0	0,6	1	0,6	0	0	0	0	Q12	gruppo 1			
SLE-RAR-060	1	1	1	0	0	1	0	0	0	0	0	0	0	0,5	0	0	0	0	0	1	0	0	0	0	0	0	0	0	0	0	0	0	0,6	1	0,6	0	0	0	0	Q13	gruppo 1				
SLE-RAR-061	1	1	1	0	0	0	1	0	0	0	0	0	0	0	0,5	0	0	0	0	0	0	1	0	0	0	0	0	0	0	0	0	0	0,6	1	0,6	0	0	0	0	Q14	gruppo 1				
SLE-RAR-062	1	1	1	0	0	0	0	0	1	0	0	0	0	0,5	0	0	0	0	0	0	0	0	1	0	0	0	0	0	0	0	0	0	0,6	1	0,6	0	0	0	0	Q15	gruppo 1				



NOME COMB.	G - Permanenti			Q1 - Variabili verticali							Q2 - Avviamento e frenatura							Q3 - Centrifuga							Q4 - Serpeggio							Q5 - Variabili Q6 - Azioni interne Q7 - Effetti d'interazione			E - Azioni sismiche			Descrizione	
	G1	G2	G22	Q11	Q12	Q13	Q14	Q15	Q16	Q17	Q21	Q22	Q23	Q24	Q25	Q26	Q27	Q31	Q32	Q33	Q34	Q35	Q36	Q37	Q41	Q42	Q43	Q44	Q45	Q46	Q47	Q51	Q61	Q71	E1	E2	E3		
SLE-RAR-063	1	1	1	0	0	0	0	0	1	0	0	0	0	0	0,5	0	0	0	0	0	0	1	0	0	0	0	0	0	1	0	0,6	1	0,6	0	0	0	Q16	gruppo 1	
SLE-RAR-064	1	1	1	1	0	0	0	0	0	0	1	0	0	0	0	0	0,5	0	0	0	0	0	0	0	0,5	0	0	0	0	0	0	0,6	1	0,6	0	0	0	Q11	gruppo 3
SLE-RAR-065	1	1	1	0	1	0	0	0	0	0	0	1	0	0	0	0	0,5	0	0	0	0	0	0	0	0	0,5	0	0	0	0	0	0,6	1	0,6	0	0	0	Q12	gruppo 3
SLE-RAR-066	1	1	1	0	0	1	0	0	0	0	0	1	0	0	0	0	0	0,5	0	0	0	0	0	0	0	0,5	0	0	0	0	0,6	1	0,6	0	0	0	Q13	gruppo 3	
SLE-RAR-067	1	1	1	0	0	0	1	0	0	0	0	0	1	0	0	0	0	0	0	0,5	0	0	0	0	0	0	0	0,5	0	0	0,6	1	0,6	0	0	0	Q14	gruppo 3	
SLE-RAR-068	1	1	1	0	0	0	0	1	0	0	0	0	0	1	0	0	0	0	0	0	0	0,5	0	0	0	0	0	0	0,5	0	0,6	1	0,6	0	0	0	Q15	gruppo 3	
SLE-RAR-069	1	1	1	0	0	0	0	0	1	0	0	0	0	0	1	0	0	0	0	0	0	0	0,5	0	0	0	0	0	0,5	0	0,6	1	0,6	0	0	0	Q16	gruppo 3	
SLE-RAR-070	1	1	0	0	0	0	0	0	0	0,5	0	0	0	0	0	1	0	0	0	0	0	0	0,5	0	0	0	0	0	0,5	0,6	1	0,6	0	0	0	Q27	gruppo 3-2		
SLE-RAR-071	1	1	1	0,6	0	0	0	0	0	0	0,6	0	0	0	0	0	0,6	0	0	0	0	0	0	0	0,6	0	0	0	0	0	0	0	0	0	0	0	Q11	gruppo 4	
SLE-RAR-072	1	1	1	0	0,6	0	0	0	0	0	0	0,6	0	0	0	0	0	0,6	0	0	0	0	0	0	0	0,6	0	0	0	0	0	0	0	0	0	0	Q12	gruppo 4	
SLE-RAR-073	1	1	1	0	0	0,8	0	0	0	0	0	0,8	0	0	0	0	0	0,8	0	0	0	0	0	0	0	0,8	0	0	0	0	0	0	0	0	0	0	Q13	gruppo 4	
SLE-RAR-074	1	1	1	0	0	0	0,8	0	0	0	0	0	0,8	0	0	0	0	0	0	0,8	0	0	0	0	0	0	0,8	0	0	0	0	0	0	0	0	0	Q14	gruppo 4	
SLE-RAR-075	1	1	1	0	0	0	0	0,6	0	0	0	0	0	0	0,6	0	0	0	0	0	0	0,6	0	0	0	0	0,6	0	0	0	0	0	0	0	0	0	Q15	gruppo 4	
SLE-RAR-076	1	1	1	0	0	0	0	0	0,6	0	0	0	0	0	0,6	0	0	0	0	0	0	0,6	0	0	0	0	0,6	0	0	0	0	0	0	0	0	0	Q16	gruppo 4	
SLE-RAR-077	1	1	0	0	0	0	0	0	0	0,6	0	0	0	0	0	0,6	0	0	0	0	0	0	0,6	0	0	0	0	0,6	0	0	0	0	0	0	0	0	Q17	gruppo 4	
SLE-RAR-078	1	1	1	0,6	0	0	0	0	0	0	0,6	0	0	0	0	0	0,6	0	0	0	0	0	0	0	0,6	0	0	0	0	0	0	0	0	0	0	0	Q11	gruppo 4	
SLE-RAR-079	1	1	1	0	0,6	0	0	0	0	0	0	0,6	0	0	0	0	0	0,6	0	0	0	0	0	0	0	0,6	0	0	0	0	0	0	0	0	0	0	Q12	gruppo 4	
SLE-RAR-080	1	1	1	0	0	0,8	0	0	0	0	0	0,8	0	0	0	0	0	0,8	0	0	0	0	0	0	0	0,8	0	0	0	0	0	0	0	0	0	0	Q13	gruppo 4	
SLE-RAR-081	1	1	1	0	0	0	0,8	0	0	0	0	0	0,8	0	0	0	0	0	0,8	0	0	0	0	0	0	0,8	0	0	0	0	0	0	0	0	0	0	Q14	gruppo 4	
SLE-RAR-082	1	1	1	0	0	0	0	0,6	0	0	0	0	0	0,6	0	0	0	0	0	0	0	0,6	0	0	0	0	0,6	0	0	0	0	0	0	0	0	0	Q15	gruppo 4	
SLE-RAR-083	1	1	1	0	0	0	0	0	0,6	0	0	0	0	0	0,6	0	0	0	0	0	0	0	0,6	0	0	0	0,6	0	0,6	0	0	0	0	0	0	0	Q16	gruppo 4	
SLE-RAR-084	1	1	0	0	0	0	0	0	0	0,6	0	0	0	0	0	0,6	0	0	0	0	0	0	0	0,6	0	0	0	0,6	0,6	0	0	0	0	0	0	0	Q17	gruppo 4	
SLE-RAR-085	1	1	1	0,6	0	0	0	0	0	0	0,6	0	0	0	0	0	0,6	0	0	0	0	0	0	0	0,6	0	0	0	0	1	0	0	0	0	0	Q61	gruppo 4		
SLE-RAR-086	1	1	1	0	0,6	0	0	0	0	0	0	0,6	0	0	0	0	0	0,6	0	0	0	0	0	0	0	0,6	0	0	0	0	1	0	0	0	0	0	Q61	gruppo 4	
SLE-RAR-087	1	1	1	0	0	0,8	0	0	0	0	0	0	0,8	0	0	0	0	0	0,8	0	0	0	0	0	0	0,8	0	0	0	0	1	0	0	0	0	0	Q61	gruppo 4	
SLE-RAR-088	1	1	1	0	0	0	0,8	0	0	0	0	0	0,8	0	0	0	0	0	0,8	0	0	0	0	0	0	0,8	0	0	0	0	1	0	0	0	0	0	Q61	gruppo 4	
SLE-RAR-089	1	1	1	0	0	0	0	0,6	0	0	0	0	0	0,6	0	0	0	0	0	0	0	0,6	0	0	0	0,6	0	0	0	1	0	0	0	0	0	0	Q61	gruppo 4	
SLE-RAR-090	1	1	1	0	0	0	0	0	0,6	0	0	0	0	0	0,6	0	0	0	0	0	0	0	0,6	0	0	0	0,6	0	0	1	0	0	0	0	0	0	Q61	gruppo 4	
SLE-RAR-091	1	1	0	0	0	0	0	0	0	0,6	0	0	0	0	0	0,6	0	0	0	0	0	0	0,6	0	0	0	0,6	0	1	0	0	0	0	0	0	0	Q61	gruppo 4	
SLE-RAR-092	1	1	1	0,6	0	0	0	0	0	0	0,6	0	0	0	0	0	0,6	0	0	0	0	0	0	0	0,6	0	0	0	0	0	0,6	0	0	0	0	0	Q11	gruppo 4	
SLE-RAR-093	1	1	1	0	0,6	0	0	0	0	0	0	0,6	0	0	0	0	0	0,6	0	0	0	0	0	0	0	0,6	0	0	0	0	0	0,6	0	0	0	0	0	Q12	gruppo 4
SLE-RAR-094	1	1	1	0	0	0,8	0	0	0	0	0	0	0,8	0	0	0	0	0	0,8	0	0	0	0	0	0	0,8	0	0	0	0	0	0,6	0	0	0	0	0	Q13	gruppo 4
SLE-RAR-095	1	1	1	0	0	0	0,8	0	0	0	0	0	0,8	0	0	0	0	0	0,8	0	0	0	0	0	0	0,8	0	0	0	0	0	0,6	0	0	0	0	0	Q14	gruppo 4
SLE-RAR-096	1	1	1	0	0	0	0	0,6	0	0	0	0	0	0,6	0	0	0	0	0	0	0	0,6	0	0	0	0,6	0	0	0	0	0,6	0	0	0	0	0	Q15	gruppo 4	
SLE-RAR-097	1	1	1	0	0	0	0	0	0,6	0	0	0	0	0	0,6	0	0	0	0	0	0	0	0,6	0	0	0	0,6	0	0	0	0,6	0	0	0	0	0	Q16	gruppo 4	
SLE-RAR-098	1	1	0	0	0	0	0	0	0	0,6	0	0	0	0	0	0,6	0	0	0	0	0	0	0,6	0	0	0	0,6	0	0	0,6	0	0	0	0	0	0	Q17	gruppo 4	
SLE-RAR-099	1	1	1	0,6	0	0	0	0	0	0	0,6	0	0	0	0	0	0,6	0	0	0	0	0	0	0	0,6	0	0	0	0	0	0,6	1	0,6	0	0	0	Q61	gruppo 4	

NOME COMB.	G - Permanenti			Q1 - Variabili verticali							Q2 - Avviamento e frenatura							Q3 - Centrifuga							Q4 - Serpeggio							Q5 - Variabili Q6 - Azioni interne Q7 - Effetti d'interazione			E - Azioni sismiche			Descrizione		
	G1	G21	G22	Q11	Q12	Q13	Q14	Q15	Q16	Q17	Q21	Q22	Q23	Q24	Q25	Q26	Q27	Q31	Q32	Q33	Q34	Q35	Q36	Q37	Q41	Q42	Q43	Q44	Q45	Q46	Q47	Q51	Q61	Q71	E1	E2	E3			
SLE-RAR-100	1	1	1	0	0,6	0	0	0	0	0	0	0,6	0	0	0	0	0	0,6	0	0	0	0	0	0	0,6	0	0	0	0	0	0,6	1	0,6	0	0	0	Q61	gruppo 4		
SLE-RAR-101	1	1	1	0	0	0,8	0	0	0	0	0	0	0,8	0	0	0	0	0	0	0,8	0	0	0	0	0	0	0,8	0	0	0	0	0	0,6	1	0,6	0	0	0	Q61	gruppo 4
SLE-RAR-102	1	1	1	0	0	0	0,8	0	0	0	0	0	0,8	0	0	0	0	0	0	0,8	0	0	0	0	0	0	0,8	0	0	0	0	0	0,6	1	0,6	0	0	0	Q61	gruppo 4
SLE-RAR-103	1	1	1	0	0	0	0	0,6	0	0	0	0	0	0,6	0	0	0	0	0	0	0,6	0	0	0	0	0	0,6	0	0	0	0,6	1	0,6	0	0	0	Q61	gruppo 4		
SLE-RAR-104	1	1	1	0	0	0	0	0	0,6	0	0	0	0	0	0,6	0	0	0	0	0	0	0	0,6	0	0	0	0	0	0,6	0	0,6	1	0,6	0	0	0	Q61	gruppo 4		
SLE-RAR-105	1	1	0	0	0	0	0	0	0	0,6	0	0	0	0	0	0,6	0	0	0	0	0	0	0,6	0	0	0	0	0	0,6	0	0,6	1	0,6	0	0	0	Q61	gruppo 4		
SLE-QPE-001	1	1	1	0	0	0	0	0	0	0	0	0	0	0	0	0	0	0	0	0	0	0	0	0	0	0	0	0	0	0	0	0	0	0	0	0	0	0	G1+G2	solo perm
SLE-QPE-002	1	1	1	0	0	0	0	0	0	0	0	0	0	0	0	0	0	0	0	0	0	0	0	0	0	0	0	0	0	0	0	0	1	1	0	0	0	Q61	termica	

**ALLEGATO 2**  
**VI02 – PILE P07-P08-P09-P12**

# 1 SOLLECITAZIONI ELEMENTARI A BASE PILA

C.C.E.	Descrizione	F1	F2	F3	M1	M2	M3
		kN	kN	kN	kNm	kNm	kNm
G1	Pesi propri	0	0	-9135	0	0	0
G2	Ballast	0	0	-3500	0	0	0
G2	Permanententi non strutturali	0	0	-1548	0	0	0
Q11	Disposizione 1 (massimizza N)	0	0	-5692	-684	66	0
Q12	Disposizione 2 (massimizza M2)	0	0	-3559	-518	3915	0
Q13	Disposizione 3 (massimizza M1)	0	0	-2962	-5925	66	0
Q14	Disposizione 4 (massimizza M1)	0	0	-2730	-5678	0	0
Q15	Disposizione 5 (massimizza N+M2)	0	0	-5524	-789	1753	0
Q16	Disposizione 6 (massimizza N)	0	0	-5460	-218	0	0
Q17	Disposizione 7 (minimizza N)	0	0	-2977	-1634	3275	0
Q21	Disposizione 1 (massimizza N)	1835	0	0	0	12662	0
Q22	Disposizione 2 (massimizza M2)	2154	0	0	0	14863	0
Q23	Disposizione 3 (massimizza M1)	819	0	0	0	5651	0
Q24	Disposizione 4 (massimizza M1)	1016	0	0	0	7010	0
Q25	Disposizione 5 (massimizza N+M2)	2154	0	0	0	14863	0
Q26	Disposizione 6 (massimizza N)	1995	0	0	0	13766	0
Q27	Disposizione 7 (minimizza N)	2154	0	0	0	14863	0
Q31	Disposizione 1 (massimizza N)	0	473	0	-5666	0	0
Q32	Disposizione 2 (massimizza M2)	0	294	0	-3523	0	0
Q33	Disposizione 3 (massimizza M1)	0	155	0	-1860	0	0
Q34	Disposizione 4 (massimizza M1)	0	318	0	-3806	0	0
Q35	Disposizione 5 (massimizza N+M2)	0	463	0	-5546	0	0
Q36	Disposizione 6 (massimizza N)	0	460	0	-5514	0	0
Q37	Disposizione 7 (minimizza N)	0	226	0	-2710	0	0
Q41	Disposizione 1 (massimizza N)	0	210	0	-2137	0	0
Q42	Disposizione 2 (massimizza M2)	0	210	0	-2138	0	0
Q43	Disposizione 3 (massimizza M1)	0	100	0	-1018	0	0
Q44	Disposizione 4 (massimizza M1)	0	110	0	-1119	0	0
Q45	Disposizione 5 (massimizza N+M2)	0	210	0	-2137	0	0
Q46	Disposizione 6 (massimizza N)	0	210	0	-2137	0	0
Q47	Disposizione 7 (minimizza N)	0	210	0	-2138	0	0
Q51	Vento	0	861	0	-10563	0	0
Q61	Attrito su vincoli	283	0	0	0	1953	0
Q71	Variazioni termiche	280	0	0	0	1932	0
E1	Sisma x	5359	0	0	0	36976	2202
E2	Sisma y	0	4509	0	-40494	0	3382
E3	Sisma z	0	0	-4614	-1579	2881	0

## 2 SPOSTAMENTI ELEMENTARI IN TESTA PILA

<b>C.C.E.</b>	<b>Descrizione</b>	<b>d1,1</b>	<b>d2,1</b>	<b>d3,1</b>	$\varphi_{1,1}$	$\varphi_{2,1}$	$\varphi_{3,1}$
		mm	mm	mm	1/mm	1/mm	1/mm
G1	Pesi propri	0.00	0.00	-0.18	0.00	0.00	0.00
G2	Ballast	0.00	0.00	-0.07	0.00	0.00	0.00
G2	Permanenti non strutturali	0.00	0.00	-0.03	0.00	0.00	0.00
Q11	Disposizione 1 (massimizza N)	0.00	0.00	-0.11	0.00	0.00	0.00
Q12	Disposizione 2 (massimizza M2)	0.00	0.00	-0.07	0.00	0.00	0.00
Q13	Disposizione 3 (massimizza M1)	0.00	0.00	-0.06	0.00	0.00	0.00
Q14	Disposizione 4 (massimizza M1)	0.00	0.00	-0.05	0.00	0.00	0.00
Q15	Disposizione 5 (massimizza N+M2)	0.00	0.00	-0.11	0.00	0.00	0.00
Q16	Disposizione 6 (massimizza N)	0.00	0.00	-0.11	0.00	0.00	0.00
Q17	Disposizione 7 (minimizza N)	0.00	0.00	-0.06	0.00	0.00	0.00
Q21	Disposizione 1 (massimizza N)	0.64	0.00	0.00	0.00	0.09	0.00
Q22	Disposizione 2 (massimizza M2)	0.75	0.00	0.00	0.00	0.11	0.00
Q23	Disposizione 3 (massimizza M1)	0.28	0.00	0.00	0.00	0.04	0.00
Q24	Disposizione 4 (massimizza M1)	0.35	0.00	0.00	0.00	0.05	0.00
Q25	Disposizione 5 (massimizza N+M2)	0.75	0.00	0.00	0.00	0.11	0.00
Q26	Disposizione 6 (massimizza N)	0.69	0.00	0.00	0.00	0.10	0.00
Q27	Disposizione 7 (minimizza N)	0.75	0.00	0.00	0.00	0.11	0.00
Q31	Disposizione 1 (massimizza N)	0.00	0.05	0.00	0.01	0.00	0.00
Q32	Disposizione 2 (massimizza M2)	0.00	0.03	0.00	0.00	0.00	0.00
Q33	Disposizione 3 (massimizza M1)	0.00	0.02	0.00	0.00	0.00	0.00
Q34	Disposizione 4 (massimizza M1)	0.00	0.03	0.00	0.00	0.00	0.00
Q35	Disposizione 5 (massimizza N+M2)	0.00	0.05	0.00	0.01	0.00	0.00
Q36	Disposizione 6 (massimizza N)	0.00	0.05	0.00	0.01	0.00	0.00
Q37	Disposizione 7 (minimizza N)	0.00	0.02	0.00	0.00	0.00	0.00
Q41	Disposizione 1 (massimizza N)	0.00	0.02	0.00	0.00	0.00	0.00
Q42	Disposizione 2 (massimizza M2)	0.00	0.02	0.00	0.00	0.00	0.00
Q43	Disposizione 3 (massimizza M1)	0.00	0.01	0.00	0.00	0.00	0.00
Q44	Disposizione 4 (massimizza M1)	0.00	0.01	0.00	0.00	0.00	0.00
Q45	Disposizione 5 (massimizza N+M2)	0.00	0.02	0.00	0.00	0.00	0.00
Q46	Disposizione 6 (massimizza N)	0.00	0.02	0.00	0.00	0.00	0.00
Q47	Disposizione 7 (minimizza N)	0.00	0.02	0.00	0.00	0.00	0.00
Q51	Vento	0.00	0.09	0.00	0.01	0.00	0.00
Q61	Attrito su vincoli	0.10	0.00	0.00	0.00	0.01	0.00
Q71	Variazioni termiche	0.10	0.00	0.00	0.00	0.01	0.00
E1	Sisma x	5.26	0.00	0.00	0.00	0.76	0.00
E2	Sisma y	0.00	1.62	0.00	0.24	0.00	0.00
E3	Sisma z	0.00	0.00	-0.09	0.00	0.00	0.00

### 3 SOLLECITAZIONI COMBinate A BASE PILA

Si riportano a seguire i valori delle sollecitazioni di calcolo combinate secondo i coefficienti di combinazione riportati nell'allegato 1 della presente relazione. I valori seguenti tengono conto degli effetti del secondo ordine indotti dagli spostamenti elementari.

Per ogni gruppo di combinazioni di carico considerato (SLU-STR SLU-GEO, SLV-SIS, SLE-RAR e SLE-QP), sono riportati a seguire i valori delle sollecitazioni corrispondenti alle combinazioni che massimizzano ognuna delle componenti di sollecitazione (F1, F2, F3, M1, M2 e M3).

F1	Forza di taglio in direzione longitudinale [kN]
F2	Forza di taglio in direzione trasversale [kN]
F3	Forza assiale verticale [kN]
M1	Momento flettente attorno all'asse 1 (trasversale)
M2	Momento flettente attorno all'asse 2 (longitudinale)
M3	Momento flettente attorno all'asse 3 (toocente)

SLU-STR	max	Combo.	F1	F2	F3	M1	M2	M3
			kN	kN	kN	kNm	kNm	kNm
<i>max</i>	F1	SLU-STR-065	3786	1143	-25065	-14393	31830	0
<i>max</i>	F2	SLU-STR-019	1340	1765	-28158	-21817	9352	0
<i>max</i>	F3	SLU-STR-004	507	1291	-12635	-15846	3498	0
<i>max</i>	M1	SLU-STR-018	3123	318	-14808	-4733	23957	0
<i>max</i>	M2	SLU-STR-065	3786	1143	-25065	-14393	31830	0
<i>max</i>	M3	SLU-STR-002	507	1291	-19904	-15847	3500	0

SLU-STR	min	Combo.	F1	F2	F3	M1	M2	M3
			kN	kN	kN	kNm	kNm	kNm
<i>min</i>	F1	SLU-STR-002	507	1291	-19904	-15847	3500	0
<i>min</i>	F2	SLU-STR-014	1188	186	-24199	-10692	8300	0
<i>min</i>	F3	SLU-STR-006	1340	990	-28158	-12309	9352	0
<i>min</i>	M1	SLU-STR-022	742	1395	-23863	-24885	5124	0
<i>min</i>	M2	SLU-STR-004	507	1291	-12635	-15846	3498	0
<i>min</i>	M3	SLU-STR-002	507	1291	-19904	-15847	3500	0

SLU-GEO	max	Combo.	F1	F2	F3	M1	M2	M3
			kN	kN	kN	kNm	kNm	kNm
<i>max</i>	F1	SLU-GEO-065	3265	989	-20146	-12455	27442	0
<i>max</i>	F2	SLU-GEO-019	1156	1525	-22813	-18851	8068	0
<i>max</i>	F3	SLU-GEO-004	439	1119	-12635	-13733	3032	0
<i>max</i>	M1	SLU-GEO-018	2693	275	-14511	-4084	20655	0
<i>max</i>	M2	SLU-GEO-065	3265	989	-20146	-12455	27442	0
<i>max</i>	M3	SLU-GEO-002	439	1119	-15698	-13733	3032	0

SLU-GEO	min	Combo.	F1	F2	F3	M1	M2	M3
			kN	kN	kN	kNm	kNm	kNm
<i>min</i>	F1	SLU-GEO-002	439	1119	-15698	-13733	3032	0
<i>min</i>	F2	SLU-GEO-014	1024	161	-19400	-9219	7153	0
<i>min</i>	F3	SLU-GEO-006	1156	854	-22813	-10610	8068	0
<i>min</i>	M1	SLU-GEO-022	640	1206	-19110	-21495	4421	0
<i>min</i>	M2	SLU-GEO-004	439	1119	-12635	-13733	3032	0
<i>min</i>	M3	SLU-GEO-002	439	1119	-15698	-13733	3032	0

SLU-SIS	max	Combo.	F1	F2	F3	M1	M2	M3
			kN	kN	kN	kNm	kNm	kNm
<i>max</i>	F1	SLU-SIS-011	5986	1403	-16279	-13300	43042	3217
<i>max</i>	F2	SLU-SIS-038	1904	4646	-16706	-42692	14041	4043
<i>max</i>	F3	SLU-SIS-087	1804	1353	-8022	-10573	9582	1675
<i>max</i>	M1	SLU-SIS-152	-1608	-4509	-12799	40989	-11977	-4043
<i>max</i>	M2	SLU-SIS-011	5986	1403	-16279	-13300	43042	3217
<i>max</i>	M3	SLU-SIS-034	1608	4509	-15567	-40993	11982	4043

SLU-SIS	min	Combo.	F1	F2	F3	M1	M2	M3
			kN	kN	kN	kNm	kNm	kNm
<i>min</i>	F1	SLU-SIS-102	-5359	-1353	-15567	11682	-36194	-3217
<i>min</i>	F2	SLU-SIS-135	-1608	-4509	-15567	40046	-10253	-4043
<i>min</i>	F3	SLU-SIS-071	1608	1353	-19935	-13874	14018	1675
<i>min</i>	M1	SLU-SIS-041	1822	4595	-16113	-43115	13462	4043
<i>min</i>	M2	SLU-SIS-118	-5359	-1353	-12799	12628	-37908	-3217
<i>min</i>	M3	SLU-SIS-135	-1608	-4509	-15567	40046	-10253	-4043

SLE-RAR	max	Combo.	F1	F2	F3	M1	M2	M3
			kN	kN	kN	kNm	kNm	kNm
<i>max</i>	F1	SLE-RAR-065	2605	768	-17742	-9687	21905	0
<i>max</i>	F2	SLE-RAR-019	918	1199	-19875	-14827	6403	0
<i>max</i>	F3	SLE-RAR-004	338	861	-12635	-10564	2332	0
<i>max</i>	M1	SLE-RAR-018	2154	218	-14124	-3242	16510	0
<i>max</i>	M2	SLE-RAR-065	2605	768	-17742	-9687	21905	0
<i>max</i>	M3	SLE-RAR-002	338	861	-14183	-10564	2332	0

SLE-RAR	min	Combo.	F1	F2	F3	M1	M2	M3
			kN	kN	kN	kNm	kNm	kNm
<i>min</i>	F1	SLE-RAR-002	338	861	-14183	-10564	2332	0
<i>min</i>	F2	SLE-RAR-014	819	128	-17145	-7364	5722	0
<i>min</i>	F3	SLE-RAR-006	918	683	-19875	-8488	6403	0
<i>min</i>	M1	SLE-RAR-022	508	944	-16913	-16942	3508	0
<i>min</i>	M2	SLE-RAR-004	338	861	-12635	-10564	2332	0
<i>min</i>	M3	SLE-RAR-002	338	861	-14183	-10564	2332	0



## 4 SOLLECITAZIONI COMBinate A BASE PLINTO

Le sollecitazioni combinate alla base della pila sono state riportate ad intradosso plinto (in posizione baricentrica) e sono state incrementate per tenere conto del peso del plinto e del terreno di ricoprimento presente al suo estradosso, nonché della forza inerziale (orizzontale e verticale) associata alla massa del plinto stesso e considerata solidale con il terreno ( $T = 0$  sec).

### Terreno ricoprimento

dlong	9.6	m
dtrasv	9.6	m
hterr	1.16	m
gterr	20	kN/m <sup>3</sup>
Wterr	1619	kN

Plinto			<u>Orizzontale</u>			<u>Verticale</u>		
dlong	9.6	m	ag0	0.199	g	ag0	0.120	g
dtrasv	9.6	m	S	1.200		S	1.000	
hpl	2.5	m	PGA	0.238	g	PGA	0.120	g
gcls	25	kN/m <sup>3</sup>	lplinto_h	1373	kN	lplinto_v	688	kN
Wplinto	5760	kN						

	<b>F1</b>	<b>F2</b>	<b>F3</b>	<b>M1</b>	<b>M2</b>	<b>M3</b>	<b>Ftot</b>
	kN	kN	kN	kNm	kNm	kNm	kN
SLU-STR-001			-30109				
SLU-STR-002	507	1291	-30109	-19075	4766	0	1387
SLU-STR-003	830	775	-30109	-11445	7811	0	1136
SLU-STR-004	507	1291	-18395	-19074	4765	0	1387
SLU-STR-005	830	775	-18395	-11444	7809	0	1136
SLU-STR-006	1340	990	-38363	-14784	12701	0	1666
SLU-STR-007	1572	731	-35270	-10788	20471	0	1734
SLU-STR-008	598	370	-34404	-13689	5721	0	703
SLU-STR-009	742	621	-34068	-16928	6978	0	967
SLU-STR-010	1572	976	-38119	-14726	17338	0	1851
SLU-STR-011	1456	972	-38026	-13842	13704	0	1751
SLU-STR-012	2661	499	-38363	-7936	25133	0	2707
SLU-STR-013	3123	368	-35270	-5804	35063	0	3145
SLU-STR-014	1188	186	-34404	-11158	11269	0	1202
SLU-STR-015	1473	312	-34068	-12610	13860	0	1506
SLU-STR-016	3123	491	-38119	-7982	31932	0	3162
SLU-STR-017	2893	489	-38026	-7125	27220	0	2934
SLU-STR-018	3123	318	-20568	-5528	31766	0	3139
SLU-STR-019	1340	1765	-38363	-26230	12701	0	2216

SLU-STR-020	1572	1505	-35270	-22233	20471	0	2177
SLU-STR-021	598	1144	-34404	-25134	5721	0	1291
SLU-STR-022	742	1395	-34068	-28373	6978	0	1580
SLU-STR-023	1572	1751	-38119	-26172	17338	0	2353
SLU-STR-024	1456	1746	-38026	-25287	13704	0	2274
SLU-STR-025	2661	1273	-38363	-19381	25133	0	2950
SLU-STR-026	3123	1143	-35270	-17249	35063	0	3326
SLU-STR-027	1188	961	-34404	-22603	11269	0	1528
SLU-STR-028	1473	1087	-34068	-24055	13860	0	1831
SLU-STR-029	3123	1266	-38119	-19427	31932	0	3370
SLU-STR-030	2893	1264	-38026	-18571	27220	0	3157
SLU-STR-031	3123	1093	-20568	-16973	31766	0	3309
SLU-STR-032	1750	990	-38363	-14784	16562	0	2011
SLU-STR-033	1983	731	-35270	-10788	24332	0	2113
SLU-STR-034	1008	370	-34404	-13689	9581	0	1074
SLU-STR-035	1152	621	-34068	-16928	10839	0	1309
SLU-STR-036	1983	976	-38119	-14726	21200	0	2210
SLU-STR-037	1867	972	-38026	-13842	17565	0	2104
SLU-STR-038	3071	499	-38363	-7936	28994	0	3111
SLU-STR-039	3534	368	-35270	-5804	38924	0	3553
SLU-STR-040	1598	186	-34404	-11158	15129	0	1609
SLU-STR-041	1884	312	-34068	-12610	17721	0	1909
SLU-STR-042	3534	491	-38119	-7982	35793	0	3568
SLU-STR-043	3303	489	-38026	-7125	31081	0	3339
SLU-STR-044	3534	318	-20568	-5528	35625	0	3548
SLU-STR-045	1592	990	-38363	-14784	15072	0	1875
SLU-STR-046	1824	731	-35270	-10788	22842	0	1965
SLU-STR-047	850	370	-34404	-13689	8092	0	927
SLU-STR-048	994	621	-34068	-16928	9349	0	1172
SLU-STR-049	1824	976	-38119	-14726	19710	0	2069
SLU-STR-050	1708	972	-38026	-13842	16075	0	1965
SLU-STR-051	2913	499	-38363	-7936	27504	0	2955
SLU-STR-052	3375	368	-35270	-5804	37434	0	3395
SLU-STR-053	1440	186	-34404	-11158	13640	0	1452
SLU-STR-054	1725	312	-34068	-12610	16231	0	1753
SLU-STR-055	3375	491	-38119	-7982	34303	0	3411
SLU-STR-056	3145	489	-38026	-7125	29591	0	3183
SLU-STR-057	3375	318	-20568	-5528	34136	0	3390
SLU-STR-058	2002	1765	-38363	-26230	18933	0	2669
SLU-STR-059	2235	1505	-35270	-22233	26703	0	2695
SLU-STR-060	1260	1144	-34404	-25134	11952	0	1702
SLU-STR-061	1404	1395	-34068	-28373	13209	0	1979
SLU-STR-062	2235	1751	-38119	-26172	23571	0	2839
SLU-STR-063	2119	1746	-38026	-25287	19936	0	2746

SLU-STR-064	3323	1273	-38363	-19381	31365	0	3559
SLU-STR-065	3786	1143	-35270	-17249	41295	0	3954
SLU-STR-066	1850	961	-34404	-22603	17500	0	2085
SLU-STR-067	2136	1087	-34068	-24055	20092	0	2396
SLU-STR-068	3786	1266	-38119	-19427	38164	0	3992
SLU-STR-069	3555	1264	-38026	-18571	33452	0	3773
SLU-STR-070	3786	1093	-20568	-16973	37995	0	3940

SLU-GEO-001			-23563				
SLU-GEO-002	439	1119	-23563	-16531	4130	0	1202
SLU-GEO-003	718	671	-23563	-9919	6751	0	983
SLU-GEO-004	439	1119	-18395	-16531	4130	0	1202
SLU-GEO-005	718	671	-18395	-9918	6750	0	983
SLU-GEO-006	1156	854	-30678	-12745	10959	0	1437
SLU-GEO-007	1357	630	-28011	-9300	17659	0	1496
SLU-GEO-008	516	319	-27265	-11801	4936	0	606
SLU-GEO-009	640	535	-26975	-14593	6021	0	834
SLU-GEO-010	1357	841	-30468	-12695	14958	0	1597
SLU-GEO-011	1257	838	-30388	-11932	11824	0	1510
SLU-GEO-012	2294	430	-30678	-6847	21662	0	2334
SLU-GEO-013	2693	318	-28011	-5008	30222	0	2711
SLU-GEO-014	1024	161	-27265	-9621	9713	0	1036
SLU-GEO-015	1270	270	-26975	-10875	11946	0	1298
SLU-GEO-016	2693	424	-30468	-6887	27522	0	2726
SLU-GEO-017	2494	422	-30388	-6149	23461	0	2529
SLU-GEO-018	2693	275	-20271	-4771	27386	0	2706
SLU-GEO-019	1156	1525	-30678	-22664	10959	0	1914
SLU-GEO-020	1357	1301	-28011	-19218	17659	0	1880
SLU-GEO-021	516	990	-27265	-21719	4936	0	1117
SLU-GEO-022	640	1206	-26975	-24511	6021	0	1366
SLU-GEO-023	1357	1513	-30468	-22614	14958	0	2032
SLU-GEO-024	1257	1509	-30388	-21851	11824	0	1964
SLU-GEO-025	2294	1102	-30678	-16766	21662	0	2545
SLU-GEO-026	2693	989	-28011	-14927	30222	0	2868
SLU-GEO-027	1024	832	-27265	-19540	9713	0	1319
SLU-GEO-028	1270	941	-26975	-20794	11946	0	1581
SLU-GEO-029	2693	1095	-30468	-16806	27522	0	2907
SLU-GEO-030	2494	1094	-30388	-16068	23461	0	2723
SLU-GEO-031	2693	946	-20271	-14689	27386	0	2854
SLU-GEO-032	1510	854	-30678	-12745	14287	0	1734
SLU-GEO-033	1711	630	-28011	-9300	20987	0	1823
SLU-GEO-034	870	319	-27265	-11801	8264	0	926
SLU-GEO-035	994	535	-26975	-14593	9349	0	1129

SLU-GEO-036	1711	841	-30468	-12695	18286	0	1906
SLU-GEO-037	1611	838	-30388	-11932	15152	0	1815
SLU-GEO-038	2648	430	-30678	-6847	24990	0	2682
SLU-GEO-039	3046	318	-28011	-5008	33550	0	3063
SLU-GEO-040	1378	161	-27265	-9621	13040	0	1387
SLU-GEO-041	1624	270	-26975	-10875	15274	0	1646
SLU-GEO-042	3046	424	-30468	-6887	30850	0	3076
SLU-GEO-043	2848	422	-30388	-6149	26789	0	2879
SLU-GEO-044	3046	275	-20271	-4771	30713	0	3059
SLU-GEO-045	1374	854	-30678	-12745	13013	0	1618
SLU-GEO-046	1575	630	-28011	-9300	19714	0	1697
SLU-GEO-047	734	319	-27265	-11801	6991	0	801
SLU-GEO-048	858	535	-26975	-14593	8075	0	1012
SLU-GEO-049	1575	841	-30468	-12695	17013	0	1786
SLU-GEO-050	1475	838	-30388	-11932	13879	0	1696
SLU-GEO-051	2512	430	-30678	-6847	23717	0	2549
SLU-GEO-052	2911	318	-28011	-5008	32276	0	2928
SLU-GEO-053	1242	161	-27265	-9621	11767	0	1252
SLU-GEO-054	1488	270	-26975	-10875	14001	0	1513
SLU-GEO-055	2911	424	-30468	-6887	29577	0	2942
SLU-GEO-056	2712	422	-30388	-6149	25515	0	2745
SLU-GEO-057	2911	275	-20271	-4771	29440	0	2924
SLU-GEO-058	1728	1525	-30678	-22664	16341	0	2305
SLU-GEO-059	1929	1301	-28011	-19218	23041	0	2327
SLU-GEO-060	1088	990	-27265	-21719	10318	0	1471
SLU-GEO-061	1212	1206	-26975	-24511	11403	0	1710
SLU-GEO-062	1929	1513	-30468	-22614	20341	0	2451
SLU-GEO-063	1829	1509	-30388	-21851	17207	0	2371
SLU-GEO-064	2866	1102	-30678	-16766	27045	0	3070
SLU-GEO-065	3265	989	-28011	-14927	35604	0	3411
SLU-GEO-066	1596	832	-27265	-19540	15095	0	1800
SLU-GEO-067	1842	941	-26975	-20794	17328	0	2069
SLU-GEO-068	3265	1095	-30468	-16806	32905	0	3444
SLU-GEO-069	3066	1094	-30388	-16068	28843	0	3255
SLU-GEO-070	3265	946	-20271	-14689	32767	0	3399

SLU-SIS-001	7268	1900	-23153	-18127	58168	3217	7512
SLU-SIS-002	7484	1900	-23153	-18127	60202	3217	7721
SLU-SIS-003	7484	1900	-19986	-18127	60193	3217	7721
SLU-SIS-004	7686	2050	-24291	-20371	62121	3217	7955
SLU-SIS-005	7721	2011	-23865	-19765	63296	3217	7978
SLU-SIS-006	7574	1956	-23745	-20205	61067	3217	7823
SLU-SIS-007	7596	1994	-23699	-20696	61256	3217	7853
SLU-SIS-008	7721	2048	-24258	-20362	62822	3217	7988
SLU-SIS-009	7703	2047	-24245	-20228	62272	3217	7971
SLU-SIS-010	7888	1975	-24291	-19325	64020	3217	8131
SLU-SIS-011	7958	1955	-23865	-19003	65524	3217	8195
SLU-SIS-012	7664	1928	-23745	-19818	61914	3217	7903
SLU-SIS-013	7707	1947	-23699	-20037	62307	3217	7950
SLU-SIS-014	7958	1974	-24258	-19332	65051	3217	8199
SLU-SIS-015	7923	1974	-24245	-19202	64336	3217	8165
SLU-SIS-016	7958	1948	-20283	-18960	65011	3217	8193
SLU-SIS-017	7268	1900	-19972	-17084	56250	3217	7512
SLU-SIS-018	7484	1900	-19972	-17084	58284	3217	7721
SLU-SIS-019	7484	1900	-16805	-17083	58275	3217	7721
SLU-SIS-020	7268	1900	-21110	-17235	56271	3217	7512
SLU-SIS-021	7593	2050	-21110	-19328	59335	3217	7865
SLU-SIS-022	7629	2011	-20684	-18721	60509	3217	7889
SLU-SIS-023	7482	1956	-20564	-19161	58280	3217	7733
SLU-SIS-024	7503	1994	-20518	-19653	58469	3217	7764
SLU-SIS-025	7629	2048	-21077	-19319	60036	3217	7899
SLU-SIS-026	7611	2047	-21064	-19185	59485	3217	7882
SLU-SIS-027	7795	1975	-21110	-18281	61233	3217	8042
SLU-SIS-028	7865	1955	-20684	-17960	62737	3217	8105
SLU-SIS-029	7572	1928	-20564	-18775	59128	3217	7813
SLU-SIS-030	7615	1947	-20518	-18993	59520	3217	7860
SLU-SIS-031	7865	1974	-21077	-18288	62264	3217	8109
SLU-SIS-032	7830	1974	-21064	-18159	61549	3217	8075
SLU-SIS-033	7865	1948	-17102	-17916	62224	3217	8103
SLU-SIS-034	2180	6333	-23153	-59209	18116	4043	6698
SLU-SIS-035	2397	6333	-23153	-59209	20150	4043	6772
SLU-SIS-036	2397	6333	-19986	-59207	20147	4043	6772
SLU-SIS-037	2180	6333	-24291	-59362	18132	4043	6698
SLU-SIS-038	2506	6484	-24291	-61454	21196	4043	6951
SLU-SIS-039	2541	6444	-23865	-60847	22372	4043	6927
SLU-SIS-040	2394	6389	-23745	-61287	20144	4043	6823
SLU-SIS-041	2416	6427	-23699	-61779	20333	4043	6866
SLU-SIS-042	2541	6481	-24258	-61445	21897	4043	6962
SLU-SIS-043	2524	6481	-24245	-61311	21347	4043	6955
SLU-SIS-044	2708	6408	-24291	-60408	23094	4043	6957

SLU-SIS-045	2778	6389	-23865	-60086	24600	4043	6967
SLU-SIS-046	2484	6361	-23745	-60901	20991	4043	6829
SLU-SIS-047	2528	6380	-23699	-61119	21384	4043	6863
SLU-SIS-048	2778	6407	-24258	-60415	24126	4043	6984
SLU-SIS-049	2743	6407	-24245	-60285	23411	4043	6969
SLU-SIS-050	2778	6381	-20283	-60040	24096	4043	6960
SLU-SIS-051	2180	6333	-19972	-58162	16210	4043	6698
SLU-SIS-052	2397	6333	-19972	-58162	18243	4043	6772
SLU-SIS-053	2397	6333	-16805	-58160	18241	4043	6772
SLU-SIS-054	2180	6333	-21110	-58315	16226	4043	6698
SLU-SIS-055	2506	6484	-21110	-60407	19289	4043	6951
SLU-SIS-056	2541	6444	-20684	-59800	20465	4043	6927
SLU-SIS-057	2394	6389	-20564	-60240	18237	4043	6823
SLU-SIS-058	2416	6427	-20518	-60732	18426	4043	6866
SLU-SIS-059	2541	6481	-21077	-60399	19990	4043	6962
SLU-SIS-060	2524	6481	-21064	-60264	19440	4043	6955
SLU-SIS-061	2708	6408	-21110	-59361	21188	4043	6957
SLU-SIS-062	2778	6389	-20684	-59039	22694	4043	6967
SLU-SIS-063	2484	6361	-20564	-59854	19084	4043	6829
SLU-SIS-064	2528	6380	-20518	-60072	19477	4043	6863
SLU-SIS-065	2778	6407	-21077	-59368	22219	4043	6984
SLU-SIS-066	2743	6407	-21064	-59238	21504	4043	6969
SLU-SIS-067	2778	6381	-17102	-58993	22189	4043	6960
SLU-SIS-068	2180	1900	-26864	-19345	20340	1675	2892
SLU-SIS-069	2397	1900	-26864	-19345	22374	1675	3058
SLU-SIS-070	2397	1900	-23697	-19344	22371	1675	3058
SLU-SIS-071	2180	1900	-28003	-19496	20356	1675	2892
SLU-SIS-072	2506	2050	-28003	-21589	23420	1675	3238
SLU-SIS-073	2541	2011	-27576	-20982	24596	1675	3240
SLU-SIS-074	2394	1956	-27457	-21422	22368	1675	3092
SLU-SIS-075	2416	1994	-27410	-21913	22557	1675	3133
SLU-SIS-076	2541	2048	-27969	-21580	24121	1675	3264
SLU-SIS-077	2524	2047	-27956	-21445	23571	1675	3250
SLU-SIS-078	2708	1975	-28003	-20542	25319	1675	3352
SLU-SIS-079	2778	1955	-27576	-20221	26825	1675	3397
SLU-SIS-080	2484	1928	-27457	-21035	23215	1675	3145
SLU-SIS-081	2528	1947	-27410	-21254	23608	1675	3191
SLU-SIS-082	2778	1974	-27969	-20549	26350	1675	3408
SLU-SIS-083	2743	1974	-27956	-20419	25635	1675	3379
SLU-SIS-084	2778	1948	-23995	-20177	26320	1675	3393
SLU-SIS-085	2180	1900	-16261	-15867	13986	1675	2892
SLU-SIS-086	2397	1900	-16261	-15867	16019	1675	3058
SLU-SIS-087	2397	1900	-13093	-15866	16016	1675	3058
SLU-SIS-088	2180	1900	-17399	-16018	14002	1675	2892
SLU-SIS-089	2506	2050	-17399	-18110	17065	1675	3238



SLU-SIS-090	2541	2011	-16972	-17504	18241	1675	3240
SLU-SIS-091	2394	1956	-16853	-17944	16013	1675	3092
SLU-SIS-092	2416	1994	-16807	-18435	16202	1675	3133
SLU-SIS-093	2541	2048	-17365	-18101	17766	1675	3264
SLU-SIS-094	2524	2047	-17353	-17967	17216	1675	3250
SLU-SIS-095	2708	1975	-17399	-17064	18963	1675	3352
SLU-SIS-096	2778	1955	-16972	-16742	20469	1675	3397
SLU-SIS-097	2484	1928	-16853	-17557	16860	1675	3145
SLU-SIS-098	2528	1947	-16807	-17776	17253	1675	3191
SLU-SIS-099	2778	1974	-17365	-17071	19994	1675	3408
SLU-SIS-100	2743	1974	-17353	-16941	19280	1675	3379
SLU-SIS-101	2778	1948	-13391	-16699	19964	1675	3393
SLU-SIS-102	-7268	-1900	-23153	17086	-56266	-3217	7512
SLU-SIS-103	-7051	-1900	-23153	17086	-54232	-3217	7303
SLU-SIS-104	-7051	-1900	-19986	17085	-54223	-3217	7303
SLU-SIS-105	-6850	-1750	-24291	14843	-52326	-3217	7070
SLU-SIS-106	-6815	-1789	-23865	15449	-51146	-3217	7045
SLU-SIS-107	-6961	-1844	-23745	15009	-53374	-3217	7201
SLU-SIS-108	-6940	-1806	-23699	14518	-53184	-3217	7171
SLU-SIS-109	-6815	-1752	-24258	14852	-51624	-3217	7036
SLU-SIS-110	-6832	-1753	-24245	14986	-52174	-3217	7053
SLU-SIS-111	-6648	-1825	-24291	15889	-50427	-3217	6894
SLU-SIS-112	-6578	-1845	-23865	16211	-48918	-3217	6831
SLU-SIS-113	-6871	-1872	-23745	15396	-52526	-3217	7122
SLU-SIS-114	-6828	-1853	-23699	15177	-52133	-3217	7075
SLU-SIS-115	-6578	-1826	-24258	15882	-49396	-3217	6826
SLU-SIS-116	-6613	-1826	-24245	16012	-50110	-3217	6860
SLU-SIS-117	-6578	-1852	-20283	16252	-49408	-3217	6833
SLU-SIS-118	-7268	-1900	-19972	18126	-58152	-3217	7512
SLU-SIS-119	-7051	-1900	-19972	18126	-56118	-3217	7303
SLU-SIS-120	-7051	-1900	-16805	18125	-56109	-3217	7303
SLU-SIS-121	-7268	-1900	-21110	17976	-58144	-3217	7512
SLU-SIS-122	-6942	-1750	-21110	15884	-55080	-3217	7159
SLU-SIS-123	-6907	-1789	-20684	16490	-53901	-3217	7135
SLU-SIS-124	-7054	-1844	-20564	16049	-56128	-3217	7291
SLU-SIS-125	-7032	-1806	-20518	15558	-55939	-3217	7260
SLU-SIS-126	-6907	-1752	-21077	15892	-54379	-3217	7126
SLU-SIS-127	-6924	-1753	-21064	16027	-54929	-3217	7143
SLU-SIS-128	-6740	-1825	-21110	16930	-53182	-3217	6983
SLU-SIS-129	-6670	-1845	-20684	17251	-51673	-3217	6920
SLU-SIS-130	-6964	-1872	-20564	16436	-55281	-3217	7211
SLU-SIS-131	-6920	-1853	-20518	16218	-54888	-3217	7164
SLU-SIS-132	-6670	-1826	-21077	16923	-52151	-3217	6915
SLU-SIS-133	-6705	-1826	-21064	17053	-52865	-3217	6949
SLU-SIS-134	-6670	-1852	-17102	17292	-52163	-3217	6922

SLU-SIS-135	-2180	-6333	-23153	58167	-16214	-4043	6698
SLU-SIS-136	-1964	-6333	-23153	58167	-14180	-4043	6631
SLU-SIS-137	-1964	-6333	-19986	58165	-14178	-4043	6631
SLU-SIS-138	-2180	-6333	-24291	58019	-16202	-4043	6698
SLU-SIS-139	-1855	-6183	-24291	55926	-13138	-4043	6455
SLU-SIS-140	-1820	-6222	-23865	56532	-11961	-4043	6483
SLU-SIS-141	-1966	-6277	-23745	56092	-14189	-4043	6578
SLU-SIS-142	-1945	-6239	-23699	55600	-13999	-4043	6535
SLU-SIS-143	-1820	-6185	-24258	55935	-12437	-4043	6447
SLU-SIS-144	-1837	-6186	-24245	56069	-12987	-4043	6453
SLU-SIS-145	-1653	-6258	-24291	56973	-11240	-4043	6473
SLU-SIS-146	-1583	-6278	-23865	57293	-9732	-4043	6474
SLU-SIS-147	-1876	-6305	-23745	56478	-13341	-4043	6578
SLU-SIS-148	-1833	-6286	-23699	56260	-12948	-4043	6548
SLU-SIS-149	-1583	-6259	-24258	56965	-10208	-4043	6456
SLU-SIS-150	-1618	-6260	-24245	57095	-10923	-4043	6465
SLU-SIS-151	-1583	-6285	-20283	57332	-10230	-4043	6481
SLU-SIS-152	-2180	-6333	-19972	59204	-18111	-4043	6698
SLU-SIS-153	-1964	-6333	-19972	59204	-16077	-4043	6631
SLU-SIS-154	-1964	-6333	-16805	59202	-16075	-4043	6631
SLU-SIS-155	-2180	-6333	-21110	59056	-18098	-4043	6698
SLU-SIS-156	-1855	-6183	-21110	56963	-15035	-4043	6455
SLU-SIS-157	-1820	-6222	-20684	57569	-13858	-4043	6483
SLU-SIS-158	-1966	-6277	-20564	57129	-16085	-4043	6578
SLU-SIS-159	-1945	-6239	-20518	56637	-15896	-4043	6535
SLU-SIS-160	-1820	-6185	-21077	56972	-14334	-4043	6447
SLU-SIS-161	-1837	-6186	-21064	57106	-14884	-4043	6453
SLU-SIS-162	-1653	-6258	-21110	58010	-13137	-4043	6473
SLU-SIS-163	-1583	-6278	-20684	58330	-11629	-4043	6474
SLU-SIS-164	-1876	-6305	-20564	57515	-15238	-4043	6578
SLU-SIS-165	-1833	-6286	-20518	57297	-14845	-4043	6548
SLU-SIS-166	-1583	-6259	-21077	58003	-12106	-4043	6456
SLU-SIS-167	-1618	-6260	-21064	58132	-12820	-4043	6465
SLU-SIS-168	-1583	-6285	-17102	58369	-12127	-4043	6481
SLU-SIS-169	-2180	-1900	-26864	15872	-14002	-1675	2892
SLU-SIS-170	-1964	-1900	-26864	15872	-11967	-1675	2733
SLU-SIS-171	-1964	-1900	-23697	15871	-11965	-1675	2733
SLU-SIS-172	-2180	-1900	-28003	15722	-13989	-1675	2892
SLU-SIS-173	-1855	-1750	-28003	13629	-10925	-1675	2550
SLU-SIS-174	-1820	-1789	-27576	14235	-9748	-1675	2552
SLU-SIS-175	-1966	-1844	-27457	13795	-11976	-1675	2696
SLU-SIS-176	-1945	-1806	-27410	13304	-11786	-1675	2654
SLU-SIS-177	-1820	-1752	-27969	13638	-10224	-1675	2526
SLU-SIS-178	-1837	-1753	-27956	13772	-10774	-1675	2539
SLU-SIS-179	-1653	-1825	-28003	14675	-9026	-1675	2462



SLU-SIS-180	-1583	-1845	-27576	14997	-7519	-1675	2430
SLU-SIS-181	-1876	-1872	-27457	14182	-11128	-1675	2650
SLU-SIS-182	-1833	-1853	-27410	13963	-10735	-1675	2606
SLU-SIS-183	-1583	-1826	-27969	14668	-7995	-1675	2416
SLU-SIS-184	-1618	-1826	-27956	14798	-8710	-1675	2440
SLU-SIS-185	-1583	-1852	-23995	15038	-8017	-1675	2436
SLU-SIS-186	-2180	-1900	-16261	19340	-20324	-1675	2892
SLU-SIS-187	-1964	-1900	-16261	19340	-18290	-1675	2733
SLU-SIS-188	-1964	-1900	-13093	19339	-18288	-1675	2733
SLU-SIS-189	-2180	-1900	-17399	19190	-20311	-1675	2892
SLU-SIS-190	-1855	-1750	-17399	17098	-17248	-1675	2550
SLU-SIS-191	-1820	-1789	-16972	17704	-16071	-1675	2552
SLU-SIS-192	-1966	-1844	-16853	17263	-18298	-1675	2696
SLU-SIS-193	-1945	-1806	-16807	16772	-18109	-1675	2654
SLU-SIS-194	-1820	-1752	-17365	17106	-16547	-1675	2526
SLU-SIS-195	-1837	-1753	-17353	17241	-17097	-1675	2539
SLU-SIS-196	-1653	-1825	-17399	18144	-15350	-1675	2462
SLU-SIS-197	-1583	-1845	-16972	18465	-13843	-1675	2430
SLU-SIS-198	-1876	-1872	-16853	17650	-17451	-1675	2650
SLU-SIS-199	-1833	-1853	-16807	17432	-17058	-1675	2606
SLU-SIS-200	-1583	-1826	-17365	18137	-14319	-1675	2416
SLU-SIS-201	-1618	-1826	-17353	18267	-15034	-1675	2440
SLU-SIS-202	-1583	-1852	-13391	18506	-14341	-1675	2436

SLE-RAR-001			-21562				
SLE-RAR-002	338	861	-21562	-12716	3177	0	925
SLE-RAR-003	563	516	-21562	-7630	5295	0	764
SLE-RAR-004	338	861	-18395	-12716	3177	0	925
SLE-RAR-005	563	516	-18395	-7629	5295	0	764
SLE-RAR-006	918	683	-27254	-10196	8697	0	1144
SLE-RAR-007	1077	504	-25121	-7440	14045	0	1189
SLE-RAR-008	410	255	-24524	-9440	3918	0	482
SLE-RAR-009	508	428	-24292	-11674	4778	0	664
SLE-RAR-010	1077	673	-27086	-10156	11885	0	1270
SLE-RAR-011	998	670	-27022	-9545	9383	0	1202
SLE-RAR-012	1835	342	-27254	-5440	17328	0	1867
SLE-RAR-013	2154	252	-25121	-3979	24176	0	2169
SLE-RAR-014	819	128	-24524	-7683	7769	0	829
SLE-RAR-015	1016	214	-24292	-8676	9556	0	1038
SLE-RAR-016	2154	337	-27086	-5472	22016	0	2180
SLE-RAR-017	1995	335	-27022	-4882	18767	0	2023
SLE-RAR-018	2154	218	-19884	-3787	21895	0	2165
SLE-RAR-019	918	1199	-27254	-17825	8697	0	1510
SLE-RAR-020	1077	1020	-25121	-15069	14045	0	1484

SLE-RAR-021	410	771	-24524	-17070	3918	0	873
SLE-RAR-022	508	944	-24292	-19304	4778	0	1072
SLE-RAR-023	1077	1189	-27086	-17785	11885	0	1605
SLE-RAR-024	998	1186	-27022	-17175	9383	0	1550
SLE-RAR-025	1835	858	-27254	-13070	17328	0	2026
SLE-RAR-026	2154	768	-25121	-11609	24176	0	2287
SLE-RAR-027	819	644	-24524	-15312	7769	0	1042
SLE-RAR-028	1016	730	-24292	-16306	9556	0	1251
SLE-RAR-029	2154	853	-27086	-13102	22016	0	2317
SLE-RAR-030	1995	851	-27022	-12512	18767	0	2169
SLE-RAR-031	2154	734	-19884	-11416	21895	0	2276
SLE-RAR-032	1201	683	-27254	-10196	11359	0	1381
SLE-RAR-033	1360	504	-25121	-7440	16707	0	1450
SLE-RAR-034	693	255	-24524	-9440	6580	0	738
SLE-RAR-035	791	428	-24292	-11674	7440	0	899
SLE-RAR-036	1360	673	-27086	-10156	14547	0	1517
SLE-RAR-037	1281	670	-27022	-9545	12045	0	1445
SLE-RAR-038	2118	342	-27254	-5440	19990	0	2145
SLE-RAR-039	2437	252	-25121	-3979	26838	0	2450
SLE-RAR-040	1102	128	-24524	-7683	10431	0	1109
SLE-RAR-041	1299	214	-24292	-8676	12218	0	1317
SLE-RAR-042	2437	337	-27086	-5472	24678	0	2460
SLE-RAR-043	2278	335	-27022	-4882	21429	0	2303
SLE-RAR-044	2437	218	-19884	-3787	24557	0	2447
SLE-RAR-045	1086	683	-27254	-10196	10277	0	1282
SLE-RAR-046	1245	504	-25121	-7440	15626	0	1343
SLE-RAR-047	578	255	-24524	-9440	5498	0	631
SLE-RAR-048	676	428	-24292	-11674	6358	0	800
SLE-RAR-049	1245	673	-27086	-10156	13465	0	1415
SLE-RAR-050	1166	670	-27022	-9545	10964	0	1344
SLE-RAR-051	2003	342	-27254	-5440	18908	0	2032
SLE-RAR-052	2322	252	-25121	-3979	25756	0	2336
SLE-RAR-053	987	128	-24524	-7683	9350	0	995
SLE-RAR-054	1184	214	-24292	-8676	11137	0	1203
SLE-RAR-055	2322	337	-27086	-5472	23596	0	2346
SLE-RAR-056	2163	335	-27022	-4882	20347	0	2189
SLE-RAR-057	2322	218	-19884	-3787	23476	0	2332
SLE-RAR-058	1369	1199	-27254	-17825	12939	0	1820
SLE-RAR-059	1528	1020	-25121	-15069	18287	0	1837
SLE-RAR-060	861	771	-24524	-17070	8160	0	1156
SLE-RAR-061	959	944	-24292	-19304	9020	0	1346
SLE-RAR-062	1528	1189	-27086	-17785	16127	0	1936
SLE-RAR-063	1449	1186	-27022	-17175	13626	0	1872
SLE-RAR-064	2286	858	-27254	-13070	21570	0	2442
SLE-RAR-065	2605	768	-25121	-11609	28418	0	2716

SLE-RAR-066	1270	644	-24524	-15312	12012	0	1424
SLE-RAR-067	1467	730	-24292	-16306	13798	0	1639
SLE-RAR-068	2605	853	-27086	-13102	26258	0	2741
SLE-RAR-069	2446	851	-27022	-12512	23009	0	2590
SLE-RAR-070	2605	734	-19884	-11416	26137	0	2707
SLE-RAR-071	1101	410	-24978	-6117	10396	0	1175
SLE-RAR-072	1292	302	-23698	-4464	14505	0	1327
SLE-RAR-073	655	204	-23932	-7552	6215	0	686
SLE-RAR-074	813	342	-23746	-9339	7645	0	882
SLE-RAR-075	1292	404	-24877	-6093	13208	0	1354
SLE-RAR-076	1197	402	-24838	-5727	11259	0	1263
SLE-RAR-077	1292	262	-20181	-4544	14120	0	1319
SLE-RAR-078	1101	926	-24978	-13747	10396	0	1439
SLE-RAR-079	1292	819	-23698	-12093	14505	0	1530
SLE-RAR-080	655	720	-23932	-15182	6215	0	974
SLE-RAR-081	813	859	-23746	-16969	7645	0	1182
SLE-RAR-082	1292	920	-24877	-13723	13208	0	1587
SLE-RAR-083	1197	918	-24838	-13357	11259	0	1509
SLE-RAR-084	1292	778	-20181	-12173	14120	0	1509
SLE-RAR-085	1384	410	-24978	-6117	13058	0	1443
SLE-RAR-086	1575	302	-23698	-4464	17167	0	1604
SLE-RAR-087	938	204	-23932	-7552	8877	0	960
SLE-RAR-088	1096	342	-23746	-9339	10307	0	1148
SLE-RAR-089	1575	404	-24877	-6093	15870	0	1626
SLE-RAR-090	1480	402	-24838	-5727	13921	0	1534
SLE-RAR-091	1575	262	-20181	-4544	16781	0	1597
SLE-RAR-092	1269	410	-24978	-6117	11976	0	1334
SLE-RAR-093	1460	302	-23698	-4464	16085	0	1491
SLE-RAR-094	823	204	-23932	-7552	7796	0	848
SLE-RAR-095	981	342	-23746	-9339	9225	0	1039
SLE-RAR-096	1460	404	-24877	-6093	14789	0	1515
SLE-RAR-097	1365	402	-24838	-5727	12839	0	1423
SLE-RAR-098	1460	262	-20181	-4544	15700	0	1484
SLE-RAR-099	1552	926	-24978	-13747	14638	0	1807
SLE-RAR-100	1743	819	-23698	-12093	18747	0	1926
SLE-RAR-101	1106	720	-23932	-15182	10457	0	1320
SLE-RAR-102	1264	859	-23746	-16969	11887	0	1528
SLE-RAR-103	1743	920	-24877	-13723	17451	0	1971
SLE-RAR-104	1648	918	-24838	-13357	15501	0	1887
SLE-RAR-105	1743	778	-20181	-12173	18361	0	1909
SLE-QPE-001	0	0	-21562	0	0	0	0
SLE-QPE-002	563	0	-21562	0	5295	0	563

## 5 DISTRIBUZIONE DELLE SOLLECITAZIONI IN TESTA PALI

### 5.1 GEOMETRIA DELLA PALIFICATA DI FONDAZIONE

Diametro dei pali di fondazione e loro numero:

diam            **1.2**    m

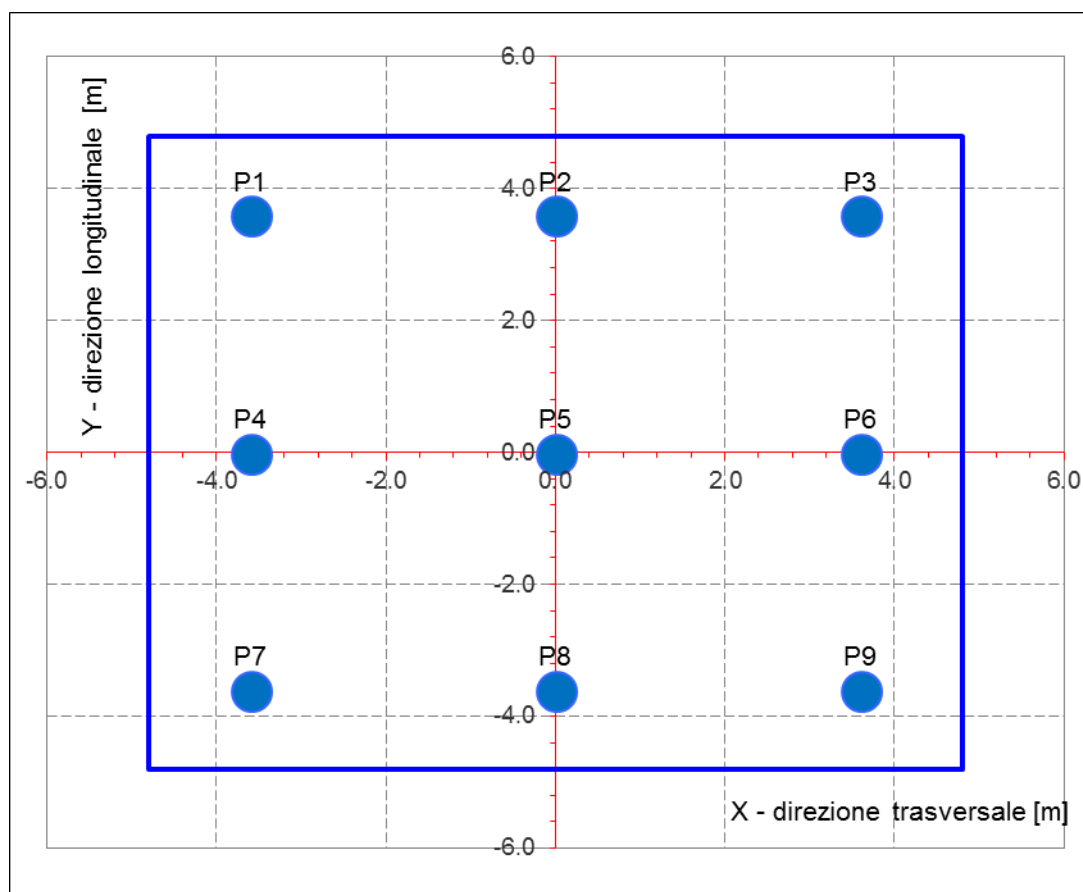
Num tot        **9**        Numero totale di pali

Geometria del plinto:

dtrasv        **9.6**    m

dlong         **9.6**    m

hpl            **2.5**    m



Le caratteristiche di sollecitazione sul singolo palo sono state determinate a partire dalle sollecitazioni riportate all'intradosso del plinto di fondazione, secondo le seguenti relazioni (*distribuzione rigida delle sollecitazioni*):

$$N_{\max} = F_3 / n_{\text{pali}} + \text{ass}(M_1) / W_{1\text{palificata}} + \text{ass}(M_2) / W_{2\text{palificata}}$$

$$N_{\min} = F_3 / n_{\text{pali}} - \text{ass}(M_1) / W_{1\text{palificata}} - \text{ass}(M_2) / W_{2\text{palificata}}$$

$$H = \sqrt{(F_1 / n_{\text{pali}})^2 + (F_2 / n_{\text{pali}})^2}$$

**NB: coordinate riferite al baricentro della palificata**

num.	X (trasv)	Y (long)	X2	Y2	Wl	Wt
	m	m	m2	m2		
P1	-3.60	3.60	13.0	13.0	2.2E+01	-2.2E+01
P2	0.00	3.60	0.0	13.0	2.2E+01	1.0E+99
P3	3.60	3.60	13.0	13.0	2.2E+01	2.2E+01
P4	-3.60	0.00	13.0	0.0	1.0E+99	-2.2E+01
P5	0.00	0.00	0.0	0.0	1.0E+99	1.0E+99
P6	3.60	0.00	13.0	0.0	1.0E+99	2.2E+01
P7	-3.60	-3.60	13.0	13.0	-2.2E+01	-2.2E+01
P8	0.00	-3.60	0.0	13.0	-2.2E+01	1.0E+99
P9	3.60	-3.60	13.0	13.0	-2.2E+01	2.2E+01
P10						
P11						
P12						
P13						
P14						
P15						
P16						
P17						
P18						
P19						
P20						

$\Sigma X2$	$\Sigma Y2$
77.76	77.76
m4	m4

## 5.2 DISTRIBUZIONE DELLE SOLLECITAZIONI IN TESTA AI PALI

Per ogni palo della fondazione e per ogni combinazione di carico considerata, si riportano a seguire i valori delle forze assiali agenti in testa  $N_{max}$  [kN] e  $N_{min}$  [kN], il valore del taglio medio incrementato del coefficiente che tiene conto dell'effetto gruppo ( $T_{med,gr} = 1.1 * T_{med}$  [kN]), nonché il valore del momento flettente agente alla testa del palo (valore massimo). Per il calcolo di tale valore in funzione del taglio agente alla testa del palo, si rimanda all'elaborato progettuale "IF1N.0.1.E.ZZ.RB.GE.00.0.5.001.A - Relazione geotecnica generale di linea delle opere all'aperto".

D (m)	1.2
kh (kN/m3)	29167
fck (Mpa)	25
E (Mpa)	31476
J (m4)	0.1018
$\lambda$ (cm)	437.44

	$N_{max}$	$N_{min}$	$T_{media}$	$T_{media\_gruopo}$	$M_{max}$
	[kN]	[kN]	[kN]	[kN]	[kNm]
SLU-STR-001	3345	3345	0	0	0
SLU-STR-002	4449	2242	154	170	371
SLU-STR-003	4237	2454	126	139	304
SLU-STR-004	3148	940	154	170	371
SLU-STR-005	2935	1153	126	139	304
SLU-STR-006	5535	2990	185	204	445
SLU-STR-007	5366	2472	193	212	464
SLU-STR-008	4721	2924	78	86	188
SLU-STR-009	4892	2679	107	118	259
SLU-STR-010	5720	2751	206	226	495
SLU-STR-011	5500	2950	195	214	468
SLU-STR-012	5793	2732	301	331	724
SLU-STR-013	5811	2027	349	384	841
SLU-STR-014	4861	2784	134	147	321
SLU-STR-015	5011	2560	167	184	403
SLU-STR-016	6083	2388	351	386	845
SLU-STR-017	5815	2635	326	359	784
SLU-STR-018	4012	559	349	384	839
SLU-STR-019	6065	2460	246	271	592
SLU-STR-020	5896	1942	242	266	582
SLU-STR-021	5251	2394	143	158	345
SLU-STR-022	5422	2149	176	193	422
SLU-STR-023	6250	2221	261	288	629

---

SLU-STR-024	6030	2420		253	278	608
SLU-STR-025	6323	2202		328	361	789
SLU-STR-026	6341	1497		370	406	889
SLU-STR-027	5391	2255		170	187	408
SLU-STR-028	5541	2030		203	224	489
SLU-STR-029	6613	1858		374	412	901
SLU-STR-030	6345	2105		351	386	844
SLU-STR-031	4542	29		368	404	885
SLU-STR-032	5714	2811		223	246	538
SLU-STR-033	5545	2293		235	258	565
SLU-STR-034	4900	2745		119	131	287
SLU-STR-035	5071	2500		145	160	350
SLU-STR-036	5899	2572		246	270	591
SLU-STR-037	5679	2771		234	257	563
SLU-STR-038	5972	2553		346	380	832
SLU-STR-039	5990	1848		395	434	950
SLU-STR-040	5040	2606		179	197	430
SLU-STR-041	5190	2381		212	233	510
SLU-STR-042	6262	2209		396	436	954
SLU-STR-043	5994	2456		371	408	893
SLU-STR-044	4191	380		394	434	948
SLU-STR-045	5645	2880		208	229	501
SLU-STR-046	5476	2362		218	240	525
SLU-STR-047	4831	2814		103	113	248
SLU-STR-048	5002	2569		130	143	313
SLU-STR-049	5830	2641		230	253	553
SLU-STR-050	5610	2840		218	240	525
SLU-STR-051	5903	2622		328	361	790
SLU-STR-052	5921	1917		377	415	908
SLU-STR-053	4971	2675		161	177	388
SLU-STR-054	5121	2450		195	214	469
SLU-STR-055	6193	2278		379	417	912
SLU-STR-056	5925	2525		354	389	851
SLU-STR-057	4122	449		377	414	906
SLU-STR-058	6353	2172		297	326	713
SLU-STR-059	6184	1653		299	329	720
SLU-STR-060	5540	2106		189	208	455
SLU-STR-061	5710	1860		220	242	529
SLU-STR-062	6538	1933		315	347	759
SLU-STR-063	6319	2131		305	336	734
SLU-STR-064	6612	1913		395	435	951
SLU-STR-065	6629	1209		439	483	1057
SLU-STR-066	5679	1966		232	255	557

---

SLU-STR-067	5829	1741		266	293	641
SLU-STR-068	6902	1569		444	488	1067
SLU-STR-069	6634	1817		419	461	1009
SLU-STR-070	4830	-259		438	482	1053

	<b>N<sub>max</sub></b>	<b>N<sub>min</sub></b>		<b>T<sub>media</sub></b>	<b>T<sub>media_gruppo</sub></b>	<b>M<sub>max</sub></b>
	[kN]	[kN]		[kN]	[kN]	[kNm]
SLU-GEO-001	2618	2618		0	0	0
SLU-GEO-002	3575	1662		134	147	321
SLU-GEO-003	3390	1846		109	120	263
SLU-GEO-004	3000	1087		134	147	321
SLU-GEO-005	2816	1272		109	120	263
SLU-GEO-006	4506	2311		160	176	384
SLU-GEO-007	4360	1864		166	183	400
SLU-GEO-008	3804	2255		67	74	162
SLU-GEO-009	3952	2043		93	102	223
SLU-GEO-010	4666	2105		177	195	427
SLU-GEO-011	4476	2277		168	185	404
SLU-GEO-012	4729	2089		259	285	624
SLU-GEO-013	4743	1481		301	331	725
SLU-GEO-014	3925	2134		115	127	277
SLU-GEO-015	4054	1941		144	159	347
SLU-GEO-016	4978	1792		303	333	729
SLU-GEO-017	4747	2006		281	309	676
SLU-GEO-018	3741	764		301	331	724
SLU-GEO-019	4965	1852		213	234	512
SLU-GEO-020	4820	1405		209	230	503
SLU-GEO-021	4264	1795		124	136	298
SLU-GEO-022	4411	1584		152	167	365
SLU-GEO-023	5125	1646		226	248	543
SLU-GEO-024	4935	1817		218	240	525
SLU-GEO-025	5188	1630		283	311	680
SLU-GEO-026	5203	1022		319	351	767
SLU-GEO-027	4384	1675		147	161	353
SLU-GEO-028	4513	1481		176	193	423
SLU-GEO-029	5438	1333		323	355	777
SLU-GEO-030	5206	1546		303	333	728
SLU-GEO-031	4200	304		317	349	763
SLU-GEO-032	4660	2157		193	212	464
SLU-GEO-033	4515	1710		203	223	487
SLU-GEO-034	3958	2101		103	113	248



---

SLU-GEO-035	4106	1889		125	138	302
SLU-GEO-036	4820	1951		212	233	510
SLU-GEO-037	4630	2123		202	222	485
SLU-GEO-038	4883	1935		298	328	717
SLU-GEO-039	4897	1327		340	374	819
SLU-GEO-040	4079	1980		154	170	371
SLU-GEO-041	4208	1787		183	201	440
SLU-GEO-042	5132	1638		342	376	822
SLU-GEO-043	4901	1852		320	352	770
SLU-GEO-044	3895	610		340	374	818
SLU-GEO-045	4601	2216		180	198	433
SLU-GEO-046	4456	1769		189	207	454
SLU-GEO-047	3899	2160		89	98	214
SLU-GEO-048	4047	1948		112	124	270
SLU-GEO-049	4761	2010		198	218	477
SLU-GEO-050	4571	2181		188	207	453
SLU-GEO-051	4824	1994		283	312	681
SLU-GEO-052	4839	1386		325	358	783
SLU-GEO-053	4020	2039		139	153	335
SLU-GEO-054	4149	1846		168	185	404
SLU-GEO-055	5073	1697		327	360	786
SLU-GEO-056	4842	1910		305	335	734
SLU-GEO-057	3836	668		325	357	782
SLU-GEO-058	5214	1603		256	282	616
SLU-GEO-059	5069	1156		259	284	622
SLU-GEO-060	4513	1546		163	180	393
SLU-GEO-061	4660	1335		190	209	457
SLU-GEO-062	5374	1397		272	300	655
SLU-GEO-063	5185	1568		263	290	634
SLU-GEO-064	5437	1380		341	375	821
SLU-GEO-065	5452	773		379	417	912
SLU-GEO-066	4633	1426		200	220	481
SLU-GEO-067	4762	1232		230	253	553
SLU-GEO-068	5687	1084		383	421	921
SLU-GEO-069	5456	1297		362	398	870
SLU-GEO-070	4449	55		378	415	909

---

	<b>N<sub>max</sub></b>	<b>N<sub>min</sub></b>	<b>T<sub>media</sub></b>	<b>T<sub>media_gruopo</sub></b>	<b>M<sub>max</sub></b>
	[kN]	[kN]	[kN]	[kN]	[kNm]
SLU-SIS-001	6105	-960	835	918	2008
SLU-SIS-002	6199	-1054	858	944	2064
SLU-SIS-003	5847	-1405	858	944	2064
SLU-SIS-004	6518	-1120	884	972	2126
SLU-SIS-005	6497	-1194	886	975	2133
SLU-SIS-006	6401	-1124	869	956	2091
SLU-SIS-007	6427	-1161	873	960	2099
SLU-SIS-008	6546	-1156	888	976	2135
SLU-SIS-009	6513	-1126	886	974	2131
SLU-SIS-010	6558	-1160	903	994	2174
SLU-SIS-011	6565	-1262	911	1002	2191
SLU-SIS-012	6422	-1146	878	966	2113
SLU-SIS-013	6445	-1179	883	972	2125
SLU-SIS-014	6602	-1211	911	1002	2192
SLU-SIS-015	6561	-1174	907	998	2183
SLU-SIS-016	6141	-1634	910	1001	2190
SLU-SIS-017	5614	-1176	835	918	2008
SLU-SIS-018	5708	-1270	858	944	2064
SLU-SIS-019	5356	-1622	858	944	2064
SLU-SIS-020	5749	-1057	835	918	2008
SLU-SIS-021	5987	-1296	874	961	2103
SLU-SIS-022	5966	-1370	877	964	2109
SLU-SIS-023	5870	-1300	859	945	2067
SLU-SIS-024	5897	-1337	863	949	2075
SLU-SIS-025	6016	-1332	878	965	2111
SLU-SIS-026	5983	-1302	876	963	2107
SLU-SIS-027	6027	-1336	894	983	2150
SLU-SIS-028	6034	-1438	901	991	2167
SLU-SIS-029	5891	-1322	868	955	2089
SLU-SIS-030	5915	-1355	873	961	2101
SLU-SIS-031	6071	-1387	901	991	2168
SLU-SIS-032	6031	-1350	897	987	2159
SLU-SIS-033	5610	-1810	900	990	2166
SLU-SIS-034	6152	-1007	744	819	1791
SLU-SIS-035	6247	-1101	752	828	1810
SLU-SIS-036	5894	-1453	752	828	1810
SLU-SIS-037	6287	-889	744	819	1791
SLU-SIS-038	6525	-1127	772	850	1858
SLU-SIS-039	6504	-1201	770	847	1852

---

SLU-SIS-040	6408	-1132		758	834	1824
SLU-SIS-041	6435	-1168		763	839	1836
SLU-SIS-042	6554	-1163		774	851	1861
SLU-SIS-043	6521	-1133		773	850	1859
SLU-SIS-044	6565	-1167		773	850	1860
SLU-SIS-045	6572	-1269		774	851	1862
SLU-SIS-046	6430	-1153		759	835	1826
SLU-SIS-047	6453	-1186		763	839	1835
SLU-SIS-048	6609	-1219		776	854	1867
SLU-SIS-049	6569	-1181		774	852	1863
SLU-SIS-050	6149	-1641		773	851	1860
SLU-SIS-051	5662	-1224		744	819	1791
SLU-SIS-052	5756	-1318		752	828	1810
SLU-SIS-053	5404	-1670		752	828	1810
SLU-SIS-054	5797	-1105		744	819	1791
SLU-SIS-055	6035	-1344		772	850	1858
SLU-SIS-056	6014	-1418		770	847	1852
SLU-SIS-057	5918	-1348		758	834	1824
SLU-SIS-058	5944	-1385		763	839	1836
SLU-SIS-059	6064	-1380		774	851	1861
SLU-SIS-060	6030	-1350		773	850	1859
SLU-SIS-061	6075	-1384		773	850	1860
SLU-SIS-062	6082	-1486		774	851	1862
SLU-SIS-063	5939	-1370		759	835	1826
SLU-SIS-064	5963	-1403		763	839	1835
SLU-SIS-065	6119	-1435		776	854	1867
SLU-SIS-066	6079	-1398		774	852	1863
SLU-SIS-067	5659	-1858		773	851	1860
SLU-SIS-068	4822	1148		321	353	773
SLU-SIS-069	4916	1054		340	374	818
SLU-SIS-070	4564	702		340	374	818
SLU-SIS-071	4956	1266		321	353	773
SLU-SIS-072	5195	1028		360	396	866
SLU-SIS-073	5174	954		360	396	866
SLU-SIS-074	5078	1023		344	378	826
SLU-SIS-075	5104	987		348	383	837
SLU-SIS-076	5223	992		363	399	872
SLU-SIS-077	5190	1022		361	397	869
SLU-SIS-078	5235	988		372	410	896
SLU-SIS-079	5242	886		377	415	908
SLU-SIS-080	5099	1002		349	384	841
SLU-SIS-081	5123	969		355	390	853
SLU-SIS-082	5279	936		379	417	911

---

---

SLU-SIS-083	5238	974		375	413	903
SLU-SIS-084	4819	513		377	415	907
SLU-SIS-085	3189	425		321	353	773
SLU-SIS-086	3283	331		340	374	818
SLU-SIS-087	2931	-21		340	374	818
SLU-SIS-088	3323	543		321	353	773
SLU-SIS-089	3562	305		360	396	866
SLU-SIS-090	3541	231		360	396	866
SLU-SIS-091	3445	300		344	378	826
SLU-SIS-092	3471	264		348	383	837
SLU-SIS-093	3590	269		363	399	872
SLU-SIS-094	3557	299		361	397	869
SLU-SIS-095	3601	265		372	410	896
SLU-SIS-096	3609	163		377	415	908
SLU-SIS-097	3466	279		349	384	841
SLU-SIS-098	3489	246		355	390	853
SLU-SIS-099	3645	213		379	417	911
SLU-SIS-100	3605	251		375	413	903
SLU-SIS-101	3185	-209		377	415	907
SLU-SIS-102	5968	-823		835	918	2008
SLU-SIS-103	5874	-729		811	893	1952
SLU-SIS-104	5522	-1081		811	893	1952
SLU-SIS-105	5809	-411		786	864	1890
SLU-SIS-106	5735	-431		783	861	1883
SLU-SIS-107	5804	-527		800	880	1925
SLU-SIS-108	5768	-501		797	876	1917
SLU-SIS-109	5773	-382		782	860	1881
SLU-SIS-110	5803	-415		784	862	1885
SLU-SIS-111	5769	-371		766	843	1843
SLU-SIS-112	5667	-364		759	835	1826
SLU-SIS-113	5783	-506		791	870	1904
SLU-SIS-114	5749	-483		786	865	1891
SLU-SIS-115	5717	-327		758	834	1825
SLU-SIS-116	5755	-367		762	838	1834
SLU-SIS-117	5294	-786		759	835	1827
SLU-SIS-118	5750	-1312		835	918	2008
SLU-SIS-119	5656	-1218		811	893	1952
SLU-SIS-120	5304	-1570		811	893	1952
SLU-SIS-121	5870	-1178		835	918	2008
SLU-SIS-122	5631	-940		795	875	1914
SLU-SIS-123	5557	-961		793	872	1907
SLU-SIS-124	5626	-1057		810	891	1949
SLU-SIS-125	5590	-1030		807	887	1941

---

---

SLU-SIS-126	5595	-911		792	871	1905
SLU-SIS-127	5625	-945		794	873	1909
SLU-SIS-128	5592	-900		776	853	1867
SLU-SIS-129	5489	-893		769	846	1850
SLU-SIS-130	5605	-1035		801	881	1928
SLU-SIS-131	5572	-1012		796	876	1915
SLU-SIS-132	5540	-856		768	845	1849
SLU-SIS-133	5577	-897		772	849	1858
SLU-SIS-134	5116	-1315		769	846	1850
SLU-SIS-135	6016	-871		744	819	1791
SLU-SIS-136	5922	-777		737	810	1773
SLU-SIS-137	5570	-1129		737	810	1773
SLU-SIS-138	6135	-737		744	819	1791
SLU-SIS-139	5896	-498		717	789	1726
SLU-SIS-140	5823	-519		720	792	1733
SLU-SIS-141	5892	-615		731	804	1758
SLU-SIS-142	5855	-589		726	799	1747
SLU-SIS-143	5861	-470		716	788	1724
SLU-SIS-144	5891	-503		717	789	1725
SLU-SIS-145	5857	-459		719	791	1730
SLU-SIS-146	5755	-451		719	791	1731
SLU-SIS-147	5871	-594		731	804	1759
SLU-SIS-148	5837	-571		728	800	1750
SLU-SIS-149	5805	-415		717	789	1726
SLU-SIS-150	5843	-455		718	790	1728
SLU-SIS-151	5382	-874		720	792	1733
SLU-SIS-152	5799	-1360		744	819	1791
SLU-SIS-153	5704	-1266		737	810	1773
SLU-SIS-154	5352	-1618		737	810	1773
SLU-SIS-155	5918	-1226		744	819	1791
SLU-SIS-156	5679	-988		717	789	1726
SLU-SIS-157	5605	-1009		720	792	1733
SLU-SIS-158	5674	-1105		731	804	1758
SLU-SIS-159	5638	-1078		726	799	1747
SLU-SIS-160	5643	-959		716	788	1724
SLU-SIS-161	5673	-992		717	789	1725
SLU-SIS-162	5639	-948		719	791	1730
SLU-SIS-163	5537	-941		719	791	1731
SLU-SIS-164	5653	-1083		731	804	1759
SLU-SIS-165	5620	-1060		728	800	1750
SLU-SIS-166	5588	-904		717	789	1726
SLU-SIS-167	5625	-944		718	790	1728
SLU-SIS-168	5164	-1363		720	792	1733

---

SLU-SIS-169	4368	1602		321	353	773
SLU-SIS-170	4274	1696		304	334	731
SLU-SIS-171	3922	1344		304	334	731
SLU-SIS-172	4487	1736		321	353	773
SLU-SIS-173	4248	1975		283	312	682
SLU-SIS-174	4174	1954		284	312	682
SLU-SIS-175	4244	1858		300	329	721
SLU-SIS-176	4207	1884		295	324	709
SLU-SIS-177	4212	2003		281	309	675
SLU-SIS-178	4243	1970		282	310	679
SLU-SIS-179	4209	2014		274	301	658
SLU-SIS-180	4106	2022		270	297	650
SLU-SIS-181	4223	1879		294	324	709
SLU-SIS-182	4189	1902		290	319	697
SLU-SIS-183	4157	2058		268	295	646
SLU-SIS-184	4195	2018		271	298	652
SLU-SIS-185	3733	1599		271	298	651
SLU-SIS-186	3643	-30		321	353	773
SLU-SIS-187	3549	65		304	334	731
SLU-SIS-188	3197	-287		304	334	731
SLU-SIS-189	3762	104		321	353	773
SLU-SIS-190	3523	343		283	312	682
SLU-SIS-191	3449	322		284	312	682
SLU-SIS-192	3519	226		300	329	721
SLU-SIS-193	3482	253		295	324	709
SLU-SIS-194	3488	371		281	309	675
SLU-SIS-195	3518	338		282	310	679
SLU-SIS-196	3484	383		274	301	658
SLU-SIS-197	3382	390		270	297	650
SLU-SIS-198	3498	247		294	324	709
SLU-SIS-199	3464	271		290	319	697
SLU-SIS-200	3432	427		268	295	646
SLU-SIS-201	3470	386		271	298	652
SLU-SIS-202	3009	-33		271	298	651

	<b>N<sub>max</sub></b>	<b>N<sub>min</sub></b>	<b>T<sub>media</sub></b>	<b>T<sub>media_gruppo</sub></b>	<b>M<sub>max</sub></b>
	[kN]	[kN]	[kN]	[kN]	[kNm]
SLE-RAR-001	2396	2396	0	0	0
SLE-RAR-002	3132	1660	103	113	247
SLE-RAR-003	2994	1797	85	93	204

---

SLE-RAR-004	2780	1308		103	113	247
SLE-RAR-005	2642	1446		85	93	204
SLE-RAR-006	3903	2154		127	140	306
SLE-RAR-007	3786	1797		132	145	318
SLE-RAR-008	3343	2107		54	59	129
SLE-RAR-009	3461	1937		74	81	178
SLE-RAR-010	4030	1989		141	155	339
SLE-RAR-011	3879	2126		134	147	321
SLE-RAR-012	4082	1974		207	228	499
SLE-RAR-013	4095	1488		241	265	580
SLE-RAR-014	3440	2010		92	101	222
SLE-RAR-015	3543	1855		115	127	278
SLE-RAR-016	4282	1737		242	266	583
SLE-RAR-017	4097	1908		225	247	541
SLE-RAR-018	3398	1020		241	265	579
SLE-RAR-019	4256	1800		168	185	404
SLE-RAR-020	4139	1443		165	181	397
SLE-RAR-021	3697	1753		97	107	233
SLE-RAR-022	3814	1584		119	131	287
SLE-RAR-023	4383	1636		178	196	429
SLE-RAR-024	4232	1773		172	189	414
SLE-RAR-025	4436	1621		225	248	542
SLE-RAR-026	4448	1135		254	280	611
SLE-RAR-027	3794	1656		116	127	279
SLE-RAR-028	3896	1502		139	153	335
SLE-RAR-029	4635	1384		257	283	619
SLE-RAR-030	4451	1554		241	265	580
SLE-RAR-031	3751	667		253	278	608
SLE-RAR-032	4026	2030		153	169	369
SLE-RAR-033	3909	1673		161	177	388
SLE-RAR-034	3467	1983		82	90	197
SLE-RAR-035	3584	1814		100	110	240
SLE-RAR-036	4153	1866		169	185	406
SLE-RAR-037	4002	2003		161	177	386
SLE-RAR-038	4206	1851		238	262	574
SLE-RAR-039	4218	1365		272	299	655
SLE-RAR-040	3564	1886		123	136	297
SLE-RAR-041	3666	1732		146	161	352
SLE-RAR-042	4405	1614		273	301	658
SLE-RAR-043	4221	1784		256	281	616
SLE-RAR-044	3521	897		272	299	654
SLE-RAR-045	3976	2080		142	157	343
SLE-RAR-046	3859	1723		149	164	359

---

---

SLE-RAR-047	3417	2033		70	77	169
SLE-RAR-048	3534	1864		89	98	214
SLE-RAR-049	4103	1916		157	173	378
SLE-RAR-050	3952	2053		149	164	359
SLE-RAR-051	4155	1901		226	248	543
SLE-RAR-052	4168	1415		260	285	624
SLE-RAR-053	3513	1936		111	122	266
SLE-RAR-054	3616	1782		134	147	322
SLE-RAR-055	4355	1664		261	287	627
SLE-RAR-056	4170	1835		243	268	585
SLE-RAR-057	3471	947		259	285	623
SLE-RAR-058	4453	1604		202	222	486
SLE-RAR-059	4336	1247		204	225	491
SLE-RAR-060	3893	1557		128	141	309
SLE-RAR-061	4010	1388		150	165	360
SLE-RAR-062	4580	1440		215	237	518
SLE-RAR-063	4428	1577		208	229	501
SLE-RAR-064	4632	1425		271	298	653
SLE-RAR-065	4644	938		302	332	726
SLE-RAR-066	3990	1460		158	174	381
SLE-RAR-067	4093	1305		182	200	438
SLE-RAR-068	4832	1187		305	335	733
SLE-RAR-069	4647	1358		288	317	692
SLE-RAR-070	3948	471		301	331	724
SLE-RAR-071	3540	2011		131	144	314
SLE-RAR-072	3511	1755		147	162	355
SLE-RAR-073	3297	2022		76	84	183
SLE-RAR-074	3425	1852		98	108	236
SLE-RAR-075	3658	1871		150	165	362
SLE-RAR-076	3546	1973		140	154	338
SLE-RAR-077	3106	1378		147	161	352
SLE-RAR-078	3893	1658		160	176	385
SLE-RAR-079	3864	1402		170	187	409
SLE-RAR-080	3650	1668		108	119	260
SLE-RAR-081	3778	1499		131	145	316
SLE-RAR-082	4011	1517		176	194	424
SLE-RAR-083	3899	1620		168	184	403
SLE-RAR-084	3460	1025		168	184	403
SLE-RAR-085	3663	1888		160	176	386
SLE-RAR-086	3634	1632		178	196	429
SLE-RAR-087	3420	1898		107	117	257
SLE-RAR-088	3548	1729		128	140	307
SLE-RAR-089	3781	1747		181	199	435

---



SLE-RAR-090	3669	1850		170	187	410
SLE-RAR-091	3230	1255		177	195	427
SLE-RAR-092	3613	1938		148	163	356
SLE-RAR-093	3584	1682		166	182	399
SLE-RAR-094	3370	1949		94	104	227
SLE-RAR-095	3498	1779		115	127	278
SLE-RAR-096	3731	1797		168	185	405
SLE-RAR-097	3619	1900		158	174	380
SLE-RAR-098	3180	1305		165	181	397
SLE-RAR-099	4089	1461		201	221	483
SLE-RAR-100	4061	1205		214	235	515
SLE-RAR-101	3846	1472		147	161	353
SLE-RAR-102	3974	1303		170	187	408
SLE-RAR-103	4207	1321		219	241	527
SLE-RAR-104	4096	1424		210	231	504
SLE-RAR-105	3656	829		212	233	510

	<b>N<sub>max</sub></b>	<b>N<sub>min</sub></b>	<b>T<sub>media</sub></b>	<b>T<sub>media_grupo</sub></b>	<b>M<sub>max</sub></b>
	[kN]	[kN]	[kN]	[kN]	[kNm]
SLE-QPE-001	2396	2396	0	0	0
SLE-QPE-002	2641	2151	63	69	151

## 6 VERIFICHE STRUTTURALI DEL FUSTO PILA

### 6.1 GEOMETRIA DELLA SEZIONE ED ARMATURA

Si riporta a seguire una figura che illustra la geometria della sezione di verifica, nella quale è rappresentata una armatura tipologica.

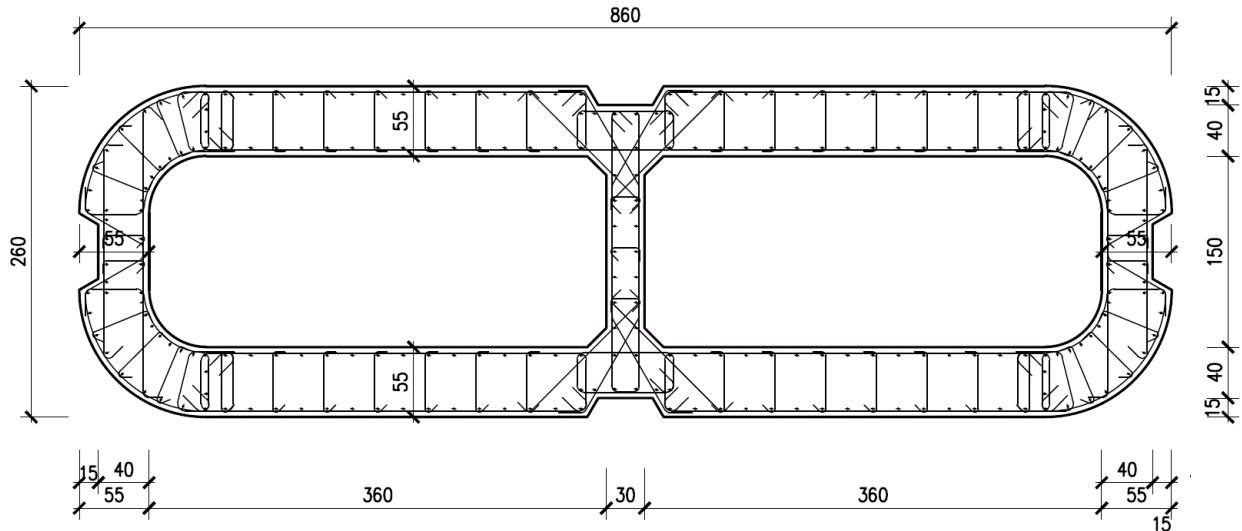


Figura 1 – Geometria della sezione trasversale della pila [cm]

#### 6.1.1 ARMATURA LONGITUDINALE

A seguire è indicata l'armatura flessionale prevista nella sezione di base del fusto pila, in termini di numero di barre presenti nello strato esterno (1° str.), nello strato interno (2° str.), nonché loro diametro  $f_i$  [mm].

n barre (1° str.)	124	
$f_i$ barre (1° str.)	20	mm
n barre (2° str.)	122	
$f_i$ barre (2° str.)	20	mm

#### 6.1.2 ARMATURA TRASVERSALE

A seguire è indicata l'armatura a taglio prevista nella sezione di base del fusto pila, all'interno della zona critica.

Direzione longitudinale

Staffe:

Spille:

Spille:

øw	16	mm	øw	8	mm	øw	16	mm
A1b	200.96	mm2	A1b	50.24	mm2	A1b	200.96	mm2
passo	100	mm	passo	100	mm	passo	100	mm
bracci	6		bracci	16		bracci	6	

Direzione trasversale

Staffe:

Spille:

Spille:

øw	16	mm	øw	8	mm	øw	16	mm
A1b	200.96	mm2	A1b	50.24	mm2	A1b	200.96	mm2
passo	100	mm	passo	100	mm	passo	100	mm
bracci	4		bracci	6		bracci	2	

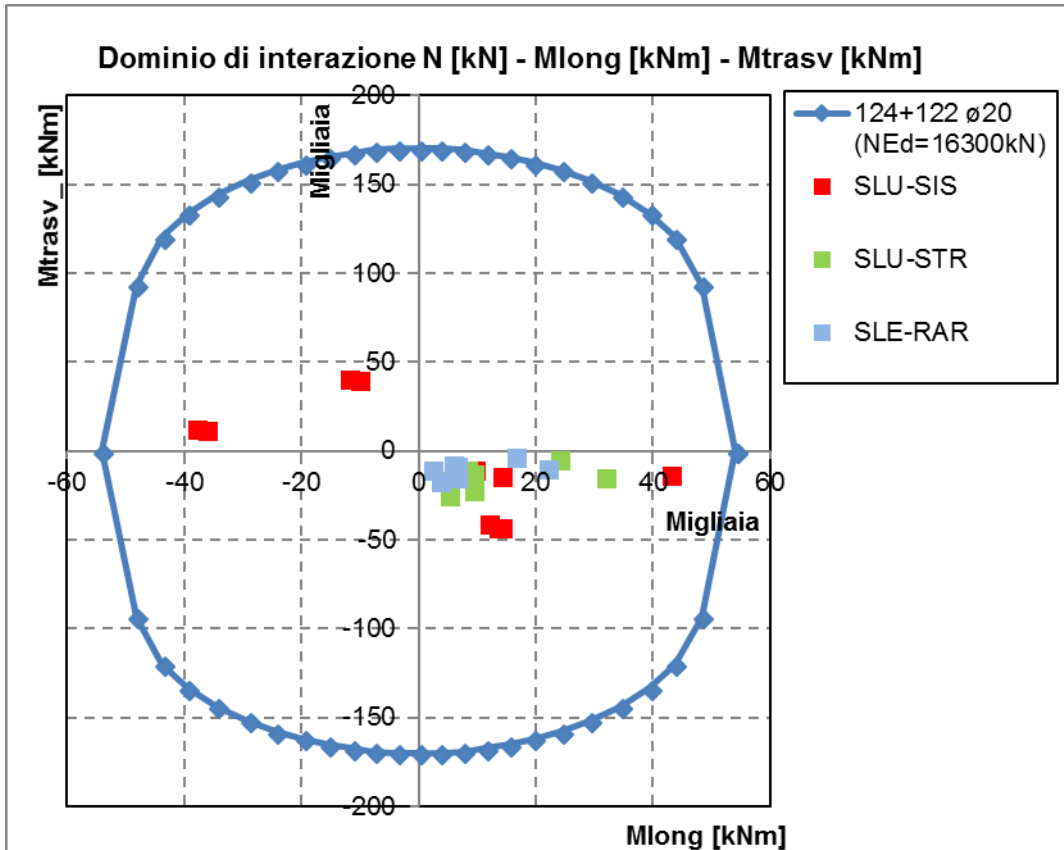
---

## 6.2 VERIFICHE SLU A PRESSOFLESSIONE

La verifica SLU a presso-flessione nelle sezioni critiche si effettua verificando che:

$$FS = (M_{Rd,long}^2 + M_{Rd,trasv}^2)^{0.5} / (M_{Ed,long}^2 + M_{Ed,trasv}^2)^{0.5} \geq 1$$

Sono riportate a seguire le verifiche SLU della sezione di base della pila, espresse in forma sintetica mediante il diagramma di interazione  $M_{long} - M_{trasv}$  valutato per una forza assiale corrispondente alla condizione di verifica più severa (SLV-SIS).



Si riportano a seguire le verifiche in forma esplicita nelle due combinazioni di carico più severe, di cui la prima ricadente in condizione statica SLU e la seconda ricadente in condizione sismica SLV.

SLU-STR-065

Verifica C.A. S.L.U. - File: 860x260\_246fi20\_STR1

File Materiali Opzioni Visualizza Progetto Sez. Rett. Sismica Normativa: NTC 2008 ?

Titolo : \_\_\_\_\_

N° Vertici  Zoom N° barre  Zoom

N°	x [cm]	y [cm]	N°	As [cm²]	x [cm]	y [cm]
1	-430	30	1	3,14	9	108
2	-427	56	2	3,14	24	109
3	-417	80	3	3,14	35	109
4	-401	101	4	3,14	35	124
5	-380	117	5	3,14	55	124
6	-356	127	6	3,14	75	124

Rettan.re  Trapezi  
 a T  Circolare  
 Rettangoli  Coord.

**Sollecitazioni**  
 S.L.U.  Metodo n

N<sub>Ed</sub>  0 kN  
 M<sub>xEd</sub>  0 kNm  
 M<sub>yEd</sub>  0

**P.to applicazione N**  
 Centro  Baricentro cls  
 Coord.[cm] xN  yN

**Tipo rottura**  
 Lato calcestruzzo - Acciaio snervato

**Materiali**  
   
 $\epsilon_{su}$   ‰  $\epsilon_{c2}$   ‰  
 $f_{yd}$   N/mm<sup>2</sup>  $\epsilon_{cu}$   ‰  
 $E_s$   N/mm<sup>2</sup>  $f_{cd}$   ‰  
 $E_s/E_c$    $f_{cc}/f_{cd}$   ?  
 $\epsilon_{syd}$   ‰  $\sigma_{c,adm}$    
 $\sigma_{s,adm}$   N/mm<sup>2</sup>  $\tau_{co}$    
 $\tau_{c1}$

**Metodo di calcolo**  
 S.L.U.+  S.L.U.-  
 Metodo n

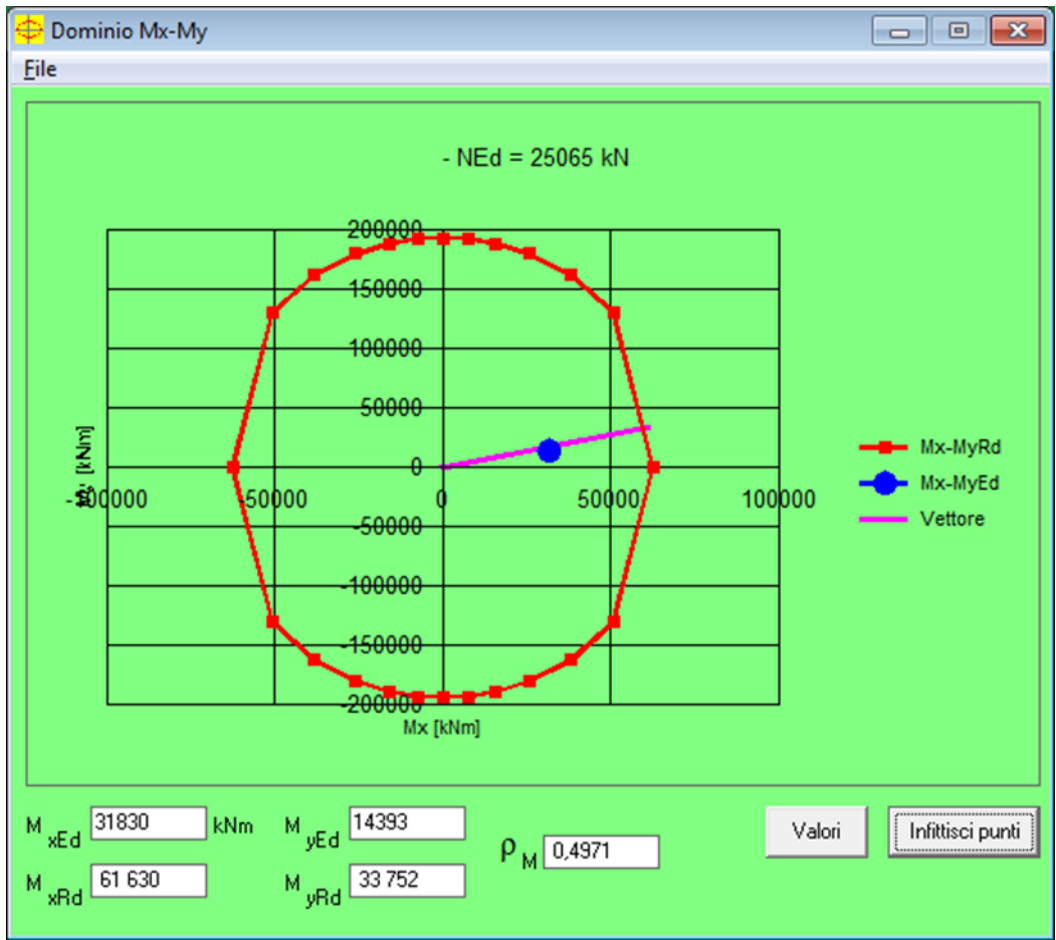
**Tipo flessione**  
 Retta  Deviata

N° rett.

angolo asse neutro  $\theta^\circ$

Precompresso

**M<sub>xRd</sub>**  kN m  
**M<sub>yRd</sub>**  kN m  
 $\sigma_c$   N/mm<sup>2</sup>  
 $\sigma_s$   N/mm<sup>2</sup>  
 $\epsilon_c$   ‰  
 $\epsilon_s$   ‰  
 d  cm  
 x  x/d   
 $\delta$



$\rho_M$  0.4971  
**FS** **2.01**

SLU-SIS-011

Verifica C.A. S.L.U. - File: 860x260\_246fi20\_SIS1

File Materiali Opzioni Visualizza Progetto Sez. Rett. Sismica Normativa: NTC 2008 ?

Titolo : \_\_\_\_\_

N° Vertici  Zoom N° barre  Zoom

N°	x [cm]	y [cm]	N°	As [cm²]	x [cm]	y [cm]
1	-430	30	1	3,14	9	108
2	-427	56	2	3,14	24	109
3	-417	80	3	3,14	35	109
4	-401	101	4	3,14	35	124
5	-380	117	5	3,14	55	124
6	-356	127	6	3,14	75	124

Rettan.re  Trapezi  
 a T  Circolare  
 Rettangoli  Coord.

Centro  Baricentro cls  
 Coord.[cm] xN  yN

S.L.U.+  S.L.U.-  
 Metodo n

Retta  Deviata

N° rett.

angolo asse neutro  $\theta^\circ$

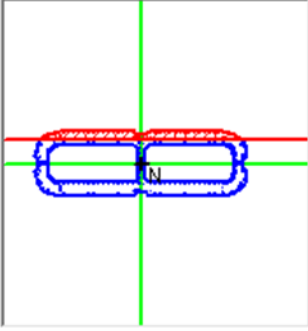
Precompresso

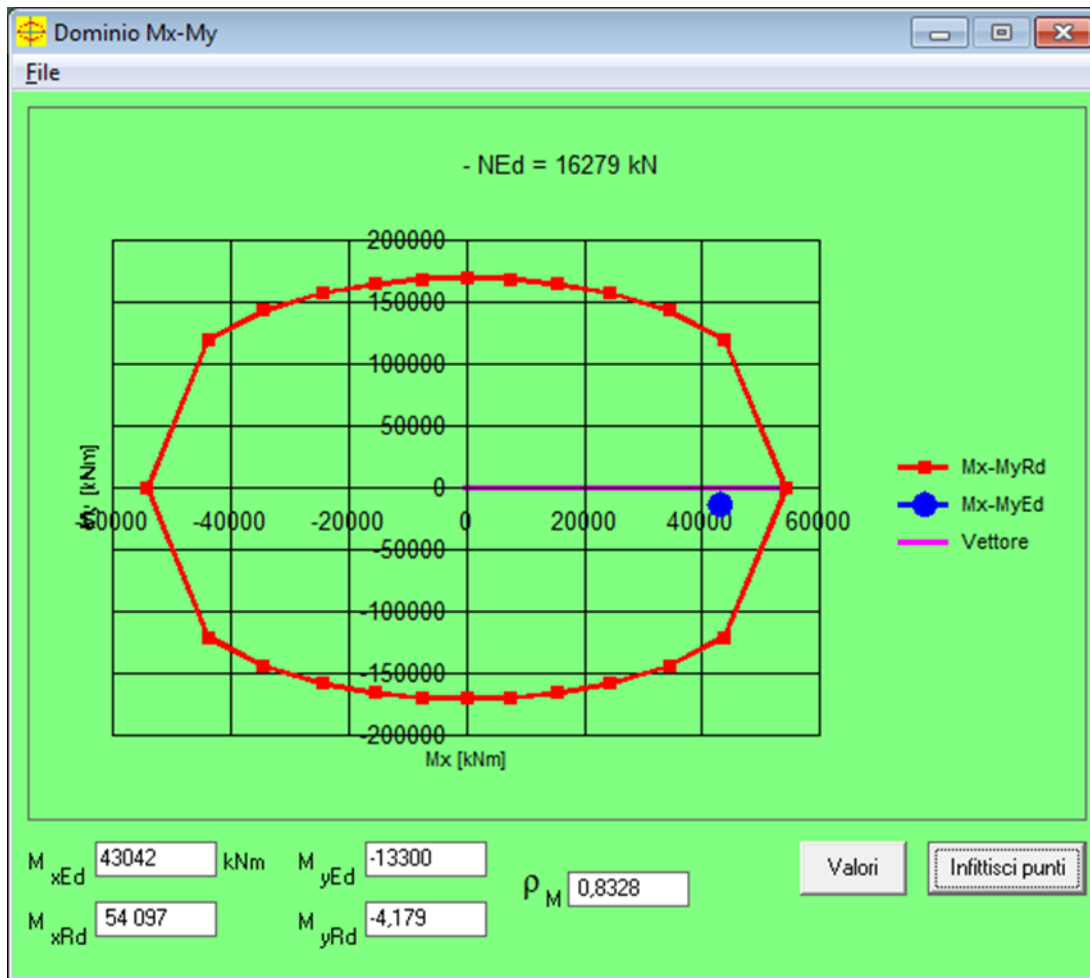
**Materiali**  
   
 $\epsilon_{su}$   %  $\epsilon_{c2}$   %  
 $f_{yd}$   N/mm<sup>2</sup>  $\epsilon_{cu}$   %  
 $E_s$   N/mm<sup>2</sup>  $f_{cd}$   %  
 $E_s/E_c$    $f_{cc}/f_{cd}$   ?  
 $\epsilon_{syd}$   %  $\sigma_{c,adm}$    
 $\sigma_{s,adm}$   N/mm<sup>2</sup>  $\tau_{co}$    
 $\tau_{c1}$

**P.to applicazione N**  
 Centro  Baricentro cls  
 Coord.[cm] xN  yN

**Tipo rottura**  
 Lato calcestruzzo - Acciaio snervato

$M_{xRd}$   kN m  
 $M_{yRd}$   kN m  
 $\sigma_c$   N/mm<sup>2</sup>  
 $\sigma_s$   N/mm<sup>2</sup>  
 $\epsilon_c$   %  
 $\epsilon_s$   %  
 $d$   cm  
 $x$    $x/d$    
 $\delta$





$\rho_M$  0.8328

**FS** 1.20



## 6.3 VERIFICHE SLU A TAGLIO

Seguono le sollecitazioni di verifica alla base del fusto pile, calcolate secondo il criterio della gerarchia delle resistenze:

### Sollecitazioni - Condizione statica STR

SLU-STR	max	Combo.	F1	F2	F3	M1	M2
			kN	kN	kN	kNm	kNm
<i>max</i>	F1	SLU-STR-065	3786	1143	-25065	-14393	31830
<i>max</i>	F2	SLU-STR-019	1340	1765	-28158	-21817	9352
<i>min</i>	F1	SLU-STR-002	507	1291	-19904	-15847	3500
<i>min</i>	F2	SLU-STR-014	1188	186	-24199	-10692	8300

### Sollecitazioni - Condizione sismica SIS (da calcolo diretto con $q=1.5$ )

SLU-SIS	max	Combo.	F1	F2	F3	M1	M2
			kN	kN	kN	kNm	kNm
<i>max</i>	F1	SLU-SIS-011	5986	1403	-16279	-13300	43042
<i>max</i>	F2	SLU-SIS-038	1904	4646	-16706	-42692	14041
<i>min</i>	F1	SLU-SIS-102	-5359	-1353	-15567	11682	-36194
<i>min</i>	F2	SLU-SIS-135	-1608	-4509	-15567	40046	-10253

### Sollecitazioni - Condizione sismica SIS (da G.R.)

SLU-SIS	max	Combo.	F1	F2	F3	M1	M2
			kN	kN	kN	kNm	kNm
<i>max</i>	F1	SLU-SIS-011	5986	1403	-16279	-13300	43042
<i>max</i>	F2	SLU-SIS-038	1904	4646	-16706	-42692	14041
<i>min</i>	F1	SLU-SIS-102	-5359	-1353	-15567	11682	-36194
<i>min</i>	F2	SLU-SIS-135	-1608	-4509	-15567	40046	-10253

MRd,1	MRd,2	Vgr,1	Vgr,2
kNm	kNm	kN	kN
33111	52950	7364	2105
130249	41240	2856	6969
33023	52238	7734	2029
141120	34673	2411	6764

**Verifica - Direzione Longitudinale****Verifica a taglio per sezioni rettangolari armate a taglio (D.M. 14/01/2008)**

classe cls	Rck	40	N/mm <sup>2</sup>
resist. Caratteristica cilindrica	fck	33	N/mm <sup>2</sup>
	fcd	19	
coeff. parziale	$\gamma_c$	1.5	
larghezza membratura resistene a V	bw	1100	mm
altezza membratura resistene a V	H	2600	mm
altezza utile	d	2340	mm
area della sezione	As	1.0E+07	mm <sup>2</sup>
sforzo assiale dovuto ai carichi o precompressione	N	1.6E+07	N
	$\sigma_{cp}$	5.44	N/mm <sup>2</sup>
	$\alpha_c$	1.25	
Acciaio	fyk	450	N/mm <sup>2</sup>
Feb44k	fyd	391	N/mm <sup>2</sup>
diametro staffe	$\phi_w$	16	mm
Area staffa	A $\phi_w$	201	mm <sup>2</sup>
0.9 d	z	2106	mm
passo delle staffe (spille)	sw	100	mm
	n° bracci	6	
angolo di inclinazione	$\theta$	37.0	°
deve essere compreso tra 1 e 2.5	cot( $\theta$ )	1.33	
angolo di inclinazione armatura rispetto asse palo	$\alpha$	90	°
	cot( $\alpha$ )	0.00	
	Asw / sw	12.06	mm <sup>2</sup> /mm

Taglio resistente per "taglio trazione"	VRsd	13193	kN
Taglio resistente per "taglio compressione"	VRcd	13092	kN

taglio sollecitante	VEd	<b>7734</b>	kN
fattore di sicurezza per GR (par. 7.9.5.2.2)	$\gamma_{Bd}$	<b>1.21</b>	
taglio resistente	VRd	<b>10814</b>	kN

VEd < VRd

La verifica è soddisfatta.

**FS 1.40**

**Verifica - Direzione Trasversale****Verifica a taglio per sezioni rettangolari armate a taglio (D.M. 14/01/2008)**

classe cls	Rck	40	N/mm <sup>2</sup>
resist. Caratteristica cilindrica	fck	33	N/mm <sup>2</sup>
	fcd	19	
	coeff. parziale $\gamma_c$	1.5	
larghezza membratura resistene a V	bw	1100	mm
altezza membratura resistene a V	H	8600	mm
altezza utile	d	7740	mm
area della sezione	As	1.1E+07	mm <sup>2</sup>
sforzo assiale dovuto ai carichi o precompressione	N	1.7E+07	N
	$\sigma_{cp}$	1.77	N/mm <sup>2</sup>
	$\alpha_c$	1.09	
Acciaio	fyk	450	N/mm <sup>2</sup>
Feb44k	fyd	391	N/mm <sup>2</sup>
diametro staffe	$\phi_w$	16	mm
Area staffa	A $\phi_w$	201	mm <sup>2</sup>
0.9 d	z	6966	mm
passo delle staffe (spille)	sw	100	mm
	n° bracci	4	
angolo di inclinazione	$\theta$	45	°
deve essere compreso tra 1 e 2.5	cot( $\theta$ )	1.00	
angolo di inclinazione armatura rispetto asse palo	$\alpha$	45	°
	cot( $\alpha$ )	1.00	
	A <sub>sw</sub> / sw	8.04	mm <sup>2</sup> /mm

Taglio resistente per "taglio trazione"	VRsd	31003	kN
Taglio resistente per "taglio compressione"	VRcd	78845	kN

taglio sollecitante	VEd	<b>6969</b>	kN
fattore di sicurezza per GR (par. 7.9.5.2.2)	$\gamma_{Bd}$	<b>1.25</b>	
taglio resistente	<b>VRd</b>	<b>24802</b>	kN

VEd < VRd

La verifica è soddisfatta.

**FS** **3.56**

## 6.5 VERIFICHE SLE DELLE TENSIONI

La verifica SLE di tipo tensionale si effettua controllando che le massime tensioni normali agenti nella sezione risultino inferiori ai seguenti valori limite:

per le combinazioni SLE-RAR:

- tensione limite nel calcestruzzo:  $\sigma_c = 0.55 f_{ck}$
- tensione limite nelle barre:  $\sigma_s = 0.75 f_{yk}$

per le combinazioni SLE-QPE:

- tensione limite nel calcestruzzo:  $\sigma_c = 0.40 f_{ck}$

SLE-RAR-070

The screenshot shows the 'Verifica C.A. S.L.U.' software interface. The window title is 'Verifica C.A. S.L.U. - File: 860x260\_246fi20\_RAR1'. The menu bar includes 'File', 'Materiali', 'Opzioni', 'Visualizza', 'Progetto Sez. Rett.', 'Sismica', and 'Normativa: NTC 2008'. The interface is divided into several panels:

- Titolo:** A text input field.
- N° Vertici:** 84, with a 'Zoom' button.
- N° barre:** 246, with a 'Zoom' button.
- Table of Vertices:**

N°	x [cm]	y [cm]
1	-430	30
2	-427	56
3	-417	80
4	-401	101
5	-380	117
6	-356	127
- Table of Bars:**

N°	As [cm²]	x [cm]	y [cm]
1	3,14	9	108
2	3,14	24	109
3	3,14	35	109
4	3,14	35	124
5	3,14	55	124
6	3,14	75	124
- Tipo Sezione:** Radio buttons for 'Rettan.re', 'Trapezi', 'a T', 'Circolare', 'Rettangoli', and 'Coord.' (selected).
- Sollecitazioni:** 'S.L.U.' selected, 'Metodo n' chosen. Values: N<sub>Ed</sub> = 0, M<sub>xEd</sub> = 0, M<sub>yEd</sub> = 0. Resulting values: 14124 kN, 19265 kNm, 9580.
- P.to applicazione N:** 'Centro' selected. x<sub>N</sub> = 0, y<sub>N</sub> = 0.
- Materiali:** B450C and C32/40. Properties: ε<sub>su</sub> = 67,5‰, f<sub>yd</sub> = 391,3 N/mm², E<sub>s</sub> = 200 000 N/mm², ε<sub>syd</sub> = 1,957‰, σ<sub>s,adm</sub> = 255 N/mm². Concrete properties: ε<sub>c2</sub> = 2‰, ε<sub>cu</sub> = 3,5, f<sub>cd</sub> = 18,13, f<sub>cc</sub>/f<sub>cd</sub> = 0,8, σ<sub>c,adm</sub> = 12,25, τ<sub>co</sub> = 0,7333, τ<sub>c1</sub> = 2,114.
- Verifica Results:** σ<sub>c</sub> = -5,255 N/mm², σ<sub>s</sub> = 100,9 N/mm², ε<sub>s</sub> = 0,5047‰, d = 291,3 cm, x = 127,7, x/d = 0,4385, δ = 0,9881.
- Method of Calculation:** 'Metodo n' selected.
- Buttons:** 'Verifica' and 'Precompresso' (unchecked).
- Iterations:** N° iterazioni: 4.

La verifica è soddisfatta.

SLE-RAR-065

Verifica C.A. S.L.U. - File: 860x260\_246fi20\_RAR2

File Materiali Opzioni Visualizza Progetto Sez. Rett. Sismica Normativa: NTC 2008 ?

Titolo : \_\_\_\_\_

N° Vertici  Zoom N° barre  Zoom

N°	x [cm]	y [cm]	N°	As [cm²]	x [cm]	y [cm]
1	-430	30	1	3,14	9	108
2	-427	56	2	3,14	24	109
3	-417	80	3	3,14	35	109
4	-401	101	4	3,14	35	124
5	-380	117	5	3,14	55	124
6	-356	127	6	3,14	75	124

Tipo Sezione  
 Rettan.re  Trapezi  
 a T  Circolare  
 Rettangoli  Coord.

Sollecitazioni  
 S.L.U.  Metodo n

N<sub>Ed</sub>   kN  
 M<sub>xEd</sub>   kNm  
 M<sub>yEd</sub>

P.to applicazione N  
 Centro  Baricentro cls  
 Coord.[cm] xN  yN

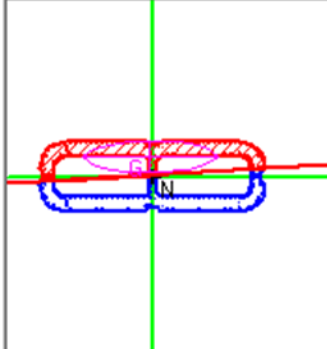
Metodo di calcolo  
 S.L.U.+  S.L.U.-  
 Metodo n

Materiali  
   
 $\epsilon_{su}$   ‰  $\epsilon_{c2}$   ‰  
 $f_{yd}$   N/mm<sup>2</sup>  $\epsilon_{cu}$   ‰  
 $E_s$   N/mm<sup>2</sup>  $f_{cd}$   ‰  
 $E_s/E_c$    $f_{cc}/f_{cd}$   ?  
 $\epsilon_{syd}$   ‰  $\sigma_{c,adm}$    
 $\sigma_{s,adm}$   N/mm<sup>2</sup>  $\tau_{co}$    
 $\tau_{c1}$

$\sigma_c$   N/mm<sup>2</sup>  
 $\sigma_s$   N/mm<sup>2</sup>  
 $\epsilon_s$   ‰  
 d  cm  
 x  x/d   
 $\delta$

Verifica  
 N° iterazioni:

Precompresso



La verifica è soddisfatta.

## 6.6 VERIFICHE SLE A FESSURAZIONE

La verifica SLE a fessurazione si effettua controllando che il massimo valore di apertura delle fessure risulti inferiore ai seguenti valori limite:

per le combinazioni SLE-RAR:

- apertura fessure limite:  $w_{lim} = w_1 = 0.30 \text{ mm}$
- c** pos. baric. strato i-esimo [mm]
- ∅** diametro barre strato i-esimo [mm]
- n** numero barre strato i-esimo [ ]
- σ<sub>s,max</sub>** Tensione massima barre strato i-esimo [MPa]
- b<sub>eff</sub>** larghezza efficace [mm]
- h<sub>c,eff</sub>** altezza efficace [mm]
- A<sub>c,eff</sub>** area efficace relativamente ad una singola barre [mm<sup>2</sup>]
- ρ<sub>p,eff</sub>** percentuale di armatura relativa a A<sub>c,eff</sub>
- k<sub>t</sub>** (0.6 carichi brevi; 0.4 lunga durata)
- k<sub>1</sub>** (0.8 barre ad. migliorata; 1.6 liscie)
- k<sub>2</sub>** (0.5 per flessione; 1 trazione)

### Prima condizione di carico SLE-RAR

INPUT		
Rck	40	Mpa
h	550	mm
c1	66	mm
φ1	20	mm
n1	5.000	1/m
c2		mm
φ2		mm
n2	5.000	1/m
d	484	mm
b <sub>eff</sub>	200	mm
σ <sub>s,max1</sub>	101	Mpa
σ <sub>s,max2</sub>		Mpa
h <sub>c,eff</sub>	165.0	mm
A <sub>c,eff</sub>	33000	mm <sup>2</sup>
ρ <sub>p,eff</sub>	0.010	
k <sub>t</sub>	0.6	
k <sub>1</sub>	0.8	
k <sub>2</sub>	0.5	
k <sub>3</sub>	3.4	
k <sub>4</sub>	0.425	

OUTPUT		
diff. def. armature-cls		
ε <sub>sm</sub> - ε <sub>cm</sub>	<b>2.94E-04</b>	-
distanza max fessure		
s <sub>f,max</sub>	<b>548</b>	mm
ampiezza fessure:		
w <sub>k</sub>	<b>0.161</b>	mm
w <sub>lim</sub>	<b>0.200</b>	mm
La verifica è soddisfatta.		

## 7 VERIFICHE STRUTTURALI DEI PALI DI FONDAZIONE

### 7.1 GEOMETRIA DELLA SEZIONE ED ARMATURA

#### GEOMETRIA DELLA SEZIONE

Diametro del palo =	1200	mm
Copriferro netto c =	60	mm
Classe di resistenza calcestruzzo =	C25/30	Mpa
Classe di resistenza delle barre =	B450C	MPa

#### ARMATURA PER I PRIMI 10 $\emptyset$

##### *1° strato di armatura longitudinale*

Numero barre long.	22	-
Diametro barre long.	26	mm
Copriferro baricentrico arm. long. c' =	87	mm

##### *2° strato di armatura longitudinale*

Numero barre long.	22	-
Diametro barre long.	26	mm
Copriferro baricentrico arm. long. c' =	138	mm

##### *Armatura trasversale*

Diametro barre trasv.	14	mm
Passo arm. trasv.	200	mm
Diametro corona esterna =	1066	mm

## 7.2 VERIFICHE SLU A PRESSOFLESSIONE

Sono riportate a seguire le verifiche SLU della sezione di sommità del palo maggiormente sollecitato, espresse in forma sintetica mediante il diagramma di interazione N – M.

*Diagramma d'interazione con le coordinate delle sollecitazioni indotte dalle combinazioni SLU-STR*

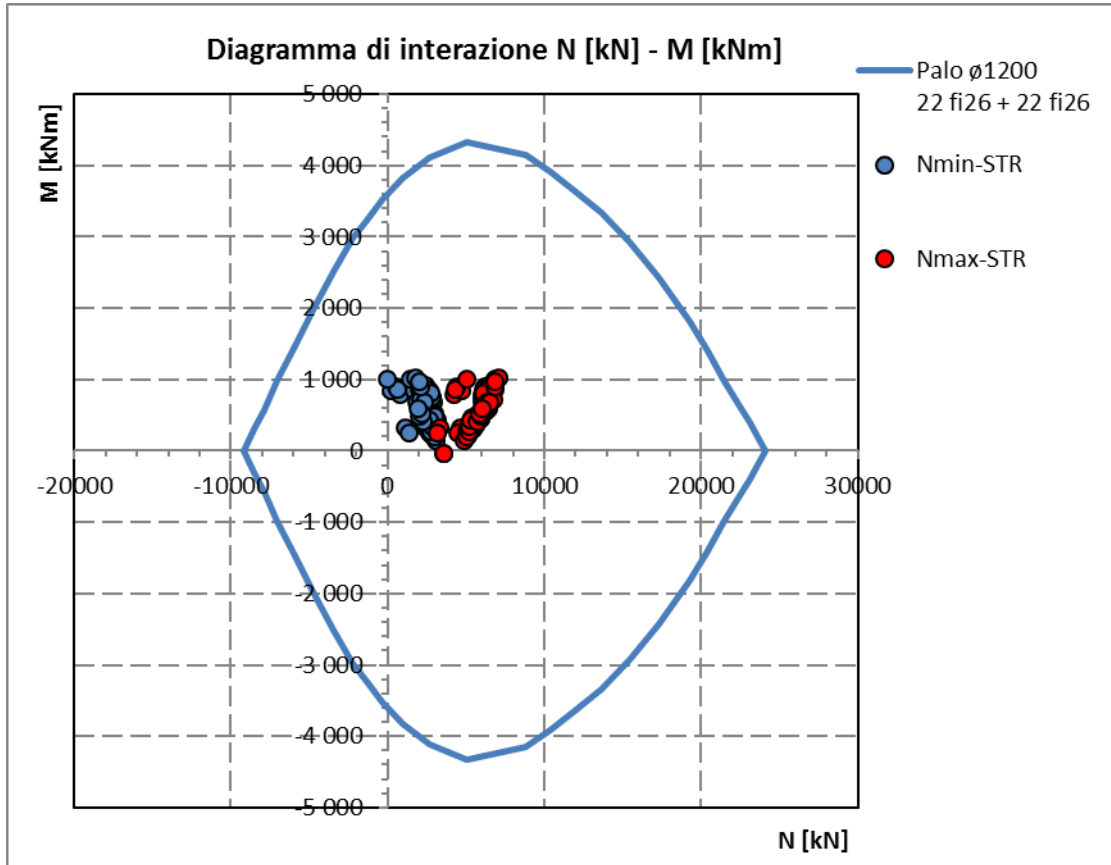
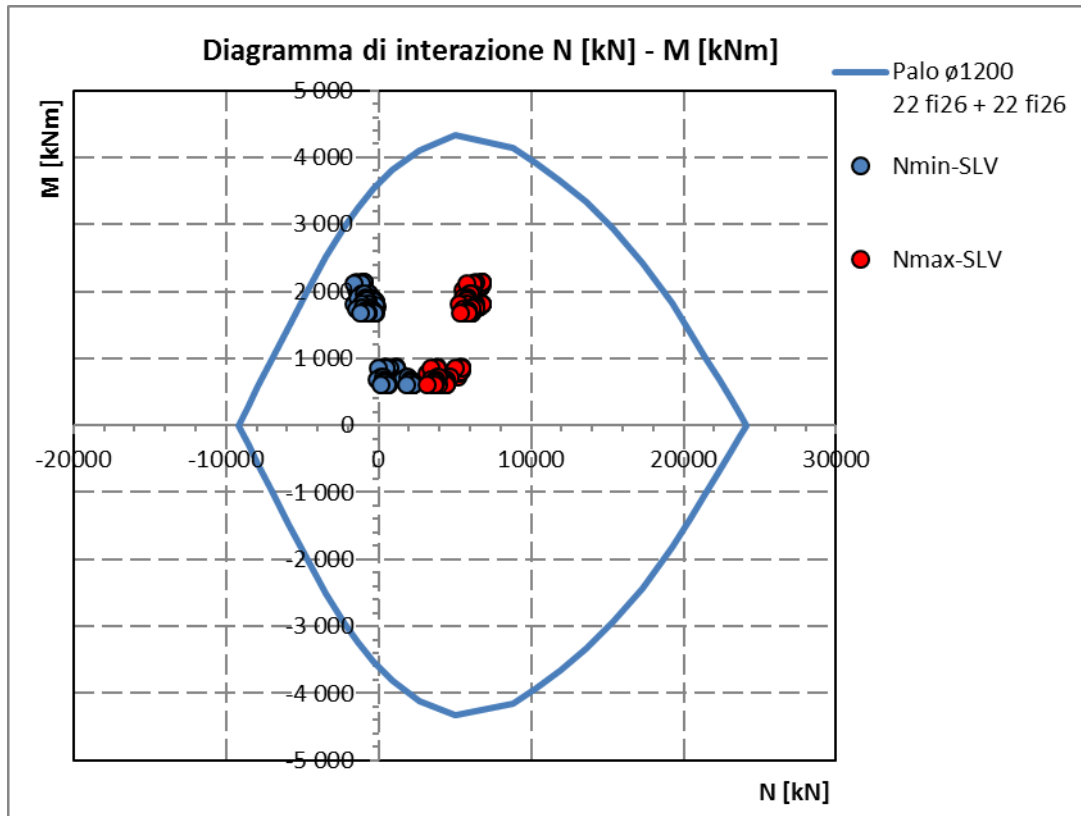




Diagramma d'interazione con le coordinate delle sollecitazioni indotte dalle combinazioni SLU-SLV



La verifica è soddisfatta in quanto le coppie N-M delle sollecitazioni agenti nella sezione di verifica sono interne al dominio di resistenza per ogni condizione di carico indagata.

## 7.3 VERIFICHE SLU A TAGLIO

Verifica a taglio per sezioni circolari armate a taglio (D.M. 14/01/2008)

classe cls	Rck	30	N/mm <sup>2</sup>
resist. Caratteristica cilindrica	fck	25	N/mm <sup>2</sup>
	fcd	14	N/mm <sup>2</sup>
diametro	$\Phi$	1200	mm
Area sezione	A	1130973	mm <sup>2</sup>
copriferro	c	80	mm
Area sezione rettangolare equivalente	Aeq	941544	mm <sup>2</sup>
altezza utile equivalente	d	931	mm
larghezza equivalente	bw	1011	mm
altezza equivalente	heq	1118	mm
sforzo assiale dovuto ai carichi o precompressione	N		N
	$\sigma_{cp}$	0.000	N/mm <sup>2</sup>
	$\alpha_{cp}$	1.00	

Acciaio	fyk	450	N/mm <sup>2</sup>
B450C	fyd	391	N/mm <sup>2</sup>
diametro staffe (spille)	$\phi_w$	14	mm
Area staffa (spilla)	A $\phi_w$	154	mm <sup>2</sup>
0.9 d	z	838	mm
passo spirale	sw	200	mm
	n° bracci	2	
angolo di inclinazione biella compressa	$\theta$	21.8	°
deve essere compreso tra 1 e 2.5	cot( $\theta$ )	2.50	
angolo di inclinazione armatura rispetto asse palo	$\alpha$	90	°
	cot( $\alpha$ )	0.00	
	Asw / sw	1.54	mm <sup>2</sup> /mm

Taglio resistente per "taglio trazione"	VRsd	1262	kN
Taglio resistente per "taglio compressione"	VRcd	2061	kN

taglio sollecitante	VEd	<b>1002</b>	kN
fattore di sicurezza per GR (par. 7.9.5.2.2)	$\gamma_{Rd}$	<b>1</b>	
taglio resistente	VRd	<b>1262</b>	kN
	VEd	<	VRd
<b>verifica</b>			

## 7.4 VERIFICHE SLE DELLE TENSIONI

La verifica SLE di tipo tensionale si effettua controllando che le massime tensioni normali agenti nella sezione risultino inferiori ai seguenti valori limite:

per le combinazioni SLE-RAR:

- tensione limite nel calcestruzzo:  $\sigma_c = 0.55 f_{ck}$
- tensione limite nelle barre:  $\sigma_s = 0.75 f_{yk}$

per le combinazioni SLE-QPE:

- tensione limite nel calcestruzzo:  $\sigma_c = 0.40 f_{ck}$

SLE-RAR-070

Verifica C.A. S.L.U. - File: palo1200\_22fi26+22fi26\_RAR2

File Materiali Opzioni Visualizza Progetto Sez. Rett. Sismica Normativa: DM 1996 ?

Titolo :

Sezione circolare cava

Raggio esterno: 600 [mm]  
 Raggio interno: 0 [mm]  
 N° barre uguali: 0  
 Diametro barre: 0 [mm]  
 Copriferro (baric.): 0 [mm]

N° barre: 44 Zoom

N°	As [mm²]	x [mm]	y [mm]
1	531	0	513
2	531	145	492
3	531	277	432
4	531	388	336
5	531	467	213
6	531	508	73

Tipo Sezione  
 Rettan.re  Trapezi  
 a T  Circolare  
 Rettangoli  Coord.

Sollecitazioni

S.L.U. Metodo n

N<sub>Ed</sub>: 0 471 kN  
 M<sub>xEd</sub>: 0 724 kNm  
 M<sub>yEd</sub>: 0 0

P.to applicazione N  
 Centro  Baricentro cls  
 Coord. [mm] xN: 0 yN: 0

Metodo di calcolo  
 S.L.U.+  S.L.U.-  
 Metodo n

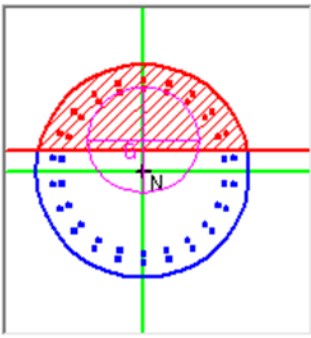
Materiali

B450C C25/30

$\epsilon_{su}$ : 10 ‰  $\epsilon_{c2}$ : 2 ‰  
 $f_{yd}$ : 391.3 N/mm²  $\epsilon_{cu}$ : 3.5 ‰  
 $E_s$ : 200 000 N/mm²  $f_{cd}$ : 13.28  
 $E_s/E_c$ : 15  $f_{cc}/f_{cd}$ : 0.8 [?]  
 $\epsilon_{syd}$ : 1.957 ‰  $\sigma_{c,adm}$ : 9.75  
 $\sigma_{s,adm}$ : 255 N/mm²  $\tau_{co}$ : 0.6  
 $\tau_{c1}$ : 1.829

$\sigma_c$ : -4.614 N/mm²  
 $\sigma_s$ : 88.02 N/mm²  
 $\epsilon_s$ : 0.4401 ‰  
 d: 1 113 mm  
 x: 489.9 x/d: 0.4402  
 $\delta$ : 0.9902

Vertici: 50  
 Verifica  
 N° iterazioni: 4  
 Precompresso



SLE-RAR-065

Verifica C.A. S.L.U. - File: palo1200\_22fi26+22fi26\_RAR1

File Materiali Opzioni Visualizza Progetto Sez. Rett. Sismica Normativa: DM 1996 ?

Titolo : \_\_\_\_\_

Sezione circolare cava

Raggio esterno 600 [mm]  
 Raggio interno 0 [mm]  
 N° barre uguali 0  
 Diametro barre 0 [mm]  
 Copriferro (baric.) 0 [mm]

N° barre 44 Zoom

N°	As [mm²]	x [mm]	y [mm]
1	531	0	513
2	531	145	492
3	531	277	432
4	531	388	336
5	531	467	213
6	531	508	73

Tipo Sezione  
 Rettan.re  Trapezi  
 a T  Circolare  
 Rettangoli  Coord.

Sollecitazioni  
 S.L.U. Metodo n

N<sub>Ed</sub> 0 938 kN  
 M<sub>xEd</sub> 0 726 kNm  
 M<sub>yEd</sub> 0 0

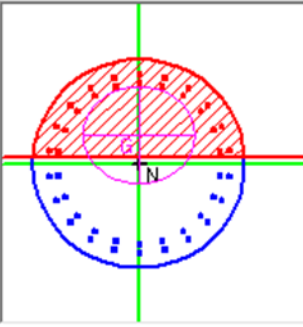
P.to applicazione N  
 Centro  Baricentro cls  
 Coord.[mm] xN 0 yN 0

Metodo di calcolo  
 S.L.U.+  S.L.U.-  
 Metodo n

Materiali  
 B450C C25/30  
 ε<sub>su</sub> 10 ‰ ε<sub>c2</sub> 2 ‰  
 f<sub>yd</sub> 391,3 N/mm² ε<sub>cu</sub> 3,5 ‰  
 E<sub>s</sub> 200 000 N/mm² f<sub>cd</sub> 13,28  
 E<sub>s</sub>/E<sub>c</sub> 15 f<sub>cc</sub>/f<sub>cd</sub> 0,8 ?  
 ε<sub>syd</sub> 1,957 ‰ σ<sub>c,adm</sub> 9,75  
 σ<sub>s,adm</sub> 255 N/mm² τ<sub>co</sub> 0,6  
 τ<sub>c1</sub> 1,829

σ<sub>c</sub> -4,695 N/mm²  
 σ<sub>s</sub> 68,03 N/mm²  
 ε<sub>s</sub> 0,3402 ‰  
 d 1 113 mm  
 x 566,1 x/d 0,5086  
 δ 1

Vertici: 50  
 Verifica  
 N° iterazioni: 4  
 Precompresso





## 7.5 VERIFICHE SLE A FESSURAZIONE

La verifica SLE a fessurazione si effettua controllando che il massimo valore di apertura delle fessure risulti inferiore ai seguenti valori limite:

per le combinazioni SLE-RAR:

- apertura fessure limite:  $w_{lim} = w_1 = 0.30 \text{ mm}$

### Prima condizione di carico SLE-RAR

INPUT		
Rck	30	Mpa
h	1200	mm
c1	87	mm
$\phi_1$	26	mm
n1	7.186	1/m
c2	138	mm
$\phi_2$	26	mm
n2	7.186	1/m
d	1088	mm
beff	139	mm
x	490	mm
$\sigma_{s,max1}$	88	Mpa
$\sigma_{s,max2}$	88	Mpa
$h_{c,eff}$	237	mm
$A_{c,eff}$	32934	mm <sup>2</sup>
$\rho_{p,eff}$	0.032	
kt	0.6	
k1	0.8	
k2	0.5	
k3	3.4	
k4	0.425	

OUTPUT		
diff. def. armature-clc		
$\epsilon_{sm} - \epsilon_{cm}$	<b>2.56E-04</b>	-
distanza max fessure		
$s_{f,max}$	<b>514</b>	mm
ampiezza fessure:		
wk	<b>0.132</b>	mm
wlim	0.300	mm
La verifica è soddisfatta.		

**Seconda condizione di carico SLE-RAR**

INPUT		
Rck	30	Mpa
h	1200	mm
c1	87	mm
$\phi$ 1	26	mm
n1	7.186	1/m
c2	138	mm
$\phi$ 2	26	mm
n2	7.186	1/m
d	1088	mm
beff	139	mm
x	566	mm
$\sigma$ S_max1	68	Mpa
$\sigma$ S_max2	68	Mpa
hc_eff	211	mm
Ac_eff	29409	mm <sup>2</sup>
$\rho$ p_eff	0.036	
kt	0.6	
k1	0.8	
k2	0.5	
k3	3.4	
k4	0.425	

OUTPUT		
diff. def. armature-clc		
$\epsilon$ sm - $\epsilon$ cm	1.98E-04	-
distanza max fessure		
$s$ r_max	493	mm
ampiezza fessure:		
wk	0.098	mm
wlim	0.300	mm
La verifica è soddisfatta.		





## 8 VERIFICHE DEL PLINTO DI FONDAZIONE

### 8.1 VERIFICHE SLU E SLE A TIRANTE-PUNTONE

Le verifiche SLU e SLE si effettuano controllando che le massime tensioni normali agenti nel tirante di armatura e nella biella compressa di calcestruzzo risultino inferiori ai seguenti valori limite:

per le combinazioni SLU e SLV:

- tensione limite nel calcestruzzo:  $\sigma_c = f_{cd}' = 0.5 f_{cd}$
- tensione limite nelle barre:  $\sigma_s = f_{yd}$

per le combinazioni SLE-RAR:

- tensione limite nel calcestruzzo:  $\sigma_c = 0.55 f_{ck}$
- tensione limite nelle barre:  $\sigma_s = 0.75 f_{yk}$

per le combinazioni SLE-QPE:

- tensione limite nel calcestruzzo:  $\sigma_c = 0.40 f_{ck}$

Si distinguono due meccanismi di tipo tirante-puntone principali nel plinto di fondazione, illustrati nelle figure seguenti e descritti a seguire:

- un primo meccanismo è innescato dalle azioni trasmesse al plinto dai pali centrali e coinvolge un tirante-puntone parallelo alla direzione longitudinale (evidenziato in verde). Tale meccanismo coinvolge la sola armatura longitudinale inferiore del plinto.
- un secondo meccanismo coinvolge i pali di spigolo ed innesca un tirante-puntone anch'esso parallelo alla direzione longitudinale (evidenziato in rosso). Tale meccanismo coinvolge la sola armatura longitudinale inferiore del plinto.

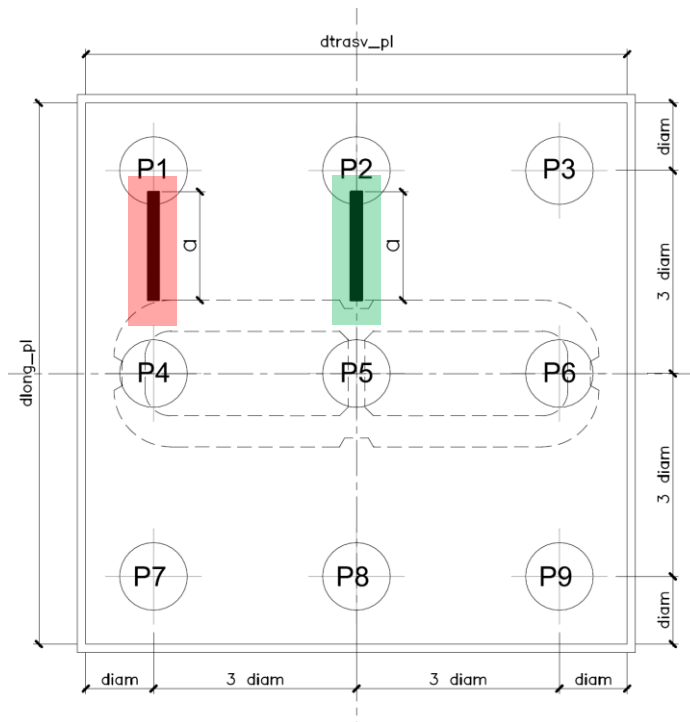


Figura 2 – Vista in pianta - Tirante-puntone centrale (verde) e di spigolo (rosso)

### 8.1.1 VERIFICHE RELATIVE AI PALI DI SPIGOLO

Seguono le forze assiali agenti alla testa dei pali nelle condizioni di carico più severe per ogni combinazione di carico:

	Nmax	Nmin
SLU-STR	6902	-259
SLU-GEO	5687	55
SIS-SLV	6609	-1858
	kN	kN

	Nmax	Nmin
SLE-QP	2641	2151
SLE-RAR	4832	471
	kN	kN

Seguono le verifiche delle armature superiori ed inferiori del plinto di fondazione:

#### Armatura inferiore

	Nmax	PEd	T	$\sigma_{s\_long}$	$\sigma_{s\_trasv}$	< fyd	C	$\sigma_c$	< fcd'
SLU-STR	6902	6082	6999	248	0	VERO	9272	4.9	VERO
SLU-GEO	5687	4867	5601	198	0	VERO	7420	3.9	VERO
SIS-SLV	6609	5789	6663	236	0	VERO	8827	4.7	VERO
	kN	kN	kN	Mpa	Mpa		kN	Mpa	

#### Armatura superiore

	Nmin	PEd	T	$\sigma_{s\_long}$	$\sigma_{s\_trasv}$	< fyd	C	$\sigma_c$	< fcd'
SLU-STR	-259	1079							
SLU-GEO	55	-							
SIS-SLV	-1858	2678	3082	270	0	VERO	4083	2.2	VERO
	kN	kN	kN	Mpa	Mpa		kN	Mpa	

#### Armatura inferiore

	Nmax	PEd	T	$\sigma_{s\_long}$	$\sigma_{s\_trasv}$	< 0.75 fyk	C	$\sigma_c$	< 0.40 fck'
SLE-QP	2641	1821	2096	74	0	VERO	2776	1.5	VERO
SLE-RAR	4832	4012	4617	163	0	VERO	6117	3.2	VERO
	kN	kN	kN	Mpa	Mpa		kN	Mpa	

#### Armatura superiore

	Nmin	PEd	T	$\sigma_{s\_long}$	$\sigma_{s\_trasv}$	< 0.75 fyk	C	$\sigma_c$	< 0.40 fck'
SLE-QP	2151	-							
SLE-RAR	471	-							
	kN	kN	kN	Mpa	Mpa		kN	Mpa	

Le verifiche sono soddisfatte.

### 8.1.2 VERIFICHE RELATIVE AI PALI DI INTERMEDI

Forze assiali agenti alla testa dei pali nelle condizioni di carico più severe per ogni combinazione di carico.

	Nmax	Nmin
SLU-STR	6002	526
SLU-GEO	4909	735
SIS-SLV	5707	-981
	kN	kN

	Nmax	Nmin
SLE-QP	2641	2151
SLE-RAR	4225	999
	kN	kN

Seguono le verifiche delle armature superiori ed inferiori del plinto di fondazione:

#### Armatura inferiore

	Nmax	PEd	T	$\sigma_{s\_long}$	$\sigma_{s\_trasv}$	< fyd	C	$\sigma_c$	< fcd'
SLU-STR	6002	5182	5964	234	-	VERO	7901	3.5	VERO
SLU-GEO	4909	4089	4706	185	-	VERO	6234	2.8	VERO
SIS-SLV	5707	4887	5624	221	-	VERO	7451	3.3	VERO
	kN	kN	kN	Mpa	Mpa		kN	Mpa	

#### Armatura superiore

	Nmin	PEd	T	$\sigma_{s\_long}$	$\sigma_{s\_trasv}$	< fyd	C	$\sigma_c$	< fcd'
SLU-STR	526	-							
SLU-GEO	735	-							
SIS-SLV	-981	1800	2072	303	-	VERO	2745	1.2	VERO
	kN	kN	kN	Mpa	Mpa		kN	Mpa	

#### Armatura inferiore

	Nmax	PEd	T	$\sigma_{s\_long}$	$\sigma_{s\_trasv}$	< 0.75 fyk	C	$\sigma_c$	< 0.40 fck'
SLE-QP	2641	1821	2096	82	-	VERO	2776	1.2	VERO
SLE-RAR	4225	3405	3919	154	-	VERO	5192	2.3	VERO
	kN	kN	kN	Mpa	Mpa		kN	Mpa	

#### Armatura superiore

	Nmin	PEd	T	$\sigma_{s\_long}$	$\sigma_{s\_trasv}$	< 0.75 fyk	C	$\sigma_c$	< 0.40 fck'
SLE-QP	2151	-							
SLE-RAR	999	-							VERO
	kN	kN	kN	Mpa	Mpa		kN	Mpa	

Le verifiche sono soddisfatte.

## 8.2 VERIFICHE SLU A PUNZONAMENTO

Conservativamente, la verifica è stata riferita al palo di bordo maggiormente sollecitato e lo sviluppo del perimetro efficace  $u$  è stato definito considerando una distanza dall'impronta caricata (coincidente con la sezione di testa del palo) pari a  $d = a \cdot 0.9 H_{pl}$  ( $H_{pl}$  = altezza plinto,  $a < 2$ ), come illustrato nella seguente figura.

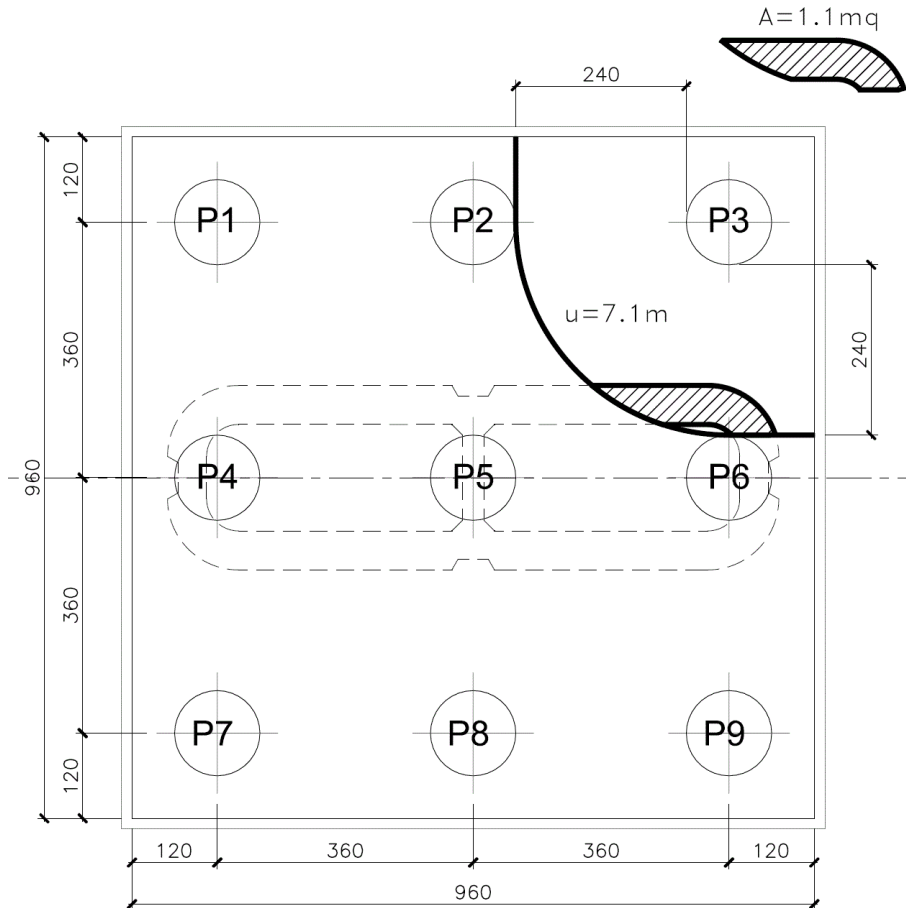


Figura 3 – Perimetro efficace per la verifica a taglio-punzonamento

A seguire si riportano il valore della forza concentrata  $V_{Ed}$  [kN] agente alla testa del palo maggiormente sollecitato nella condizione di verifica più severa, il valore del coefficiente  $a$  che individua la geometria del perimetro efficace e lo sviluppo  $u$  [m] di quest'ultimo.

La forza concentrata  $V_{Ed} = 5680$  kN è stata depurata della quota parte di forza assiale agente nella sezione di base del fusto della pila, pari a  $N_{Ed}^* = N_{Ed} \cdot A / A_c = 15500$  kN  $\cdot$   $1.1$  m<sup>2</sup> /  $10.45$  m<sup>2</sup> =  $1635$  kN.

$V_{Ed} - N_{Ed}^*$	4446	kN
$a$	1.1	
$u$	<b>7.1</b>	m

<b>Verifica a punzonamento per sezioni rettangolari SENZA armatura a taglio (NTC08 - EC2-rev05)</b>				
classe cls	C	35	Mpa	
coeff. parziale	$\gamma_c$	1.5		
perimetro di verifica	$u_1$	7100	mm	
altezza soletta	H	2500	mm	
altezza utile	d	2393	mm	
diametro ferro longitudinale teso	$\phi_{lon}$	30	mm	
	strati	2.0		
	passo	150	mm	
percentuale di armatura trasversale teso	$\rho_{lx}$	0.39%		
diametro ferro trasversale	$\phi_{tra}$	22	mm	
	strati	2.0		
	passo	200	mm	
percentuale di armatura trasv	$\rho_{tx}$	0.16%		
percentuale di armatura totale	$\rho_l$	0.25%		
Eventuale compressione long	$\sigma_{c\_lon}$	0	Mpa	
Eventuale compressione trasv	$\sigma_{c\_tra}$	0	Mpa	
	$\sigma_c$	0.00	N/mm <sup>2</sup>	
	k <sub>1</sub>	0.10		
	$C_{r,dc}$	0.12		
	k	1.29		
	v <sub>min</sub>	0.30	Mpa	
	<b>v<sub>rd_c</sub></b>	0.319	Mpa	
	<b>v<sub>min</sub>+k<sub>1</sub>σ<sub>cp</sub></b>	0.303	Mpa	
Tensione resistente taglio-punzonamento	<b>v<sub>rd_c</sub></b>	<b>0.319</b>	N/mm <sup>2</sup>	
taglio sollecitante (*)	<b>V<sub>Ed</sub> - N<sub>Ed</sub>*</b>	4446	kN	
(*) valore ridotto della quota parte di N <sub>Ed</sub> (base pila) relativa all'area A*	<b>v<sub>Ed</sub></b>	<b>0.262</b>	Mpa	
<b>La verifica è soddisfatta</b>	<b>v<sub>rd_c</sub></b>	<b>&gt;</b>	<b>ved</b>	

## 8.3 VERIFICHE SLE A FESSURAZIONE

La verifica SLE a fessurazione si effettua controllando che il massimo valore di apertura delle fessure risulti inferiore ai seguenti valori limite:

per le combinazioni SLE-RAR:

- apertura fessure limite:  $w_{lim} = w_1 = 0.30 \text{ mm}$

Le verifiche riportate a seguire sono riferite al meccanismo tirante-puntone che coinvolge i pali di spigolo (meccanismo diagonale), ossia il più severo tra i due presi in considerazione.

### 8.3.1 VERIFICA RELATIVA AI PALI DI SPIGOLO

#### 1. Armatura longitudinale inferiore LATERALE

INPUT		
Rck	35	Mpa
h	2500	mm
c1	55	mm
$\phi 1$	30	mm
n1	6.667	1/m
c2	107	mm
$\phi 2$	30	mm
n2	6.667	1/m
c3		mm
$\phi 3$	0	mm
n3	0.000	1/m
d	2419	mm
beff	150	mm
x		mm
$\sigma_{s\_max1}$	163	Mpa
$\sigma_{s\_max2}$	163	Mpa
$h_{c,eff}$	202.5	mm
$A_{c,eff}$	30375	mm <sup>2</sup>
$\rho_{p,eff}$	0.047	
kt	0.6	
k1	0.8	
k2	1	
k3	3.4	
k4	0.425	

OUTPUT		
diff. def. armature-clc		
$\epsilon_{sm} - \epsilon_{cm}$	<b>5.63E-04</b>	-
distanza max fessure		
$S_{f,max}$	<b>513</b>	mm
ampiezza fessure:		
wk	<b>0.289</b>	mm
wlim	0.300	mm
La verifica è soddisfatta.		

### 8.3.2 VERIFICA RELATIVA AI PALI INTERMEDI

#### 1. Armatura longitudinale inferiore CENTRALE

INPUT		
Rck	35	Mpa
h	2500	mm
c1	55	mm
φ1	30	mm
n1	6.667	1/m
c2	107	mm
ø2	30	mm
n2	3.333	1/m
c3		mm
ø3		mm
n3		1/m
d	2428	mm
beff	150	mm
x		mm
σ <sub>S_max1</sub>	154	Mpa
σ <sub>S_max2</sub>	154	Mpa
hc,eff	180.8	mm
Ac,eff	27125	mm <sup>2</sup>
ρ <sub>p,eff</sub>	0.039	
kt	0.6	
k1	0.8	
k2	1	
k3	3.4	
k4	0.425	

OUTPUT		
diff. def. armature-cls		
ε <sub>sm</sub> - ε <sub>cm</sub>	<b>4.85E-04</b>	-
distanza max fessure		
σ <sub>f,max</sub>	<b>503</b>	mm
ampiezza fessure:		
w <sub>k</sub>	<b>0.244</b>	mm
w <sub>lim</sub>	0.300	mm
La verifica è soddisfatta.		